

e&o Quaderni

RAPPORTO 2021

a cura del Registro
Tumori Puglia



I TUMORI INFANTILI IN REGIONE PUGLIA

Dati di incidenza, trend temporali, confronti, ricoveri e sopravvivenza
dei pazienti oncologici da 0 a 14 anni nel periodo 2006-2017



ASL Foggia
PugliaSalute



ASL BT
PugliaSalute



ASL Bari
PugliaSalute



ASL Taranto
PugliaSalute



ASL Brindisi
PugliaSalute



ASL Lecce
PugliaSalute



Agenzia
Regionale
per la Salute
ed il Sociale
Puglia

EDIZIONI **i**nferenze



EPIDEMIOLOGIA & PREVENZIONE

Rivista dell'Associazione italiana di epidemiologia

Rivista fondata da Giulio A. Maccacaro

ANNO 45 (5) 2021

**Epidemiologia & Prevenzione
è indicizzata in Medline, Scopus,
Science Citation Index Expanded,
Journal Citation Reports/Science Edition**

**Pubblicazione bimestrale Registrazione
del Tribunale di Milano**

n. 239/1977 Spedizione in AP - 45% - art. 2 comma 20b
legge 662/96 - Milano

**Iscrizione al Registro degli Operatori
di Comunicazione (ROC) n. 11747**

Una copia della rivista: 13,50 euro

Abbonamento annuo: informazioni e condizioni sul sito
www.epiprev.it

Gestione abbonamenti: ufficio abbonamenti
tel. 02-48702283

I dati necessari per l'invio della rivista sono trattati elettronicamente e utilizzati dall'editore Inferenze scarl per la spedizione della presente pubblicazione e di altro materiale medico-scientifico. Ai sensi dell'art. 13 Legge 675/96 e successivi aggiornamenti è possibile in qualsiasi momento e gratuitamente consultare, modificare e cancellare i dati, o semplicemente opporsi al loro utilizzo scrivendo a: Inferenze scarl, responsabile dati, via Ricciarelli 29, 20148 Milano.

IVA assolta dall'editore ai sensi dell'art. 74 lettera C del DPR 26/10/1972 n.633 e successive modificazioni e integrazioni nonché ai sensi del DM 29/12/1989. Non si rilasciano quindi fatture (art. 1 c. 5 DM 29/12/1989).

Stampa

Arti grafiche Ancora srl - Milano



via Ricciarelli 29, 20148 Milano
segreteria@inferenze.it

Direttore scientifico: Andrea Micheli
Direttore scientifico: Francesco Forastiere
Past director: Benedetto Terracini, Eugenio Paci
Direttrice responsabile: Maria Luisa Clementi

Direzione scientifica

Annibale Biggeri, Luigi Bisanti, Lucia Bisceglia, Laura Bonvicini, Riccardo Capocaccia, Elisabetta Listorti, Paola Michelozzi, Fulvio Ricceri, Lorenzo Richiardi, Vittorio Simeon, Antonia Stazi

Segreteria di redazione

via Giusti 4, 21053 Castellanza (VA)
e-mail: epiprev@inferenze.it; telefono: 0331-482187

Redazione: Maria Cristina Porro

Impaginazione: Stefano Montagnana

Direzione associata

Nerina Agabiti, Claudia Agnoli, Carla Ancona, Anita Andreano, Michela Baccini, Lisa Bauleo, Fabrizio Bianchi, Laura Bonvicini, Elisa Bustaffa, Silvia Candela, Nicola Caranci, Silvia Caristia, Michele Carugno, Andrea Carvelli, Anna Castiglione, Dolores Catelan, Paolo Chiodini, Dario Consonni, Carmen D'Amore, Giuseppe Delvecchio, Chiara Di Girolamo, Chiara Donfrancesco, Fabrizio Faggiano, Annunziata Faustini, Chiara Fedato, Gianluigi Ferrante, Enzo Ferrara, Claudia Galassi, Simona Giampaoli, Paolo Giorgi Rossi, Maria Teresa Greco, Vittorio Krogh, Pier Luigi Lopalco, Sara Maio, Michele Marra, Francesca Mataloni, Flavia Mayer, Elisabetta Meneghini, Paola Michelozzi, Marta Ottone, Eva Pagano, Salvatore Panico, Davide Petri, Donella Puliti, Andrea Ranzi, Matteo Renzi, Fulvio Ricceri, Giuseppe Ru, Antonio Giampiero Russo, Carlotta Sacerdote, Flavia Santi, Matteo Scortichini, Vittorio Simeon, Massimo Stafoggia, Antonia Stazi, Giorgia Stoppa, Saverio Stranges, Maurizio Trevisan, Francesco Trotta, Nicola Vanacore, Martina Ventura, Giovanni Viegi, Massimo Vicentini, Nicolàs Zengarini

Comitato editoriale

AIE: Lucia Bisceglia, Carla Ancona, Sonia Brescianini, Serena Broccoli, Michele Marra, Antonello Marras, Rossella Murtas, Anna Maria Nannavecchia, Matteo Renzi

Impresa sociale E&P Giulio A. Maccacaro: Franco Berrino, Luigi Bisanti, Annibale Biggeri, Paolo Chiodini, Gemma Gatta, Enzo Merler, Franco Merletti, Salvatore Panico, Lorenzo Simonato

Inferenze: Maria Luisa Clementi, Maria Cristina Porro, Valentina Ferrari

MODALITÀ DI ABBONAMENTO

Pagamento con carta di credito (American Express, Carta Si, VISA, Eurocard, Master Card) telefonando allo 02-48702283 dal lunedì al venerdì dalle 9 alle 13 oppure utilizzando il servizio PayPal sul sito web della rivista www.epiprev.it

Accredito tramite c/c bancario presso: BPER BANCA
Piazza Wagner n. 8, 20145 Milano,
IBAN: IT83Z 05387 01612 000035010623
intestato all'impresa editoriale Inferenze scarl,
via Ricciarelli n. 29, 20148 Milano.

© Inferenze scarl, Milano



I TUMORI INFANTILI IN REGIONE PUGLIA

Dati di incidenza, trend temporali, confronti, ricoveri e sopravvivenza
dei pazienti oncologici da 0 a 14 anni nel periodo 2006-2017

RAPPORTO 2021

a cura del Registro Tumori Puglia



AUTORI

Coordinatrice: Lucia Bisceglia^{1,2}

Curatori e curatrici: Rossella Bruni¹, Danila Bruno^{1,2}, Maria Giovanna Burgio Lo Monaco^{1,2}, Vincenzo Coviello³, Francesco Cuccaro³, Ivan Rashid²

¹ Agenzia Regionale Strategica per la Salute e il Sociale (AReSS), Area Epidemiologia e Care Intelligence, Bari

² Centro di Coordinamento Registro Tumori Puglia, c/o AReSS Puglia, Bari

³ Registro Tumori Puglia - Sezione ASL BT, UOSE Statistica ed Epidemiologia, Barletta

Registro Tumori Puglia (RTP)

Sezione ASL Foggia

c/o UOSE ASL Foggia

Direttore: Fernando Palma

Staff: Carla Cataneo, Filomena Rosalia De Santis,

Marina Laura Liguori

Sezione ASL BT

c/o UOSE ASL BT

Responsabile FF: Francesco Cuccaro

Già Direttore: Vincenzo Coviello

Staff: Savino Dilillo, Maria Altomare Di Lorenzo,

Angela Pinto

Sezione ASL Bari

c/o UOSE ASL Bari

Direttore FF: Annunziata Azzolini

Responsabile: Deborah Fracchiolla

Staff: Davide Gulino, Carmen Perrone

Sezione ASL Taranto

c/o UOSE ASL Taranto

Direttore: Sante Minerba

Coordinatore: Antonia Mincuzzi

Staff: Antonella Bruni, Simona Carone,

Claudia Galluzzo, Margherita Tanzarella

Ringraziamenti: Giovanna Maria Lagravinese,

Simona Leogrande

Sezione ASL Brindisi

c/o UOSE ASL Brindisi

Direttore: Giuseppe Spagnolo

Responsabile: Antonino Ardizzone

Medico esperto: Susi Epifani

Staff: Emma Cozzi, Lucia Elena De Lorenzis,

Fernanda Lucia Lotti, Maria Carmela Pagliara

Sezione ASL Lecce

c/o UOSE ASL Lecce

Direttore: Fabrizio Quarta

Responsabile: Anna Melcarne

Staff: Costanza Arciprete, Giovanna Dimitri,

Maria Grazia Golizia, Maria Pia Trisolini

Ringraziamenti: Emanuela Civino, Erika Delos,

Maria Grazia Treglia

Centro di Coordinamento Registro Tumori Puglia

c/o AReSS Puglia, Bari

Responsabile: Lucia Bisceglia

Staff: Danila Bruno, Maria

Giovanna Burgio Lo Monaco,

Rossella Bruni, Ivan Rashid,

Cinzia Tanzarella

Ringraziamenti

Si ringraziano: il dott. **Nicola Santoro**, Direttore dell'oncoematologia pediatrica dell'A.O.U Policlinico di Bari; il personale delle Direzioni Sanitarie e degli Uffici Cartelle Cliniche degli Presidi Ospedalieri regionali ed extra-regionali, per la collaborazione dimostrata: un particolare ringraziamento va alla sig.ra **Rosa Ardito** del A.O.U Policlinico di Bari, a tutto lo staff della Direzione Medica dell'Ospedale Pediatrico Giovanni XXIII di Bari, al dott. **Stefano Guolo** già Direttore Sanitario dell'Ospedale Pediatrico "Bambino Gesù" di Roma; la dott.ssa **Cristina Ferrari** dell'Istituto Ortopedico "Rizzoli" di Bologna; la dott.ssa **Giovanna Tagliabue** dell'Istituto Nazionale Tumori di Milano; il personale dei registri tumori generali di popolazione del Lazio, della Liguria, di Modena, di Reggio Emilia e del Veneto.

Infine, un sentito ringraziamento per la disponibilità dei dati e collaborazione scientifica: al Registro Tumori Infantili presso il CPO Piemonte, e in particolare a **Milena Maria Maule** e **Carlotta Sacerdote**; al Registro Tumori Infantili Regione Campania presso l'AORN Santobono-Pausillipon di Napoli, e in particolare a **Camilla Cali**, **Fabio Savoia** e **Francesco Vetrano**

FINANZIAMENTI. La produzione di questo Quaderno è stata finanziata da AReSS Puglia con fondi della Regione Puglia destinati al Registro Tumori.

INDICE

Prefazioni

| | |
|--------------------------|---|
| Pier Luigi Lopalco | 5 |
| Giovanni Gorgoni | 7 |

Capitolo 1

| | |
|------------------------|---|
| Sintesi dei dati | 9 |
|------------------------|---|

Capitolo 2

| | |
|----------------------------------|----|
| Schede per neoplasia | 17 |
| ■ Leucemie | 18 |
| ■ Linfomi | 20 |
| ■ Sistema nervoso centrale | 22 |
| ■ Neuroblastomi | 24 |

Capitolo 3

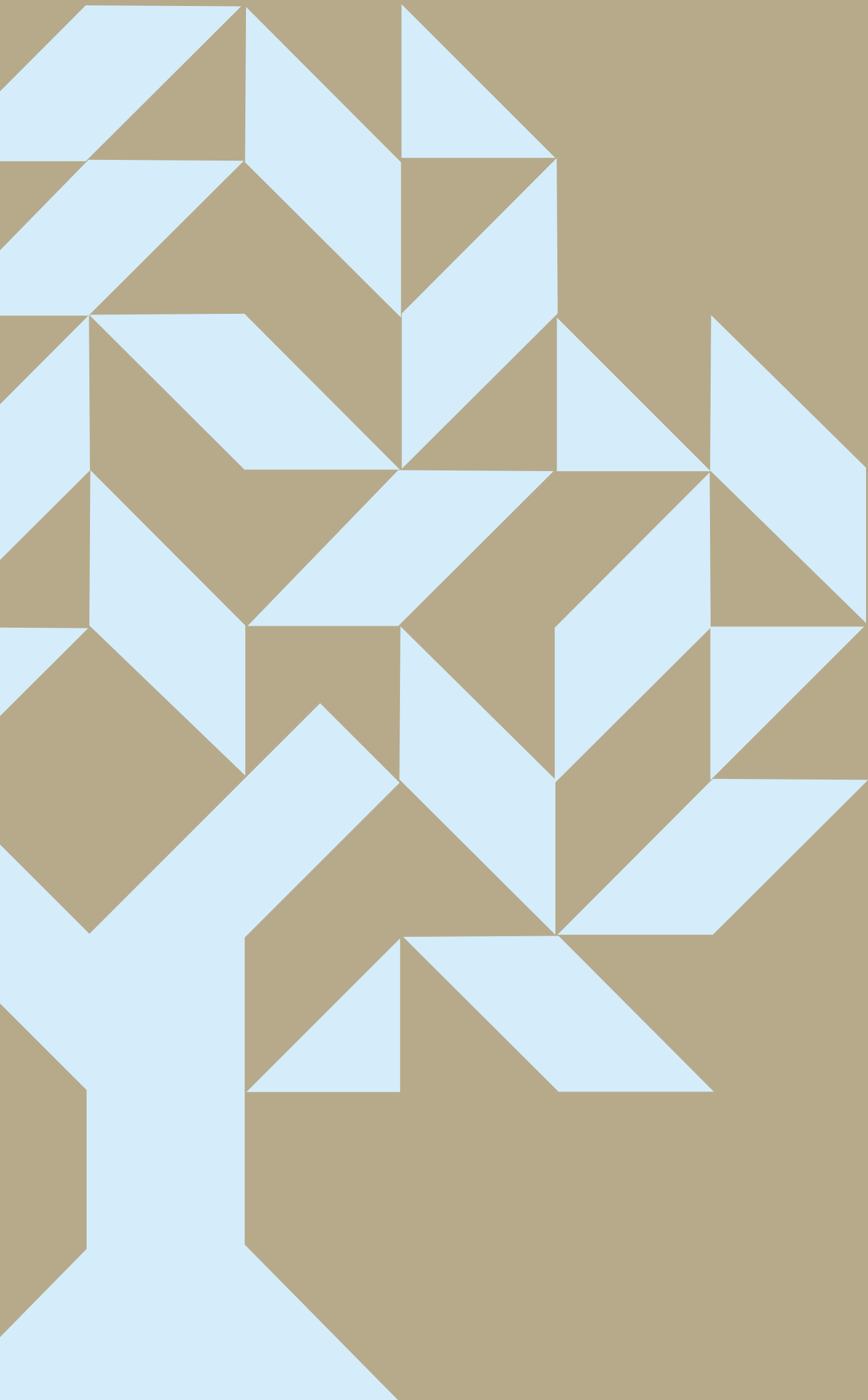
| | |
|-------------------------------|----|
| Schede per provincia | 27 |
| ■ Foggia | 28 |
| ■ Barletta-Andria-Trani | 29 |
| ■ Bari | 30 |
| ■ Taranto | 31 |
| ■ Brindisi | 32 |
| ■ Lecce | 33 |

Capitolo 4

| | |
|----------------------------------|----|
| Mappe per comune | 35 |
| ■ Leucemie | 38 |
| ■ Linfomi | 41 |
| ■ Sistema nervoso centrale | 44 |
| ■ Neuroblastomi | 47 |

Capitolo 5

| | |
|---|----|
| Appendici | 51 |
| ■ Tavole di incidenza per la Regione Puglia | 52 |
| ■ Tavole di incidenza per la provincia di Foggia | 58 |
| ■ Tavole di incidenza per la provincia di Barletta-Andria-Trani | 60 |
| ■ Tavole di incidenza per la provincia di Bari | 62 |
| ■ Tavole di incidenza per la provincia di Taranto | 64 |
| ■ Tavole di incidenza per la provincia di Brindisi | 66 |
| ■ Tavole di incidenza per la provincia di Lecce | 68 |
| Materiali e metodi | 71 |
| Bibliografia | 72 |



PREFAZIONE

PREFACE

Pier Luigi Lopalco

Professore ordinario di Igiene e Medicina Preventiva,
Università del Salento

I tumori infantili rappresentano un gruppo di patologie estremamente rilevanti in sanità pubblica. In termini assoluti, perché pur trattandosi di eventi poco frequenti determinano comunque un carico assistenziale elevato e un carico di malattia rilevante misurato in anni di vita in buona salute o liberi da disabilità persi. In termini più ampi, a causa dell'impatto emotivo che una malattia grave contratta nell'infanzia ha sulla famiglia e sull'intera comunità.

Per i motivi su esposti, l'attenzione politica e mediatica sul fenomeno è sempre alta. D'altro canto, parliamo di eventi relativamente poco frequenti la cui lettura epidemiologica in termini di trend, distribuzione spaziale, analisi delle cause, è particolarmente complessa. Facile, dunque, che si abbia una percezione distorta della reale consistenza epidemiologica del fenomeno che induce spesso falsi allarmismi o, peggio, strumentalizzazioni politiche o ideologiche.

Appare superfluo, pertanto, sottolineare l'importanza, in un simile contesto, dei Registri tumori che, con metodologia standardizzata, possono fornire dati robusti e confrontabili nel tempo e nello spazio. Ancora di più di Rapporti come questo, di facile lettura e consultazione, che possano fornire le basi scientifiche per il decisore politico e possano essere fonte autorevole di informazioni per l'opinione pubblica.

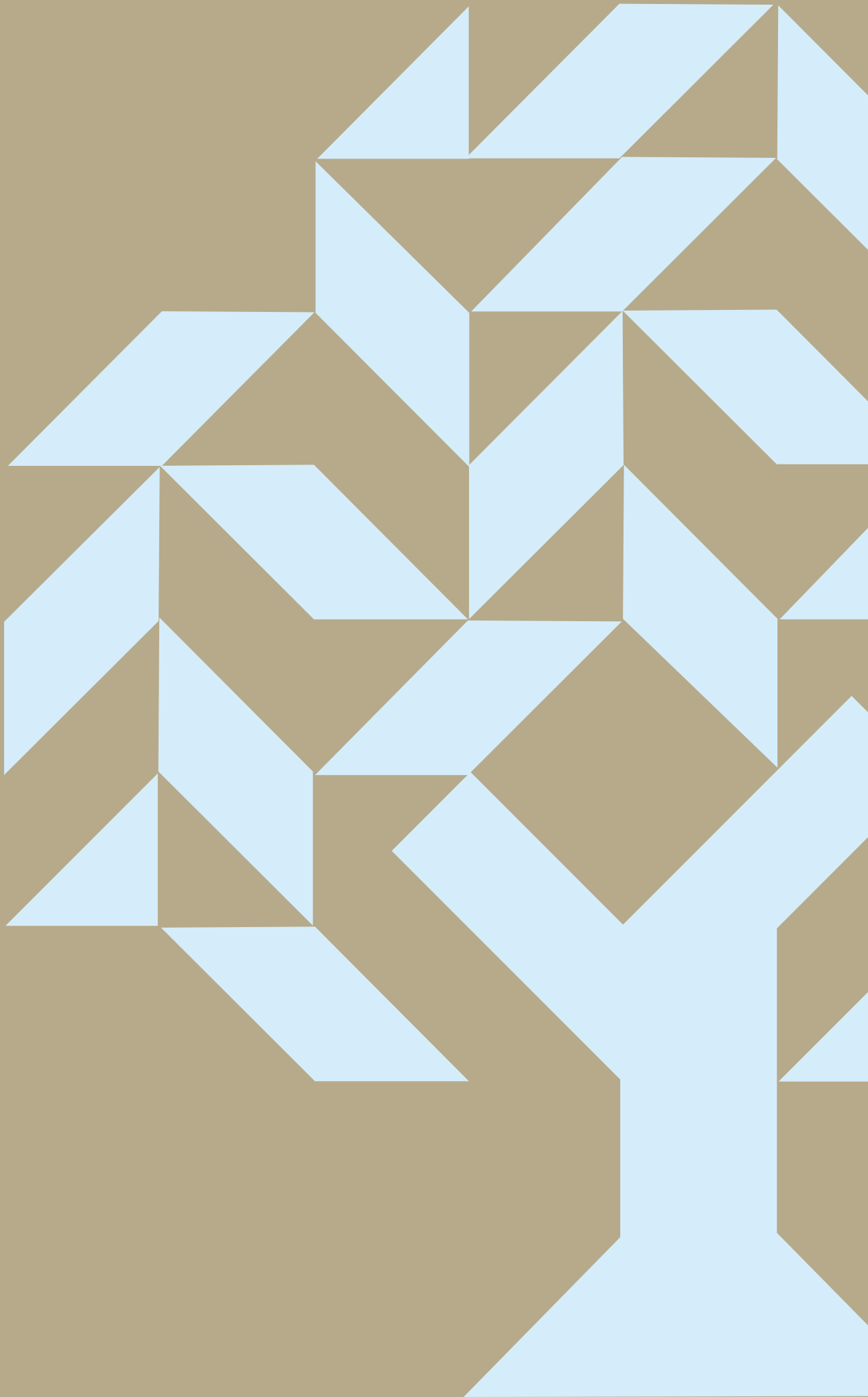
Dal Rapporto si evince che i tumori infantili nella Regione Puglia si confermano essere una patologia a bassa incidenza, con un trend in lento ma in costante decremento. Dal 2006 al 2017, il numero assoluto dei casi è diminuito del 2,3% ogni anno. Considerando la progressiva contrazione delle nascite che si è registrata lungo lo stesso periodo, questa riduzione si assottiglia allo 0,8% quando si considerano i tassi di incidenza standardizzati. Dato comunque positivo, che si conferma su tutto il territorio regionale. Le mappe di incidenza per comune, infatti, non fanno emergere alcuna area a maggiore o minor rischio di malattia.

Nonostante si tratti di patologie gravi, il tasso di sopravvivenza a 5 anni dalla diagnosi risulta globalmente pari all'85%. Per alcune forme, la sopravvivenza è molto più alta. Per i linfomi, per esempio, il tasso è pari al 96% a 10 anni dalla diagnosi. La sopravvivenza, inoltre, ha mostrato un trend positivo. Analizzando le forme più frequenti di tumore, la probabilità di morte a tre anni dalla diagnosi è diminuita lungo il periodo in esame di ben il 4,9% l'anno per le leucemie e del 6,7% l'anno per i tumori del sistema nervoso centrale.

Sebbene i dati convergano, in definitiva, a descrivere un quadro in progressivo miglioramento per quanto riguarda gli aspetti sia della prevenzione sia della terapia, dal confronto con altri Registri tumori (quelli della Campania e del Piemonte) emergono nella nostra Regione tassi di incidenza leggermente superiori, soprattutto nelle forme diagnosticate nel primo anno di vita e, nel complesso, per leucemie, tumori renali e sarcomi dei tessuti molli.

Non bene la quota di mobilità ospedaliera. I pazienti pugliesi per ben il 35% sono seguiti fuori Regione, con una forte attrazione da parte dei centri di eccellenza del Lazio (Ospedale Pediatrico Bambino Gesù e Policlinico Gemelli).

In conclusione, il rapporto 2021 dei tumori infantili in Puglia descrive un quadro epidemiologico sostanzialmente rassicurante, ma mette in luce anche alcune aree di miglioramento. Conferma comunque il primato del ragionamento epidemiologico quale base indissolubile di ogni processo decisionale.



PREFAZIONE

PREFACE

Giovanni Gorgoni

Direttore Generale, Agenzia Regionale Strategica per la Salute e il Sociale - Regione Puglia

Tumori e bambini sono due parole che non dovrebbero mai stare insieme.

E non dovrebbero per tante ragioni, tra le quali – a mio parere – la minaccia alla prospettiva di vita è un motivo secondario per chi è ancora inconsapevole dell’orizzonte temporale della propria esistenza, anche se questo aspetto è certamente importantissimo per la sensibilità dei genitori e della cerchia degli affetti.

Molto più rilevanti, invece, il carico di disagio fisiologico e psico-emotivo portato dalla durezza di procedure diagnostiche e terapeutiche non sempre a misura di bambino e gli innegabili effetti di segregazione sociale determinata sia dalla necessità di proteggerlo clinicamente nelle fasi più delicate del percorso sia dalle trasferte lontano da casa, sia dall’inconscia rarefazione dei rapporti sociali per antica oncofobia.

Ma intanto “tumori e bimbi” è un binomio che esiste a prescindere dall’inaccettabilità dello stesso e a prescindere da qualunque tentativo di negazione. E questo documento lo certifica con numeri di diagnosi, tassi di sopravvivenza, distribuzione per età e residenza, nomi di neoplasie.

Per certi versi, il lavoro poderoso che è stato dispiegato per realizzarlo potrebbe, da un lato, apparire inutile per chi preferisce non occuparsi della faccenda, dall’altro, risultare fonte di allarme per chi carica l’argomento – a torto o a ragione – di una grande apprensione emotiva.

Della teorica inutilità del Rapporto non intendiamo occuparci, perché da sempre l’Agenzia che ho l’onore di dirigere e che ne ha condotto la realizzazione fa dell’evidenza quantificata e documentata scientificamente il punto di partenza di ogni decisione di sanità pubblica, indipendentemente da età anagrafica, residenza e condizione sociale delle popolazioni oggetto di analisi. Dobbiamo comunque occuparci dell’eventuale rischio che il documento possa scatenare allarmismo, abituati – anche su questo punto – a mettere il naso nelle evidenze e con queste a metterci poi la faccia in quanto servizio pubblico e “succeda quel che succeda”.

Ma su quest’ultimo punto, stavolta, il compito ci viene facilitato dai dati che troverete nel documento, dai quali non emergono situazioni di particolare allarme rispetto al confronto con altre Regioni, i tassi di sopravvivenza sono incoraggianti e, anzi, negli ultimi anni sulla massima parte delle neoplasie il numero di nuove diagnosi nei bambini mostra tendenza in diminuzione anche al netto del calo della natalità.

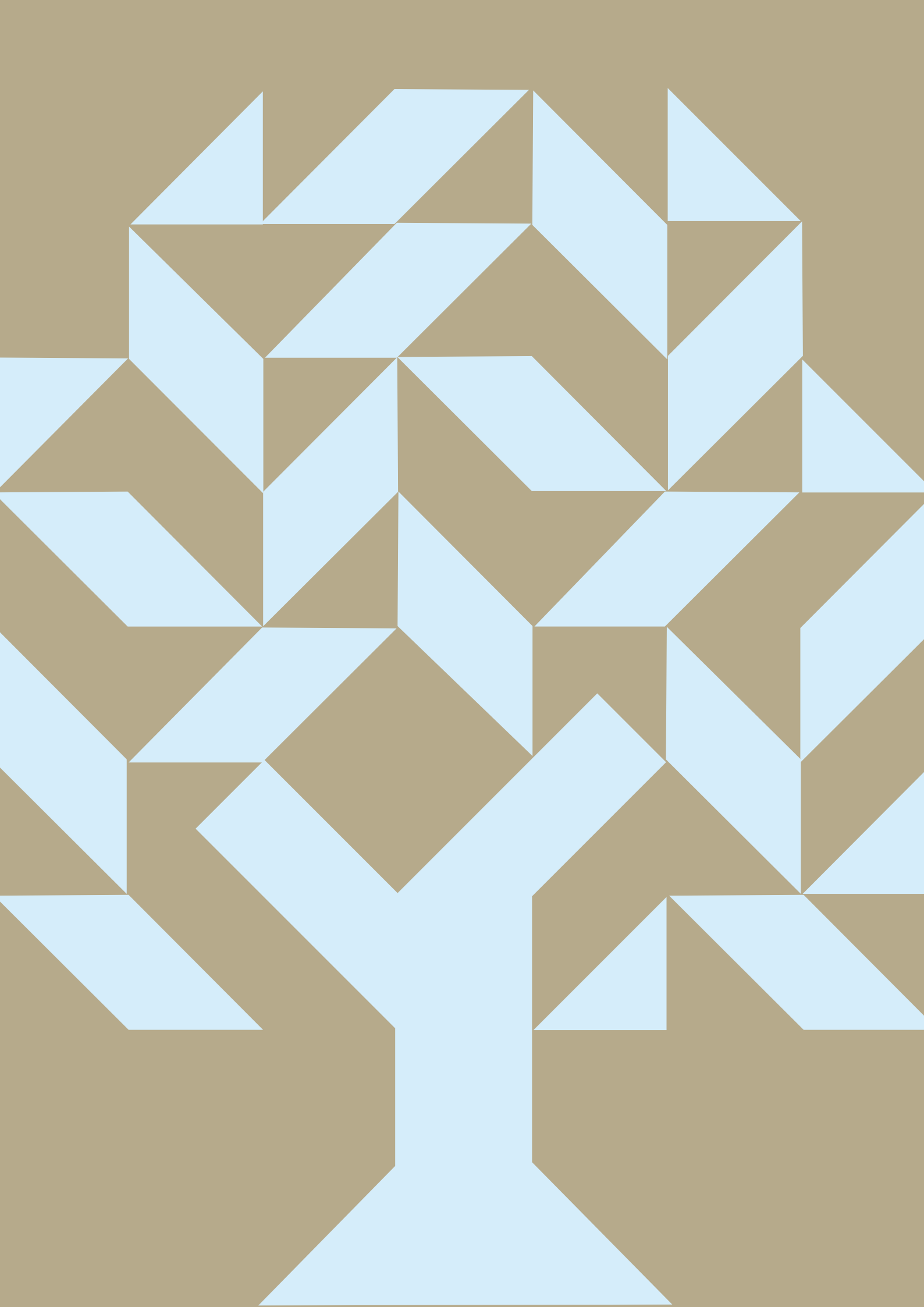
E il compito risulterà forse ancor più facile perché abbiamo provato a rappresentare i dati epidemiologici con una grafica il più possibile comprensibile ai più e con un linguaggio non eccessivamente tecnico, proprio perché il Rapporto possa diventare strumento di discussione e dialogo oltre che di supporto alle decisioni dell’amministrazione sanitaria regionale. Volevamo che fosse uno strumento per tutti.

Realizzarlo non è stata cosa semplice né breve, perché si è trattato di mettere insieme in forma omogenea e confrontabile informazioni provenienti da sei province differenti, moltissime informazioni non sempre presenti sul territorio regionale a causa della mobilità passiva per le cure oncologiche in età pediatrica e altre informazioni non disponibili presso le consuete fonti dei registri ufficiali dei tumori. Un lavoro certosino, si direbbe, e – come accade sempre con un Rapporto sui tumori – un lavoro condotto “caso per caso” e mai in maniera massiva: dietro ogni numero c’è una persona e c’è una storia, e il fatto che i professionisti abbiano maneggiato il numero con la stessa cura che avrebbero dedicato direttamente al bambino rappresentato vale da solo il ringraziamento per lo sforzo compiuto. Sono tanti i professionisti che hanno collaborato e li trovate citati nelle prime pagine, ma a me permettete di fare il ringraziamento più sentito al gruppo ampio del Registro Tumori Puglia che include il coordinamento regionale presso ARESS e le sezioni di Registro provinciale delle sei Aziende sanitarie locali pugliesi. Questo gruppo è lo stesso che ha consentito alla Puglia, qualche anno fa, di portare in accreditamento – tra le prime in Italia – tutti i registri provinciali della Regione e che ora si è prodotto in un’altra impresa distintiva e soprattutto utile per la collettività.

Tutto a posto, quindi? Numeri piccoli e tutto sommato rassicuranti e in più un omaggio alla trasparenza civica: possiamo andare oltre? Anche questa non è nostra abitudine.

Ogni lavoro ultimato, per quanto faticoso, è sempre un punto di partenza. Come già detto, è uno strumento di discussione e dialogo ampio che deve ancora partire, ma deve essere anche un punto di partenza per le decisioni di politica sanitaria.

Quelle decisioni che devono puntare non solo a mantenere in aumento i tassi di sopravvivenza (su questo ci aiuta anche la scienza), ma soprattutto ad alleggerire quel carico esistenziale dal punto di vista del bambino che è fatto di dolore psico-fisico troppo grande per una certa età anagrafica, di viaggi della salute lontano dagli amici e dai giochi e di esclusione sociale. Fosse anche per un solo e ultimo caso.



**SINTESI
DEI DATI**

Numero di diagnosi

In Regione Puglia, nel periodo 2006-2017 sono state diagnosticate 1.441 neoplasie nella fascia di età infantile. Tra queste, 1.221 (85%) erano maligne e 220 (15%) erano neoplasie non maligne del sistema nervoso centrale. Queste ultime, secondo gli standard internazionali, devono essere raccolte dai registri tumori infantili e riportate nelle statistiche unitamente alle neoplasie maligne.

In Puglia, vengono effettuate in media 120 nuove diagnosi di neoplasie infantili ogni anno. Il 53% dei tumori è stato riscontrato nel sesso maschile, il 47% nel sesso femminile.

Il tasso di incidenza è pari a 201 casi per milione di bambini e adolescenti tra 0 e 14 anni; 205 casi/milione nel sesso maschile, 196 casi/milione nel sesso femminile.

Figura 1.1

Assetto demografico

La popolazione infantile corrisponde alla popolazione residente in Regione Puglia con età inferiore ai 15 anni.

Nel periodo analizzato tale popolazione rappresentava il 14,7% della popolazione totale pugliese, dato lievemente superiore alla media nazionale (14%).

In Puglia la popolazione infantile è tuttavia fortemente diminuita passando da 640.000 bambini residenti nel 2006 a 546.000 nel 2017. Questi andamenti hanno contribuito a far sì che l'indice di vecchiaia della Regione Puglia diventasse sempre più simile a quello medio nazionale. Figura 1.2

Effetto dell'età

Ogni anno, in Puglia, 12 bambini ricevono una diagnosi di tumore prima del compimento del 1° anno di vita; il tasso è pari a 332 diagnosi per milione, che equivale a circa un caso ogni 3.000 bambini appartenenti alla stessa fascia d'età.

Il tasso scende progressivamente tra il 1° e il 4° anno di età (1 caso ogni 4.000 bambini) e tra il 5° e il 9° anno di età (1 caso ogni 6.300 bambini); si osserva, però, tra i 10 e i 14 anni di età un lieve incremento dei tassi di malattia (1 caso ogni 5.400). Figura 1.3

Figura 1.1 Numero dei casi annuali e tasso grezzo di malattia ogni milione di abitanti.

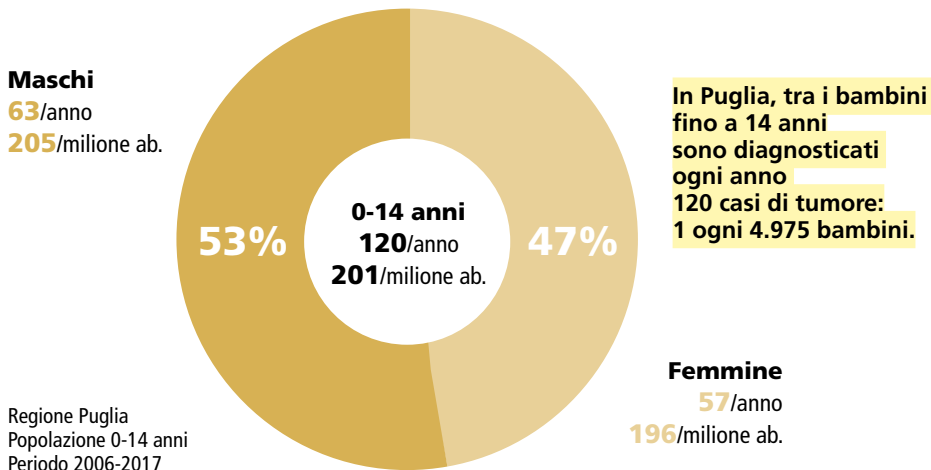
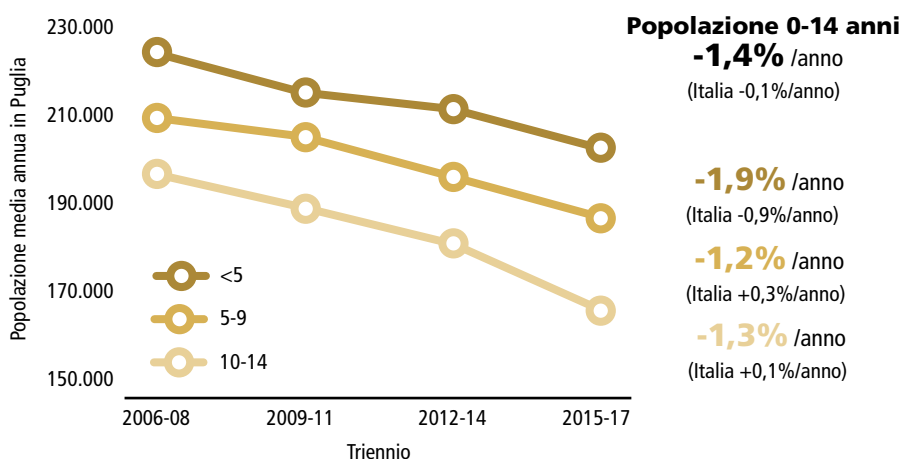
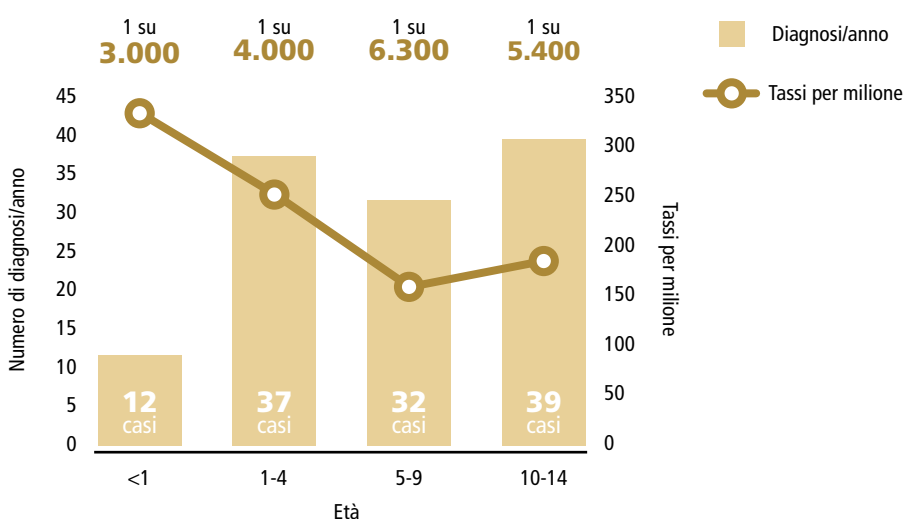


Figura 1.2 Consistenza della popolazione infantile residente in Regione Puglia.



In Italia la popolazione infantile è stabile, in Puglia è invece in netta diminuzione.

Figura 1.3 Numero di casi annuali e tassi per fascia di età.



Un bambino ogni 3.000 riceve una diagnosi di tumore entro il primo anno di vita, i tassi di incidenza calano progressivamente fino ai 9 anni e poi risalgono gradualmente.

L'età del bambino influenza anche il tipo di neoplasia: i neuroblastomi, per esempio, sono relativamente frequenti solo prima dei 5 anni di età, arrivando a rappresentare circa un terzo delle neoplasie diagnosticate entro il 1° anno di vita (33%), ma sono pressoché assenti dopo il compimento del 5° anno di vita.

Le leucemie sono invece piuttosto frequenti in tutte le fasce di età infantile, con percentuali inferiori solo nella popolazione tra i 10 e i 14 anni di età, fascia nella quale cresce il peso dei linfomi (e in particolare del linfoma di Hodgkin), dei melanomi e dei carcinomi.

Figura 1.4

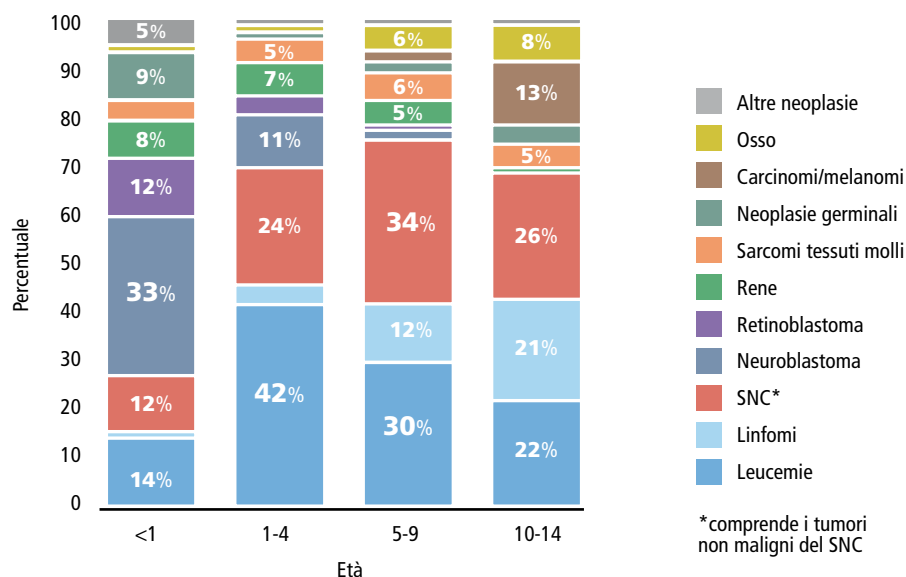
I tumori più frequenti

Più della metà dei tumori diagnosticati in età infantile sono rappresentati dal complesso delle leucemie (che costituiscono il 30% di tutte le neoplasie infantili) e dalle neoplasie del sistema nervoso centrale (26%) assommando in queste le neoplasie sia maligne sia benigne o a carattere incerto/borderline.

Altri tumori relativamente frequenti sono i linfomi (11%) e i neuroblastomi (7%): queste quattro categorie di neoplasie infantili rappresentano insieme quasi 3/4 (74%) di tutti i tumori infantili diagnosticati in Puglia.

Tra le leucemie, le leucemie linfoblastiche risultano di gran lunga le più rappresentate (75% delle leucemie, 22% dei tumori infantili), seguite dalle leucemie

Figura 1.4 I tumori più frequenti per fascia di età, in percentuale (%).



Regione Puglia
Popolazione 0-14 anni
Maschi e femmine
Periodo 2006-2017

Nel 1° anno di vita un terzo delle diagnosi sono di neuroblastoma; dopo il 1° anno di vita i tumori ematologici (leucemie e linfomi) rappresentano oltre il 40% delle diagnosi.

mieloidi acute (16% delle leucemie, 5% dei tumori infantili).

Le neoplasie del sistema nervoso centrale (SNC) sono per la maggior parte a comportamento non maligno: le forme maligne rappresentano infatti solo il 25% delle neoplasie del SNC e il 6% di tutti i tumori infantili.

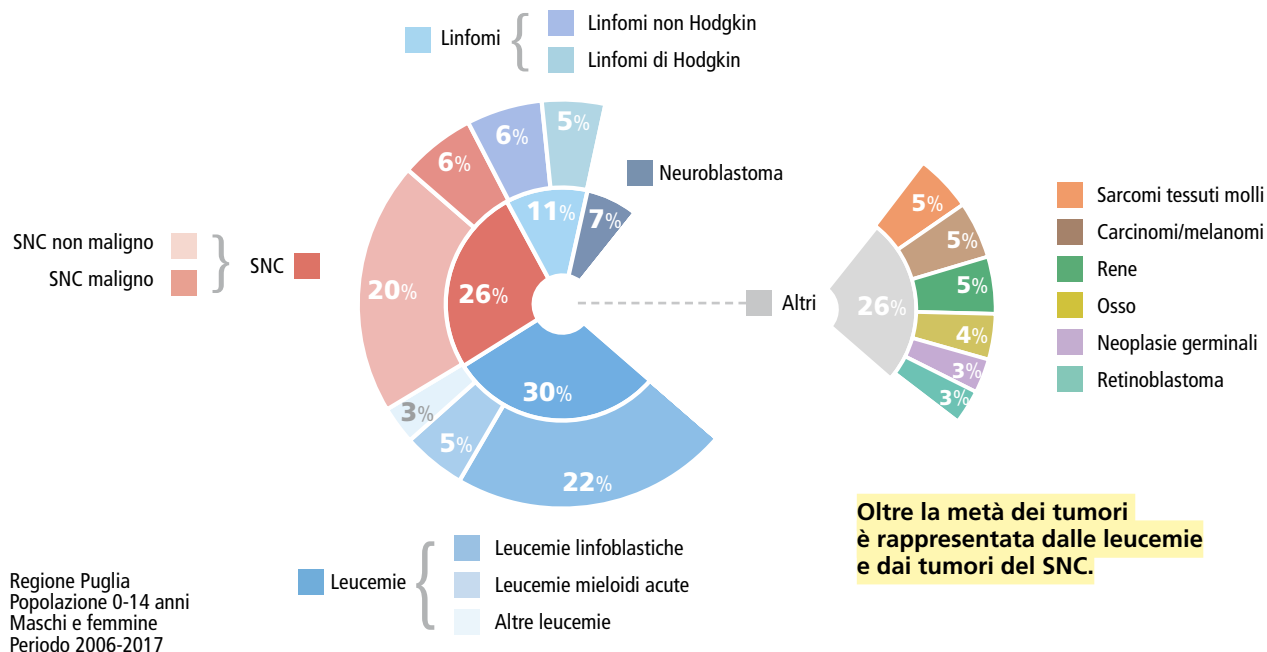
I linfomi di Hodgkin costituiscono il 48%

dei linfomi diagnosticati in età infantile e il 5% di tutti i tumori infantili.

Neoplasie infantili meno frequenti sono i sarcomi dei tessuti molli (5%), i tumori epiteliali (carcinomi) e i melanomi (5%), le neoplasie renali (5%), le neoplasie dell'osso (4%), le neoplasie a cellule germinali (3%) e i retinoblastomi (3%).

Figura 1.5

Figura 1.5 I tumori più frequenti, in percentuale (%).



Regione Puglia
Popolazione 0-14 anni
Maschi e femmine
Periodo 2006-2017

Oltre la metà dei tumori è rappresentata dalle leucemie e dai tumori del SNC.

Trend della malattia

Il numero assoluto annuale di diagnosi di neoplasia in età infantile decresce progressivamente del 2,3% ogni anno, ma il dato è condizionato dalla già citata contrazione della natalità.

Figura 1.6

I tassi standardizzati di incidenza, che tengono conto delle variazioni demografiche, appaiono invece sostanzialmente stabili nel tempo, considerando il complesso di tutte le neoplasie infantili, con una diminuzione stimata del tasso standardizzato più contenuta (-0,8% ogni anno) rispetto all'andamento osservato del numero assoluto dei casi. **Figura 1.7**

Tuttavia, dall'osservazione di entrambe le figure si può notare che sia le frequenze assolute sia i tassi standardizzati sono piuttosto variabili: i tassi standardizzati mostrano per esempio valori osservati che oscillano tra 165 casi su 1.000.000 a 230 casi su 1.000.000, rendendo complessa una valutazione del trend temporale. I tassi standardizzati suddivisi per neoplasia mostrano, ovviamente, maggiore variabilità, non contrastante tuttavia con un trend temporale fondamentalmente stabile. **Figura 1.8**

Mortalità dopo la diagnosi

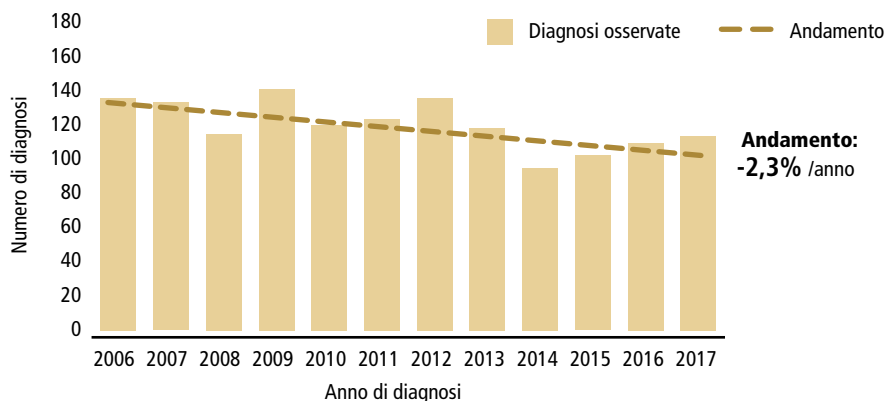
Nel periodo 2006-2017 tra i 1.441 bambini con diagnosi di neoplasia sono stati registrati 210 decessi avvenuti entro 5 anni dalla diagnosi: la probabilità di morte entro 5 anni è pari al 15%. I decessi scendono a 18 dal 5° al 10° anno dopo la diagnosi, con una probabilità di morte complessiva entro 10 anni dalla diagnosi di poco superiore al dato precedente: 17%.

Il numero di decessi e la probabilità di decesso sono massimi a ridosso della diagnosi: il 67% dei decessi avviene infatti entro i primi due anni dalla diagnosi.

In particolare, la probabilità di morte entro il primo anno dalla diagnosi è pari al 7%, mentre un ulteriore 4% dei pazienti decede tra il primo e il secondo anno.

Negli anni successivi il numero di decessi e la probabilità di morte annuale diminuiscono progressivamente tanto che solo il 4% dei pazienti con diagnosi effettuata in età infantile muore tra il 2°

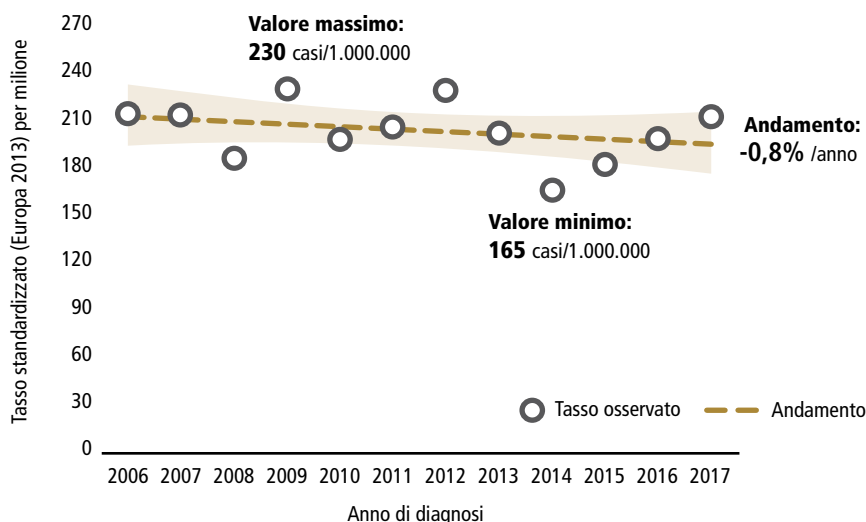
Figura 1.6 Andamento temporale del numero assoluto di casi diagnosticati.



Regione Puglia
Popolazione 0-14 anni
Maschi e femmine
Periodo 2006-2017

Le diagnosi diminuiscono da 131/anno a 105/anno rispettivamente nel primo e ultimo quadriennio

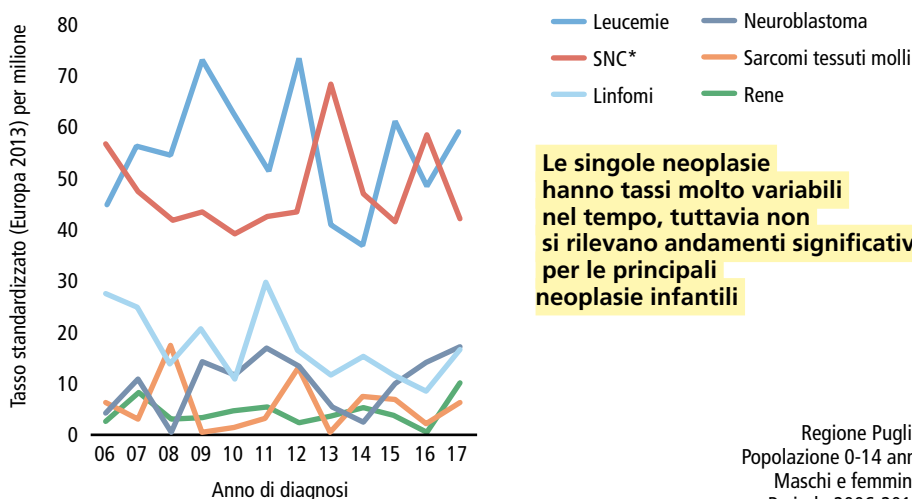
Figura 1.7 Andamento temporale dei tassi standardizzati di incidenza.



Regione Puglia
Popolazione 0-14 anni
Maschi e femmine
Periodo 2006-2017

In generale il trend dei tumori infantili in Puglia non mostra variazioni di rilievo

Figura 1.8 Andamento temporale dei tassi standardizzati per neoplasia.



Le singole neoplasie hanno tassi molto variabili nel tempo, tuttavia non si rilevano andamenti significativi per le principali neoplasie infantili

Regione Puglia
Popolazione 0-14 anni
Maschi e femmine
Periodo 2006-2017
*comprende i tumori non maligni del SNC

e il 5° anno dopo la diagnosi. Trascorsi 5 anni dalla diagnosi i decessi divengono sempre più rari: solo il 2% dei pazienti decede tra il 5° e il 10° anno dopo la diagnosi. **Figura 1.9**

La probabilità di morte dopo diagnosi di neoplasia in età infantile dipende soprattutto dal tipo di neoplasia diagnosticata. I linfomi e le neoplasie non maligne del sistema nervoso centrale sono associate a prognosi più favorevole e, quindi, a probabilità di morte inferiori rispetto alla media delle altre neoplasie: i pazienti che muoiono entro 10 anni a seguito di linfoma o di neoplasia non maligna del sistema nervoso centrale sono rispettivamente il 4% e il 3%.

Percentuali di mortalità superiori alla media si riscontrano invece per neoplasie quali il neuroblastoma e il sarcoma dei tessuti molli, con percentuali di decessi entro 10 anni dalla diagnosi pari rispettivamente al 25% e al 27% dei pazienti.

Tra le neoplasie associate a prognosi peggiore si citano le neoplasie primitive dell'osso, che portano al decesso il 39% dei pazienti entro 5 anni dalla diagnosi e fino al 44% entro 10 anni dalla diagnosi. Le neoplasie maligne del sistema nervoso centrale sono, infine, quelle per cui si rileva una sopravvivenza più bassa: la probabilità di decedere per queste neoplasie entro 5 anni dalla diagnosi è pari al 43%; tale probabilità giunge fino al 47% entro 10 anni dalla diagnosi.

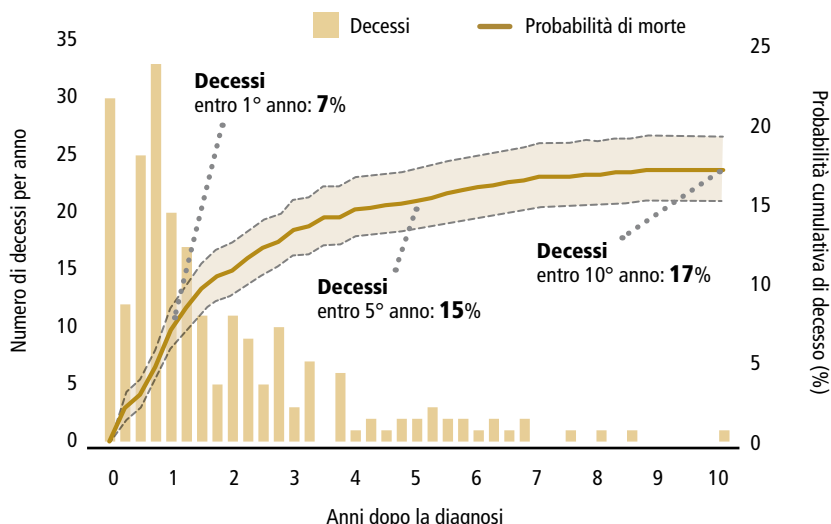
Figura 1.10

Confronti di incidenza nazionali

Per i confronti nazionali si farà riferimento alle diagnosi avvenute nel periodo 2008-2014 nel quale sono disponibili i dati degli altri due registri regionali operanti in Italia: quello della Regione Campania e della Regione Piemonte.

I tassi standardizzati di incidenza rilevati in Puglia in questo periodo sono pari a 201 casi per milione, lievemente superiori al dato campano (194) e piemontese (183). Le principali differenze si rilevano nei tassi osservati nel corso del primo anno di vita. **Figura 1.11**

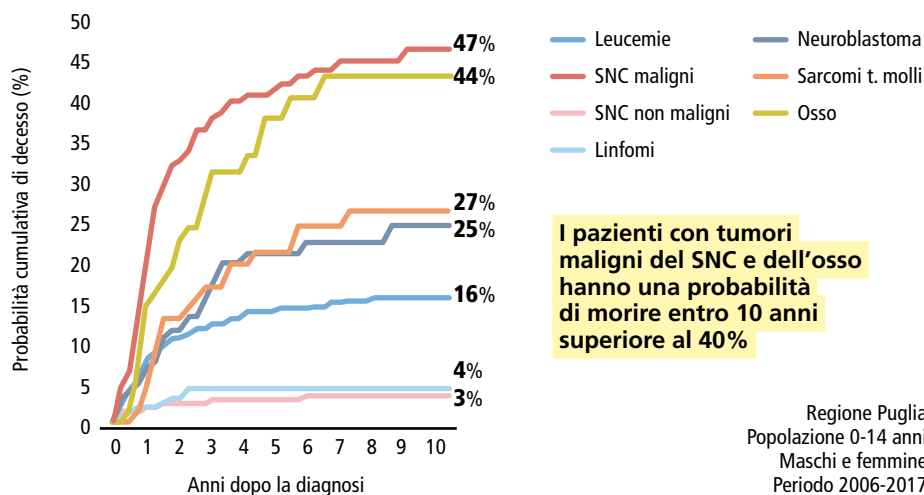
Figura 1.9 Decessi per anno e probabilità cumulativa di morte.



Regione Puglia
Popolazione 0-14 anni
Maschi e femmine
Periodo 2006-2017

L'85% dei pazienti sopravvive alla malattia dopo 5 anni, l'83% sopravvive a 10 anni

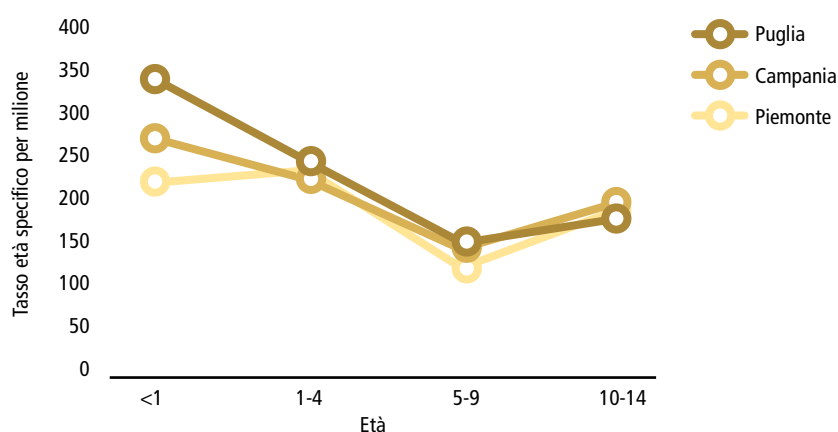
Figura 1.10 Probabilità cumulativa di morte entro 10 anni per neoplasia.



I pazienti con tumori maligni del SNC e dell'osso hanno una probabilità di morire entro 10 anni superiore al 40%

Regione Puglia
Popolazione 0-14 anni
Maschi e femmine
Periodo 2006-2017

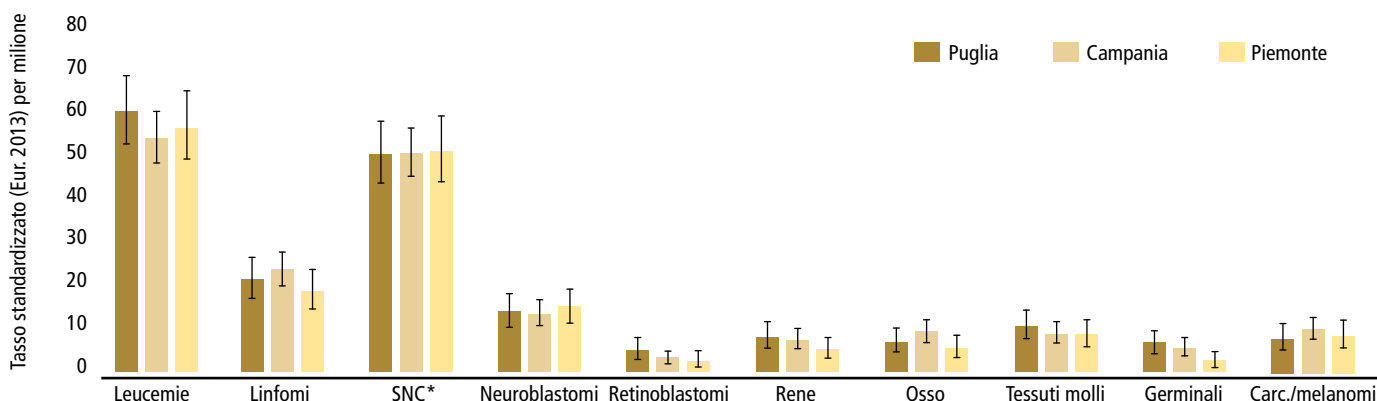
Figura 1.11 Confronto dei tassi specifici per età con altri registri tumori regionali.



Regione Puglia, Campania, Piemonte
Popolazione 0-14 anni
Maschi e femmine
Periodo 2008-2014

In Puglia sono state registrate più diagnosi nel 1° anno di vita rispetto ad altre regioni

Figura 1.12 Confronto dei tassi standardizzati con altri registri tumori regionali.



Regione Puglia, Campania, Piemonte
 Popolazione 0-14 anni
 Maschi e femmine
 Periodo 2008-2014
 *comprende i tumori non maligni del SNC

Leucemie, retinoblastomi, sarcomi dei tessuti molli e neoplasie germinali mostrano tassi lievemente superiori alla Campania e al Piemonte

Osservando gruppi specifici di neoplasie, si rileva un'incidenza superiore nella Regione Puglia rispetto alle altre due regioni per alcune neoplasie diagnosticate tipicamente nei primi mesi di vita, quali i retinoblastomi e le neoplasie a cellule germinali.

Un'incidenza leggermente più alta si osserva anche per il complesso delle leucemie, per i tumori renali e per i sarcomi dei tessuti molli.

Figura 1.12

Confronti di incidenza per provincia

Per il complesso di tutte le neoplasie, l'analisi dei tassi di incidenza mostra ampia variabilità.

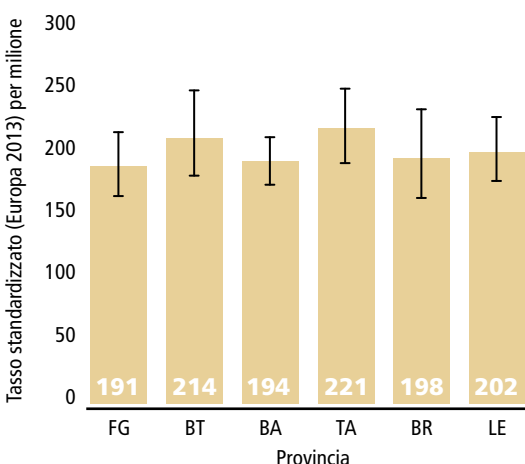
Nel periodo considerato la maggiore incidenza si rileva in provincia di Taranto (221 casi su milione), Barletta-Andria-Trani (214 casi su milione) e Lecce (202 casi su milione).

Figura 1.13

Le mappe di incidenza per comune

I dati riportati attraverso le mappe per comune e, in particolare, le elaborazioni contenenti il cosiddetto rischio relativo di malattia "lisciato", che corregge per la variabilità locale e generale del dato, e della probabilità a posteriori, che attesta la solidità di eventuali aree a maggiore o minore rischio, non mostrano aree di aggregazioni di comuni a rischio differente dalla media regionale per il complesso di tutti i tumori.

Figura 1.13 Confronto dei tassi standardizzati per provincia.



Le province di Taranto e di Barletta-Andria-Trani mostrano tassi maggiori pur con elevata variabilità

Regione Puglia
 Popolazione 0-14 anni
 Maschi e femmine
 Periodo 2006-2017

Si rimanda alle analisi per le principali neoplasie riportate nel capitolo 4 del volume. **Figura 1.14**

Gli istituti di ricovero e cura

Il 65% dei pazienti oncologici pediatrici viene seguito presso strutture regionali. La migrazione per la diagnosi definitiva e/o il trattamento avviene soprattutto verso la Regione Lazio (14% dei pazienti), Liguria (6%), Lombardia (5%), Toscana (3%) ed Emilia-Romagna (3%).

Per il complesso di tutte le neoplasie pediatriche, spicca il ruolo dell'Azienda Ospedaliera Universitaria Policlinico di Bari, considerata come riferimento per diagnosi e/o trattamento nel 35% dei casi, seguita dall'Ospedale Casa Sollievo della Sofferenza di San Giovanni Rotondo (14%), dall'Ospedale Pediatrico "Bambino Gesù" di Roma (7%), dall'Istituto "Gaslini" di Genova (6%), dal Policlinico Universitario "Agostino Gemelli" di Roma (6%) e dall'Ospedale "Vito Fazzi" di Lecce (5%). Gli ospedali di riferimento sono specifici per tipo di patologia. **Figura 1.15**

Figura 1.14 Mappe per comune.

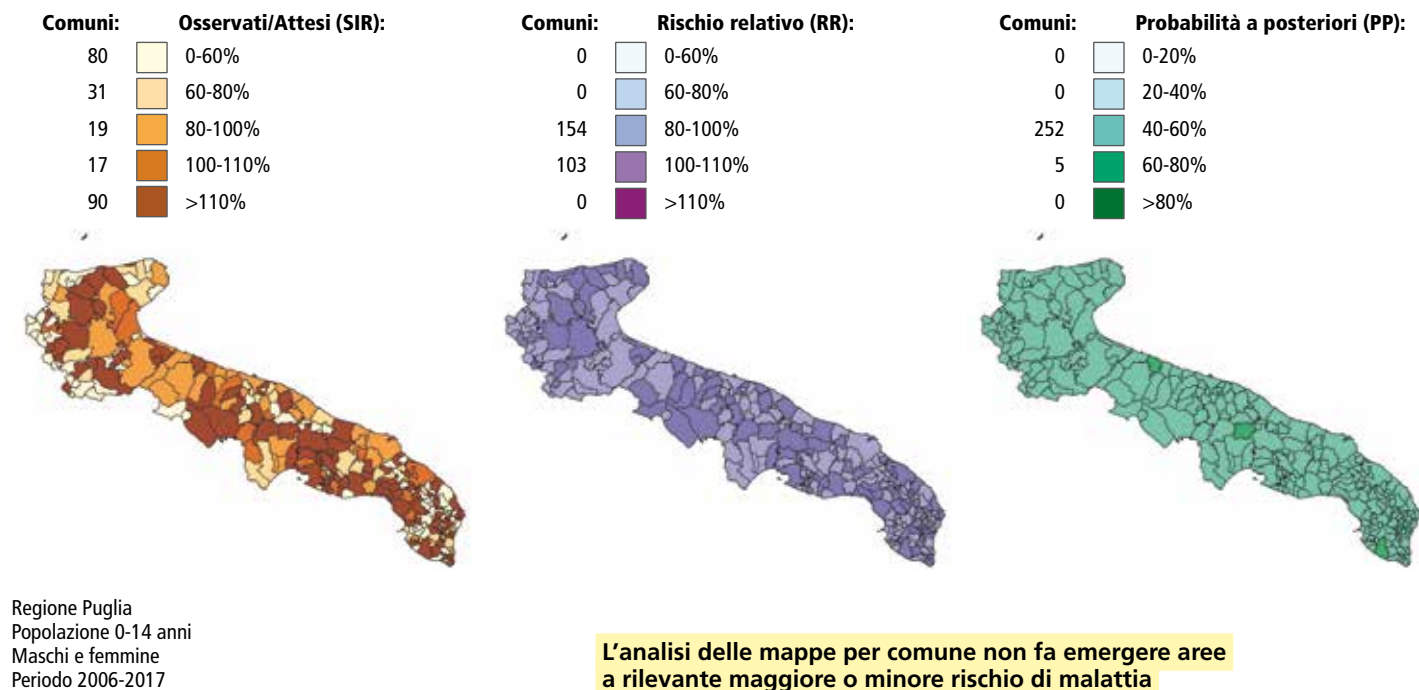
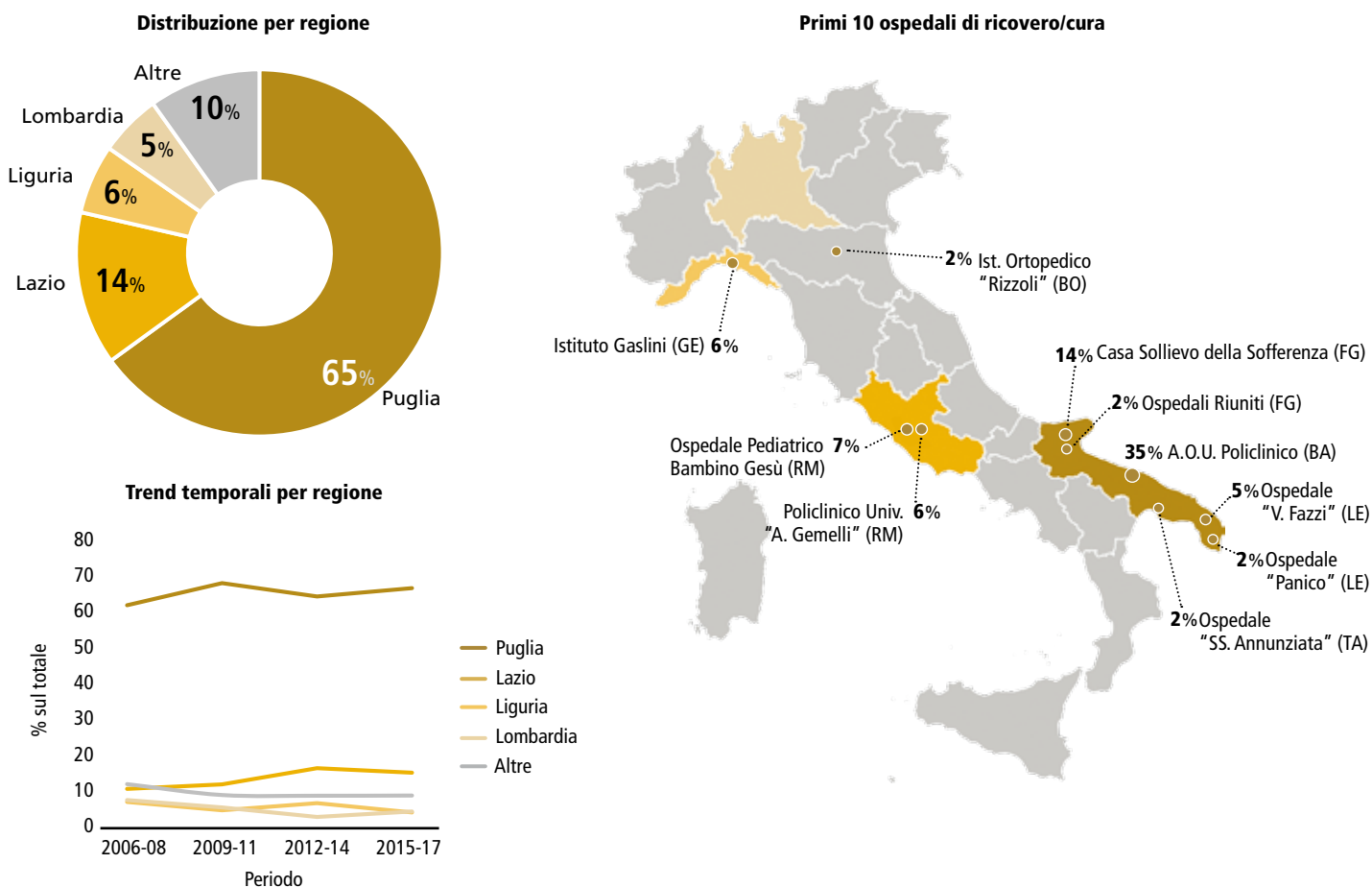
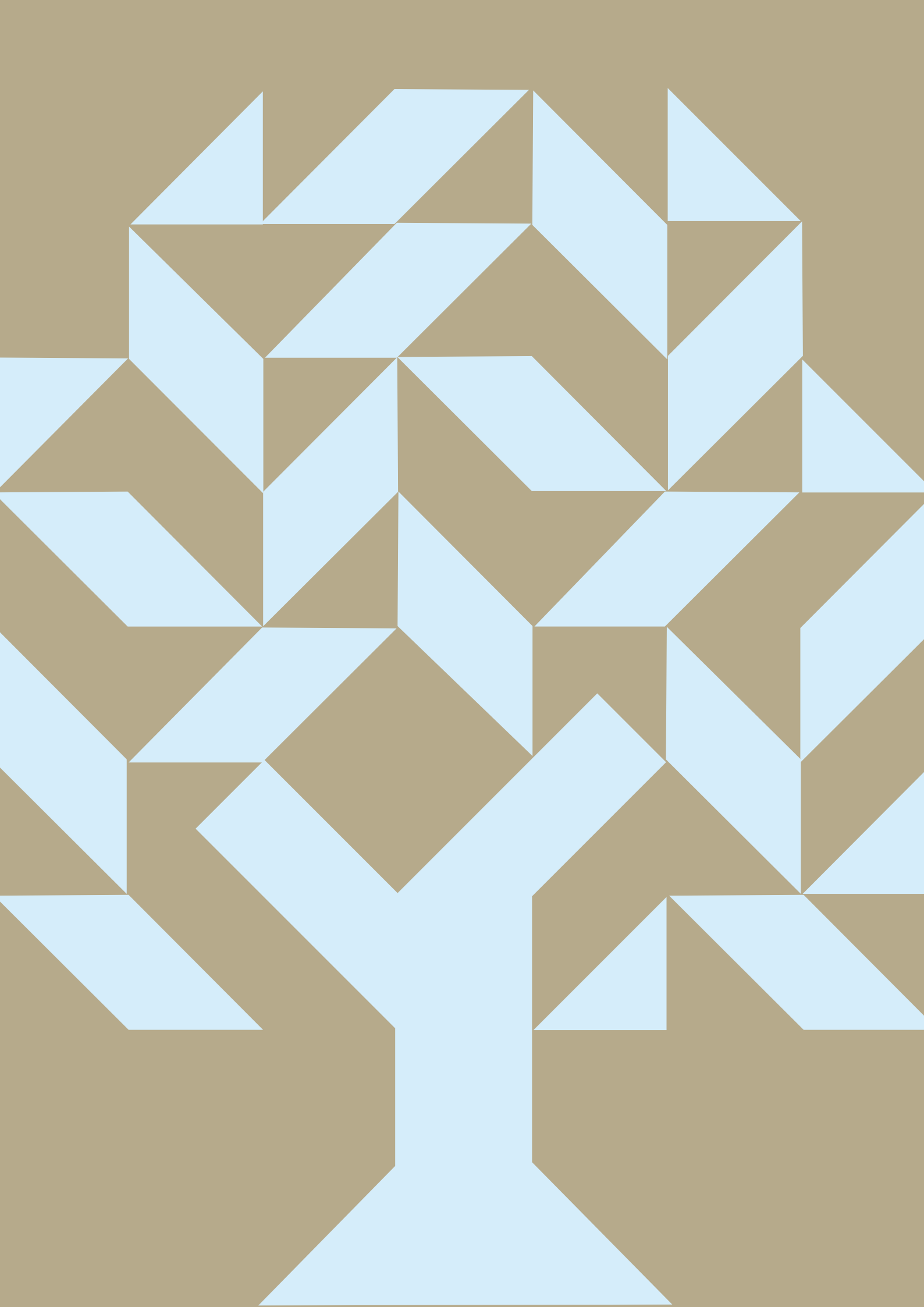


Figura 1.15 Ospedali di riferimento.



Quasi i 2/3 dei pazienti pugliesi viene seguito nella propria regione. Il Policlinico Universitario di Bari è il principale ospedale di riferimento dei pazienti pediatrici



**SCHEDE
PER
NEOPLASIA**

Leucemie

LEUCEMIE

INCIDENZA. Nel periodo 2006-2017 sono state diagnosticate in media 36 leucemie ogni anno. Il tasso standardizzato è pari a 60 casi su milione, poco più alto nei maschi rispetto alle femmine. Il numero di casi osservati è leggermente inferiore al dato medio dei RT infantili nei maschi, superiore nelle femmine. Tabella 2.1.

FREQUENZA. Le leucemie linfatiche sono la tipologia più frequente (75%), seguite dalle mieloidi acute (16%). Tabella 2.2.

ASSISTENZA. La grande maggioranza dei pazienti (87%) è seguita da centri pugliesi e in particolare dall'A.O.U. Policlinico di Bari. Figura 2.1.

TREND. Il trend temporale dei tassi di incidenza dal 2006 al 2017 appare sostanzialmente stabile (-0,5% all'anno). Figura 2.2. L'andamento per provincia mostra una sostanziale stabilità, salvo due picchi di incidenza per BT (2009-11) e TA (2015-17). Figura 2.3.

ETÀ. I tassi di incidenza sono massimi tra 1 e 4 anni di età (1 caso ogni 9.500 bambini). Figura 2.4.

CONFRONTI. I tassi pugliesi sono lievemente superiori a quelli medi osservati nei RT infantili (Puglia, Campania e Piemonte). Tra le province i tassi più alti si rilevano a Taranto, Barletta-Andria-Trani e Bari. Figura 2.5.

MORTALITÀ. Il 16% dei pazienti muore entro 10 anni dalla diagnosi. Figura 2.6. Il trend della probabilità di morte a 3 anni dalla diagnosi è stimato in calo del 4,9% all'anno. Figura 2.7.

Tabella 2.1 Sintesi dei dati per genere.

| | M | F | Totale |
|--|---------------------|---------------------|---------------------|
| Numero casi/anno | 19 | 17 | 36 |
| % sul totale delle neoplasie | 29,7 | 29,7 | 29,7 |
| Numero casi totali 2006-2017 | 225 | 203 | 428 |
| Tasso su milione | 61 | 58,2 | 59,7 |
| Tasso std. su milione (EU 2013) | 61,2 | 58,4 | 59,8 |
| Casi/attesi RT infantili 2010-14 (intervalli di confidenza al 95%) | 0,95 (0,79-1,12) | 1,22 (1,02-1,45) | 1,07 (0,94-1,21) |

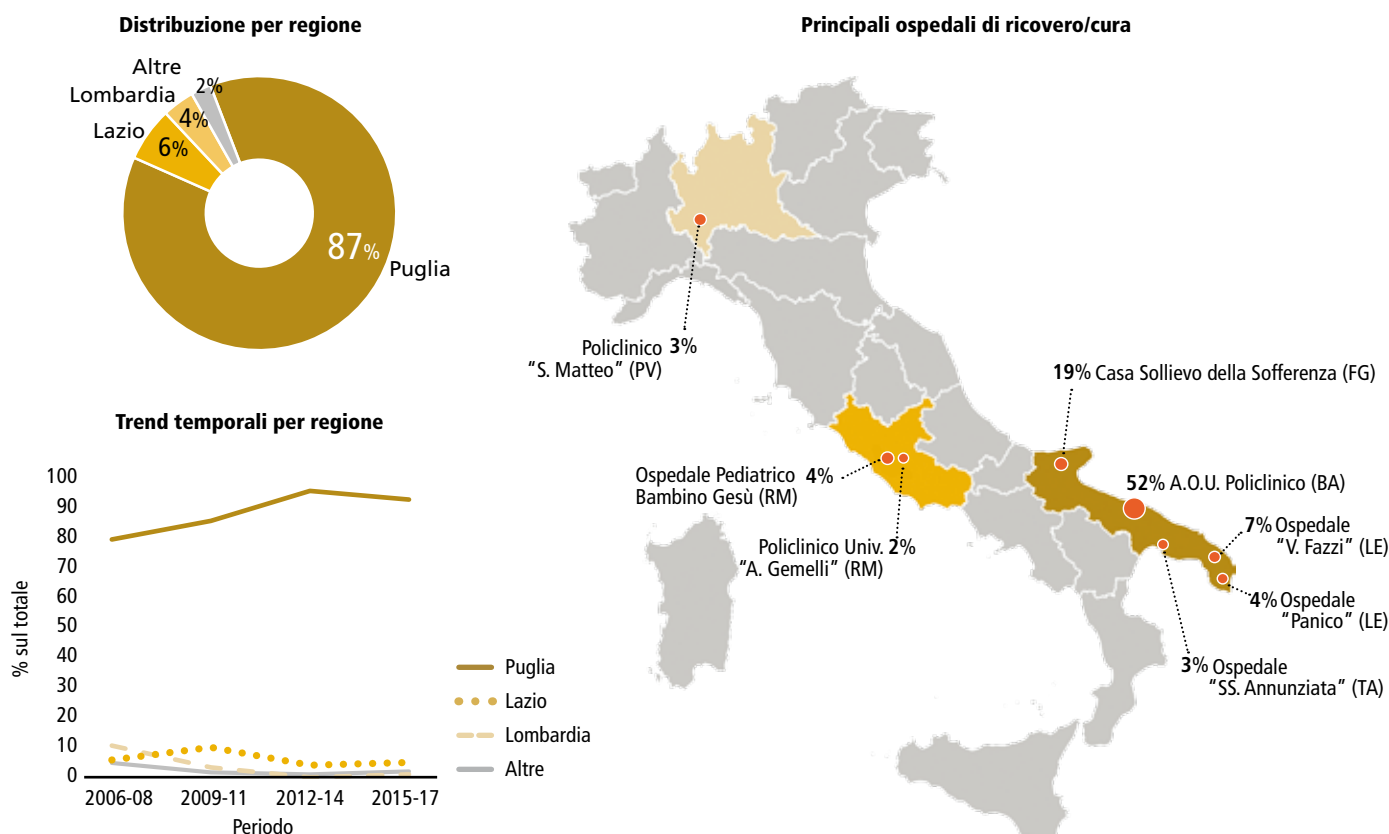
LEUCEMIE

Tabella 2.2 Distribuzione per gruppo morfologico ICC-3.

| | Casi | % |
|---|------|----|
| la - Leucemie linfatiche | 323 | 75 |
| la.1 - Leucemie a cellule dei precursori | 317 | 74 |
| la.2 - Leucemie a cellule B mature | 6 | 1 |
| la.3 - Leucemie a cellule T e NK mature | 0 | 0 |
| la.4 - Leucemie linfatiche, NAS | 0 | 0 |
| lb - Leucemie mieloidi acute | 69 | 16 |
| lc - Malattie mieloproliferative croniche | 15 | 4 |
| ld - Sindromi mielodisplastiche | 16 | 4 |
| le - Leucemie, NAS | 5 | 1 |

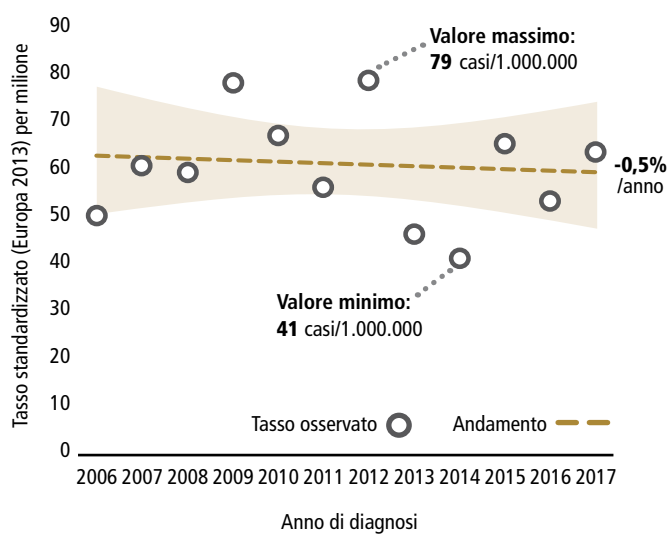
Figura 2.1 Ospedali di riferimento.

LEUCEMIE



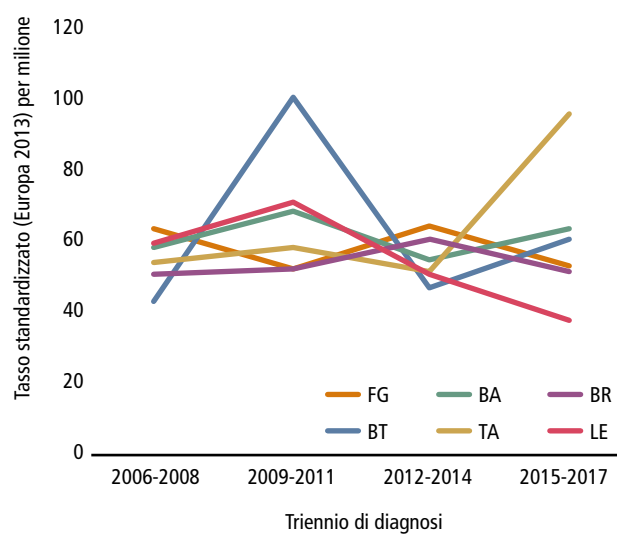
LEUCEMIE

Figura 2.2 Andamento temporale dei tassi std di incidenza.



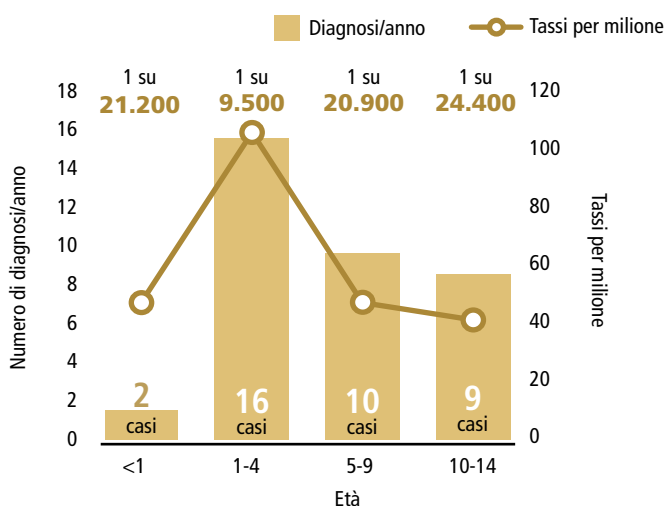
LEUCEMIE

Figura 2.3 Andamento temporale dei tassi std per provincia.



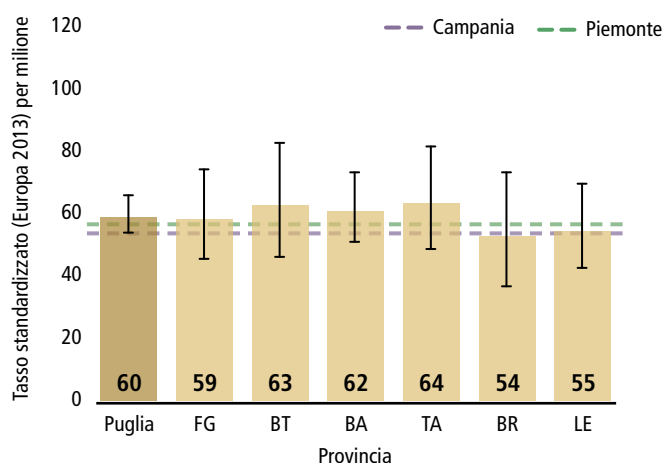
LEUCEMIE

Figura 2.4 Numero di casi annuali e tassi per fascia di età.



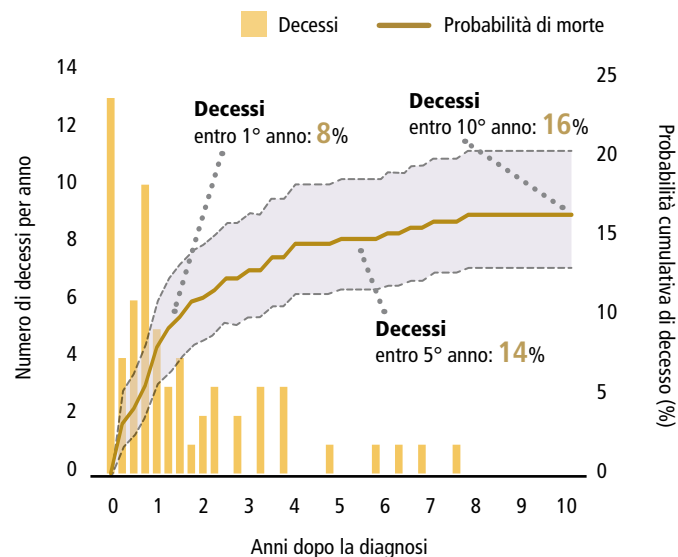
LEUCEMIE

Figura 2.5 Confronto dei tassi standardizzati con altri registri regionali e per provincia.



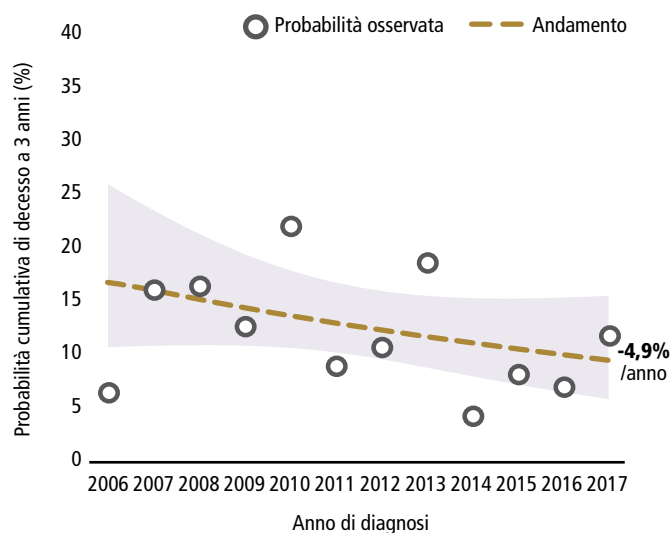
LEUCEMIE

Figura 2.6 Decessi per anno e probabilità cumulativa di morte.



LEUCEMIE

Figura 2.7 Andamento temporale della probabilità di morte a 3 anni dall'incidenza.



Linfomi

LINFOMI

INCIDENZA. Nel periodo 2006-2017 sono stati diagnosticati in media 14 linfomi ogni anno. Il tasso standardizzato è pari a 23 casi su milione, più alto nei maschi rispetto alle femmine. Il numero di casi osservati è inferiore al dato medio dei RT infantili nei maschi, superiore nelle femmine. Tabella 2.3.

FREQUENZA. Il linfoma più diagnosticato è quello di Hodgkin (48%), seguito dai linfomi di Burkitt (20%) e dai linfomi linfoblastici (12%). Tabella 2.4.

ASSISTENZA. La grande maggioranza dei pazienti (80%) viene assistita in centri pugliesi. Figura 2.8.

TREND. Il trend dei tassi di incidenza dal 2006 al 2017 sono in decremento (-4,8% all'anno). Figura 2.9.

L'andamento per provincia mostra ampia variabilità con un notevole calo nella provincia di Brindisi. Figura 2.10.

ETÀ. Il tasso di incidenza cresce con l'età ed è massimo dopo i 10 anni. Figura 2.11.

CONFRONTI. L'incidenza regionale è compresa tra quella rilevata in Campania e in Piemonte. Si osservano tassi più alti nelle province di Foggia, Taranto e Brindisi (25/milione).

Figura 2.12.

MORTALITÀ. Solo il 4% dei pazienti muore entro 10 anni dalla diagnosi, con una stabilizzazione già dopo i 5 anni. Figura 2.13. La probabilità di morte a 3 anni dalla diagnosi è stimata in decremento del 13% all'anno. Negli ultimi tre anni non sono stati rilevati decessi. Figura 2.14.

Tabella 2.3 Sintesi dei dati per genere.

| | M | F | Totale |
|--|---------------------|---------------------|--------------------|
| Numero casi/anno | 8 | 6 | 14 |
| % sul totale delle neoplasie | 12,8 | 11,4 | 9,8 |
| Numero casi totali 2006-2017 | 97 | 67 | 164 |
| Tasso su milione | 26,3 | 19,2 | 22,9 |
| Tasso std. su milione (EU 2013) | 26 | 18,8 | 22,5 |
| Casi/attesi RT infantili 2010-14 (intervalli di confidenza al 95%) | 0,94 (0,72-1,22) | 1,05 (0,74-1,45) | 0,98 (0,79-1,2) |

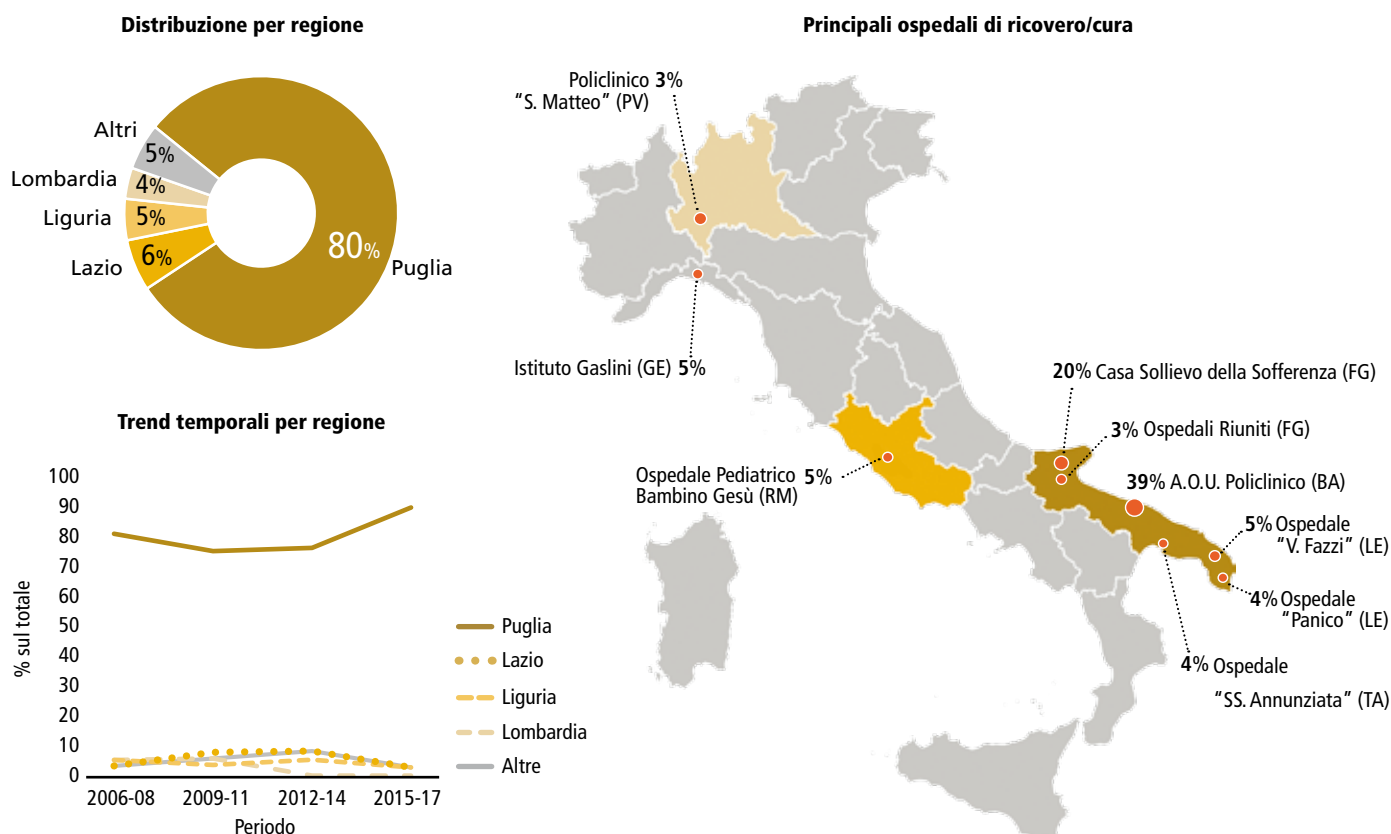
LINFOMI

Tabella 2.4 Distribuzione per gruppo morfologico ICC3-3.

| | Casi | % |
|---|------|----|
| Ila - Linfomi di Hodgkin | 79 | 48 |
| Ilb - Linfomi non Hodgkin | 49 | 30 |
| Ilb.1 - Linfomi linfoblastici | 19 | 12 |
| Ilb.2 - Linfomi a cellule B mature | 15 | 9 |
| Ilb.3 - Linfomi a cellule T e NK mature | 13 | 8 |
| Ilb.4 - Linfomi non Hodgkin, NAS | 2 | 1 |
| Ilc - Linfoma di Burkitt | 33 | 20 |
| Ild - Altri linfomi | 3 | 2 |
| Ile - Linfomi non specificati | 0 | 0 |

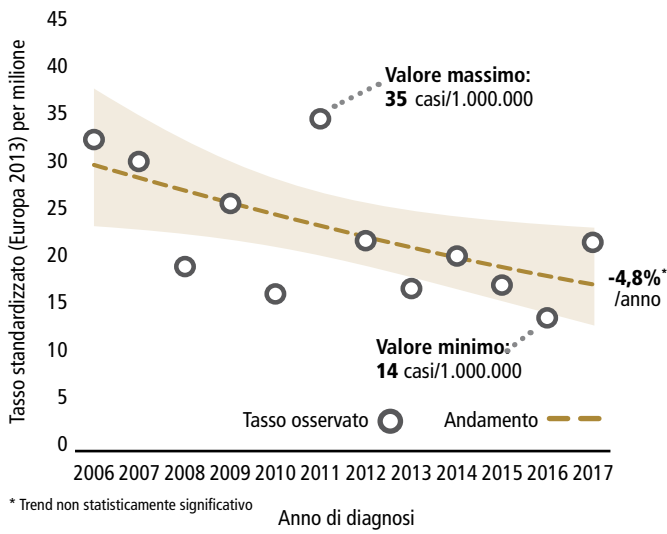
Figura 2.8 Ospedali di riferimento.

LINFOMI



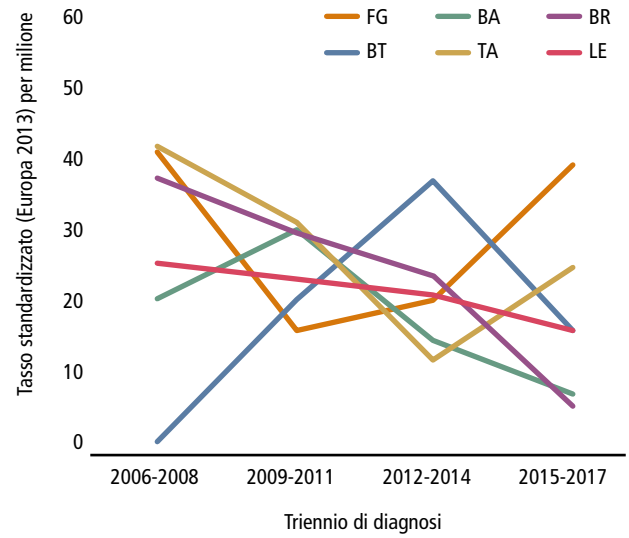
LINFOMI

Figura 2.9 Andamento temporale dei tassi std di incidenza.



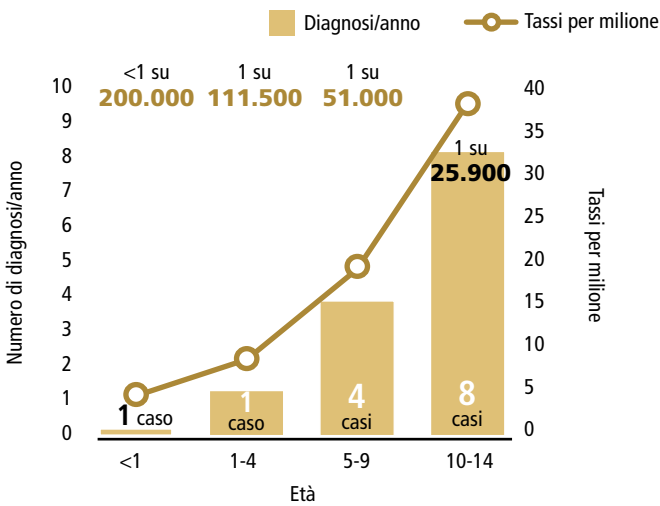
LINFOMI

Figura 2.10 Andamento temporale dei tassi std per provincia.



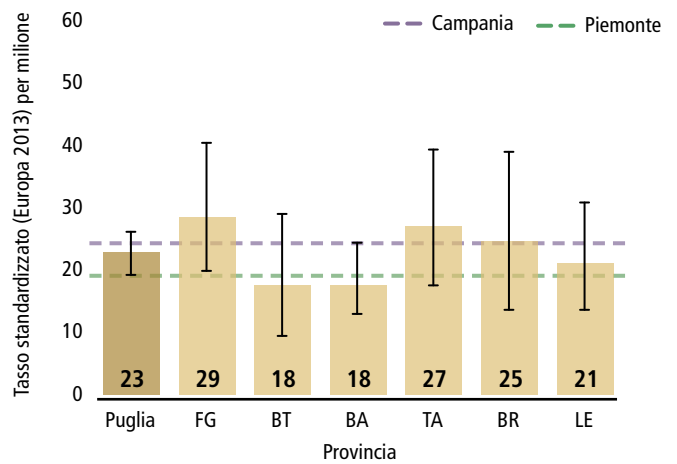
LINFOMI

Figura 2.11 Numero di casi annuali e tassi per fascia di età.



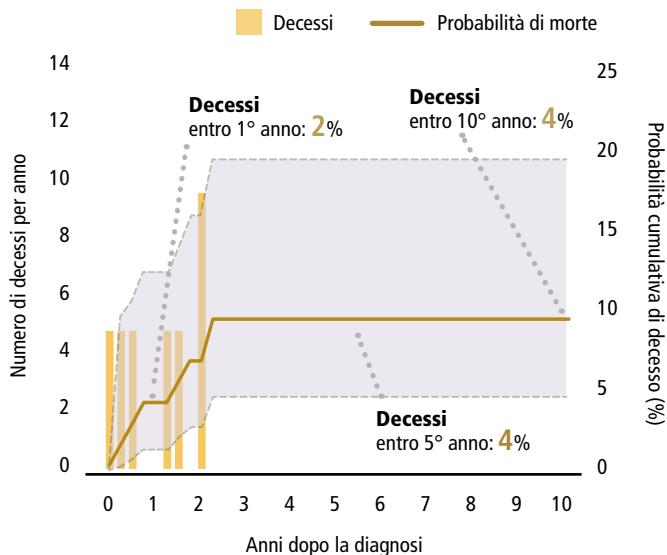
LINFOMI

Figura 2.12 Confronto dei tassi standardizzati con altri registri regionali e per provincia.



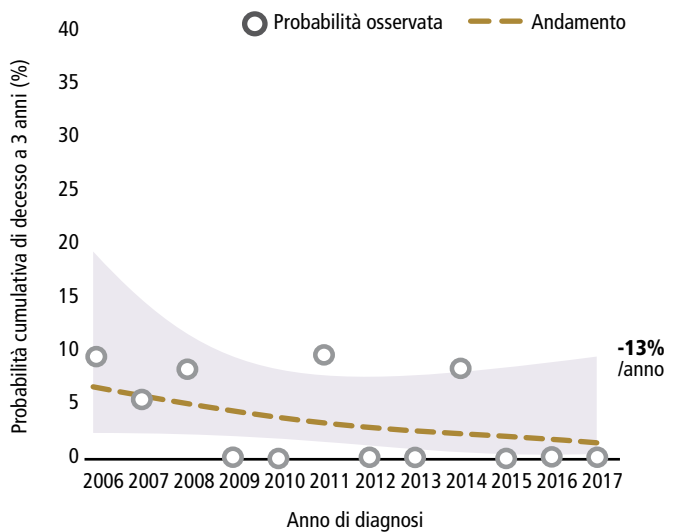
LINFOMI

Figura 2.13 Decessi per anno e probabilità cumulativa di morte.



LINFOMI

Figura 2.14 Andamento temporale della probabilità di morte a 3 anni dall'incidenza.



Sistema nervoso centrale

SNC

INCIDENZA. Nel periodo 2006-2017 sono stati diagnosticati in media ogni anno 31 neoplasie del sistema nervoso centrale, incluse le patologie non maligne. Il tasso standardizzato è pari a 52 casi su milione, più alto nei maschi rispetto alle femmine. Il numero di casi osservati è di poco superiore al dato medio dei RT infantili nei maschi, inferiore nelle femmine. Tabella 2.5.

FREQUENZA. Gli istotipi più diagnosticati sono gli astrocitomi (34%) e i medulloblastomi (12%). Solo nel 20% dei casi non è stato rilevato un istotipo specifico. Tabella 2.6.

ASSISTENZA. Più della metà dei pazienti effettua diagnosi/trattamento fuori regione e in particolare nella Regione Lazio, con un trend in aumento costante della migrazione fuori regione. Figura 2.15.

TREND. Il trend temporale dei tassi di incidenza dal 2006 al 2017 risulta stabile (+0,3% all'anno). Figura 2.16. L'andamento per provincia mostra ampia variabilità. Figura 2.17.

ETÀ. I tumori del SNC possono essere diagnosticati in tutte le fasce di età con incidenza lievemente maggiore tra 1 e 4 anni (1 caso ogni 16.400 bambini). Figura 2.18.

CONFRONTI. Non ci sono particolari differenze con i tassi delle altre regioni. Si osservano tassi più bassi nella provincia di Brindisi. Figura 2.19.

MORTALITÀ. La mortalità a 10 anni dalla diagnosi è del 22%. Figura 2.20. Tuttavia la probabilità di morte a 3 anni dalla diagnosi è stimata in decrescita del 6,7% all'anno. Figura 2.21.

Tabella 2.5 Sintesi dei dati per genere.

| | M | F | Totale |
|--|------------------|------------------|------------------|
| Numero casi/anno | 17 | 14 | 31 |
| % sul totale delle neoplasie | 27 | 25 | 26 |
| Numero casi totali 2006-2017 | 204 | 171 | 365 |
| Tasso su milione | 55,3 | 49,0 | 52,3 |
| Tasso std. su milione (EU 2013) | 55,4 | 49,0 | 52,3 |
| Casi/attesi RT infantili 2010-14 (intervalli di confidenza al 95%) | 1,06 (0,88-1,26) | 0,93 (0,75-1,14) | 1,00 (0,87-1,14) |

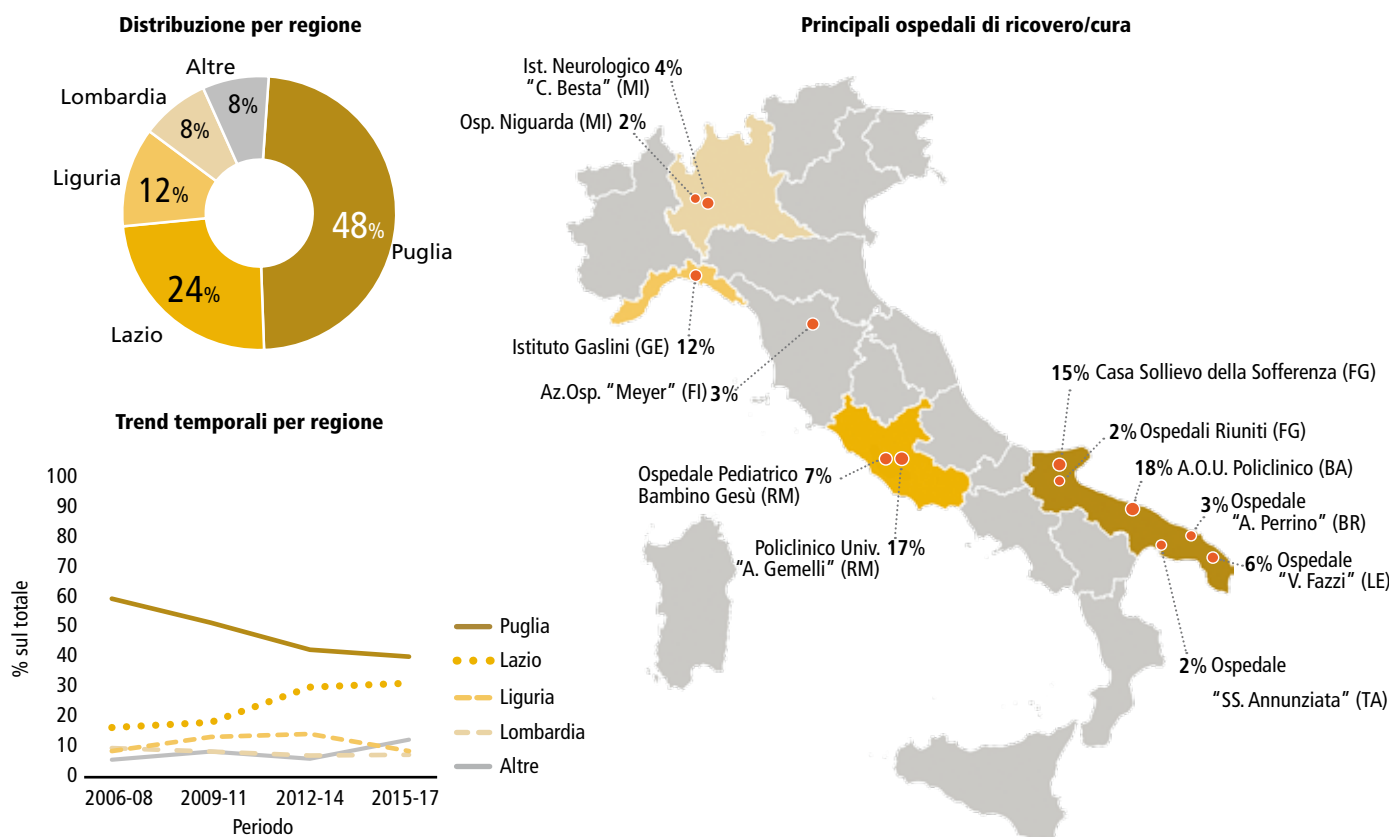
SNC

Tabella 2.6 Distribuzione per gruppo morfologico ICC-3.

| | Casi | % |
|--|------|----|
| IIIa - Ependimomi e tum. dei plessi coroidei | 32 | 9 |
| IIIa.1 - Ependimomi | 24 | 6 |
| IIIb - Astrocitomi | 127 | 34 |
| IIIc - Tumori embrionali del SNC | 55 | 15 |
| IIIc.1 - Medulloblastomi | 44 | 12 |
| IIId - Altri gliomi | 25 | 7 |
| IIIf - Altre neoplasie del SNC specificate | 61 | 16 |
| IIIf.4 - Tumori neuronali e misti | 35 | 9 |
| IIIf.5 - Meningiomi | 13 | 3 |
| IIIf - Neoplasie del SNC non specificate | 75 | 20 |

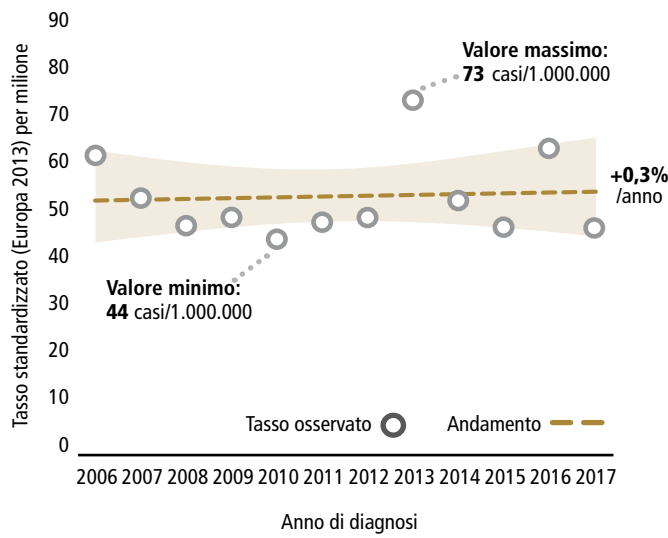
Figura 2.15 Ospedali di riferimento.

SNC



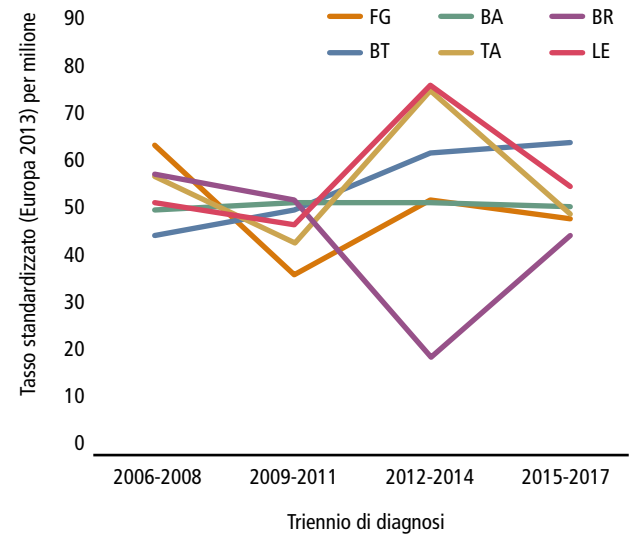
SNC

Figura 2.16 Andamento temporale dei tassi std di incidenza.



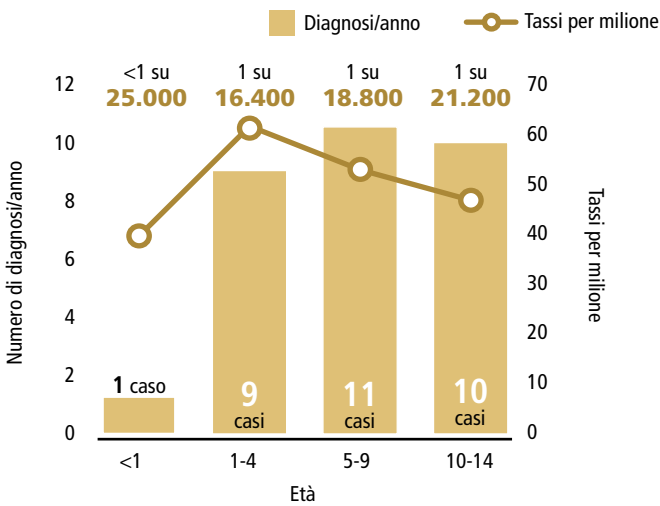
SNC

Figura 2.17 Andamento temporale dei tassi std per provincia.



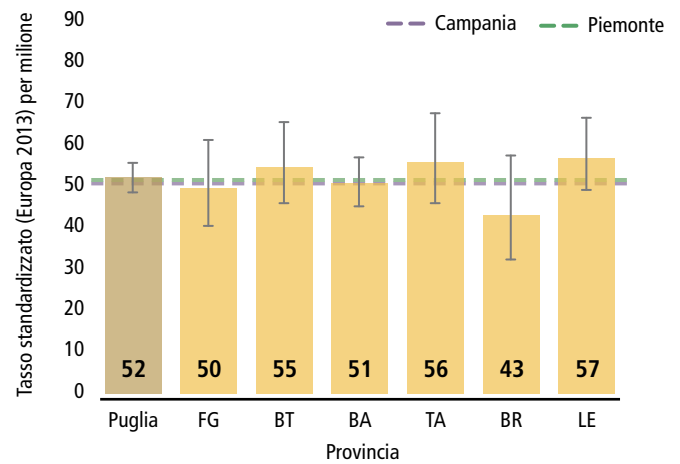
SNC

Figura 2.18 Numero di casi annuali e tassi per fascia di età.



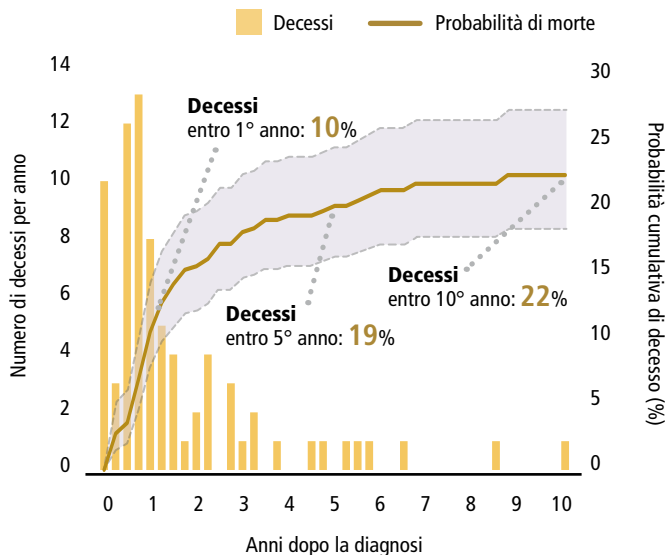
SNC

Figura 2.19 Confronto dei tassi standardizzati con altri registri regionali e per provincia.



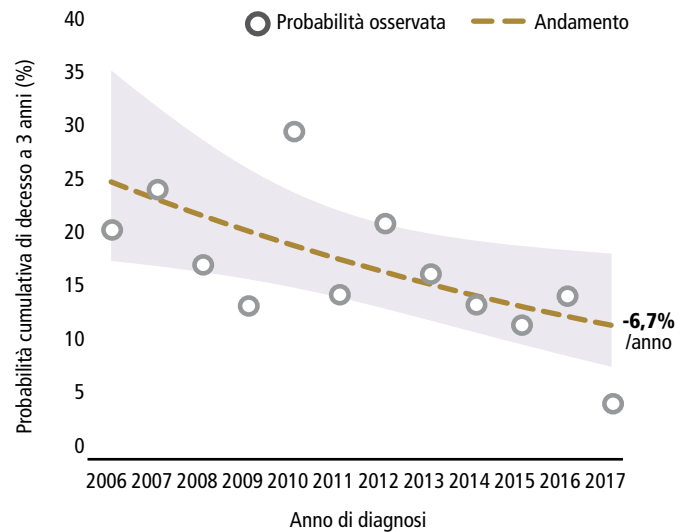
SNC

Figura 2.20 Decessi per anno e probabilità cumulativa di morte.



SNC

Figura 2.21 Andamento temporale della probabilità di morte a 3 anni dall'incidenza.



Neuroblastomi

NEUROBLASTOMI

INCIDENZA. Nel periodo 2006-2017 sono stati diagnosticati in media 9 casi di neuroblastoma ogni anno. Il tasso standardizzato di incidenza è pari a 15 casi su milione, di poco più alto nelle femmine.

Il numero di casi osservati è uguale agli attesi nei maschi, lievemente più basso nelle femmine. Tabella 2.7.

ASSISTENZA. Due terzi dei pazienti si affida a centri di riferimento pugliesi e in particolare all'A.O.U. Policlinico di Bari con un trend in forte aumento delle ospedalizzazioni regionali. Figura 2.22.

TREND. Dal 2006 al 2017 i tassi di incidenza mostrano un andamento non consolidato (+2,7% all'anno) Figura 2.23. L'andamento per provincia mostra variazioni importanti di difficile interpretazione. Figura 2.24.

ETÀ. I neuroblastomi sono diagnosticati soprattutto nei primi mesi di vita (1 caso ogni 9.000 bambini prima del 1° anno di età). Figura 2.25.

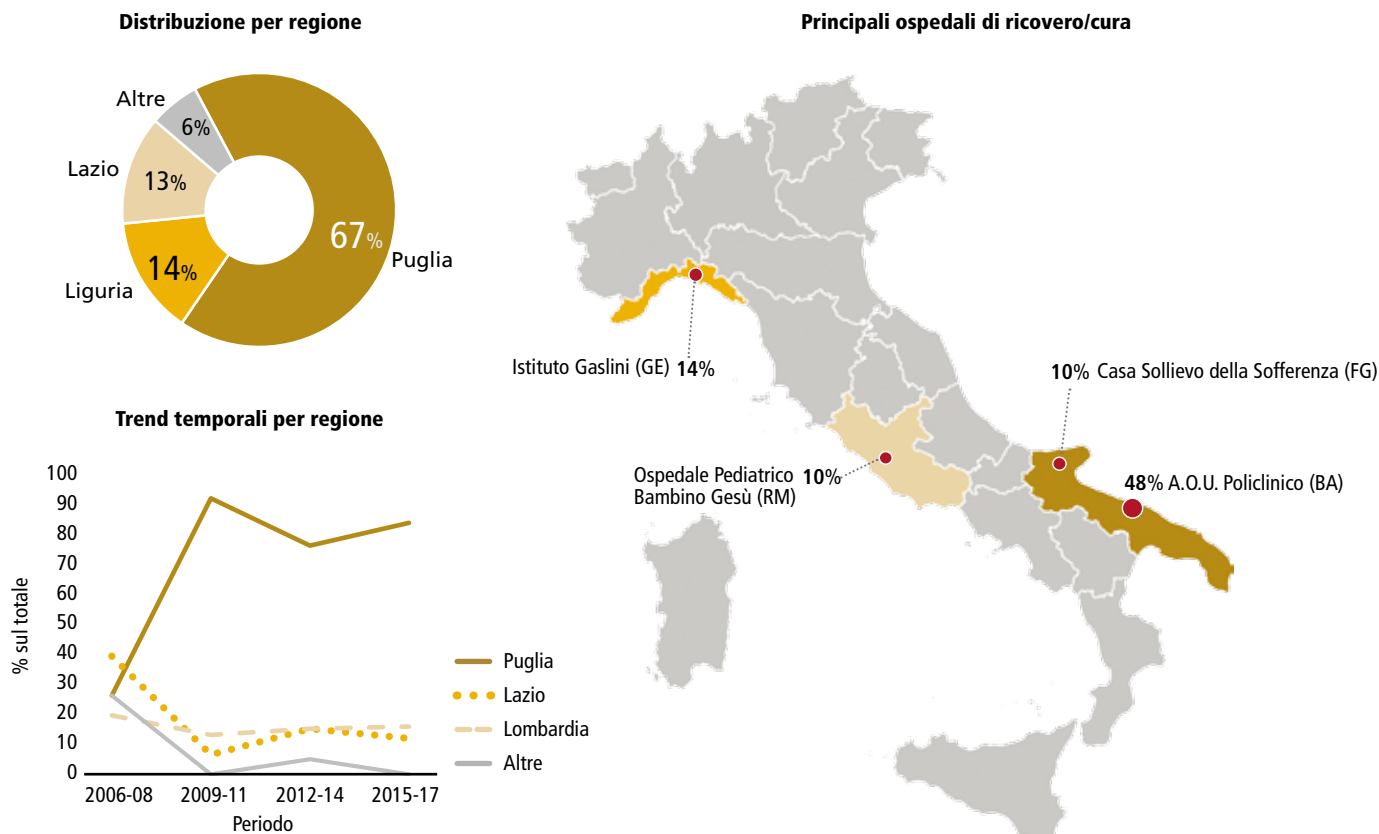
CONFRONTI. Non ci sono sostanziali differenze tra il dato della Puglia e quello dei RT del Piemonte e della Campania. Si osservano tassi più alti nella provincia di Brindisi e di Barletta-Andria-Trani. Figura 2.26.

MORTALITÀ. Un quarto dei pazienti decede entro 10 anni dalla diagnosi. Figura 2.27. La probabilità di morte a 3 anni dalla diagnosi è stimata tuttavia in forte decremento nel corso del periodo considerato. Figura 2.28.

Tabella 2.7 Sintesi dei dati per genere.

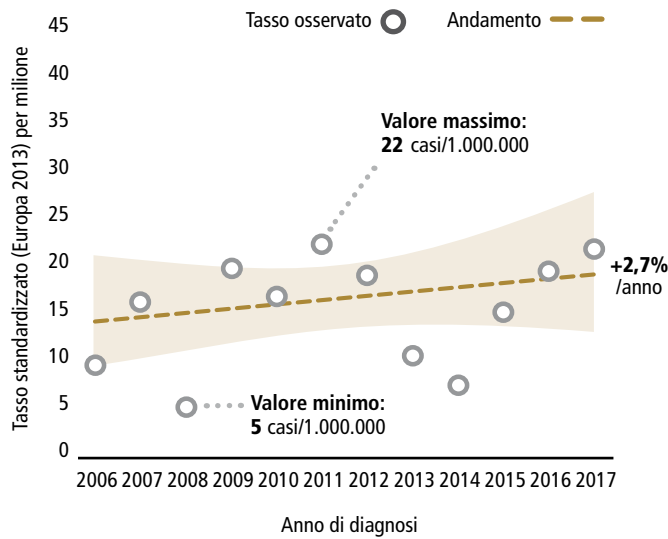
| | M | F | Totale |
|--|-----------------|--------------------|---------------------|
| Numero casi/anno | 4 | 5 | 9 |
| % sul totale delle neoplasie | 6,5 | 8 | 7,2 |
| Numero casi totali 2006-2017 | 49 | 55 | 104 |
| Tasso su milione | 13,3 | 15,8 | 14,5 |
| Tasso std. su milione (EU 2013) | 13,7 | 16,2 | 14,9 |
| Casi/attesi RT infantili 2010-14 (intervalli di confidenza al 95%) | 1 (0,69-1,4) | 0,95 (0,62-1,4) | 0,98 (0,75-1,26) |

Figura 2.22 Ospedali di riferimento.

NEUROBLASTOMI


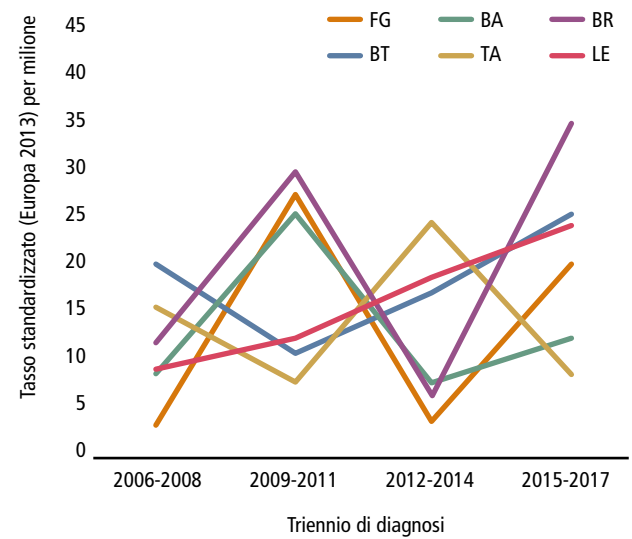
NEUROBLASTOMI

Figura 2.23 Andamento temporale dei tassi std di incidenza.



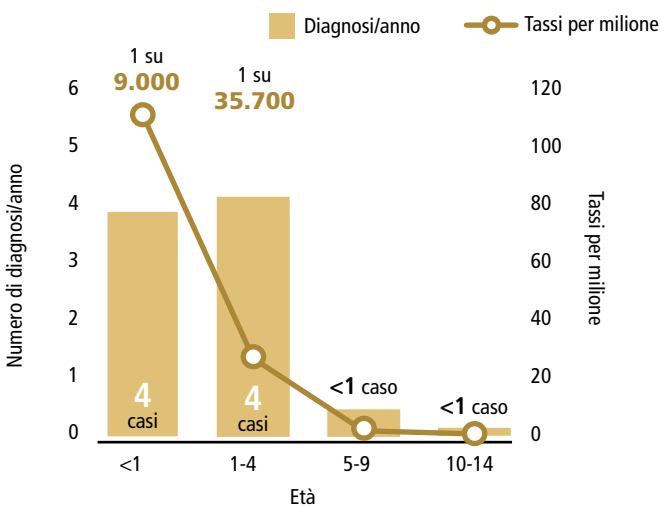
NEUROBLASTOMI

Figura 2.24 Andamento temporale dei tassi std per provincia.



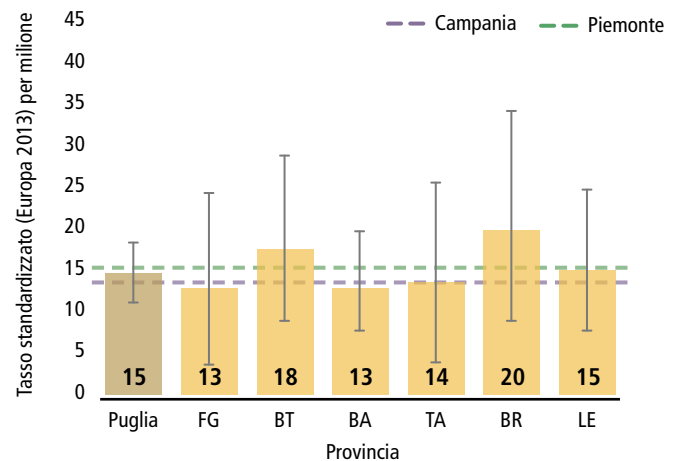
NEUROBLASTOMI

Figura 2.25 Numero di casi annuali e tassi per fascia di età.



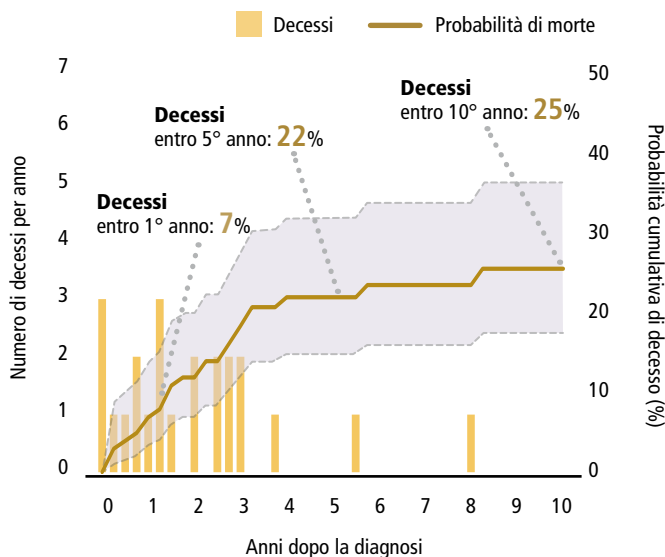
NEUROBLASTOMI

Figura 2.26 Confronto dei tassi standardizzati con altri registri regionali e per provincia.



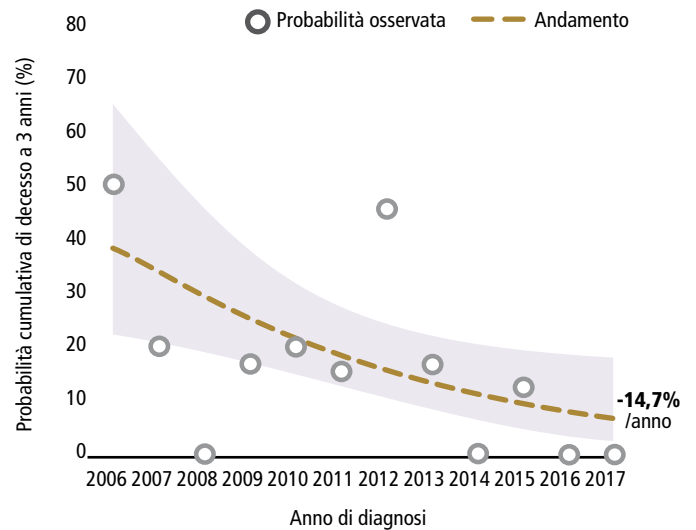
NEUROBLASTOMI

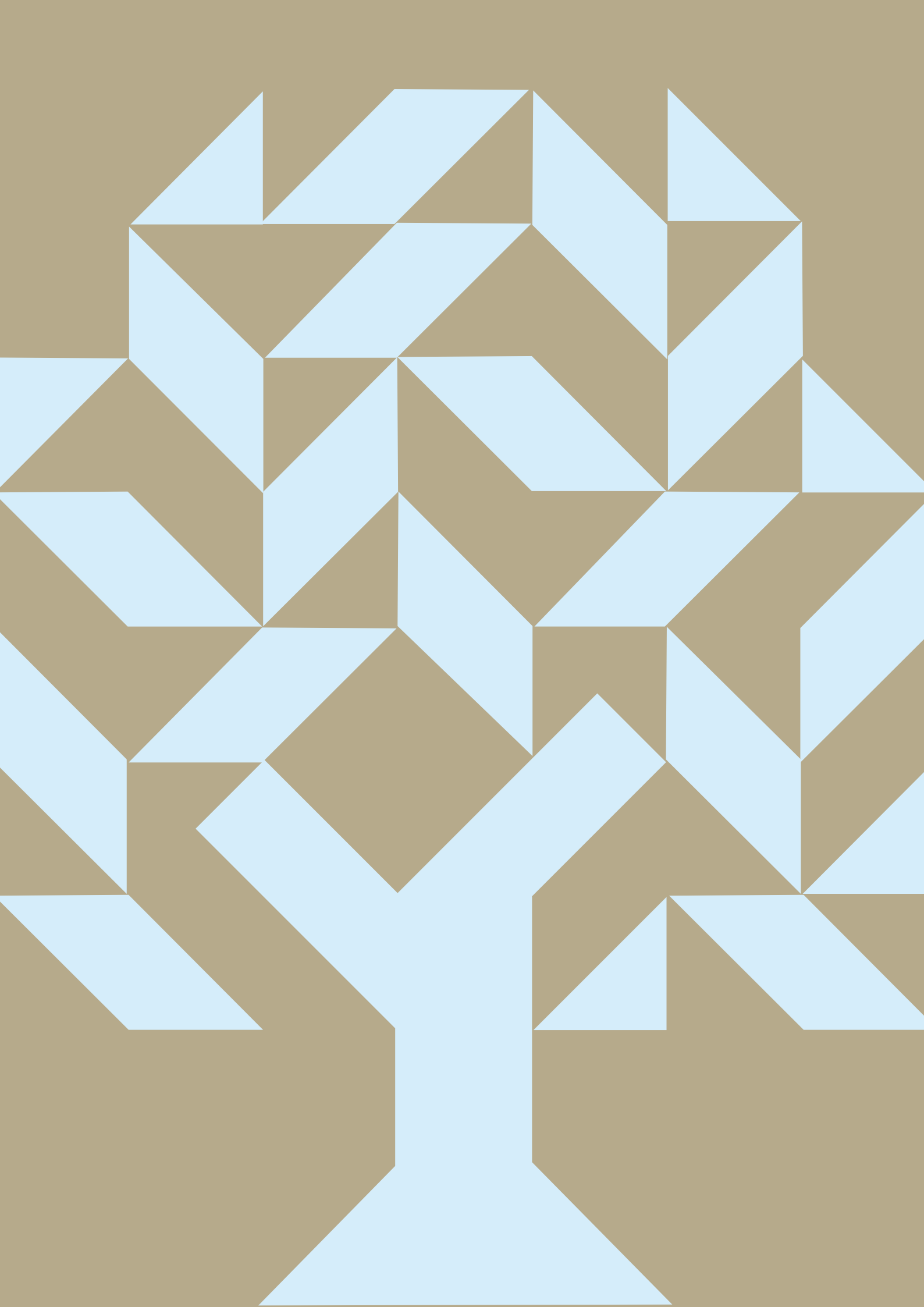
Figura 2.27 Decessi per anno e probabilità cumulativa di morte.



NEUROBLASTOMI

Figura 2.28 Andamento temporale della probabilità di morte a 3 anni dall'incidenza.





A large, stylized number '3' in a dark olive green color, serving as a background for the text.

**SCHEDE
PER
PROVINCIA**

Foggia

Nel periodo 2006-2017 sono stati diagnosticati in media 36 tumori infantili all'anno. Il tasso standardizzato di incidenza è pari a 189 per milione, più alto nei maschi rispetto alle femmine. Il numero di casi osservati è leggermente inferiore agli attesi nei maschi, come nelle femmine. Tabella 3.1. La distribuzione delle neoplasie è simile a quella della Puglia. Figura 3.1. Si osservano tassi più alti della media regionale per i linfomi, più bassi per SNC, neuroblastomi e tessuti molli. Figura 3.2. Dal 2006 al 2017 i tassi sono in lieve calo (-1,8% all'anno). Figura 3.3. Il 70% dei piccoli pazienti è seguito in ospedali della provincia. Figura 3.4.

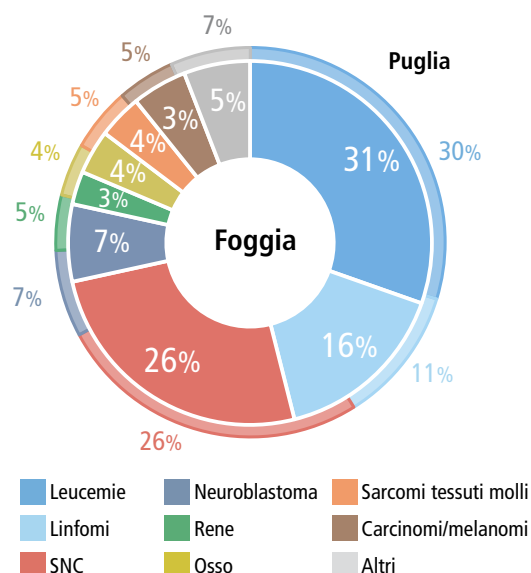
FOGGIA

Tabella 3.1 Sintesi dei dati per genere.

| | M | F | Totale |
|---|--------------------|---------------------|---------------------|
| Numero casi/anno | 10 | 9 | 36 |
| % per genere | 54 | 46 | 100 |
| Numero casi totali 2006-2017 | 121 | 103 | 224 |
| Tasso su milione | 198,2 | 178,8 | 188,7 |
| Tasso std. su milione (EU 2013) | 200,5 | 178,8 | 188,9 |
| Casi/attesi media regionale (intervalli di confidenza al 95%) | 0,97 (0,8-1,16) | 0,91 (0,75-1,11) | 0,94 (0,82-1,07) |

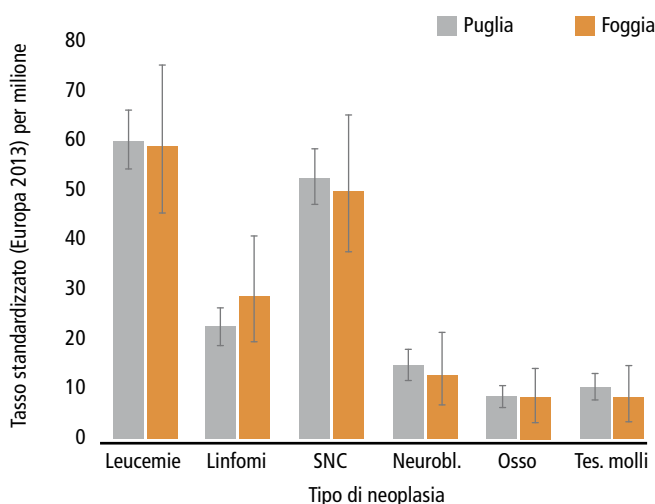
FOGGIA

Figura 3.1 Distribuzione per tipo di neoplasia.



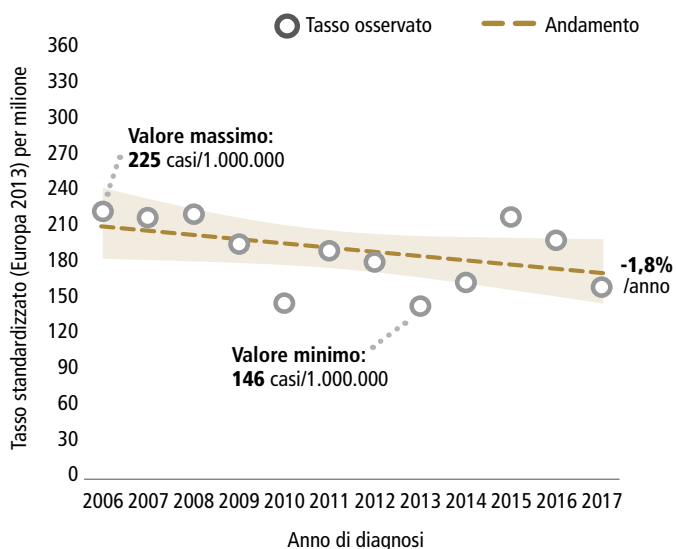
FOGGIA

Figura 3.2 Confronto dei tassi standardizzati delle principali neoplasie con la media regionale.



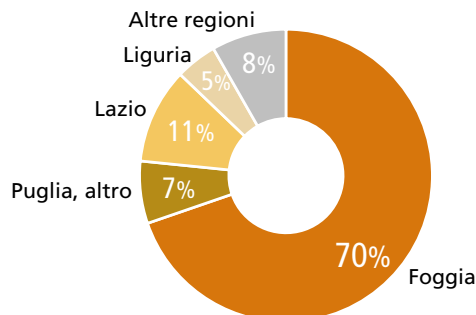
FOGGIA

Figura 3.3 Andamento temporale dei tassi std di incidenza.



FOGGIA

Figura 3.4 Ospedali di diagnosi/cura.



| Primi ospedali di diagnosi/cura | % |
|--|----|
| Osp. "Casa Sollievo della Sofferenza" (FG) | 60 |
| A.O.U. "OO. RR. Foggia" (FG) | 9 |
| A.O.U. Policlinico di Bari (BA) | 6 |
| Osp. pediatrico "Bambino Gesù" (RM) | 6 |
| Istituto "G. Gaslini" (GE) | 5 |

Barletta-Andria-Trani

Nel periodo 2006-2017 sono stati diagnosticati in media 14 tumori infantili all'anno. Il tasso standardizzato di incidenza è pari a 214 per milione, più basso nei maschi rispetto alle femmine. Il numero di casi osservati è uguale agli attesi nei maschi, superiore nelle femmine. Tabella 3.2. La distribuzione delle neoplasie è simile a quella della Puglia. Figura 3.5. Si osservano tassi poco più alti della media regionale per leucemie, SNC e neuroblastomi, più bassi per linfomi. Figura 3.6. Dal 2006 al 2017 i tassi sono altamente variabili. Figura 3.7. Solo il 2% dei piccoli pazienti è seguito in ospedali della provincia. Figura 3.8.

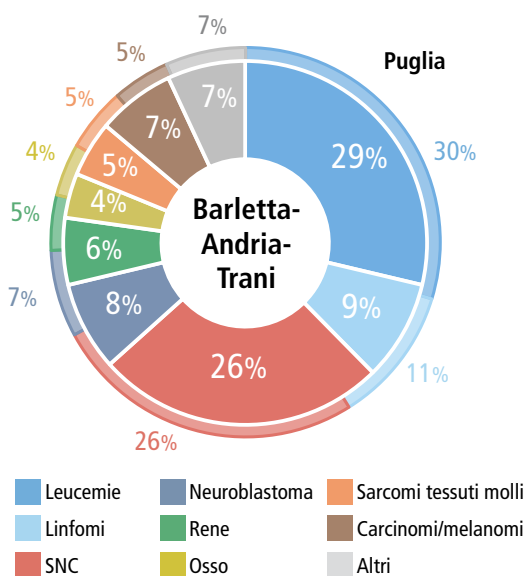
BARLETTA-ANDRIA-TRANI

Tabella 3.2 Sintesi dei dati per genere.

| | M | F | Totale |
|---|---------------------|---------------------|--------------------|
| Numero casi/anno | 7 | 7 | 14 |
| % per genere | 49 | 51 | 100 |
| Numero casi totali 2006-2017 | 80 | 83 | 163 |
| Tasso su milione | 202,4 | 222,3 | 212 |
| Tasso std. su milione (EU 2013) | 204,2 | 224,1 | 213,8 |
| Casi/attesi media regionale (intervalli di confidenza al 95%) | 0,99 (0,88-1,23) | 1,14 (0,91-1,41) | 1,06 (0,9-1,23) |

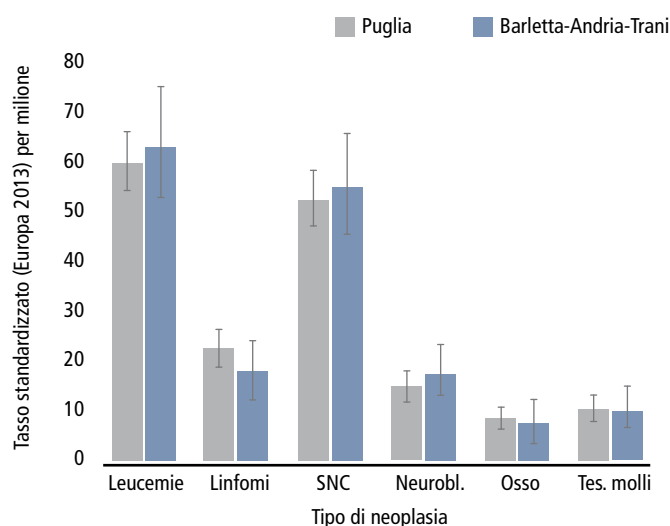
BARLETTA-ANDRIA-TRANI

Figura 3.5 Distribuzione per tipo di neoplasia.



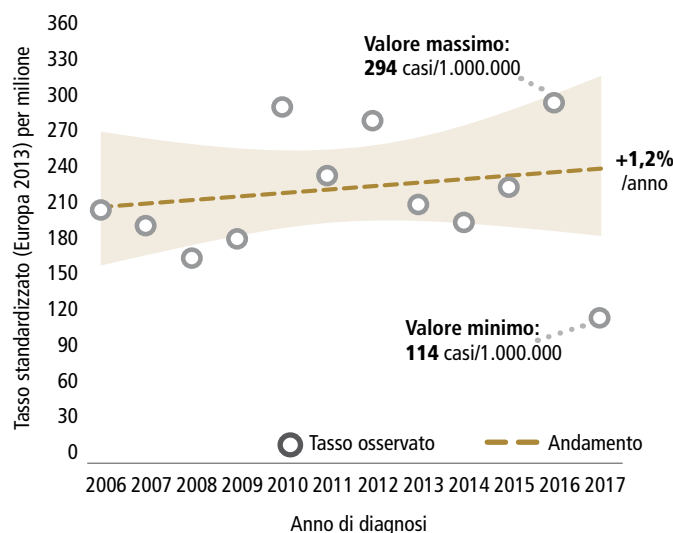
BARLETTA-ANDRIA-TRANI

Figura 3.6 Confronto dei tassi standardizzati delle principali neoplasie con la media regionale.



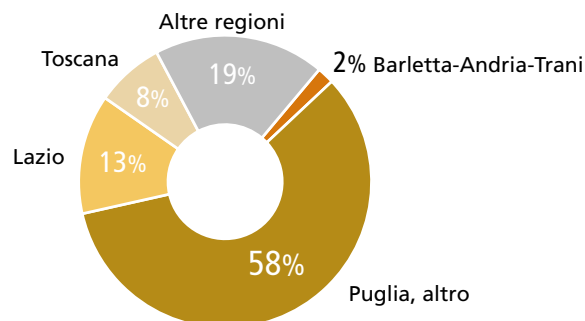
BARLETTA-ANDRIA-TRANI

Figura 3.7 Andamento temporale dei tassi std di incidenza.



BARLETTA-ANDRIA-TRANI

Figura 3.8 Ospedali di diagnosi/cura.



Primi ospedali di diagnosi/cura

| Ospedale | % |
|--|----|
| A.O.U. Policlinico di Bari (BA) | 43 |
| Osp. "Casa Sollievo della Sofferenza" (FG) | 13 |
| Policlinico "A. Gemelli" (RM) | 6 |
| Osp. pediatrico "Bambino Gesù" (RM) | 6 |
| Az. Ospedaliera "Meyer" (FI) | 5 |

Bari

Nel periodo 2006-2017 sono stati diagnosticati in media 36 tumori infantili all'anno. Il tasso standardizzato di incidenza è pari a 194 per milione, più alto nei maschi rispetto alle femmine. Il numero di casi osservati è leggermente inferiore agli attesi nei maschi, come nelle femmine. Tabella 3.3. La distribuzione delle neoplasie è simile a quella della Puglia. Figura 3.9. Si osservano tassi più bassi della media regionale per i linfomi, neuroblastomi e tessuti molli. Figura 3.10. Dal 2006 al 2017 i tassi sono in lieve calo (-1,5% all'anno). Figura 3.11. Il 63% dei piccoli pazienti è seguito in ospedali della provincia. Figura 3.12.

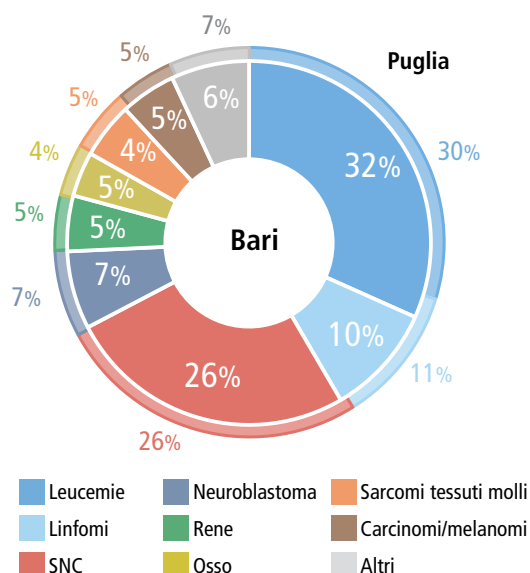
BARI

Tabella 3.3 Sintesi dei dati per genere.

| | M | F | Totale |
|---|---------------------|--------------------|---------------------|
| Numero casi/anno | 19 | 17 | 36 |
| % per genere | 53 | 47 | 100 |
| Numero casi totali 2006-2017 | 226 | 201 | 427 |
| Tasso su milione | 199,6 | 187,5 | 193,7 |
| Tasso std. su milione (EU 2013) | 199,9 | 187,4 | 193,8 |
| Casi/attesi media regionale (intervalli di confidenza al 95%) | 0,97 (0,85-1,11) | 0,96 (0,83-1,1) | 0,96 (0,87-1,06) |

Figura 3.9 Distribuzione per tipo di neoplasia.

BARI



BARI

Figura 3.10 Confronto dei tassi standardizzati delle principali neoplasie con la media regionale.

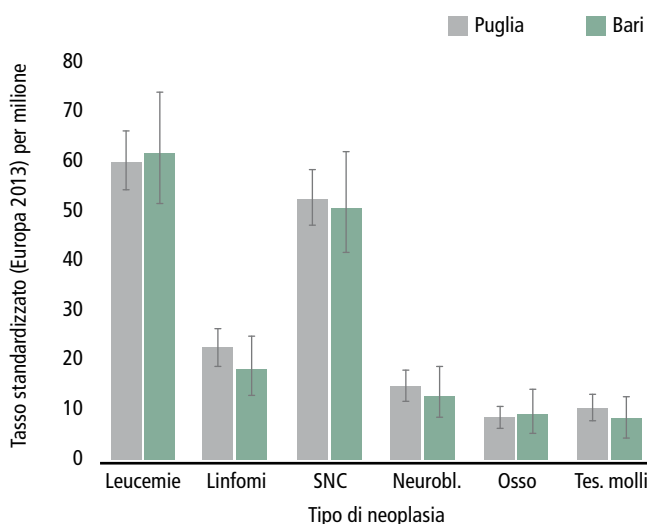
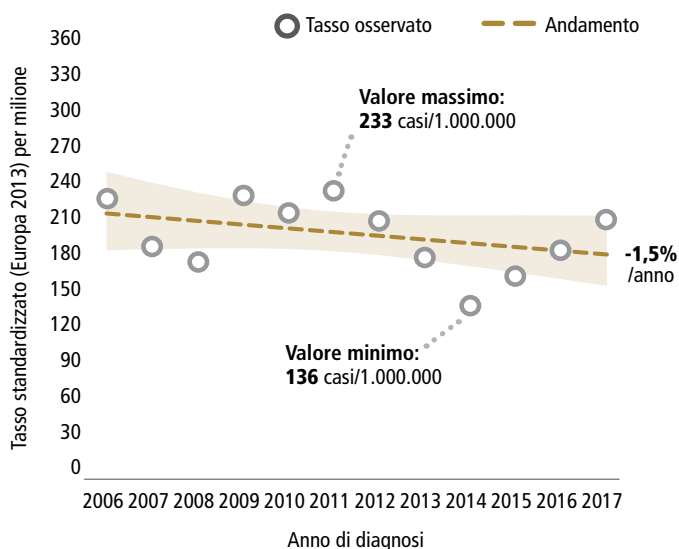


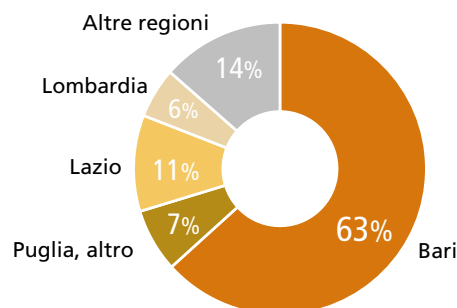
Figura 3.11 Andamento temporale dei tassi std di incidenza.

BARI



BARI

Figura 3.12 Ospedali di diagnosi/cura.



Primi ospedali di diagnosi/cura

| Ospedale | % |
|--|----|
| A.O.U. Policlinico di Bari (BA) | 61 |
| Policlinico "A. Gemelli" (RM) | 7 |
| Istituto "G. Gaslini" (GE) | 5 |
| Osp. "Casa Sollievo della Sofferenza" (FG) | 4 |
| Osp. pediatrico "Bambino Gesù" (RM) | 4 |

Taranto

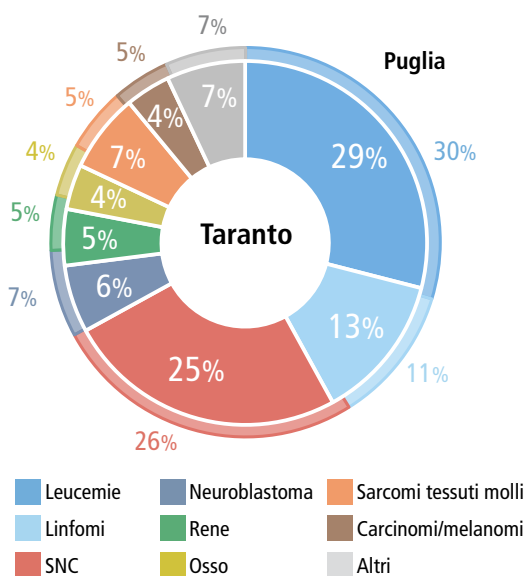
Nel periodo 2006-2017 sono stati diagnosticati in media 19 tumori infantili all'anno. Il tasso standardizzato di incidenza è pari a 221 per milione, leggermente più alto nei maschi rispetto alle femmine. Il numero di casi osservati è superiore agli attesi nei maschi, come nelle femmine. Tabella 3.4. La distribuzione delle neoplasie è simile a quella della Puglia. Figura 3.13. Si osservano tassi più alti della media regionale per leucemie, linfomi, SNC e tessuti molli. Figura 3.14. Dal 2006 al 2017 i tassi sono sostanzialmente stabili (-0,6% all'anno). Figura 3.15. Solo l'11% dei piccoli pazienti è seguito in ospedali della provincia. Figura 3.16.

TARANTO

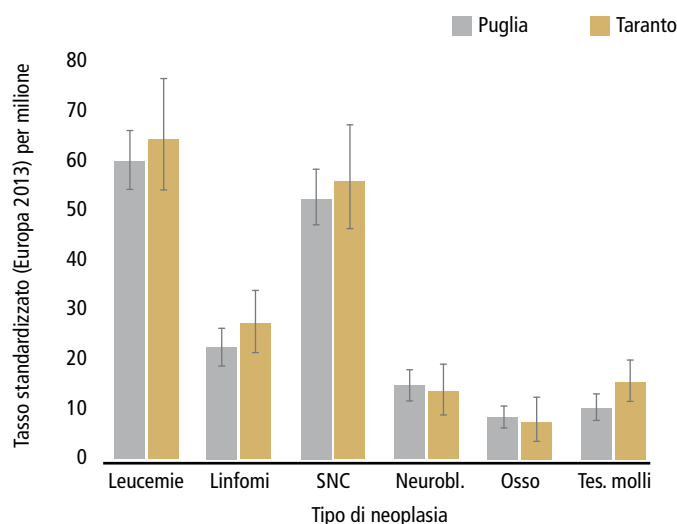
Tabella 3.4 Sintesi dei dati per genere.

| | M | F | Totale |
|---|--------------------|---------------------|--------------------|
| Numero casi/anno | 10 | 9 | 19 |
| % per genere | 52 | 48 | 100 |
| Numero casi totali 2006-2017 | 116 | 108 | 224 |
| Tasso su milione | 224,5 | 218,6 | 221,6 |
| Tasso std. su milione (EU 2013) | 223,7 | 218,2 | 221 |
| Casi/attesi media regionale (intervalli di confidenza al 95%) | 1,09 (0,9-1,31) | 1,11 (0,91-1,34) | 1,1 (0,96-1,26) |

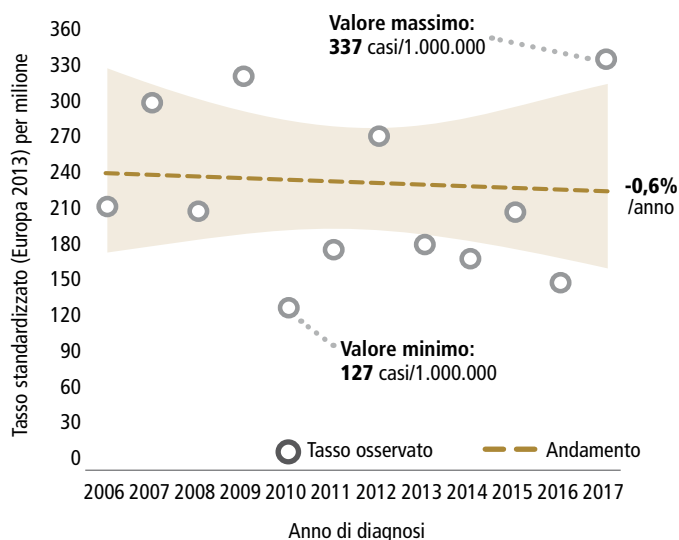
TARANTO

Figura 3.13 Distribuzione per tipo di neoplasia.


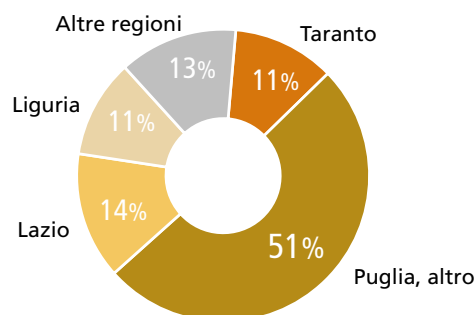
TARANTO

Figura 3.14 Confronto dei tassi standardizzati delle principali neoplasie con la media regionale.


TARANTO

Figura 3.15 Andamento temporale dei tassi std di incidenza.


TARANTO

Figura 3.16 Ospedali di diagnosi/cura.

Primi ospedali di diagnosi/cura

| Ospedale | % |
|-------------------------------------|----|
| A.O.U. Policlinico di Bari (BA) | 41 |
| Istituto "G. Gaslini" (GE) | 11 |
| Ospedale "SS. Annunziata" (TA) | 10 |
| Policlinico "A. Gemelli" (RM) | 6 |
| Osp. pediatrico "Bambino Gesù" (RM) | 6 |

Brindisi

Nel periodo 2006-2017 sono stati diagnosticati in media 11 tumori infantili all'anno. Il tasso standardizzato di incidenza è pari a 199 per milione, più basso nei maschi rispetto alle femmine. Il numero di casi osservati è inferiore agli attesi nei maschi, superiore nelle femmine. Tabella 3.5. La distribuzione delle neoplasie è simile a quella della Puglia. Figura 3.17. Si osservano tassi più bassi della media regionale per leucemie, SNC e tessuti molli, più alti per il resto. Figura 3.18. Dal 2006 al 2017 i tassi sono sostanzialmente stabili (-0,6% all'anno). Figura 3.19. Solo il 15% dei piccoli pazienti è seguito in ospedali della provincia. Figura 3.20.

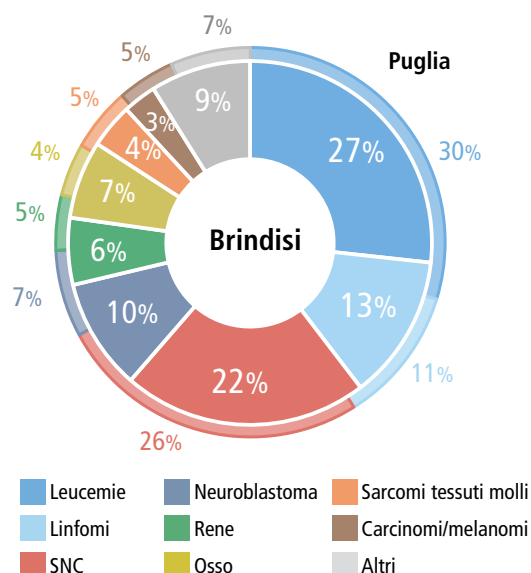
BRINDISI

Tabella 3.5 Sintesi dei dati per genere.

| | M | F | Totale |
|---|---------------------|---------------------|---------------------|
| Numero casi/anno | 5 | 6 | 11 |
| % per genere | 49 | 51 | 100 |
| Numero casi totali 2006-2017 | 65 | 68 | 133 |
| Tasso su milione | 188,1 | 208,1 | 197,8 |
| Tasso std. su milione (EU 2013) | 189 | 208,5 | 198,4 |
| Casi/attesi media regionale (intervalli di confidenza al 95%) | 0,92 (0,71-1,17) | 1,06 (0,82-1,35) | 0,99 (0,82-1,17) |

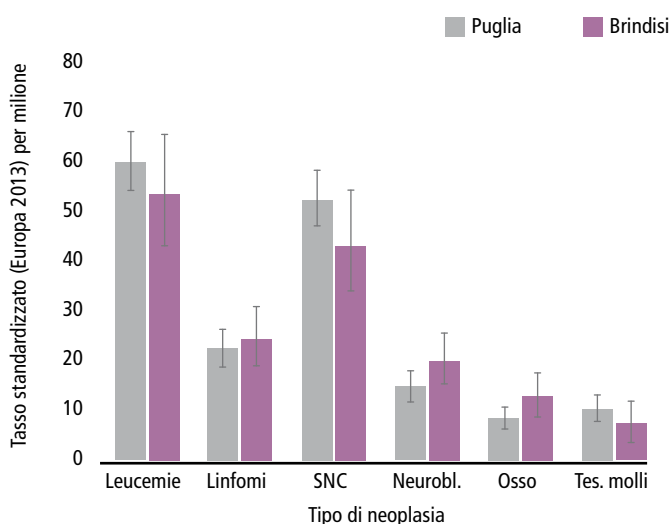
BRINDISI

Figura 3.17 Distribuzione per tipo di neoplasia.



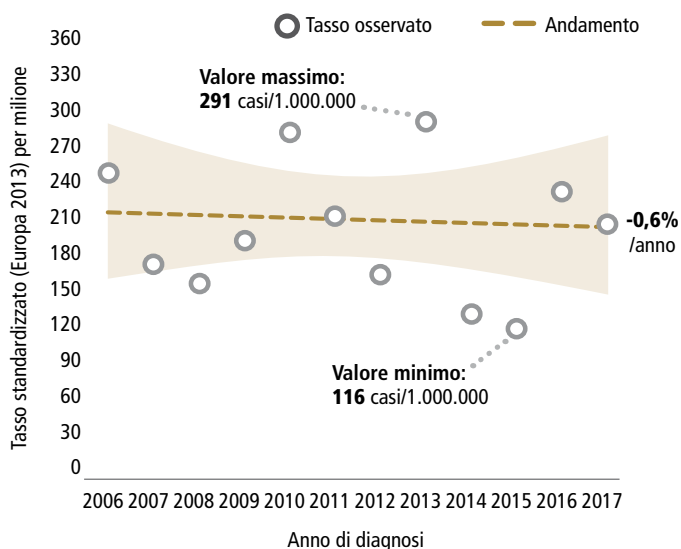
BRINDISI

Figura 3.18 Confronto dei tassi standardizzati delle principali neoplasie con la media regionale.



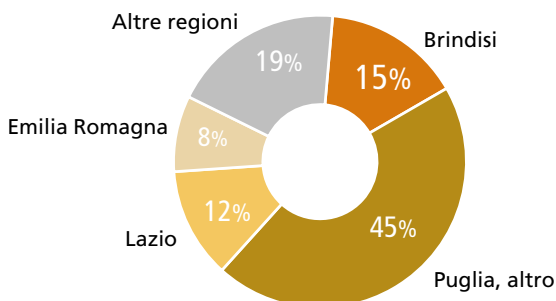
BRINDISI

Figura 3.19 Andamento temporale dei tassi std di incidenza.



BRINDISI

Figura 3.20 Ospedali di diagnosi/cura.



| Primi ospedali di diagnosi/cura | % |
|-------------------------------------|----|
| A.O.U. Policlinico di Bari (BA) | 30 |
| Ospedale "Perrino" (BR) | 14 |
| Osp. pediatrico "Bambino Gesù" (RM) | 8 |
| Istituto "G. Gaslini" (GE) | 6 |
| Istituto ortopedico "Rizzoli" (BO) | 5 |

Lecce

Nel periodo 2006-2017 sono stati diagnosticati in media 23 tumori infantili all'anno. Il tasso standardizzato di incidenza è pari a 203 per milione, più alto nei maschi rispetto alle femmine. Il numero di casi osservati è di poco superiore agli attesi nei maschi, inferiore nelle femmine. Tabella 3.6. La distribuzione delle neoplasie è simile a quella della Puglia. Figura 3.21. Si osservano tassi leggermente più alti della media regionale per SNC e tessuti molli, più bassi per leucemie e osso. Figura 3.22. Dal 2006 al 2017 i tassi sono sostanzialmente stabili (+0,8% all'anno). Figura 3.23. Il 36% dei piccoli pazienti è seguito in ospedali leccesi. Figura 3.24.

Tabella 3.6 Sintesi dei dati per genere.

| | M | F | Totale |
|---|--------------------|---------------------|---------------------|
| Numero casi/anno | 12 | 10 | 23 |
| % per genere | 55 | 45 | 100 |
| Numero casi totali 2006-2017 | 149 | 121 | 270 |
| Tasso su milione | 217,3 | 187,1 | 202,7 |
| Tasso std. su milione (EU 2013) | 217,6 | 186,4 | 202,5 |
| Casi/attesi media regionale (intervalli di confidenza al 95%) | 1,06 (0,9-1,24) | 0,95 (0,79-1,14) | 1,01 (0,89-1,14) |

Figura 3.21 Distribuzione per tipo di neoplasia.

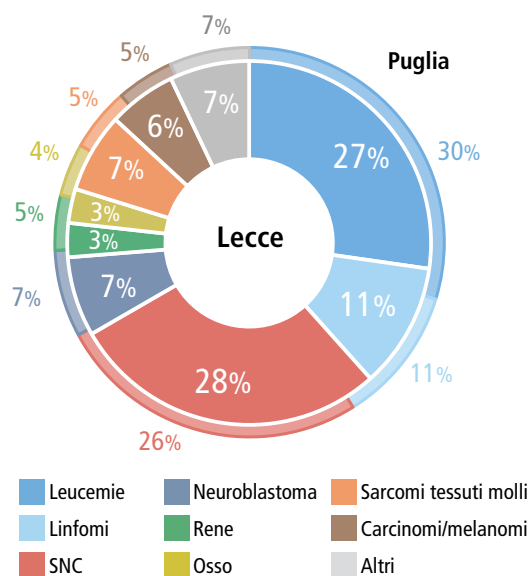


Figura 3.22 Confronto dei tassi standardizzati delle principali neoplasie con la media regionale.

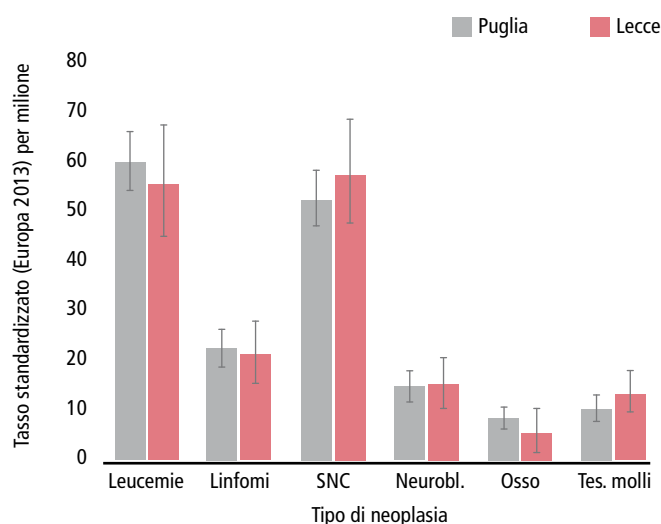


Figura 3.23 Andamento temporale dei tassi std di incidenza.

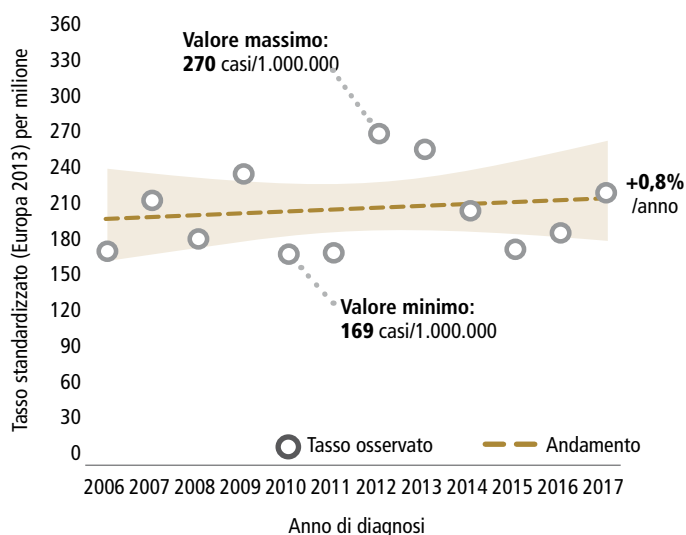
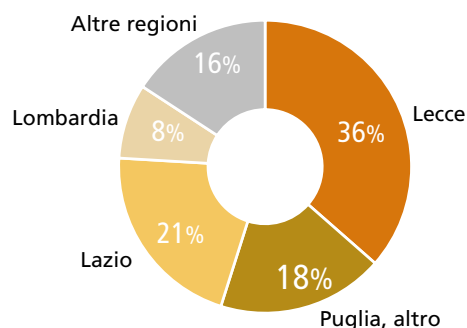
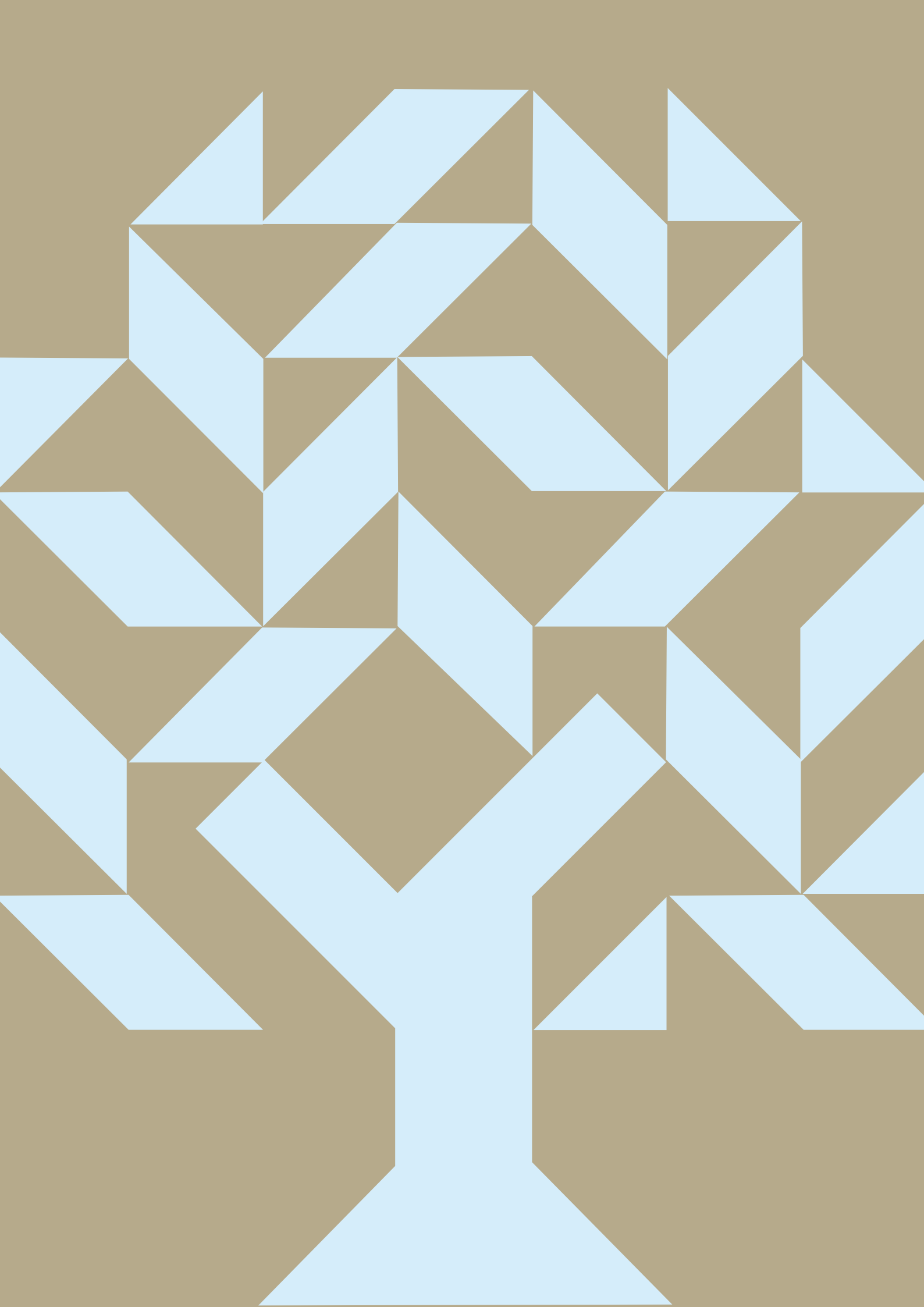


Figura 3.24 Ospedali di diagnosi/cura.



Primi ospedali di diagnosi/cura

| Ospedale | % |
|-------------------------------------|----|
| Ospedale "V. Fazzi" (LE) | 22 |
| Osp. pediatrico "Bambino Gesù" (RM) | 14 |
| A.O.U. Policlinico di Bari (BA) | 11 |
| Ospedale "Card. G. Panico" (LE) | 9 |
| Policlinico "A. Gemelli" (RM) | 7 |



**MAPPE
PER
COMUNE**



Figura 4.1 Territorio regionale, confini comunali e provinciali.

Contesto

La Regione Puglia è costituita da 257 comuni raggruppati in sei province.

Figura 4.1.

È utile che le analisi dei rischi di malattia tengano conto anche della densità della popolazione e del contesto territoriale: a parte alcune limitate zone rurali o meno densamente popolate, quali soprattutto l'area del Subapennino dauno e, in misura minore, alcune aree del Gargano e di Otranto, la Regione Puglia è costellata da un contesto di piccole cittadine e da pochi grandi centri urbani corrispondenti ai capoluoghi di provincia e ad alcune città quali Altamura, Bisceglie, Bitonto, Cerignola e Molfetta.

Giova altresì ricordare che l'insorgenza di neoplasie nella popolazione di età infantile (<15 anni) è evento estremamente raro: per esempio, nel caso delle leucemie, che sono le neoplasie infantili più frequenti, si può stimare approssimativamente una diagnosi ogni 17.000 bambini all'anno.

Nella grande maggioranza dei comuni pugliesi, i bambini residenti sono meno di 17.000, quindi il numero di diagnosi di leucemia atteso ogni anno è inferiore all'unità. I comuni con una popolazione infantile superiore a 17.000 soggetti sono infatti solo quattro: Andria, Bari, Foggia e Taranto. Figura 4.2.

Interpretazione delle mappe

Di seguito alcune note utili all'interpretazione delle mappe e delle tabelle.

■ Rapporto osservati/attesi (SIR)

La prima mappa rappresenta il cosiddetto Standardized Incidence Ratio (SIR) che può essere descritto come il rapporto tra i casi diagnosticati nel comune (osservati) e quelli che si conterebbero se i tassi per età del comune fossero pari a quelli medi regionali (attesi).

Essendo il numero di casi molto limitato e il numero di attesi spesso inferiore all'unità, questi dati mostrano grande variabilità e sono raramente

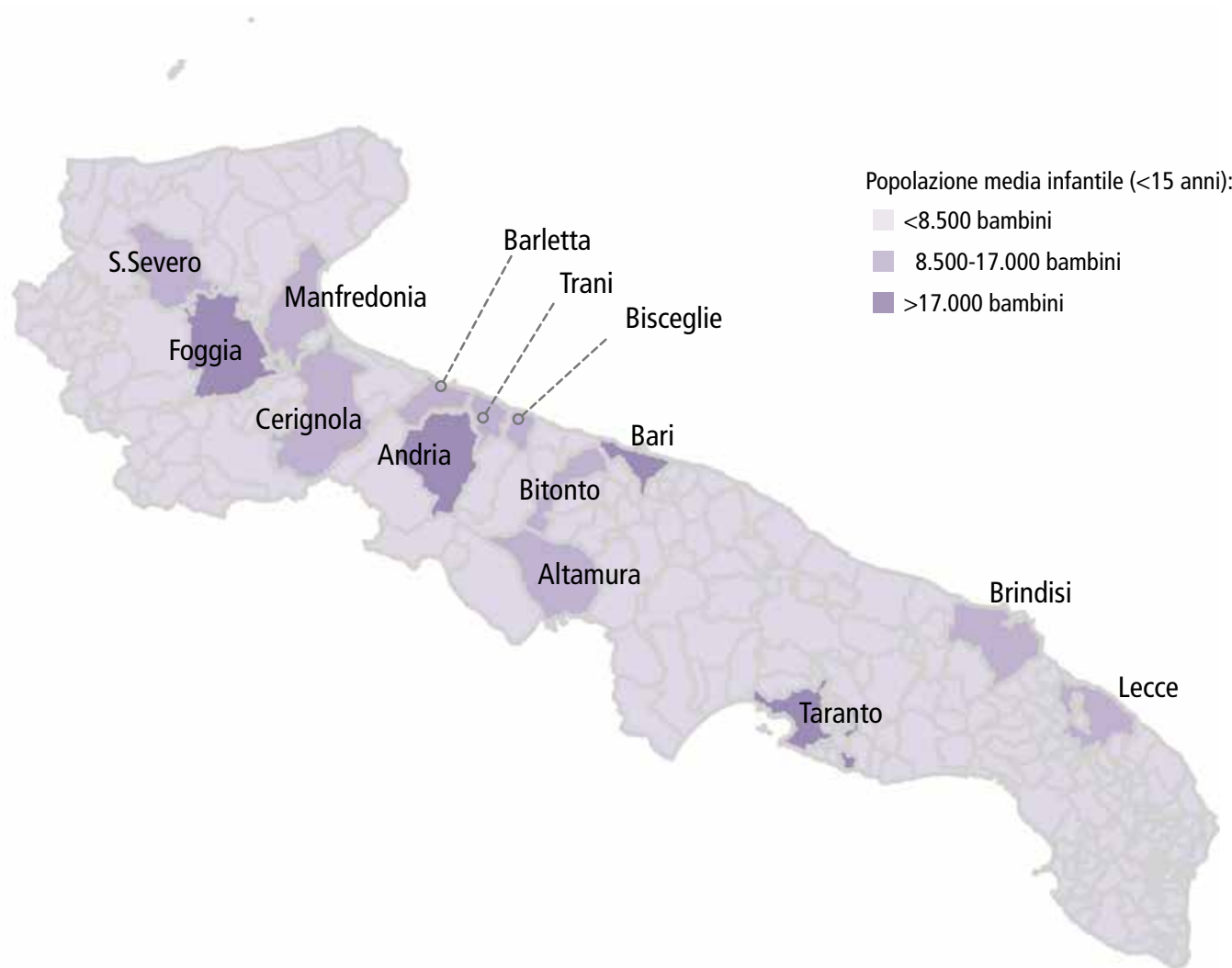


Figura 4.2 Popolazione infantile residente.

utili a comprendere il fenomeno: vanno considerati come puramente indicativi. La rappresentazione del rischio è effettuata attraverso una scala cromatica crescente: tanto più il colore è chiaro tanto meno sono i casi osservati rispetto agli attesi (basso rischio), tanto più il colore è scuro tanto più i casi osservati eccedono i casi attesi (alto rischio).

■ Rischio relativo (RR) lisciato

Nella seconda mappa i rischi di malattia sono rappresentati secondo un modello Bayesiano di Besag, York e Mollié (BYM) che produce come effetto un “lisciamento”: la mappa lisciata tiene in considerazione la variabilità generale e locale e riduce l'estrema variabilità dei SIR.

È indubbiamente una mappa molto più significativa per valutare l'effettivo rischio di malattia, anche se, per gli eventi molto rari come i tumori infantili la mappa lisciata tende a rilevare con difficoltà sia eccessi di rischio moderati sia eccessi localizzati in piccoli comuni. Le scale cromatiche sono da interpretarsi allo stesso modo della precedente mappa.

■ Probabilità a posteriori (PP)

La terza mappa rappresenta un ulteriore supporto informativo indicando la forza dell'evidenza statistica a supporto degli eccessi/difetti di rischio e va sempre associata, nella lettura e interpretazione, alle mappe precedenti. Su tale mappa è rappresentata la

probabilità a posteriori (PP) dei rischi relativi lisciati, per cui il colore più chiaro corrisponde a una probabilità dell'80% che il rischio del comune sia effettivamente minore di quello medio regionale e il colore più scuro a una probabilità dell'80% che il rischio del comune sia più alto di quello medio regionale.

■ Tavole di dettaglio

Nelle tavole sono riportati tutti gli indicatori mostrati nelle mappe. La consultazione delle tavole è utile per verificare la frequenza osservata delle malattie e come questa venga tradotta nei rischi lisciati e nella probabilità a posteriori.

Leucemie

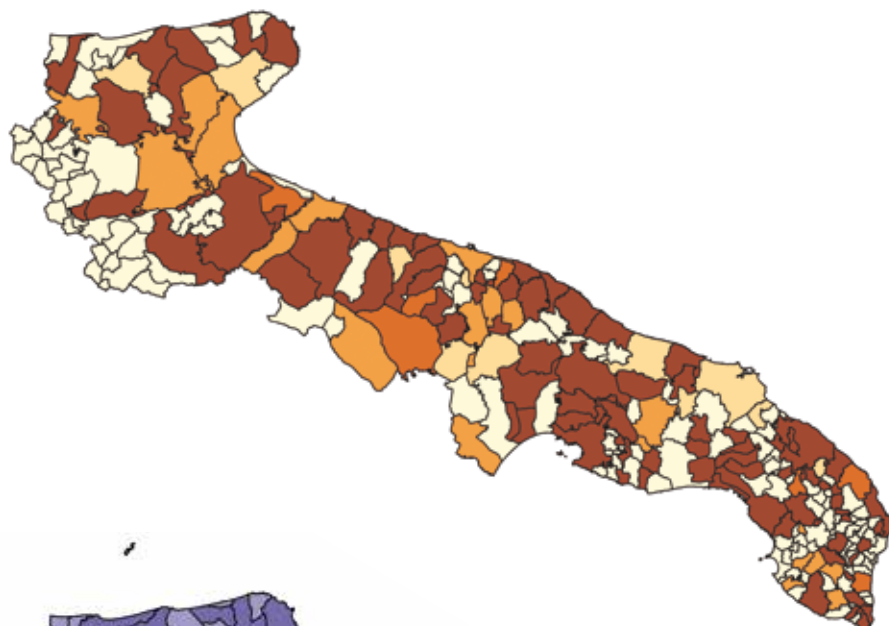


Figura 4.3 Mappa del rapporto tra casi osservati e casi attesi (SIR)

| Comuni: | Observati/Attesi (SIR): |
|---------|-------------------------|
| 131 | 0-60% |
| 11 | 60-80% |
| 20 | 80-100% |
| 7 | 100-110% |
| 88 | >110% |

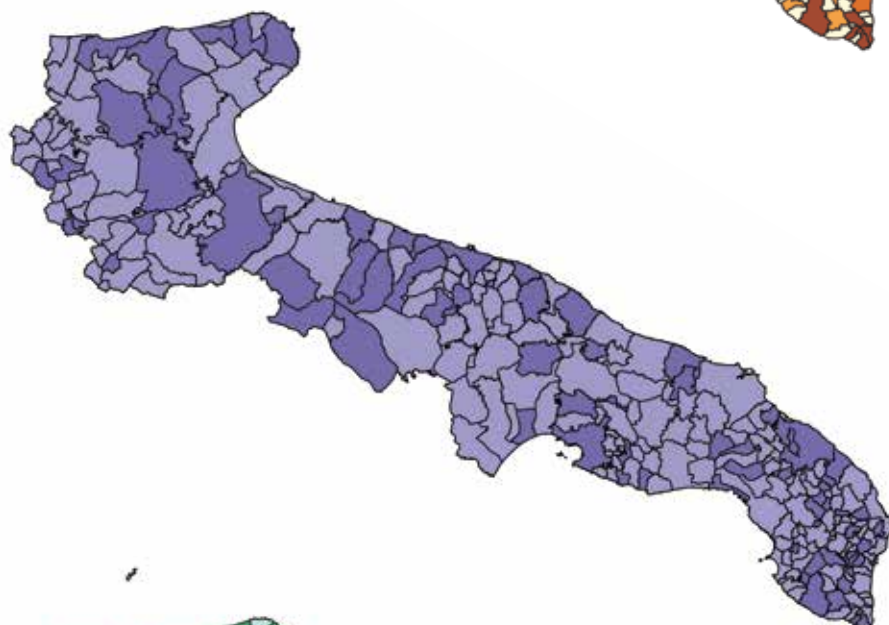


Figura 4.4 Mappa del rischio relativo (RR) liscio con modello BYM

| Comuni: | Rischio relativo (RR): |
|---------|------------------------|
| 0 | 0-60% |
| 0 | 60-80% |
| 182 | 80-100% |
| 75 | 100-110% |
| 0 | >110% |

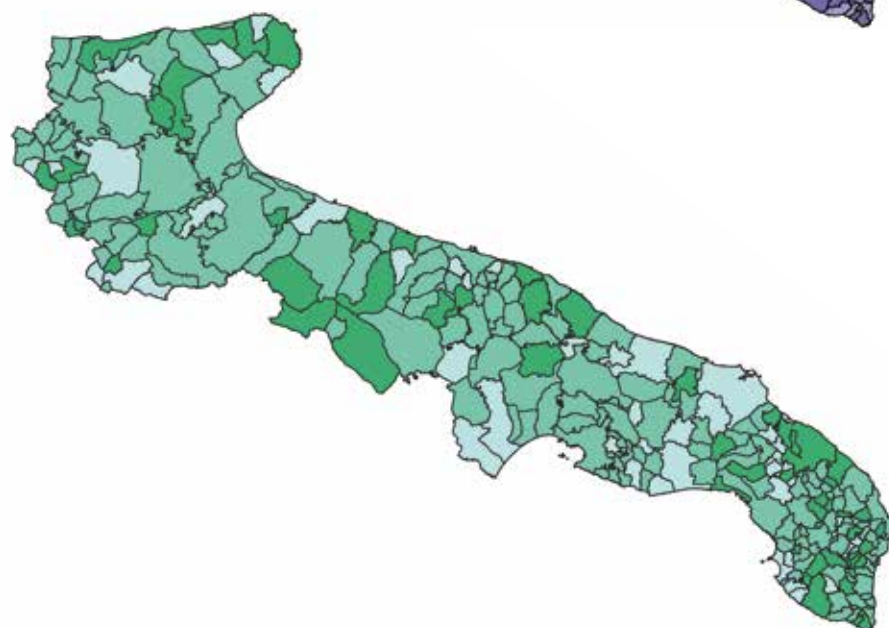


Figura 4.5 Mappa della probabilità a posteriori (PP)

| Comuni: | Probabilità a posteriori (PP): |
|---------|--------------------------------|
| 0 | 0-20% |
| 47 | 20-40% |
| 153 | 40-60% |
| 57 | 60-80% |
| 0 | >80% |

LEUCEMIE

| Comune | Oss | Att | SIR | RR | PP | Comune | Oss | Att | SIR | RR | PP |
|--------------------------|-----|-------|-----|-----|----|----------------------|-----|-------|-----|-----|----|
| ACCADIA | 0 | 0,21 | 0 | 104 | 63 | CERIGNOLA | 11 | 7,53 | 146 | 100 | 48 |
| ACQUAVIVA DELLE FONTI | 2 | 2,07 | 97 | 98 | 40 | CHIEUTI | 0 | 0,16 | 0 | 98 | 42 |
| ADELFA | 2 | 1,81 | 110 | 98 | 40 | CISTERNINO | 0 | 1,03 | 0 | 98 | 39 |
| ALBEROBELLO | 0 | 0,97 | 0 | 98 | 38 | COLLEPASSO | 0 | 0,57 | 0 | 99 | 45 |
| ALBERONA | 0 | 0,08 | 0 | 99 | 42 | CONVERSANO | 5 | 2,60 | 193 | 105 | 65 |
| ALESSANO | 1 | 0,66 | 152 | 100 | 46 | COPERTINO | 0 | 2,61 | 0 | 97 | 37 |
| ALEZIO | 0 | 0,6 | 0 | 98 | 39 | CORATO | 3 | 5,65 | 53 | 100 | 51 |
| ALLISTE | 0 | 0,7 | 0 | 97 | 38 | CORIGLIANO D'OTRANTO | 0 | 0,52 | 0 | 99 | 43 |
| ALTAMURA | 10 | 9,34 | 107 | 98 | 41 | CORSANO | 0 | 0,59 | 0 | 100 | 47 |
| ANDRANO | 0 | 0,45 | 0 | 98 | 40 | CRISPIANO | 4 | 1,49 | 268 | 101 | 50 |
| ANDRIA | 14 | 12,38 | 113 | 99 | 44 | CURSI | 1 | 0,42 | 236 | 100 | 47 |
| ANZANO DI PUGLIA | 0 | 0,13 | 0 | 98 | 40 | CUTROFIANO | 0 | 0,82 | 0 | 99 | 42 |
| APRICENA | 1 | 1,54 | 65 | 98 | 39 | DELICETO | 0 | 0,41 | 0 | 98 | 40 |
| ARADEO | 1 | 1,01 | 99 | 98 | 42 | DISO | 0 | 0,21 | 0 | 100 | 47 |
| ARNESANO | 0 | 0,46 | 0 | 98 | 40 | ERCHIE | 2 | 0,94 | 214 | 99 | 42 |
| ASCOLI SATRIANO | 2 | 0,66 | 301 | 99 | 42 | FAETO | 0 | 0,06 | 0 | 104 | 62 |
| AVETRANA | 1 | 0,65 | 154 | 99 | 44 | FAGGIANO | 0 | 0,36 | 0 | 99 | 45 |
| BAGNOLO DEL SALENTO | 0 | 0,18 | 0 | 98 | 40 | FASANO | 5 | 3,99 | 125 | 100 | 47 |
| BARI | 28 | 30,13 | 93 | 100 | 50 | FOGGIA | 14 | 16,27 | 86 | 102 | 59 |
| BARLETTA | 9 | 11,12 | 81 | 97 | 37 | FRAGAGNANO | 0 | 0,53 | 0 | 99 | 42 |
| BICCARI | 0 | 0,24 | 0 | 98 | 41 | FRANCAVILLA FONTANA | 4 | 4,19 | 95 | 99 | 44 |
| BINETTO | 0 | 0,25 | 0 | 100 | 49 | GAGLIANO DEL CAPO | 2 | 0,52 | 385 | 99 | 43 |
| BISCEGLIE | 7 | 6,24 | 112 | 99 | 42 | GALATINA | 3 | 2,60 | 115 | 100 | 48 |
| BITETTO | 0 | 1,46 | 0 | 99 | 44 | GALATONE | 2 | 1,65 | 121 | 99 | 42 |
| BITONTO | 11 | 6,34 | 173 | 102 | 54 | GALLIPOLI | 0 | 1,97 | 0 | 98 | 39 |
| BITRITTO | 1 | 1,29 | 78 | 98 | 39 | GINOSA | 2 | 2,41 | 83 | 98 | 40 |
| BOTRUGNO | 0 | 0,24 | 0 | 98 | 39 | GIOIA DEL COLLE | 2 | 2,68 | 75 | 100 | 49 |
| BOVINO | 0 | 0,29 | 0 | 99 | 41 | GIOVINAZZO | 3 | 1,98 | 152 | 101 | 55 |
| BRINDISI | 7 | 9,17 | 76 | 97 | 36 | GIUGGIANELLO | 0 | 0,10 | 0 | 99 | 43 |
| CAGNANO VARANO | 2 | 0,83 | 241 | 100 | 48 | GIURDIGNANO | 0 | 0,21 | 0 | 99 | 43 |
| CALIMERA | 1 | 0,67 | 150 | 99 | 44 | GRAVINA IN PUGLIA | 5 | 5,58 | 90 | 104 | 62 |
| CAMPI SALENTINA | 0 | 1,02 | 0 | 99 | 46 | GROTTAGLIE | 4 | 3,46 | 116 | 98 | 40 |
| CANDELA | 0 | 0,29 | 0 | 99 | 43 | GRUMO APPULA | 2 | 1,46 | 137 | 104 | 64 |
| CANNOLE | 0 | 0,16 | 0 | 104 | 62 | GUAGNANO | 1 | 0,47 | 212 | 100 | 47 |
| CANOSA DI PUGLIA | 3 | 3,34 | 90 | 98 | 42 | ISCHITELLA | 0 | 0,44 | 0 | 104 | 63 |
| CAPRARICA DI LECCE | 1 | 0,21 | 468 | 102 | 57 | ISOLE TREMITI | 0 | 0,03 | 0 | 98 | 39 |
| CAPURSO | 1 | 1,75 | 57 | 99 | 45 | LATERZA | 1 | 1,77 | 56 | 99 | 45 |
| CARAPELLE | 1 | 0,88 | 113 | 98 | 41 | LATIANO | 1 | 1,46 | 69 | 98 | 41 |
| CARLANTINO | 0 | 0,09 | 0 | 99 | 45 | LECCE | 12 | 8,47 | 142 | 105 | 67 |
| CARMIANO | 0 | 1,20 | 0 | 97 | 38 | LEPORANO | 0 | 0,86 | 0 | 98 | 41 |
| CAROSINO | 1 | 0,80 | 125 | 98 | 40 | LEQUILE | 1 | 0,92 | 109 | 98 | 41 |
| CAROVIGNO | 4 | 1,70 | 235 | 101 | 51 | LESINA | 0 | 0,65 | 0 | 104 | 62 |
| CARPIGNANO SALENTINO | 0 | 0,31 | 0 | 98 | 40 | LEVERANO | 0 | 1,62 | 0 | 99 | 45 |
| CARPINO | 0 | 0,40 | 0 | 98 | 39 | LIZZANELLO | 1 | 1,31 | 76 | 99 | 45 |
| CASALNUOVO MONTEROTARO | 0 | 0,14 | 0 | 99 | 42 | LIZZANO | 0 | 1,11 | 0 | 98 | 40 |
| CASALVECCHIO DI PUGLIA | 1 | 0,17 | 602 | 99 | 43 | LOCOROTONDO | 0 | 1,35 | 0 | 103 | 59 |
| CASAMASSIMA | 2 | 2,24 | 89 | 100 | 46 | LUCERA | 2 | 3,78 | 53 | 98 | 38 |
| CASARANO | 2 | 2,16 | 93 | 103 | 61 | MAGLIE | 0 | 1,28 | 0 | 98 | 41 |
| CASSANO DELLE MURGE | 2 | 1,58 | 126 | 100 | 46 | MANDURIA | 0 | 3,04 | 0 | 97 | 36 |
| CASTELLANA GROTTA | 1 | 1,90 | 53 | 100 | 49 | MANFREDONIA | 6 | 6,38 | 94 | 99 | 43 |
| CASTELLANETA | 1 | 1,68 | 60 | 98 | 39 | MARGHERITA DI SAVOIA | 0 | 1,20 | 0 | 98 | 41 |
| CASTELLUCCIO DEI SAURI | 0 | 0,24 | 0 | 104 | 62 | MARTANO | 1 | 0,85 | 118 | 99 | 45 |
| CASTELLUCCIO VALMAGGIORE | 1 | 0,13 | 766 | 98 | 41 | MARTIGNANO | 0 | 0,15 | 0 | 100 | 46 |
| CASTELNUOVO DELLA DAUNIA | 0 | 0,14 | 0 | 99 | 44 | MARTINA FRANCA | 7 | 4,88 | 143 | 99 | 45 |
| CASTRI DI LECCE | 0 | 0,29 | 0 | 104 | 62 | MARUGGIO | 0 | 0,47 | 0 | 98 | 39 |
| CASTRIGNANO DE' GRECI | 1 | 0,32 | 316 | 104 | 63 | MASSAFRA | 2 | 3,59 | 56 | 98 | 42 |
| CASTRIGNANO DEL CAPO | 1 | 0,48 | 209 | 104 | 64 | MATINO | 1 | 1,24 | 81 | 100 | 48 |
| CASTRO | 0 | 0,20 | 0 | 104 | 63 | MATTINATA | 0 | 0,74 | 0 | 98 | 40 |
| CAVALLINO | 2 | 1,38 | 144 | 100 | 46 | MELENDUGNO | 1 | 0,96 | 104 | 99 | 44 |
| CEGLIE MESSAPICA | 3 | 1,93 | 155 | 100 | 47 | MELISSANO | 0 | 0,73 | 0 | 103 | 61 |
| CELENZA VALFORTORE | 0 | 0,13 | 0 | 98 | 40 | MELPIGNANO | 0 | 0,19 | 0 | 98 | 39 |
| CELLAMARE | 1 | 0,74 | 135 | 102 | 56 | MESAGNE | 1 | 2,54 | 39 | 97 | 38 |
| CELLE DI SAN VITO | 0 | 0,01 | 0 | 104 | 63 | MIGGIANO | 2 | 0,37 | 535 | 100 | 47 |
| CELLINO SAN MARCO | 0 | 0,64 | 0 | 99 | 44 | MINERVINO DI LECCE | 0 | 0,35 | 0 | 99 | 44 |

LEUCEMIE

| Comune | Oss | Att | SIR | RR | PP |
|--------------------------|-----|------|-----|-----|----|
| MINERVINO MURGE | 2 | 0,94 | 213 | 104 | 64 |
| MODUGNO | 2 | 4,25 | 47 | 97 | 36 |
| MOLA DI BARI | 3 | 2,50 | 120 | 104 | 62 |
| MOLFETTA | 10 | 5,78 | 173 | 105 | 68 |
| MONOPOLI | 7 | 4,77 | 147 | 105 | 66 |
| MONTE SANT'ANGELO | 1 | 1,38 | 72 | 100 | 47 |
| MONTEIASI | 0 | 0,63 | 0 | 99 | 44 |
| MONTELEONE DI PUGLIA | 0 | 0,10 | 0 | 98 | 40 |
| MONTEMESOLA | 1 | 0,38 | 266 | 99 | 43 |
| MONTEPARANO | 0 | 0,24 | 0 | 99 | 44 |
| MONTERONI DI LECCE | 3 | 1,44 | 208 | 104 | 63 |
| MONTESANO SALENTINO | 0 | 0,30 | 0 | 103 | 61 |
| MORCIANO DI LEUCA | 1 | 0,29 | 349 | 100 | 47 |
| MOTTA MONTECORVINO | 0 | 0,06 | 0 | 98 | 40 |
| MOTTOLA | 3 | 1,61 | 187 | 100 | 46 |
| MURO LECCESE | 0 | 0,45 | 0 | 104 | 62 |
| NARDÒ | 4 | 3,17 | 126 | 100 | 46 |
| NEVIANO | 0 | 0,48 | 0 | 99 | 47 |
| NOCI | 3 | 1,78 | 169 | 104 | 64 |
| NOCIGLIA | 0 | 0,21 | 0 | 103 | 61 |
| NOICATTARO | 3 | 2,98 | 101 | 99 | 43 |
| NOVOLI | 0 | 0,73 | 0 | 98 | 38 |
| ORDONA | 0 | 0,35 | 0 | 99 | 45 |
| ORIA | 0 | 1,57 | 0 | 97 | 38 |
| ORSARA DI PUGLIA | 0 | 0,21 | 0 | 99 | 43 |
| ORTA NOVA | 1 | 2,20 | 45 | 98 | 38 |
| ORTELLE | 0 | 0,20 | 0 | 98 | 41 |
| OSTUNI | 2 | 2,87 | 70 | 98 | 39 |
| OTRANTO | 2 | 0,52 | 387 | 99 | 43 |
| PALAGIANELLO | 1 | 0,90 | 111 | 99 | 45 |
| PALAGIANO | 3 | 1,82 | 165 | 100 | 48 |
| PALMARIGGI | 0 | 0,14 | 0 | 98 | 42 |
| PALO DEL COLLE | 3 | 2,66 | 113 | 98 | 40 |
| PANNI | 0 | 0,07 | 0 | 98 | 41 |
| PARABITA | 0 | 0,87 | 0 | 98 | 43 |
| PATÙ | 0 | 0,15 | 0 | 104 | 63 |
| PESCHICI | 0 | 0,51 | 0 | 98 | 39 |
| PIETRAMONTECORVINO | 0 | 0,28 | 0 | 100 | 46 |
| POGGIARDO | 1 | 0,55 | 182 | 104 | 63 |
| POGGIO IMPERIALE | 0 | 0,27 | 0 | 99 | 45 |
| POGGIORSINI | 0 | 0,16 | 0 | 99 | 46 |
| POLIGNANO A MARE | 3 | 1,78 | 169 | 99 | 45 |
| PORTO CESAREO | 1 | 0,68 | 146 | 103 | 62 |
| PRESICCE-ACQUARICA | 1 | 1,01 | 99 | 102 | 58 |
| PULSANO | 0 | 1,15 | 0 | 99 | 45 |
| PUTIGNANO | 0 | 2,49 | 0 | 98 | 41 |
| RACALE | 1 | 1,22 | 82 | 98 | 40 |
| RIGNANO GARGANICO | 0 | 0,19 | 0 | 104 | 63 |
| ROCCAFORZATA | 0 | 0,19 | 0 | 98 | 41 |
| ROCCHETTA SANT'ANTONIO | 0 | 0,16 | 0 | 98 | 39 |
| RODI GARGANICO | 1 | 0,36 | 280 | 99 | 42 |
| ROSETO VALFORTORE | 0 | 0,11 | 0 | 99 | 44 |
| RUFFANO | 1 | 1,16 | 86 | 99 | 46 |
| RUTIGLIANO | 4 | 1,98 | 202 | 99 | 43 |
| RUVO DI PUGLIA | 5 | 2,84 | 176 | 104 | 66 |
| SALICE SALENTINO | 2 | 0,80 | 252 | 99 | 44 |
| SALVE | 0 | 0,37 | 0 | 99 | 42 |
| SAMMICHELE DI BARI | 1 | 0,55 | 182 | 99 | 45 |
| SAN CASSIANO | 0 | 0,17 | 0 | 100 | 47 |
| SAN CESARIO DI LECCE | 1 | 0,89 | 113 | 99 | 43 |
| SAN DONACI | 1 | 0,65 | 153 | 99 | 43 |
| SAN DONATO DI LECCE | 0 | 0,54 | 0 | 99 | 45 |
| SAN FERDINANDO DI PUGLIA | 2 | 1,73 | 116 | 104 | 64 |
| SAN GIORGIO IONICO | 1 | 1,76 | 57 | 98 | 39 |
| SAN GIOVANNI ROTONDO | 3 | 3,16 | 95 | 99 | 44 |

| Comune | Oss | Att | SIR | RR | PP |
|----------------------------|-----|-------|-----|-----|----|
| SAN MARCO IN LAMIS | 2 | 1,67 | 120 | 104 | 64 |
| SAN MARCO LA CATOLA | 0 | 0,08 | 0 | 98 | 40 |
| SAN MARZANO DI S. GIUSEPPE | 1 | 1,17 | 85 | 98 | 40 |
| SAN MICHELE SALENTINO | 0 | 0,65 | 0 | 99 | 45 |
| SAN NICANDRO GARGANICO | 3 | 1,50 | 199 | 101 | 50 |
| SAN PANCRAZIO SALENTINO | 0 | 0,95 | 0 | 103 | 62 |
| SAN PAOLO DI CIVITATE | 0 | 0,69 | 0 | 99 | 47 |
| SAN PIETRO IN LAMA | 0 | 0,32 | 0 | 98 | 39 |
| SAN PIETRO VERNOTICO | 1 | 1,33 | 75 | 99 | 43 |
| SAN SEVERO | 10 | 6,40 | 156 | 101 | 52 |
| SAN VITO DEI NORMANNI | 2 | 1,77 | 113 | 104 | 63 |
| SANARICA | 0 | 0,14 | 0 | 98 | 39 |
| SANNICANDRO DI BARI | 0 | 1,06 | 0 | 103 | 60 |
| SANNICOLA | 0 | 0,50 | 0 | 99 | 45 |
| SANTA CESAREA TERME | 0 | 0,27 | 0 | 98 | 41 |
| SANT'AGATA DI PUGLIA | 0 | 0,19 | 0 | 98 | 40 |
| SANTERAMO IN COLLE | 2 | 3,07 | 65 | 97 | 38 |
| SAVA | 3 | 1,70 | 177 | 99 | 43 |
| SCORRANO | 1 | 0,71 | 140 | 100 | 46 |
| SECLÌ | 0 | 0,19 | 0 | 100 | 47 |
| SERRACAPRIOLA | 1 | 0,39 | 254 | 100 | 48 |
| SOGLIANO CAVOUR | 1 | 0,37 | 267 | 104 | 64 |
| SOLETO | 0 | 0,51 | 0 | 103 | 62 |
| SPECCHIA | 0 | 0,49 | 0 | 103 | 60 |
| SPINAZZOLA | 0 | 0,64 | 0 | 103 | 60 |
| SPONGANO | 0 | 0,36 | 0 | 104 | 61 |
| SQUINZANO | 0 | 1,26 | 0 | 98 | 38 |
| STATTE | 3 | 1,69 | 178 | 99 | 45 |
| STERNATIA | 0 | 0,18 | 0 | 103 | 63 |
| STORNARA | 0 | 0,72 | 0 | 99 | 45 |
| STORNARELLA | 0 | 0,58 | 0 | 98 | 41 |
| SUPERSANO | 2 | 0,50 | 398 | 104 | 64 |
| SURANO | 1 | 0,14 | 697 | 104 | 65 |
| SURBO | 3 | 1,79 | 167 | 103 | 62 |
| TARANTO | 24 | 19,78 | 121 | 101 | 51 |
| TAURISANO | 0 | 1,52 | 0 | 98 | 40 |
| TAVIANO | 0 | 1,32 | 0 | 98 | 41 |
| TERLIZZI | 2 | 2,99 | 67 | 97 | 39 |
| TIGGIANO | 0 | 0,32 | 0 | 99 | 44 |
| TORCHIAROLO | 0 | 0,55 | 0 | 104 | 62 |
| TORITTO | 1 | 0,92 | 109 | 99 | 43 |
| TORRE SANTA SUSANNA | 3 | 1,10 | 274 | 100 | 46 |
| TORREMAGGIORE | 2 | 2,07 | 97 | 98 | 42 |
| TORRICELLA | 2 | 0,41 | 492 | 100 | 47 |
| TRANI | 9 | 6,23 | 144 | 105 | 66 |
| TREPUZZI | 2 | 1,43 | 140 | 98 | 39 |
| TRICASE | 2 | 1,84 | 109 | 98 | 42 |
| TRIGGIANO | 0 | 2,96 | 0 | 97 | 37 |
| TRINITAPOLI | 2 | 1,87 | 107 | 99 | 45 |
| TROIA | 1 | 0,78 | 128 | 100 | 48 |
| TUGLIE | 0 | 0,50 | 0 | 103 | 61 |
| TURI | 1 | 1,22 | 82 | 100 | 47 |
| UGENTO | 2 | 1,21 | 166 | 104 | 63 |
| UGGIANO LA CHIESA | 1 | 0,41 | 242 | 104 | 62 |
| VALENZANO | 5 | 1,90 | 262 | 99 | 44 |
| VEGLIE | 2 | 1,56 | 128 | 104 | 63 |
| VERNOLE | 1 | 0,62 | 161 | 103 | 62 |
| VICO DEL GARGANO | 1 | 0,84 | 118 | 104 | 63 |
| VIESTE | 2 | 1,49 | 134 | 104 | 63 |
| VILLA CASTELLI | 0 | 1,02 | 0 | 97 | 38 |
| VOLTURARA APPULA | 0 | 0,02 | 0 | 104 | 63 |
| VOLTURINO | 0 | 0,17 | 0 | 104 | 62 |
| ZAPPONETA | 0 | 0,45 | 0 | 99 | 43 |
| ZOLLINO | 0 | 0,16 | 0 | 104 | 62 |

Linfomi

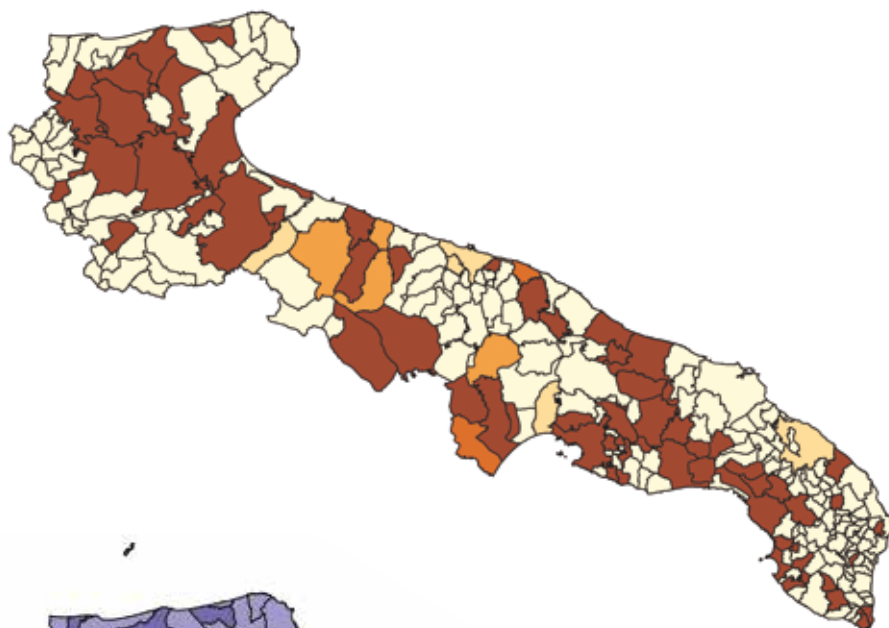


Figura 4.6 Mappa del rapporto tra casi osservati e casi attesi (SIR)

| Comuni: | Osservati/Attesi (SIR): |
|---------|-------------------------|
| 182 | 0-60% |
| 5 | 60-80% |
| 4 | 80-100% |
| 2 | 100-110% |
| 64 | >110% |

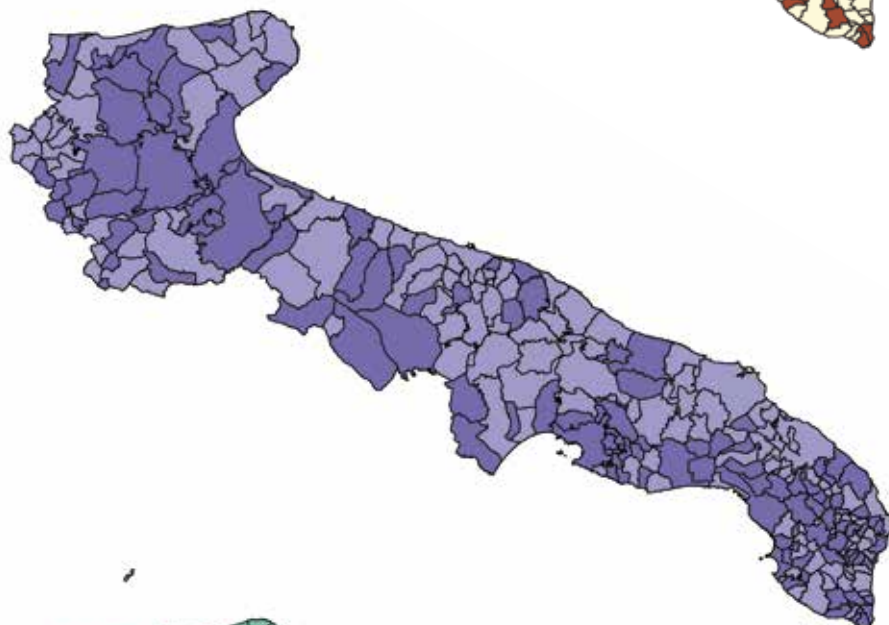


Figura 4.7 Mappa del rischio relativo (RR) lasciato con modello BYM

| Comuni: | Rischio relativo (RR): |
|---------|------------------------|
| 0 | 0-60% |
| 0 | 60-80% |
| 136 | 80-100% |
| 121 | 100-110% |
| 0 | >110% |

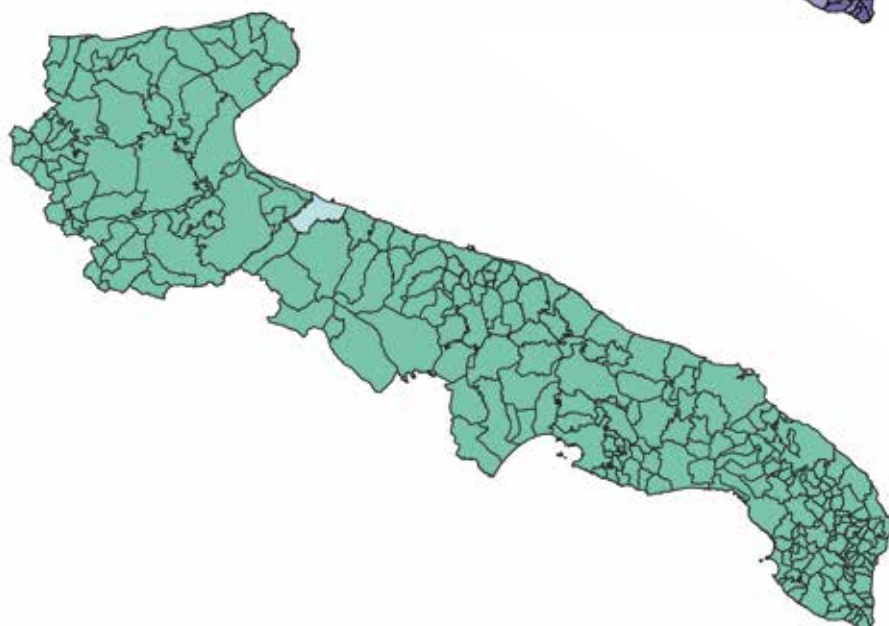


Figura 4.8 Mappa della probabilità a posteriori (PP)

| Comuni: | Probabilità a posteriori (PP): |
|---------|--------------------------------|
| 0 | 0-20% |
| 1 | 20-40% |
| 256 | 40-60% |
| 0 | 60-80% |
| 0 | >80% |

LINFOMI

| Comune | Oss | Att | SIR | RR | PP | Comune | Oss | Att | SIR | RR | PP |
|--------------------------|-----|------|------|-----|----|----------------------|-----|------|-----|-----|----|
| ACCADIA | 0 | 0,09 | 0 | 100 | 48 | CERIGNOLA | 5 | 2,89 | 173 | 101 | 51 |
| ACQUAVIVA DELLE FONTI | 0 | 0,81 | 0 | 99 | 45 | CHIEUTI | 0 | 0,06 | 0 | 99 | 44 |
| ADELFA | 0 | 0,70 | 0 | 99 | 46 | CISTERNINO | 1 | 0,41 | 244 | 101 | 50 |
| ALBEROBELLO | 0 | 0,38 | 0 | 100 | 47 | COLLEPASSO | 0 | 0,24 | 0 | 100 | 48 |
| ALBERONA | 1 | 0,03 | 3070 | 101 | 51 | CONVERSANO | 2 | 0,97 | 205 | 101 | 51 |
| ALESSANO | 0 | 0,26 | 0 | 100 | 49 | COPERTINO | 2 | 0,99 | 202 | 101 | 50 |
| ALEZIO | 0 | 0,22 | 0 | 100 | 48 | CORATO | 5 | 2,15 | 232 | 102 | 53 |
| ALLISTE | 0 | 0,27 | 0 | 99 | 44 | CORIGLIANO D'OTRANTO | 0 | 0,21 | 0 | 100 | 48 |
| ALTAMURA | 6 | 3,60 | 167 | 101 | 50 | CORSANO | 0 | 0,25 | 0 | 100 | 49 |
| ANDRANO | 0 | 0,19 | 0 | 99 | 45 | CRISPIANO | 0 | 0,54 | 0 | 100 | 48 |
| ANDRIA | 4 | 4,73 | 85 | 98 | 43 | CURSI | 0 | 0,17 | 0 | 100 | 47 |
| ANZANO DI PUGLIA | 0 | 0,07 | 0 | 100 | 48 | CUTROFIANO | 0 | 0,31 | 0 | 100 | 48 |
| APRICENA | 2 | 0,59 | 341 | 101 | 51 | DELICETO | 0 | 0,16 | 0 | 99 | 46 |
| ARADEO | 0 | 0,38 | 0 | 99 | 43 | DISO | 0 | 0,09 | 0 | 100 | 49 |
| ARNESANO | 0 | 0,17 | 0 | 99 | 45 | ERCHIE | 1 | 0,38 | 260 | 101 | 49 |
| ASCOLI SATRIANO | 0 | 0,26 | 0 | 99 | 46 | FAETO | 0 | 0,02 | 0 | 100 | 47 |
| AVETRANA | 1 | 0,25 | 395 | 101 | 51 | FAGGIANO | 0 | 0,13 | 0 | 100 | 48 |
| BAGNOLO DEL SALENTO | 0 | 0,07 | 0 | 99 | 44 | FASANO | 2 | 1,55 | 129 | 100 | 47 |
| BARI | 9 | 11,4 | 79 | 98 | 42 | FOGGIA | 7 | 6,16 | 114 | 101 | 50 |
| BARLETTA | 1 | 4,32 | 23 | 97 | 39 | FRAGAGNANO | 0 | 0,2 | 0 | 100 | 48 |
| BICCARI | 0 | 0,09 | 0 | 100 | 49 | FRANCAVILLA FONTANA | 2 | 1,59 | 126 | 99 | 45 |
| BINETTO | 0 | 0,10 | 0 | 99 | 46 | GAGLIANO DEL CAPO | 1 | 0,22 | 450 | 101 | 50 |
| BISCEGLIE | 2 | 2,32 | 86 | 100 | 48 | GALATINA | 3 | 1,01 | 297 | 102 | 53 |
| BITETTO | 0 | 0,51 | 0 | 99 | 46 | GALATONE | 0 | 0,64 | 0 | 100 | 48 |
| BITONTO | 1 | 2,48 | 40 | 99 | 47 | GALLIPOLI | 1 | 0,77 | 130 | 101 | 49 |
| BITRITTO | 0 | 0,47 | 0 | 99 | 44 | GINOSA | 1 | 0,94 | 106 | 100 | 49 |
| BOTRUGNO | 0 | 0,10 | 0 | 99 | 45 | GIOIA DEL COLLE | 1 | 1,01 | 99 | 99 | 45 |
| BOVINO | 1 | 0,11 | 871 | 101 | 50 | GIOVINAZZO | 0 | 0,76 | 0 | 99 | 46 |
| BRINDISI | 2 | 3,47 | 58 | 99 | 44 | GIUGGIANELLO | 0 | 0,04 | 0 | 100 | 49 |
| CAGNANO VARANO | 0 | 0,33 | 0 | 99 | 44 | GIURDIGNANO | 0 | 0,08 | 0 | 100 | 49 |
| CALIMERA | 0 | 0,25 | 0 | 99 | 44 | GRAVINA IN PUGLIA | 5 | 2,17 | 231 | 102 | 53 |
| CAMPI SALENTINA | 0 | 0,39 | 0 | 99 | 45 | GROTTagLIE | 3 | 1,34 | 223 | 101 | 50 |
| CANDELA | 0 | 0,13 | 0 | 100 | 49 | GRUMO APPULA | 0 | 0,57 | 0 | 99 | 46 |
| CANNOLE | 0 | 0,06 | 0 | 100 | 48 | GUAGNANO | 0 | 0,18 | 0 | 100 | 49 |
| CANOSA DI PUGLIA | 1 | 1,34 | 75 | 100 | 48 | ISCHITELLA | 1 | 0,17 | 604 | 101 | 49 |
| CAPRARICA DI LECCE | 0 | 0,08 | 0 | 100 | 47 | ISOLE TREMITI | 0 | 0,01 | 0 | 100 | 48 |
| CAPURSO | 0 | 0,63 | 0 | 100 | 47 | LATERZA | 1 | 0,67 | 149 | 101 | 50 |
| CARAPELLE | 0 | 0,32 | 0 | 100 | 48 | LATIANO | 0 | 0,58 | 0 | 98 | 43 |
| CARLANTINO | 0 | 0,04 | 0 | 100 | 47 | LECCE | 2 | 3,1 | 64 | 99 | 46 |
| CARMIANO | 0 | 0,45 | 0 | 100 | 46 | LEPORANO | 0 | 0,3 | 0 | 99 | 46 |
| CAROSINO | 1 | 0,29 | 344 | 100 | 49 | LEQUILE | 0 | 0,34 | 0 | 100 | 49 |
| CAROVIGNO | 0 | 0,65 | 0 | 100 | 47 | LESINA | 0 | 0,26 | 0 | 100 | 48 |
| CARPIGNANO SALENTINO | 0 | 0,12 | 0 | 99 | 46 | LEVERANO | 2 | 0,61 | 326 | 102 | 51 |
| CARPINO | 0 | 0,16 | 0 | 99 | 45 | LIZZANELLO | 0 | 0,47 | 0 | 100 | 48 |
| CASALNUOVO MONTEROTARO | 0 | 0,06 | 0 | 99 | 45 | LIZZANO | 0 | 0,43 | 0 | 99 | 46 |
| CASALVECCHIO DI PUGLIA | 0 | 0,07 | 0 | 99 | 44 | LOCOROTONDO | 0 | 0,51 | 0 | 99 | 45 |
| CASAMASSIMA | 0 | 0,79 | 0 | 99 | 46 | LUCERA | 5 | 1,46 | 342 | 103 | 55 |
| CASARANO | 0 | 0,83 | 0 | 99 | 46 | MAGLIE | 0 | 0,5 | 0 | 100 | 48 |
| CASSANO DELLE MURGE | 0 | 0,58 | 0 | 100 | 48 | MANDURIA | 2 | 1,18 | 169 | 100 | 48 |
| CASTELLANA GROTTE | 1 | 0,72 | 139 | 100 | 46 | MANFREDONIA | 3 | 2,48 | 121 | 101 | 50 |
| CASTELLANETA | 1 | 0,65 | 154 | 100 | 47 | MARGHERITA DI SAVOIA | 1 | 0,49 | 206 | 101 | 50 |
| CASTELLUCCIO DEI SAURI | 0 | 0,09 | 0 | 101 | 49 | MARTANO | 1 | 0,33 | 304 | 101 | 51 |
| CASTELLUCCIO VALMAGGIORE | 0 | 0,05 | 0 | 99 | 46 | MARTIGNANO | 0 | 0,06 | 0 | 100 | 48 |
| CASTELNUOVO DELLA DAUNIA | 0 | 0,06 | 0 | 99 | 45 | MARTINA FRANCA | 1 | 1,84 | 54 | 99 | 45 |
| CASTRI DI LECCE | 0 | 0,12 | 0 | 100 | 48 | MARUGGIO | 0 | 0,18 | 0 | 99 | 45 |
| CASTRIGNANO DE' GRECI | 0 | 0,13 | 0 | 100 | 49 | MASSAFRA | 1 | 1,34 | 75 | 100 | 49 |
| CASTRIGNANO DEL CAPO | 1 | 0,19 | 524 | 101 | 48 | MATINO | 1 | 0,47 | 214 | 101 | 50 |
| CASTRO | 0 | 0,09 | 0 | 100 | 48 | MATTINATA | 0 | 0,28 | 0 | 100 | 48 |
| CAVALLINO | 0 | 0,52 | 0 | 100 | 47 | MELENDUGNO | 0 | 0,36 | 0 | 100 | 48 |
| CEGLIE MESSAPICA | 2 | 0,73 | 272 | 101 | 50 | MELISSANO | 1 | 0,29 | 339 | 101 | 50 |
| CELENZA VALFORTORE | 0 | 0,05 | 0 | 99 | 44 | MELPIGNANO | 0 | 0,08 | 0 | 99 | 46 |
| CELLAMARE | 0 | 0,27 | 0 | 99 | 46 | MESAGNE | 0 | 0,96 | 0 | 98 | 43 |
| CELLE DI SAN VITO | 0 | 0,00 | 0 | 100 | 48 | MIGGIANO | 0 | 0,15 | 0 | 99 | 44 |
| CELLINO SAN MARCO | 0 | 0,24 | 0 | 100 | 48 | MINERVINO DI LECCE | 0 | 0,13 | 0 | 99 | 44 |

LINFOMI

| Comune | Oss | Att | SIR | RR | PP | Comune | Oss | Att | SIR | RR | PP |
|--------------------------|-----|------|-----|-----|----|----------------------------|-----|------|------|-----|----|
| MINERVINO MURGE | 0 | 0,38 | 0 | 100 | 46 | SAN MARCO IN LAMIS | 1 | 0,66 | 151 | 100 | 48 |
| MODUGNO | 1 | 1,56 | 64 | 100 | 47 | SAN MARCO LA CATOLA | 0 | 0,03 | 0 | 99 | 46 |
| MOLA DI BARI | 1 | 0,96 | 104 | 101 | 49 | SAN MARZANO DI S. GIUSEPPE | 1 | 0,44 | 227 | 100 | 48 |
| MOLFETTA | 0 | 2,21 | 0 | 99 | 44 | SAN MICHELE SALENTINO | 1 | 0,26 | 387 | 100 | 47 |
| MONOPOLI | 1 | 1,84 | 54 | 99 | 46 | SAN NICANDRO GARGANICO | 1 | 0,61 | 163 | 100 | 49 |
| MONTE SANT'ANGELO | 0 | 0,55 | 0 | 99 | 45 | SAN PANCRAZIO SALENTINO | 2 | 0,38 | 522 | 101 | 50 |
| MONTEIASI | 0 | 0,22 | 0 | 100 | 48 | SAN PAOLO DI CIVITATE | 1 | 0,27 | 369 | 100 | 47 |
| MONTELEONE DI PUGLIA | 0 | 0,04 | 0 | 100 | 47 | SAN PIETRO IN LAMA | 0 | 0,12 | 0 | 100 | 48 |
| MONTEMESOLA | 0 | 0,14 | 0 | 100 | 49 | SAN PIETRO VERNOTICO | 0 | 0,52 | 0 | 98 | 43 |
| MONTEPARANO | 0 | 0,09 | 0 | 100 | 49 | SAN SEVERO | 4 | 2,49 | 160 | 101 | 51 |
| MONTERONI DI LECCE | 0 | 0,55 | 0 | 99 | 46 | SAN VITO DEI NORMANNI | 0 | 0,71 | 0 | 100 | 47 |
| MONTESANO SALENTINO | 0 | 0,12 | 0 | 100 | 47 | SANARICA | 0 | 0,05 | 0 | 99 | 45 |
| MORCIANO DI LEUCA | 0 | 0,11 | 0 | 99 | 45 | SANNICANDRO DI BARI | 0 | 0,41 | 0 | 100 | 49 |
| MOTTA MONTECORVINO | 0 | 0,03 | 0 | 99 | 44 | SANNICOLA | 1 | 0,19 | 514 | 101 | 50 |
| MOTTOLA | 0 | 0,63 | 0 | 100 | 48 | SANTA CESAREA TERME | 0 | 0,10 | 0 | 100 | 48 |
| MURO LECCESE | 0 | 0,18 | 0 | 100 | 48 | SANT'AGATA DI PUGLIA | 0 | 0,07 | 0 | 100 | 47 |
| NARDÒ | 4 | 1,23 | 326 | 103 | 54 | SANTERAMO IN COLLE | 0 | 1,20 | 0 | 98 | 43 |
| NEVIANO | 0 | 0,20 | 0 | 99 | 45 | SAVA | 0 | 0,64 | 0 | 100 | 48 |
| NOCI | 0 | 0,70 | 0 | 99 | 46 | SCORRANO | 0 | 0,27 | 0 | 100 | 49 |
| NOCIGLIA | 0 | 0,09 | 0 | 100 | 47 | SECLÌ | 0 | 0,09 | 0 | 100 | 49 |
| NOICATTARO | 0 | 1,16 | 0 | 99 | 47 | SERRACAPRIOLA | 0 | 0,16 | 0 | 100 | 49 |
| NOVOLI | 0 | 0,29 | 0 | 99 | 43 | SOGLIANO CAVOUR | 0 | 0,14 | 0 | 100 | 46 |
| ORDONA | 0 | 0,13 | 0 | 100 | 47 | SOLETO | 0 | 0,21 | 0 | 100 | 48 |
| ORIA | 1 | 0,60 | 166 | 99 | 45 | SPECCHIA | 0 | 0,20 | 0 | 100 | 47 |
| ORSARA DI PUGLIA | 0 | 0,09 | 0 | 100 | 47 | SPINAZZOLA | 0 | 0,26 | 0 | 100 | 48 |
| ORTA NOVA | 2 | 0,85 | 235 | 101 | 49 | SPONGANO | 0 | 0,14 | 0 | 100 | 48 |
| ORTELLE | 0 | 0,09 | 0 | 99 | 44 | SQUINZANO | 0 | 0,50 | 0 | 99 | 46 |
| OSTUNI | 3 | 1,11 | 271 | 100 | 48 | STATTE | 1 | 0,62 | 162 | 101 | 50 |
| OTRANTO | 0 | 0,19 | 0 | 99 | 46 | STERNATIA | 0 | 0,07 | 0 | 100 | 48 |
| PALAGIANELLO | 2 | 0,34 | 584 | 102 | 52 | STORNARA | 0 | 0,26 | 0 | 100 | 48 |
| PALAGIANO | 0 | 0,70 | 0 | 99 | 47 | STORNARELLA | 0 | 0,22 | 0 | 100 | 49 |
| PALMARIGGI | 0 | 0,05 | 0 | 100 | 46 | SUPERSANO | 0 | 0,19 | 0 | 100 | 48 |
| PALO DEL COLLE | 0 | 1,00 | 0 | 100 | 48 | SURANO | 1 | 0,06 | 1688 | 101 | 49 |
| PANNI | 0 | 0,03 | 0 | 99 | 44 | SURBO | 0 | 0,65 | 0 | 99 | 47 |
| PARABITA | 0 | 0,34 | 0 | 99 | 44 | TARANTO | 10 | 7,55 | 132 | 102 | 53 |
| PATÙ | 0 | 0,06 | 0 | 100 | 49 | TAURISANO | 2 | 0,59 | 338 | 100 | 47 |
| PESCHICI | 0 | 0,18 | 0 | 100 | 47 | TAVIANO | 0 | 0,52 | 0 | 98 | 43 |
| PIETRAMONTECORVINO | 0 | 0,10 | 0 | 100 | 48 | TERLIZZI | 3 | 1,18 | 253 | 101 | 48 |
| POGGIARDO | 0 | 0,22 | 0 | 99 | 46 | TIGGIANO | 0 | 0,13 | 0 | 99 | 45 |
| POGGIO IMPERIALE | 0 | 0,10 | 0 | 101 | 49 | TORCHIAROLO | 0 | 0,21 | 0 | 100 | 47 |
| POGGIORSINI | 0 | 0,07 | 0 | 100 | 47 | TORITTO | 0 | 0,36 | 0 | 100 | 48 |
| POLIGNANO A MARE | 0 | 0,69 | 0 | 100 | 47 | TORRE SANTA SUSANNA | 0 | 0,42 | 0 | 99 | 43 |
| PORTO CESAREO | 0 | 0,24 | 0 | 100 | 47 | TORREMAGGIORE | 1 | 0,81 | 124 | 100 | 47 |
| PRESICCE-ACQUARICA | 1 | 0,40 | 249 | 101 | 49 | TORRICELLA | 0 | 0,16 | 0 | 100 | 49 |
| PULSANO | 1 | 0,42 | 238 | 101 | 50 | TREPUZZI | 3 | 2,38 | 126 | 101 | 50 |
| PUTIGNANO | 0 | 0,97 | 0 | 100 | 47 | TRICASE | 0 | 0,74 | 0 | 98 | 43 |
| RACALE | 1 | 0,45 | 220 | 100 | 49 | TRIGGIANO | 4 | 1,12 | 358 | 103 | 54 |
| RIGNANO GARGANICO | 0 | 0,09 | 0 | 100 | 49 | TRINITAPOLI | 0 | 0,71 | 0 | 99 | 47 |
| ROCCAFORZATA | 0 | 0,07 | 0 | 100 | 49 | TROIA | 0 | 0,30 | 0 | 100 | 48 |
| ROCCHETTA SANT'ANTONIO | 0 | 0,07 | 0 | 99 | 45 | TUGLIE | 1 | 0,19 | 524 | 101 | 50 |
| RODI GARGANICO | 0 | 0,14 | 0 | 100 | 47 | TURI | 0 | 0,45 | 0 | 100 | 48 |
| ROSETO VALFORTORE | 0 | 0,04 | 0 | 100 | 48 | UGENTO | 0 | 0,46 | 0 | 99 | 46 |
| RUFFANO | 0 | 0,44 | 0 | 100 | 47 | UGGIANO LA CHIESA | 1 | 0,16 | 635 | 101 | 50 |
| RUTIGLIANO | 0 | 0,75 | 0 | 100 | 47 | VALENZANO | 0 | 0,73 | 0 | 99 | 45 |
| RUVO DI PUGLIA | 1 | 1,10 | 91 | 100 | 48 | VEGLIE | 1 | 0,60 | 168 | 101 | 48 |
| SALICE SALENTINO | 0 | 0,31 | 0 | 100 | 47 | VERNOLE | 1 | 0,24 | 414 | 100 | 48 |
| SALVE | 0 | 0,15 | 0 | 100 | 49 | VICO DEL GARGANO | 0 | 0,32 | 0 | 100 | 47 |
| SAMMICHELE DI BARI | 0 | 0,21 | 0 | 99 | 45 | VIESTE | 0 | 0,57 | 0 | 100 | 47 |
| SAN CASSIANO | 0 | 0,07 | 0 | 100 | 47 | VILLA CASTELLI | 0 | 0,39 | 0 | 99 | 45 |
| SAN CESARIO DI LECCE | 0 | 0,31 | 0 | 100 | 49 | VOLTURARA APPULA | 0 | 0,01 | 0 | 100 | 48 |
| SAN DONACI | 0 | 0,25 | 0 | 99 | 44 | VOLTURINO | 0 | 0,06 | 0 | 100 | 47 |
| SAN DONATO DI LECCE | 0 | 0,20 | 0 | 100 | 48 | ZAPPONETA | 0 | 0,17 | 0 | 100 | 49 |
| SAN FERDINANDO DI PUGLIA | 2 | 0,68 | 294 | 101 | 51 | ZOLLINO | 0 | 0,06 | 0 | 101 | 49 |
| SAN GIORGIO IONICO | 1 | 0,67 | 149 | 100 | 48 | | | | | | |
| SAN GIOVANNI ROTONDO | 0 | 1,22 | 0 | 99 | 47 | | | | | | |

Sistema nervoso centrale

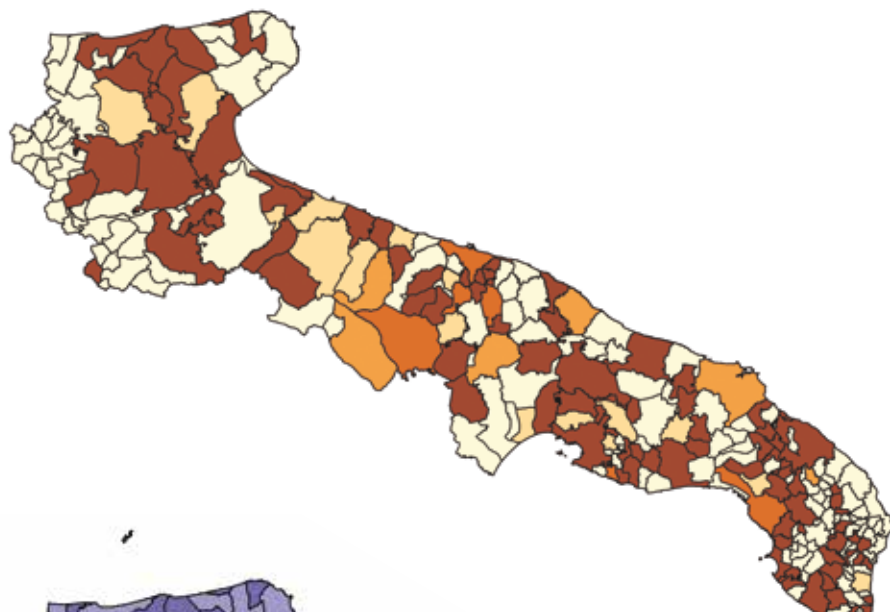


Figura 4.9 Mappa del rapporto tra casi osservati e casi attesi (SIR)

| Comuni: | Observati/Attesi (SIR): |
|---------|-------------------------|
| 138 | 0-60% |
| 16 | 60-80% |
| 6 | 80-100% |
| 6 | 100-110% |
| 91 | >110% |

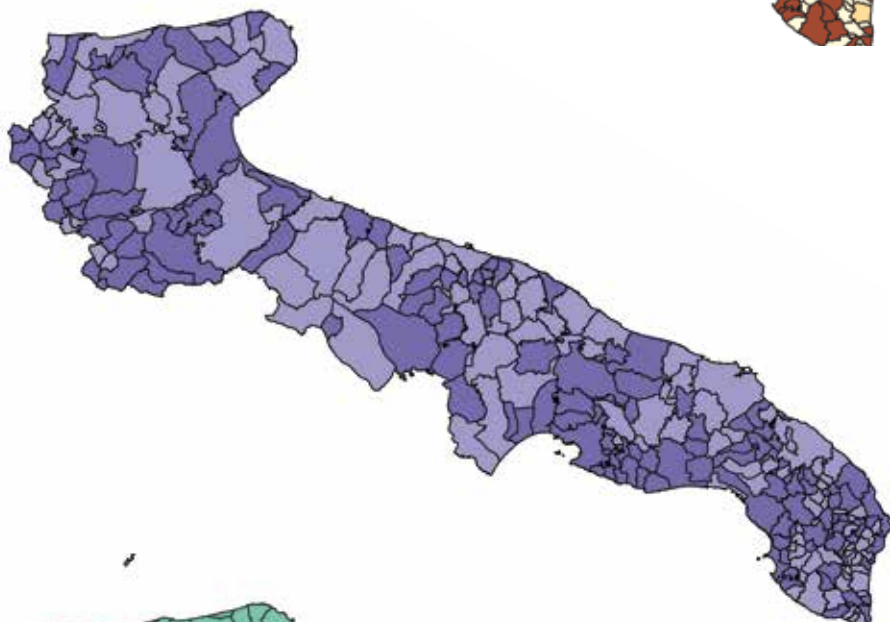


Figura 4.10 Mappa del rischio relativo (RR) liscio con modello BYM

| Comuni: | Rischio relativo (RR): |
|---------|------------------------|
| 0 | 0-60% |
| 0 | 60-80% |
| 117 | 80-100% |
| 140 | 100-110% |
| 0 | >110% |

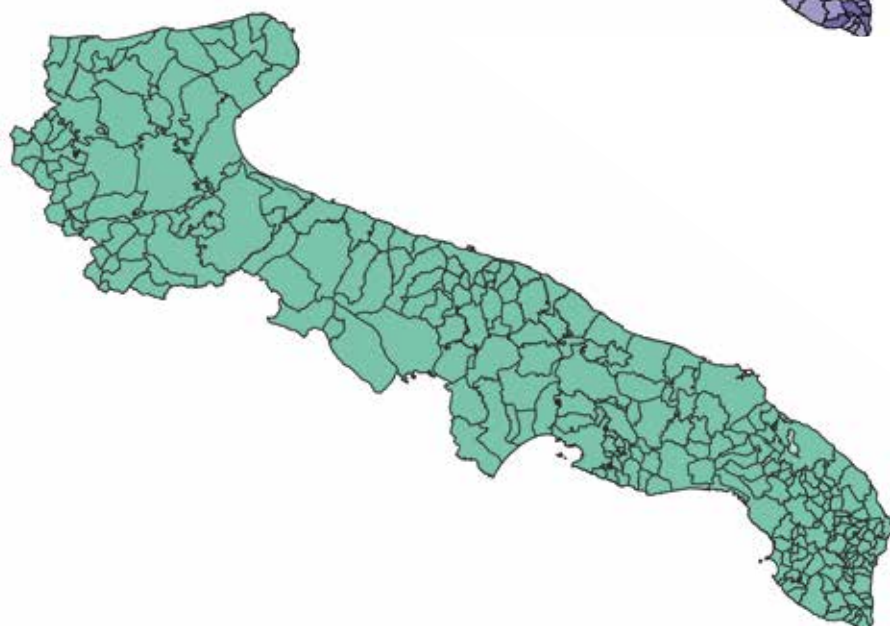


Figura 4.11 Mappa della probabilità a posteriori (PP)

| Comuni: | Probabilità a posteriori (PP): |
|---------|--------------------------------|
| 0 | 0-20% |
| 1 | 20-40% |
| 256 | 40-60% |
| 0 | 60-80% |
| 0 | >80% |

SISTEMA NERVOSO CENTRALE

| Comune | Oss | Att | SIR | RR | PP | Comune | Oss | Att | SIR | RR | PP |
|--------------------------|-----|-------|-----|-----|----|----------------------|-----|-------|-----|-----|----|
| ACCADIA | 0 | 0,19 | 0 | 99 | 43 | CERIGNOLA | 3 | 6,59 | 46 | 99 | 43 |
| ACQUAVIVA DELLE FONTI | 1 | 1,82 | 55 | 100 | 49 | CHIEUTI | 0 | 0,14 | 0 | 100 | 47 |
| ADELFA | 2 | 1,59 | 126 | 101 | 51 | CISTERNINO | 0 | 0,91 | 0 | 100 | 50 |
| ALBEROBELLO | 0 | 0,86 | 0 | 100 | 49 | COLLEPASSO | 0 | 0,51 | 0 | 100 | 51 |
| ALBERONA | 0 | 0,07 | 0 | 101 | 52 | CONVERSANO | 1 | 2,27 | 44 | 98 | 42 |
| ALESSANO | 0 | 0,58 | 0 | 100 | 51 | COPERTINO | 3 | 2,29 | 131 | 101 | 55 |
| ALEZIO | 0 | 0,52 | 0 | 100 | 50 | CORATO | 3 | 4,94 | 61 | 98 | 40 |
| ALLISTE | 0 | 0,61 | 0 | 100 | 48 | CORIGLIANO D'OTRANTO | 0 | 0,47 | 0 | 100 | 51 |
| ALTAMURA | 9 | 8,20 | 110 | 101 | 51 | CORSANO | 1 | 0,53 | 188 | 101 | 51 |
| ANDRANO | 0 | 0,41 | 0 | 100 | 48 | CRISPIANO | 2 | 1,29 | 154 | 101 | 53 |
| ANDRIA | 7 | 10,84 | 65 | 98 | 41 | CURSI | 0 | 0,37 | 0 | 100 | 51 |
| ANZANO DI PUGLIA | 0 | 0,13 | 0 | 100 | 50 | CUTROFIANO | 0 | 0,71 | 0 | 100 | 50 |
| APRICENA | 2 | 1,35 | 149 | 101 | 52 | DELICETO | 0 | 0,36 | 0 | 100 | 49 |
| ARADEO | 1 | 0,88 | 114 | 100 | 47 | DISO | 1 | 0,19 | 523 | 101 | 52 |
| ARNESANO | 2 | 0,40 | 505 | 101 | 51 | ERCHIE | 1 | 0,83 | 120 | 100 | 51 |
| ASCOLI SATRIANO | 1 | 0,58 | 171 | 100 | 50 | FAETO | 0 | 0,05 | 0 | 99 | 44 |
| AVETRANA | 0 | 0,57 | 0 | 100 | 51 | FAGGIANO | 0 | 0,31 | 0 | 100 | 51 |
| BAGNOLO DEL SALENTO | 0 | 0,16 | 0 | 100 | 47 | FASANO | 1 | 3,51 | 29 | 98 | 41 |
| BARI | 27 | 26,33 | 103 | 99 | 45 | FOGGIA | 16 | 14,22 | 113 | 100 | 46 |
| BARLETTA | 7 | 9,78 | 72 | 99 | 44 | FRAGAGNANO | 1 | 0,46 | 217 | 101 | 54 |
| BICCARI | 1 | 0,21 | 467 | 101 | 55 | FRANCAVILLA FONTANA | 1 | 3,66 | 27 | 98 | 42 |
| BINETTO | 0 | 0,22 | 0 | 99 | 43 | GAGLIANO DEL CAPO | 2 | 0,47 | 428 | 102 | 56 |
| BISCEGLIE | 7 | 5,42 | 129 | 101 | 55 | GALATINA | 3 | 2,29 | 131 | 101 | 53 |
| BITETTO | 1 | 1,26 | 80 | 101 | 51 | GALATONE | 3 | 1,45 | 207 | 102 | 56 |
| BITONTO | 3 | 5,58 | 54 | 99 | 47 | GALLIPOLI | 2 | 1,73 | 116 | 101 | 53 |
| BITRITTO | 2 | 1,12 | 179 | 101 | 50 | GINOSA | 0 | 2,12 | 0 | 100 | 48 |
| BOTRUGNO | 0 | 0,22 | 0 | 100 | 49 | GIOIA DEL COLLE | 2 | 2,34 | 85 | 99 | 44 |
| BOVINO | 0 | 0,26 | 0 | 101 | 52 | GIOVINAZZO | 1 | 1,73 | 58 | 99 | 42 |
| BRINDISI | 7 | 8,01 | 87 | 100 | 48 | GIUGGIANELLO | 0 | 0,09 | 0 | 101 | 52 |
| CAGNANO VARANO | 2 | 0,73 | 275 | 100 | 48 | GIURDIGNANO | 0 | 0,18 | 0 | 101 | 52 |
| CALIMERA | 2 | 0,58 | 344 | 100 | 48 | GRAVINA IN PUGLIA | 4 | 4,90 | 82 | 98 | 41 |
| CAMPISALENTINA | 2 | 0,89 | 224 | 100 | 48 | GROTTAGLIE | 2 | 3,04 | 66 | 100 | 48 |
| CANDELA | 0 | 0,27 | 0 | 101 | 53 | GRUMO APPULA | 4 | 1,28 | 312 | 101 | 48 |
| CANNOLE | 0 | 0,14 | 0 | 99 | 42 | GUAGNANO | 0 | 0,41 | 0 | 100 | 50 |
| CANOSA DI PUGLIA | 5 | 2,96 | 169 | 103 | 58 | ISCHITELLA | 0 | 0,39 | 0 | 99 | 43 |
| CAPRARICA DI LECCE | 0 | 0,19 | 0 | 99 | 42 | ISOLE TREMITI | 0 | 0,03 | 0 | 101 | 53 |
| CAPURSO | 2 | 1,51 | 132 | 101 | 52 | LATERZA | 3 | 1,55 | 194 | 101 | 54 |
| CARAPELLE | 0 | 0,76 | 0 | 101 | 52 | LATIANO | 2 | 1,29 | 156 | 100 | 49 |
| CARLANTINO | 0 | 0,08 | 0 | 101 | 52 | LECCE | 9 | 7,36 | 122 | 100 | 45 |
| CARMIANO | 0 | 1,05 | 0 | 100 | 49 | LEPORANO | 0 | 0,74 | 0 | 100 | 49 |
| CAROSINO | 0 | 0,69 | 0 | 100 | 49 | LEQUILE | 3 | 0,80 | 375 | 102 | 57 |
| CAROVIGNO | 0 | 1,49 | 0 | 99 | 47 | LESINA | 1 | 0,57 | 174 | 99 | 43 |
| CARPIGNANO SALENTINO | 0 | 0,27 | 0 | 100 | 49 | LEVERANO | 1 | 1,42 | 70 | 100 | 48 |
| CARPINO | 0 | 0,36 | 0 | 100 | 49 | LIZZANELLO | 0 | 1,14 | 0 | 100 | 49 |
| CASALNUOVO MONTEROTARO | 0 | 0,13 | 0 | 100 | 46 | LIZZANO | 3 | 0,97 | 308 | 101 | 53 |
| CASALVECCHIO DI PUGLIA | 0 | 0,15 | 0 | 100 | 48 | LOCOROTONDO | 0 | 1,18 | 0 | 99 | 43 |
| CASAMASSIMA | 2 | 1,93 | 103 | 100 | 51 | LUCERA | 4 | 3,32 | 121 | 101 | 55 |
| CASARANO | 1 | 1,89 | 53 | 98 | 41 | MAGLIE | 2 | 1,13 | 177 | 101 | 54 |
| CASSANO DELLE MURGE | 1 | 1,37 | 73 | 100 | 51 | MANDURIA | 4 | 2,68 | 149 | 101 | 52 |
| CASTELLANA GROTTA | 2 | 1,66 | 120 | 99 | 45 | MANFREDONIA | 9 | 5,61 | 161 | 102 | 58 |
| CASTELLANETA | 0 | 1,47 | 0 | 100 | 47 | MARGHERITA DI SAVOIA | 2 | 1,06 | 188 | 101 | 53 |
| CASTELLUCCIO DEI SAURI | 0 | 0,21 | 0 | 99 | 44 | MARTANO | 2 | 0,75 | 268 | 102 | 55 |
| CASTELLUCCIO VALMAGGIORE | 0 | 0,11 | 0 | 100 | 50 | MARTIGNANO | 0 | 0,14 | 0 | 101 | 51 |
| CASTELNUOVO DELLA DAUNIA | 0 | 0,13 | 0 | 100 | 46 | MARTINA FRANCA | 6 | 4,26 | 141 | 101 | 53 |
| CASTRI DI LECCE | 0 | 0,25 | 0 | 98 | 42 | MARUGGIO | 0 | 0,41 | 0 | 100 | 49 |
| CASTRIGNANO DE' GRECI | 1 | 0,28 | 354 | 99 | 44 | MASSAFRA | 4 | 3,12 | 128 | 101 | 54 |
| CASTRIGNANO DEL CAPO | 0 | 0,42 | 0 | 98 | 42 | MATINO | 0 | 1,08 | 0 | 100 | 48 |
| CASTRO | 0 | 0,18 | 0 | 99 | 42 | MATTINATA | 0 | 0,64 | 0 | 100 | 50 |
| CAVALLINO | 1 | 1,21 | 82 | 101 | 51 | MELENDUGNO | 0 | 0,84 | 0 | 100 | 51 |
| CEGLIE MESSAPICA | 1 | 1,69 | 59 | 100 | 52 | MELISSANO | 0 | 0,65 | 0 | 98 | 42 |
| CELENZA VALFORTORE | 0 | 0,11 | 0 | 100 | 48 | MELPIGNANO | 0 | 0,17 | 0 | 100 | 50 |
| CELLAMARE | 1 | 0,64 | 155 | 99 | 43 | MESAGNE | 1 | 2,22 | 45 | 99 | 46 |
| CELLE DI SAN VITO | 0 | 0,01 | 0 | 99 | 42 | MIGGIANO | 0 | 0,33 | 0 | 99 | 45 |
| CELLINO SAN MARCO | 0 | 0,56 | 0 | 101 | 52 | MINERVINO DI LECCE | 0 | 0,31 | 0 | 100 | 46 |

SISTEMA NERVOSO CENTRALE

| Comune | Oss | Att | SIR | RR | PP |
|--------------------------|-----|------|------|-----|----|
| MINERVINO MURGE | 1 | 0,83 | 121 | 99 | 44 |
| MODUGNO | 2 | 3,68 | 54 | 100 | 48 |
| MOLA DI BARI | 1 | 2,19 | 46 | 98 | 40 |
| MOLFETTA | 4 | 5,07 | 79 | 98 | 41 |
| MONOPOLI | 4 | 4,18 | 96 | 99 | 42 |
| MONTE SANT'ANGELO | 0 | 1,22 | 0 | 99 | 42 |
| MONTEIASI | 1 | 0,54 | 185 | 101 | 53 |
| MONTELEONE DI PUGLIA | 1 | 0,09 | 1112 | 101 | 52 |
| MONTEMESOLA | 1 | 0,33 | 305 | 101 | 54 |
| MONTEPARANO | 0 | 0,21 | 0 | 101 | 52 |
| MONTERONI DI LECCE | 2 | 1,26 | 158 | 99 | 44 |
| MONTESANO SALENTINO | 0 | 0,26 | 0 | 99 | 42 |
| MORCIANO DI LEUCA | 1 | 0,25 | 397 | 100 | 46 |
| MOTTA MONTECORVINO | 0 | 0,06 | 0 | 100 | 49 |
| MOTTOLA | 0 | 1,41 | 0 | 100 | 50 |
| MURO LECCESE | 0 | 0,40 | 0 | 99 | 43 |
| NARDÒ | 3 | 2,77 | 108 | 101 | 52 |
| NEVIANO | 0 | 0,43 | 0 | 99 | 44 |
| NOCI | 4 | 1,57 | 255 | 101 | 49 |
| NOCIGLIA | 1 | 0,19 | 531 | 99 | 44 |
| NOICATTARO | 1 | 2,62 | 38 | 100 | 50 |
| NOVOLI | 1 | 0,65 | 155 | 100 | 50 |
| ORDONA | 0 | 0,30 | 0 | 101 | 51 |
| ORIA | 1 | 1,37 | 73 | 100 | 47 |
| ORSARA DI PUGLIA | 0 | 0,19 | 0 | 100 | 49 |
| ORTA NOVA | 3 | 1,93 | 155 | 101 | 52 |
| ORTELLE | 0 | 0,18 | 0 | 100 | 47 |
| OSTUNI | 5 | 2,52 | 198 | 101 | 53 |
| OTRANTO | 0 | 0,45 | 0 | 100 | 49 |
| PALAGIANELLO | 0 | 0,79 | 0 | 100 | 51 |
| PALAGIANO | 1 | 1,60 | 63 | 100 | 50 |
| PALMARIGGI | 0 | 0,12 | 0 | 100 | 49 |
| PALO DEL COLLE | 4 | 2,32 | 173 | 102 | 57 |
| PANNI | 0 | 0,06 | 0 | 100 | 47 |
| PARABITA | 0 | 0,77 | 0 | 99 | 45 |
| PATÙ | 0 | 0,14 | 0 | 99 | 43 |
| PESCHICI | 0 | 0,44 | 0 | 100 | 49 |
| PIETRAMONTECORVINO | 0 | 0,24 | 0 | 101 | 51 |
| POGGIARDO | 1 | 0,49 | 206 | 100 | 45 |
| POGGIO IMPERIALE | 0 | 0,24 | 0 | 101 | 51 |
| POGGIORSINI | 0 | 0,14 | 0 | 101 | 51 |
| POLIGNANO A MARE | 2 | 1,56 | 128 | 101 | 53 |
| PORTO CESAREO | 0 | 0,59 | 0 | 99 | 42 |
| PRESICCE-ACQUARICA | 1 | 0,89 | 112 | 99 | 43 |
| PULSANO | 1 | 1,00 | 100 | 100 | 51 |
| PUTIGNANO | 0 | 2,19 | 0 | 100 | 49 |
| RACALE | 2 | 1,06 | 188 | 101 | 52 |
| RIGNANO GARGANICO | 1 | 0,17 | 582 | 99 | 44 |
| ROCCAFORZATA | 0 | 0,16 | 0 | 101 | 54 |
| ROCCHETTA SANT'ANTONIO | 0 | 0,15 | 0 | 100 | 50 |
| RODI GARGANICO | 1 | 0,31 | 318 | 101 | 53 |
| ROSETO VALFORTORE | 0 | 0,09 | 0 | 101 | 51 |
| RUFFANO | 2 | 1,01 | 198 | 101 | 53 |
| RUTIGLIANO | 0 | 1,73 | 0 | 100 | 48 |
| RUVO DI PUGLIA | 2 | 2,49 | 80 | 99 | 42 |
| SALICE SALENTINO | 0 | 0,70 | 0 | 100 | 51 |
| SALVE | 0 | 0,33 | 0 | 101 | 52 |
| SAMMICHELE DI BARI | 1 | 0,48 | 207 | 100 | 47 |
| SAN CASSIANO | 0 | 0,15 | 0 | 100 | 48 |
| SAN CESARIO DI LECCE | 0 | 0,76 | 0 | 100 | 51 |
| SAN DONACI | 0 | 0,57 | 0 | 99 | 46 |
| SAN DONATO DI LECCE | 0 | 0,47 | 0 | 100 | 51 |
| SAN FERDINANDO DI PUGLIA | 1 | 1,52 | 66 | 99 | 42 |
| SAN GIORGIO IONICO | 1 | 1,53 | 65 | 100 | 50 |
| SAN GIOVANNI ROTONDO | 2 | 2,77 | 72 | 100 | 51 |

| Comune | Oss | Att | SIR | RR | PP |
|----------------------------|-----|-------|-----|-----|----|
| SAN MARCO IN LAMIS | 2 | 1,48 | 135 | 99 | 43 |
| SAN MARCO LA CATOLA | 0 | 0,07 | 0 | 100 | 50 |
| SAN MARZANO DI S. GIUSEPPE | 0 | 1,03 | 0 | 100 | 49 |
| SAN MICHELE SALENTINO | 0 | 0,58 | 0 | 99 | 44 |
| SAN NICANDRO GARGANICO | 2 | 1,34 | 150 | 100 | 51 |
| SAN PANCRAZIO SALENTINO | 0 | 0,84 | 0 | 98 | 41 |
| SAN PAOLO DI CIVITATE | 0 | 0,61 | 0 | 99 | 45 |
| SAN PIETRO IN LAMA | 0 | 0,28 | 0 | 100 | 50 |
| SAN PIETRO VERNOTICO | 2 | 1,16 | 172 | 100 | 48 |
| SAN SEVERO | 4 | 5,62 | 71 | 100 | 48 |
| SAN VITO DEI NORMANNI | 2 | 1,57 | 128 | 99 | 43 |
| SANARICA | 1 | 0,12 | 812 | 101 | 52 |
| SANNICANDRO DI BARI | 1 | 0,93 | 107 | 99 | 44 |
| SANNICOLA | 1 | 0,44 | 226 | 101 | 53 |
| SANTA CESAREA TERME | 0 | 0,24 | 0 | 100 | 50 |
| SANT'AGATA DI PUGLIA | 0 | 0,17 | 0 | 100 | 51 |
| SANTERAMO IN COLLE | 6 | 2,70 | 222 | 102 | 56 |
| SAVA | 4 | 1,48 | 271 | 102 | 56 |
| SCORRANO | 1 | 0,62 | 160 | 101 | 52 |
| SECLÌ | 0 | 0,17 | 0 | 100 | 49 |
| SERRACAPRIOLA | 0 | 0,35 | 0 | 100 | 50 |
| SOGLIANO CAVOUR | 0 | 0,33 | 0 | 99 | 44 |
| SOLETO | 0 | 0,45 | 0 | 99 | 42 |
| SPECCHIA | 0 | 0,43 | 0 | 99 | 42 |
| SPINAZZOLA | 0 | 0,57 | 0 | 99 | 44 |
| SPONGANO | 1 | 0,32 | 312 | 99 | 44 |
| SQUINZANO | 2 | 1,11 | 180 | 101 | 52 |
| STATTE | 1 | 1,46 | 69 | 100 | 51 |
| STERNATIA | 0 | 0,16 | 0 | 99 | 43 |
| STORNARA | 1 | 0,63 | 160 | 101 | 51 |
| STORNARELLA | 1 | 0,51 | 195 | 101 | 54 |
| SUPERSANO | 1 | 0,44 | 228 | 99 | 45 |
| SURANO | 0 | 0,13 | 0 | 99 | 44 |
| SURBO | 0 | 1,55 | 0 | 98 | 40 |
| TARANTO | 22 | 17,36 | 127 | 103 | 59 |
| TAURISANO | 3 | 1,33 | 226 | 101 | 50 |
| TAVIANO | 3 | 1,16 | 258 | 101 | 49 |
| TERLIZZI | 4 | 2,64 | 152 | 101 | 51 |
| TIGGIANO | 0 | 0,28 | 0 | 99 | 45 |
| TORCHIAROLO | 0 | 0,48 | 0 | 98 | 41 |
| TORITTO | 1 | 0,81 | 124 | 101 | 53 |
| TORRE SANTA SUSANNA | 2 | 0,96 | 209 | 100 | 48 |
| TORREMAGGIORE | 1 | 1,82 | 55 | 100 | 49 |
| TORRICELLA | 0 | 0,36 | 0 | 100 | 51 |
| TRANI | 8 | 5,45 | 147 | 100 | 48 |
| TREPUZZI | 2 | 1,25 | 161 | 101 | 51 |
| TRICASE | 1 | 1,63 | 61 | 99 | 46 |
| TRIGGIANO | 4 | 2,58 | 155 | 102 | 56 |
| TRINITAPOLI | 4 | 1,64 | 244 | 102 | 56 |
| TROIA | 0 | 0,68 | 0 | 100 | 49 |
| TUGLIE | 0 | 0,44 | 0 | 99 | 42 |
| TURI | 0 | 1,07 | 0 | 100 | 48 |
| UGENTO | 2 | 1,06 | 189 | 100 | 47 |
| UGGIANO LA CHIESA | 0 | 0,36 | 0 | 99 | 43 |
| VALENZANO | 3 | 1,66 | 180 | 101 | 52 |
| VEGLIE | 2 | 1,37 | 146 | 99 | 44 |
| VERNOLE | 0 | 0,55 | 0 | 98 | 41 |
| VICO DEL GARGANO | 1 | 0,74 | 136 | 99 | 43 |
| VIESTE | 0 | 1,30 | 0 | 98 | 40 |
| VILLA CASTELLI | 3 | 0,89 | 337 | 101 | 53 |
| VOLTURARA APPULA | 0 | 0,02 | 0 | 99 | 43 |
| VOLTURINO | 0 | 0,15 | 0 | 99 | 42 |
| ZAPPONETA | 0 | 0,39 | 0 | 100 | 51 |
| ZOLLINO | 0 | 0,14 | 0 | 99 | 44 |

Neuroblastomi

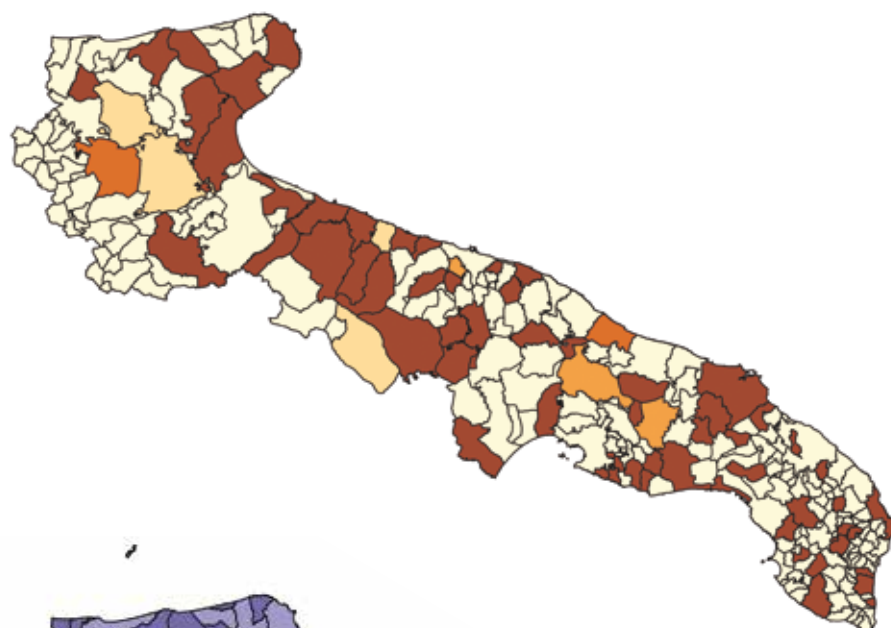


Figura 4.12 Mappa del rapporto tra casi osservati e casi attesi (SIR)

| Comuni: | Osservati/Attesi (SIR): |
|---------|-------------------------|
| 187 | 0-60% |
| 3 | 60-80% |
| 2 | 80-100% |
| 2 | 100-110% |
| 61 | >110% |

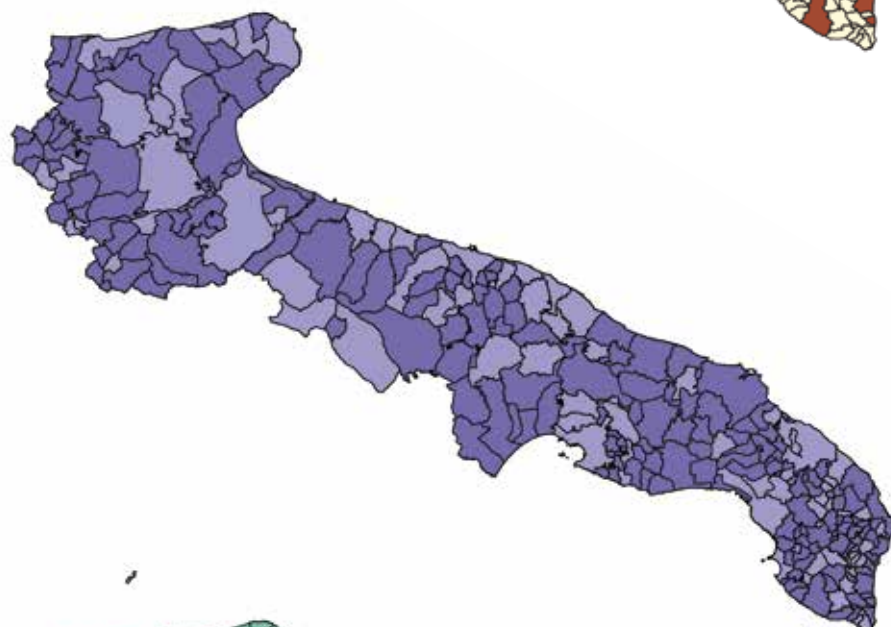


Figura 4.13 Mappa del rischio relativo (RR) liscio con modello BYM

| Comuni: | Rischio relativo (RR): |
|---------|------------------------|
| 0 | 0-60% |
| 0 | 60-80% |
| 74 | 80-100% |
| 183 | 100-110% |
| 0 | >110% |

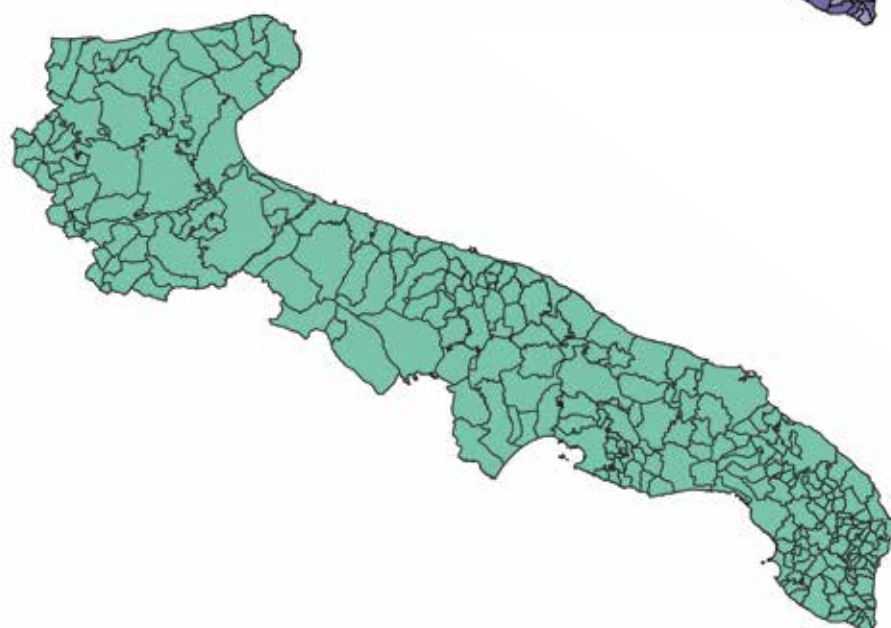


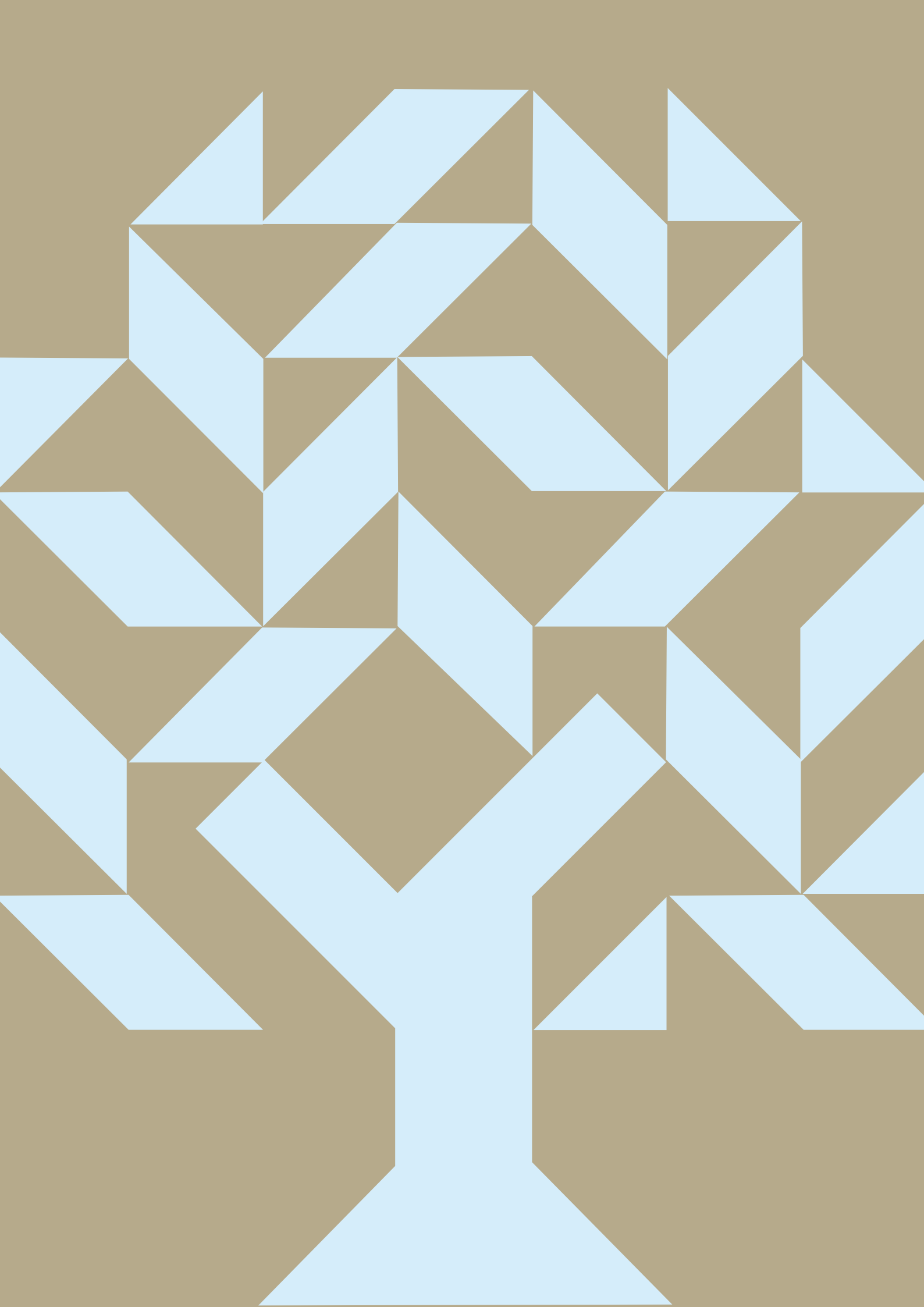
Figura 4.14 Mappa della probabilità a posteriori (PP)

| Comuni: | Probabilità a posteriori (PP): |
|---------|--------------------------------|
| 0 | 0-20% |
| 0 | 20-40% |
| 257 | 40-60% |
| 0 | 60-80% |
| 0 | >80% |

NEUROBLASTOMI

| Comune | Oss | Att | SIR | RR | PP | Comune | Oss | Att | SIR | RR | PP |
|--------------------------|-----|------|-----|-----|----|----------------------|-----|------|------|-----|----|
| ACCADIA | 0 | 0,05 | 0 | 99 | 45 | CERIGNOLA | 0 | 1,81 | 0 | 99 | 47 |
| ACQUAVIVA DELLE FONTI | 2 | 0,49 | 405 | 103 | 54 | CHIEUTI | 0 | 0,04 | 0 | 101 | 50 |
| ADELFA | 0 | 0,44 | 0 | 100 | 49 | CISTERNINO | 0 | 0,24 | 0 | 100 | 48 |
| ALBEROBELLO | 1 | 0,24 | 419 | 101 | 51 | COLLEPASSO | 0 | 0,12 | 0 | 101 | 50 |
| ALBERONA | 0 | 0,02 | 0 | 100 | 48 | CONVERSANO | 0 | 0,66 | 0 | 98 | 43 |
| ALESSANO | 0 | 0,15 | 0 | 100 | 48 | COPERTINO | 0 | 0,63 | 0 | 100 | 47 |
| ALEZIO | 0 | 0,16 | 0 | 101 | 49 | CORATO | 3 | 1,36 | 220 | 101 | 50 |
| ALLISTE | 0 | 0,16 | 0 | 101 | 50 | CORIGLIANO D'OTRANTO | 0 | 0,12 | 0 | 100 | 49 |
| ALTAMURA | 4 | 2,24 | 178 | 103 | 53 | CORSANO | 1 | 0,14 | 719 | 101 | 50 |
| ANDRANO | 1 | 0,10 | 968 | 102 | 52 | CRISPIANO | 0 | 0,38 | 0 | 100 | 47 |
| ANDRIA | 4 | 2,98 | 134 | 102 | 52 | CURSI | 0 | 0,10 | 0 | 101 | 49 |
| ANZANO DI PUGLIA | 0 | 0,02 | 0 | 100 | 49 | CUTROFIANO | 0 | 0,20 | 0 | 101 | 49 |
| APRICENA | 0 | 0,38 | 0 | 100 | 48 | DELICETO | 0 | 0,10 | 0 | 101 | 50 |
| ARADEO | 0 | 0,25 | 0 | 101 | 50 | DISO | 0 | 0,04 | 0 | 100 | 49 |
| ARNESANO | 0 | 0,11 | 0 | 101 | 50 | ERCHIE | 0 | 0,21 | 0 | 101 | 49 |
| ASCOLI SATRIANO | 1 | 0,16 | 627 | 101 | 51 | FAETO | 0 | 0,02 | 0 | 100 | 47 |
| AVETRANA | 0 | 0,15 | 0 | 100 | 48 | FAGGIANO | 1 | 0,09 | 1082 | 102 | 51 |
| BAGNOLO DEL SALENTO | 0 | 0,04 | 0 | 101 | 50 | FASANO | 1 | 0,97 | 103 | 101 | 49 |
| BARI | 4 | 7,45 | 54 | 97 | 41 | FOGGIA | 3 | 3,99 | 75 | 98 | 44 |
| BARLETTA | 3 | 2,61 | 115 | 101 | 51 | FRAGAGNANO | 0 | 0,13 | 0 | 100 | 48 |
| BICCARI | 0 | 0,06 | 0 | 100 | 48 | FRANCAVILLA FONTANA | 1 | 1,03 | 97 | 101 | 50 |
| BINETTO | 0 | 0,06 | 0 | 100 | 48 | GAGLIANO DEL CAPO | 0 | 0,11 | 0 | 100 | 49 |
| BISCEGLIE | 1 | 1,55 | 65 | 100 | 47 | GALATINA | 1 | 0,63 | 160 | 101 | 49 |
| BITETTO | 1 | 0,39 | 256 | 101 | 51 | GALATONE | 1 | 0,39 | 255 | 101 | 50 |
| BITONTO | 0 | 1,53 | 0 | 99 | 46 | GALLIPOLI | 0 | 0,49 | 0 | 100 | 47 |
| BITRITTO | 0 | 0,33 | 0 | 101 | 49 | GINOSA | 1 | 0,59 | 170 | 101 | 49 |
| BOTRUGNO | 0 | 0,05 | 0 | 101 | 50 | GIOIA DEL COLLE | 0 | 0,66 | 0 | 100 | 47 |
| BOVINO | 0 | 0,07 | 0 | 100 | 48 | GIOVINAZZO | 1 | 0,48 | 210 | 101 | 48 |
| BRINDISI | 3 | 2,25 | 133 | 101 | 51 | GIUGGIANELLO | 0 | 0,03 | 0 | 100 | 49 |
| CAGNANO VARANO | 1 | 0,20 | 511 | 101 | 50 | GIURDIGNANO | 0 | 0,05 | 0 | 100 | 49 |
| CALIMERA | 0 | 0,17 | 0 | 101 | 50 | GRAVINA IN PUGLIA | 1 | 1,32 | 76 | 99 | 44 |
| CAMPI SALENTINA | 0 | 0,24 | 0 | 101 | 49 | GROTTagLIE | 0 | 0,82 | 0 | 100 | 48 |
| CANDELA | 0 | 0,06 | 0 | 100 | 48 | GRUMO APPULA | 0 | 0,35 | 0 | 99 | 45 |
| CANNOLE | 0 | 0,04 | 0 | 99 | 45 | GUAGNANO | 0 | 0,12 | 0 | 101 | 49 |
| CANOSA DI PUGLIA | 1 | 0,78 | 128 | 101 | 50 | ISCHITELLA | 0 | 0,11 | 0 | 99 | 45 |
| CAPRARICA DI LECCE | 0 | 0,06 | 0 | 100 | 47 | ISOLE TREMITI | 0 | 0,01 | 0 | 100 | 48 |
| CAPURSO | 0 | 0,45 | 0 | 100 | 49 | LATERZA | 0 | 0,44 | 0 | 100 | 49 |
| CARAPELLE | 0 | 0,22 | 0 | 100 | 48 | LATIANO | 0 | 0,34 | 0 | 101 | 50 |
| CARLANTINO | 0 | 0,02 | 0 | 101 | 49 | LECCE | 0 | 2,16 | 0 | 97 | 42 |
| CARMIANO | 0 | 0,30 | 0 | 100 | 49 | LEPORANO | 1 | 0,23 | 442 | 102 | 52 |
| CAROSINO | 0 | 0,20 | 0 | 100 | 49 | LEQUILE | 0 | 0,23 | 0 | 100 | 48 |
| CAROVIGNO | 0 | 0,43 | 0 | 100 | 48 | LESINA | 0 | 0,15 | 0 | 99 | 45 |
| CARPIGNANO SALENTINO | 0 | 0,08 | 0 | 101 | 50 | LEVERANO | 0 | 0,39 | 0 | 100 | 47 |
| CARPINO | 0 | 0,09 | 0 | 101 | 50 | LIZZANELLO | 1 | 0,34 | 297 | 101 | 50 |
| CASALNUOVO MONTEROTARO | 0 | 0,03 | 0 | 101 | 50 | LIZZANO | 1 | 0,26 | 380 | 102 | 51 |
| CASALVECCHIO DI PUGLIA | 0 | 0,04 | 0 | 101 | 50 | LOCOROTONDO | 0 | 0,34 | 0 | 99 | 45 |
| CASAMASSIMA | 0 | 0,59 | 0 | 100 | 48 | LUCERA | 1 | 0,91 | 110 | 100 | 49 |
| CASARANO | 1 | 0,52 | 192 | 100 | 46 | MAGLIE | 2 | 0,31 | 651 | 102 | 52 |
| CASSANO DELLE MURGE | 1 | 0,40 | 248 | 101 | 50 | MANDURIA | 1 | 0,73 | 138 | 101 | 51 |
| CASTELLANA GROTTE | 0 | 0,48 | 0 | 100 | 47 | MANFREDONIA | 2 | 1,54 | 130 | 101 | 49 |
| CASTELLANETA | 0 | 0,40 | 0 | 101 | 50 | MARGHERITA DI SAVOIA | 0 | 0,28 | 0 | 100 | 48 |
| CASTELLUCCIO DEI SAURI | 0 | 0,06 | 0 | 99 | 45 | MARTANO | 1 | 0,21 | 484 | 101 | 50 |
| CASTELLUCCIO VALMAGGIORE | 0 | 0,03 | 0 | 101 | 50 | MARTIGNANO | 0 | 0,04 | 0 | 101 | 49 |
| CASTELNUOVO DELLA DAUNIA | 0 | 0,03 | 0 | 101 | 50 | MARTINA FRANCA | 1 | 1,20 | 83 | 101 | 50 |
| CASTRI DI LECCE | 0 | 0,07 | 0 | 99 | 46 | MARUGGIO | 0 | 0,11 | 0 | 101 | 50 |
| CASTRIGNANO DE' GRECI | 0 | 0,07 | 0 | 99 | 45 | MASSAFRA | 3 | 0,90 | 333 | 103 | 54 |
| CASTRIGNANO DEL CAPO | 0 | 0,11 | 0 | 99 | 45 | MATINO | 0 | 0,30 | 0 | 100 | 48 |
| CASTRO | 0 | 0,04 | 0 | 99 | 45 | MATTINATA | 0 | 0,18 | 0 | 100 | 48 |
| CAVALLINO | 0 | 0,34 | 0 | 101 | 49 | MELENDUGNO | 0 | 0,23 | 0 | 100 | 48 |
| CEGLIE MESSAPICA | 2 | 0,48 | 421 | 102 | 52 | MELISSANO | 0 | 0,17 | 0 | 99 | 45 |
| CELENZA VALFORTORE | 0 | 0,03 | 0 | 101 | 50 | MELPIGNANO | 0 | 0,04 | 0 | 101 | 51 |
| CELLAMARE | 0 | 0,18 | 0 | 100 | 47 | MESAGNE | 2 | 0,62 | 322 | 102 | 53 |
| CELLE DI SAN VITO | 0 | 0,00 | 0 | 99 | 45 | MIGGIANO | 0 | 0,09 | 0 | 101 | 49 |
| CELLINO SAN MARCO | 0 | 0,16 | 0 | 101 | 49 | MINERVINO DI LECCE | 0 | 0,09 | 0 | 101 | 50 |

| Comune | Oss | Att | SIR | RR | PP | Comune | Oss | Att | SIR | RR | PP |
|--------------------------|-----|------|------|-----|----|----------------------------|-----|------|------|-----|----|
| MINERVINO MURGE | 0 | 0,21 | 0 | 99 | 44 | SAN MARCO IN LAMIS | 0 | 0,38 | 0 | 99 | 44 |
| MODUGNO | 1 | 1,08 | 93 | 100 | 49 | SAN MARCO LA CATOLA | 0 | 0,02 | 0 | 101 | 50 |
| MOLA DI BARI | 1 | 0,60 | 166 | 100 | 46 | SAN MARZANO DI S. GIUSEPPE | 0 | 0,29 | 0 | 100 | 48 |
| MOLFETTA | 2 | 1,41 | 142 | 100 | 46 | SAN MICHELE SALENTINO | 0 | 0,15 | 0 | 101 | 49 |
| MONOPOLI | 0 | 1,16 | 0 | 98 | 43 | SAN NICANDRO GARGANICO | 2 | 0,35 | 577 | 102 | 52 |
| MONTE SANT'ANGELO | 1 | 0,32 | 309 | 101 | 49 | SAN PANCRAZIO SALENTINO | 0 | 0,22 | 0 | 99 | 44 |
| MONTEIASI | 0 | 0,16 | 0 | 101 | 49 | SAN PAOLO DI CIVITATE | 1 | 0,16 | 616 | 101 | 50 |
| MONTELEONE DI PUGLIA | 0 | 0,02 | 0 | 101 | 50 | SAN PIETRO IN LAMA | 0 | 0,08 | 0 | 101 | 49 |
| MONTEMESOLA | 0 | 0,10 | 0 | 100 | 48 | SAN PIETRO VERNOTICO | 1 | 0,31 | 321 | 102 | 52 |
| MONTEPARANO | 0 | 0,06 | 0 | 100 | 48 | SAN SEVERO | 1 | 1,51 | 66 | 100 | 48 |
| MONTERONI DI LECCE | 0 | 0,35 | 0 | 99 | 45 | SAN VITO DEI NORMANNI | 0 | 0,41 | 0 | 99 | 44 |
| MONTESANO SALENTINO | 0 | 0,07 | 0 | 100 | 46 | SANARICA | 0 | 0,04 | 0 | 101 | 50 |
| MORCIANO DI LEUCA | 0 | 0,06 | 0 | 101 | 49 | SANNICANDRO DI BARI | 0 | 0,26 | 0 | 99 | 45 |
| MOTTA MONTECORVINO | 0 | 0,01 | 0 | 101 | 50 | SANNICOLA | 0 | 0,12 | 0 | 101 | 49 |
| MOTTOLA | 0 | 0,38 | 0 | 100 | 48 | SANTA CESAREA TERME | 0 | 0,07 | 0 | 101 | 49 |
| MURO LECCESE | 1 | 0,10 | 967 | 100 | 47 | SANT'AGATA DI PUGLIA | 0 | 0,05 | 0 | 100 | 49 |
| NARDÒ | 0 | 0,77 | 0 | 100 | 47 | SANTERAMO IN COLLE | 1 | 0,71 | 140 | 101 | 51 |
| NEVIANO | 0 | 0,11 | 0 | 100 | 49 | SAVA | 1 | 0,41 | 241 | 101 | 50 |
| NOCI | 0 | 0,42 | 0 | 99 | 45 | SCORRANO | 1 | 0,17 | 577 | 101 | 51 |
| NOCIGLIA | 0 | 0,04 | 0 | 99 | 46 | SECLÌ | 0 | 0,03 | 0 | 101 | 49 |
| NOICATTARO | 0 | 0,71 | 0 | 100 | 47 | SERRACAPRIOLA | 0 | 0,09 | 0 | 100 | 49 |
| NOVOLI | 0 | 0,18 | 0 | 101 | 50 | SOGLIANO CAVOUR | 0 | 0,09 | 0 | 99 | 45 |
| ORDONA | 0 | 0,09 | 0 | 101 | 50 | SOLETO | 0 | 0,12 | 0 | 99 | 44 |
| ORIA | 0 | 0,38 | 0 | 101 | 50 | SPECCHIA | 0 | 0,11 | 0 | 99 | 46 |
| ORSARA DI PUGLIA | 0 | 0,05 | 0 | 101 | 49 | SPINAZZOLA | 0 | 0,15 | 0 | 99 | 45 |
| ORTA NOVA | 0 | 0,52 | 0 | 100 | 49 | SPONGANO | 0 | 0,09 | 0 | 99 | 45 |
| ORTELLE | 0 | 0,04 | 0 | 101 | 50 | SQUINZANO | 0 | 0,29 | 0 | 101 | 49 |
| OSTUNI | 0 | 0,69 | 0 | 100 | 49 | STATTE | 0 | 0,42 | 0 | 100 | 48 |
| OTRANTO | 2 | 0,13 | 1509 | 103 | 53 | STERNATIA | 0 | 0,05 | 0 | 99 | 45 |
| PALAGIANELLO | 0 | 0,22 | 0 | 100 | 49 | STORNARA | 0 | 0,19 | 0 | 100 | 49 |
| PALAGIANO | 0 | 0,44 | 0 | 100 | 48 | STORNARELLA | 0 | 0,15 | 0 | 100 | 49 |
| PALMARIGGI | 0 | 0,03 | 0 | 101 | 50 | SUPERSANO | 0 | 0,13 | 0 | 99 | 45 |
| PALO DEL COLLE | 1 | 0,66 | 152 | 101 | 49 | SURANO | 0 | 0,03 | 0 | 99 | 46 |
| PANNI | 0 | 0,02 | 0 | 101 | 50 | SURBO | 1 | 0,46 | 220 | 100 | 47 |
| PARABITA | 1 | 0,20 | 497 | 102 | 51 | TARANTO | 2 | 4,95 | 40 | 98 | 44 |
| PATÙ | 0 | 0,04 | 0 | 99 | 45 | TAURISANO | 0 | 0,35 | 0 | 101 | 49 |
| PESCHICI | 0 | 0,13 | 0 | 100 | 50 | TAVIANO | 0 | 0,31 | 0 | 101 | 50 |
| PIETRAMONTECORVINO | 0 | 0,07 | 0 | 101 | 49 | TERLIZZI | 0 | 0,70 | 0 | 100 | 49 |
| POGGIARDO | 0 | 0,13 | 0 | 99 | 45 | TIGGIANO | 0 | 0,08 | 0 | 101 | 49 |
| POGGIO IMPERIALE | 0 | 0,07 | 0 | 101 | 49 | TORCHIAROLO | 0 | 0,13 | 0 | 99 | 45 |
| POGGIORSINI | 0 | 0,03 | 0 | 101 | 49 | TORITTO | 0 | 0,22 | 0 | 100 | 49 |
| POLIGNANO A MARE | 0 | 0,43 | 0 | 100 | 47 | TORRE SANTA SUSANNA | 1 | 0,27 | 374 | 102 | 51 |
| PORTO CESAREO | 2 | 0,18 | 1137 | 101 | 49 | TORREMAGGIORE | 0 | 0,48 | 0 | 101 | 49 |
| PRESICCE-ACQUARICA | 0 | 0,23 | 0 | 99 | 46 | TORRICELLA | 1 | 0,10 | 1018 | 101 | 51 |
| PULSANO | 1 | 0,29 | 346 | 101 | 50 | TREPUZZI | 2 | 1,50 | 133 | 99 | 46 |
| PUTIGNANO | 1 | 0,60 | 166 | 101 | 50 | TRICASE | 0 | 0,35 | 0 | 101 | 50 |
| RACALE | 0 | 0,29 | 0 | 100 | 48 | TRIGGIANO | 1 | 0,42 | 238 | 102 | 52 |
| RIGNANO GARGANICO | 0 | 0,04 | 0 | 99 | 45 | TRIGGIANO | 1 | 0,73 | 137 | 101 | 49 |
| ROCCAFORZATA | 0 | 0,05 | 0 | 100 | 49 | TRINITAPOLI | 2 | 0,46 | 434 | 102 | 53 |
| ROCCHETTA SANT'ANTONIO | 0 | 0,04 | 0 | 101 | 49 | TROIA | 0 | 0,19 | 0 | 100 | 49 |
| RODI GARGANICO | 0 | 0,09 | 0 | 100 | 49 | TUGLIE | 0 | 0,12 | 0 | 99 | 45 |
| ROSETO VALFORTORE | 0 | 0,03 | 0 | 100 | 48 | TURI | 0 | 0,31 | 0 | 100 | 48 |
| RUFFANO | 0 | 0,27 | 0 | 100 | 49 | UGENTO | 1 | 0,29 | 340 | 100 | 47 |
| RUTIGLIANO | 1 | 0,48 | 209 | 101 | 50 | UGGIANO LA CHIESA | 0 | 0,10 | 0 | 99 | 44 |
| RUVO DI PUGLIA | 2 | 0,68 | 295 | 101 | 48 | VALENZANO | 0 | 0,46 | 0 | 100 | 49 |
| SALICE SALENTINO | 0 | 0,19 | 0 | 100 | 49 | VEGLIE | 1 | 0,37 | 267 | 100 | 47 |
| SALVE | 0 | 0,09 | 0 | 100 | 49 | VERNOLE | 0 | 0,15 | 0 | 100 | 46 |
| SAMMICHELE DI BARI | 0 | 0,13 | 0 | 101 | 50 | VICO DEL GARGANO | 0 | 0,21 | 0 | 99 | 45 |
| SAN CASSIANO | 0 | 0,04 | 0 | 100 | 48 | VIESTE | 1 | 0,36 | 276 | 100 | 46 |
| SAN CESARIO DI LECCE | 0 | 0,23 | 0 | 100 | 48 | VILLA CASTELLI | 1 | 0,25 | 394 | 102 | 51 |
| SAN DONACI | 1 | 0,16 | 626 | 102 | 52 | VOLTURARA APPULA | 0 | 0,01 | 0 | 99 | 45 |
| SAN DONATO DI LECCE | 0 | 0,14 | 0 | 100 | 49 | VOLTURINO | 0 | 0,04 | 0 | 99 | 45 |
| SAN FERDINANDO DI PUGLIA | 0 | 0,41 | 0 | 99 | 44 | ZAPPONETA | 0 | 0,11 | 0 | 100 | 48 |
| SAN GIORGIO IONICO | 0 | 0,42 | 0 | 100 | 48 | ZOLLINO | 0 | 0,04 | 0 | 99 | 45 |
| SAN GIOVANNI ROTONDO | 1 | 0,76 | 131 | 101 | 50 | | | | | | |



APPENDICI



Tabella 5.4 Frequenza, tasso grezzo (TG), tasso standardizzato (TSD), errore standard (ES) del TSD, attesi regionali, SIR e intervalli di confidenza (IC 95%)

| Neoplasia | Dati provincia di Foggia | | | | Confronto regionale | | |
|---|--------------------------|--------------|--------------|-------------|---------------------|-------------|--------------------|
| | Casi | TG | TSD (EU13) | ES | Attesi | SIR | IC 95% |
| I - Leucemie | 69 | 58,15 | 58,85 | 7,09 | 70,59 | 0,98 | (0,76-1,24) |
| Ia - Leucemie linfatiche | 53 | 44,66 | 45,20 | 6,21 | 53,25 | 1,00 | (0,75-1,30) |
| Ia.1 - Leucemie a cellule dei precursori | 52 | 43,82 | 44,40 | 6,16 | 52,26 | 1,00 | (0,74-1,3) |
| Ia.2 - Leucemie a cellule B mature | 1 | 0,84 | 0,80 | 0,80 | 0,99 | 1,01 | (0,03-5,62) |
| Ia.3 - Leucemie a cellule T e NK mature | 0 | 0,00 | 0,00 | 0,00 | 0,00 | - | - |
| Ia.4 - Leucemie linfatiche, NAS | 0 | 0,00 | 0,00 | 0,00 | 0,00 | - | - |
| Ib - Leucemie mieloidi acute | 10 | 8,43 | 8,66 | 2,74 | 11,39 | 0,88 | (0,42-1,61) |
| Ic - Malattie mieloproliferative croniche | 4 | 3,37 | 3,34 | 1,67 | 2,49 | 1,61 | (0,44-4,11) |
| Id - Sindromi mielodisplastiche | 2 | 1,69 | 1,66 | 1,18 | 2,64 | 0,76 | (0,09-2,74) |
| Ie - Leucemie, NAS | 0 | 0,00 | 0,00 | 0,00 | 0,83 | 0,00 | - |
| II - Linfomi | 35 | 29,50 | 28,90 | 4,89 | 27,21 | 1,29 | (0,9-1,79) |
| IIa - Linfomi di Hodgkin | 16 | 13,48 | 12,99 | 3,25 | 13,13 | 1,22 | (0,7-1,98) |
| IIb - Linfomi non Hodgkin | 10 | 8,43 | 8,28 | 2,62 | 8,13 | 1,23 | (0,59-2,26) |
| IIb.1 - Linfomi a cellule dei precursori | 2 | 1,69 | 1,72 | 1,22 | 3,15 | 0,64 | (0,08-2,3) |
| IIb.2 - Linfomi a cell. B mature non Burkitt | 5 | 4,21 | 4,14 | 1,85 | 2,49 | 2,01 | (0,65-4,69) |
| IIb.3 - Linfomi a cellule T e NK mature | 3 | 2,53 | 2,41 | 1,39 | 2,16 | 1,39 | (0,29-4,06) |
| IIb.4 - Linfomi non Hodgkin, NAS | 0 | 0,00 | 0,00 | 0,00 | 0,33 | 0,00 | - |
| IIc - Linfoma di Burkitt | 7 | 5,9 | 5,91 | 2,23 | 5,46 | 1,28 | (0,52-2,64) |
| IId - Altri linfomi | 2 | 1,69 | 1,73 | 1,22 | 0,50 | 4,04 | (0,49-14,59) |
| IIE - Linfomi non specificati | 0 | 0,00 | 0,00 | 0,00 | 0,00 | - | - |
| III - Neoplasie del SNC | 59 | 49,72 | 49,88 | 6,50 | 61,99 | 0,95 | (0,72-1,23) |
| IIIa - Ependimomi e tumori plessi corioidi | 5 | 4,21 | 4,17 | 1,87 | 5,28 | 0,95 | (0,31-2,21) |
| IIIa.1 - Ependimomi | 2 | 1,69 | 1,66 | 1,18 | 3,96 | 0,50 | (0,06-1,82) |
| IIIa.2 - Tumori dei plessi corioidi | 3 | 2,53 | 2,51 | 1,45 | 1,31 | 2,28 | (0,47-6,67) |
| IIIb - Astrocitomi | 25 | 21,07 | 21,23 | 4,25 | 20,99 | 1,19 | (0,77-1,76) |
| IIIc - Tumori embrionali del SNC | 5 | 4,21 | 4,19 | 1,87 | 9,10 | 0,55 | (0,18-1,28) |
| IIIc.1 - Medulloblastomi | 4 | 3,37 | 3,32 | 1,66 | 7,29 | 0,55 | (0,15-1,41) |
| IIIc.2 - PNET | 1 | 0,84 | 0,86 | 0,86 | 1,48 | 0,67 | (0,02-3,76) |
| IIIc.3 - Medulloepiteliomi | 0 | 0,00 | 0,00 | 0,00 | 0,00 | - | - |
| IIIc.4 - Tumore teratoide/rabdoide atipico | 0 | 0,00 | 0,00 | 0,00 | 0,33 | 0,00 | - |
| IIId - Altri gliomi | 6 | 5,06 | 5,05 | 2,06 | 4,13 | 1,45 | (0,53-3,16) |
| IIId.1 - Oligodendrogliomi | 1 | 0,84 | 0,86 | 0,86 | 0,33 | 3,02 | (0,08-16,8) |
| IIId.2 - Gliomi misti e non specificati | 4 | 3,37 | 3,38 | 1,69 | 3,47 | 1,15 | (0,31-2,95) |
| IIId.3 - Tumori gliali di origine incerta | 1 | 0,84 | 0,80 | 0,80 | 0,33 | 3,00 | (0,08-16,74) |
| IIIE - Altre neoplasie del SNC specificate | 8 | 6,74 | 6,70 | 2,37 | 10,10 | 0,79 | (0,34-1,56) |
| IIIE.1 - Adenomi e carcinomi pituitari | 1 | 0,84 | 0,80 | 0,80 | 0,67 | 1,50 | (0,04-8,37) |
| IIIE.2 - Craniofaringiomi | 2 | 1,69 | 1,67 | 1,18 | 1,33 | 1,51 | (0,18-5,45) |
| IIIE.3 - Tumori pineali parenchimali | 0 | 0,00 | 0,00 | 0,00 | 0,17 | 0,00 | - |
| IIIE.4 - Tumori neurali e misti | 5 | 4,21 | 4,23 | 1,89 | 5,79 | 0,86 | (0,28-2,01) |
| IIIE.5 - Meningiomi | 0 | 0,00 | 0,00 | 0,00 | 2,15 | 0,00 | - |
| IIIf - Neoplasie del SNC non specificate | 10 | 8,43 | 8,55 | 2,70 | 12,38 | 0,81 | (0,39-1,48) |
| Neoplasie del SNC maligne | 20 | 16,85 | 16,93 | 3,79 | 25,63 | 0,78 | (0,48-1,21) |
| IV - Tumori dei nervi periferici | 15 | 12,64 | 13,15 | 3,40 | 17,03 | 0,88 | (0,49-1,45) |
| IVa - Neuroblastoma, ganglioneuroblastoma | 15 | 12,64 | 13,15 | 3,40 | 17,03 | 0,88 | (0,49-1,45) |
| IVb - Altri tumori dei nervi periferici | 0 | 0,00 | 0,00 | 0,00 | 0,00 | - | - |
| V - Retinoblastoma | 5 | 4,21 | 4,37 | 1,95 | 6,06 | 0,83 | (0,27-1,93) |
| VI - Tumori renali | 7 | 5,90 | 6,09 | 2,30 | 10,85 | 0,64 | (0,26-1,33) |
| Vla - Nefroblastoma e t. renali non epiteliali | 6 | 5,06 | 5,20 | 2,12 | 10,19 | 0,59 | (0,22-1,28) |
| Vla.1 - Nefroblastoma | 6 | 5,06 | 5,20 | 2,12 | 9,87 | 0,61 | (0,22-1,32) |
| Vla.2 - Tumore renale rabdoide | 0 | 0,00 | 0,00 | 0,00 | 0,16 | 0,00 | - |
| Vla.3 - Sarcoma renale | 0 | 0,00 | 0,00 | 0,00 | 0,16 | 0,00 | - |
| Vla.4 - pPNET renale | 0 | 0,00 | 0,00 | 0,00 | 0,00 | - | - |
| Vlb - Carcinomi renali | 0 | 0,00 | 0,00 | 0,00 | 0,17 | 0,00 | - |
| Vlc - Tumori maligni renali non specificati | 1 | 0,84 | 0,90 | 0,90 | 0,50 | 2,02 | (0,05-11,24) |
| VII - Tumori epatici | 1 | 0,84 | 0,86 | 0,86 | 1,97 | 0,51 | (0,01-2,82) |
| VIIa - Epatoblastoma | 1 | 0,84 | 0,86 | 0,86 | 1,15 | 0,87 | (0,02-4,86) |
| VIIb - Carcinomi epatici | 0 | 0,00 | 0,00 | 0,00 | 0,50 | 0,00 | - |
| VIIc - Tumori maligni epatici non specificati | 0 | 0,00 | 0,00 | 0,00 | 0,33 | 0,00 | - |
| VIII - Tumori maligni dell'osso | 10 | 8,43 | 8,32 | 2,63 | 10,46 | 0,96 | (0,46-1,76) |
| VIIIa - Osteosarcomi | 6 | 5,06 | 4,95 | 2,02 | 4,65 | 1,29 | (0,47-2,81) |
| VIIIb - Condrosarcomi | 0 | 0,00 | 0,00 | 0,00 | 0,17 | 0,00 | - |
| VIIIc - Tumore di Ewing e altri sarcomi | 4 | 3,37 | 3,37 | 1,69 | 5,31 | 0,75 | (0,21-1,93) |
| VIIIc.1 - Tumore di Ewing e tumore di Askin ossei | 3 | 2,53 | 2,57 | 1,48 | 4,98 | 0,60 | (0,12-1,76) |
| VIIIc.2 - pPNET dell'osso | 1 | 0,84 | 0,80 | 0,80 | 0,33 | 3,01 | (0,08-16,77) |
| VIIIc.3 - Altri tumori dell'osso specificati | 0 | 0,00 | 0,00 | 0,00 | 0,33 | 0,00 | - |
| VIIIc.4 - Neoplasie fibrose maligne dell'osso | 0 | 0,00 | 0,00 | 0,00 | 0,00 | - | - |
| VIIIc.5 - Cordomi maligni | 0 | 0,00 | 0,00 | 0,00 | 0,00 | - | - |
| VIIIc.6 - Tumori maligni odontogeni | 0 | 0,00 | 0,00 | 0,00 | 0,00 | - | - |
| VIIIc.7 - Tumori ossei miscellanei | 0 | 0,00 | 0,00 | 0,00 | 0,33 | 0,00 | - |
| VIIIc.8 - Tumori dell'osso non specificati | 0 | 0,00 | 0,00 | 0,00 | 0,00 | - | - |

(...continua)

(...continua)

| Neoplasia | Dati provincia di Foggia | | | | Confronto regionale | | |
|---|--------------------------|---------------|---------------|--------------|---------------------|-------------|--------------------|
| | Casi | TG | TSD (EU13) | ES | Attesi | SIR | IC 95% |
| IX - Sarcomi dei tessuti molli | 10 | 8,43 | 8,59 | 2,72 | 12,56 | 0,80 | (0,38-1,46) |
| IXa - Rabbdomiosarcomi | 7 | 5,90 | 6,06 | 2,29 | 7,75 | 0,90 | (0,36-1,86) |
| IXb - Neoplasie fibromatose | 0 | 0,00 | 0,00 | 0,00 | 1,32 | 0,00 | – |
| IXb.1 - Tumori fibroblastici, miofibroblastici | 0 | 0,00 | 0,00 | 0,00 | 0,66 | 0,00 | – |
| IXb.2 - Tumori dei nervi periferici | 0 | 0,00 | 0,00 | 0,00 | 0,66 | 0,00 | – |
| IXb.3 - Altre neoplasie fibromatose | 0 | 0,00 | 0,00 | 0,00 | 0,00 | – | – |
| IXc - Sarcoma di Kaposi | 0 | 0,00 | 0,00 | 0,00 | 0,00 | – | – |
| IXd - Altri sarcomi dei tessuti molli specificati | 3 | 2,53 | 2,53 | 1,46 | 2,65 | 1,13 | (0,23-3,3) |
| IXd.1 - Tumore di Ewing e di Askin | 0 | 0,00 | 0,00 | 0,00 | 0,33 | 0,00 | – |
| IXd.2 - pPNET dei tessuti molli | 0 | 0,00 | 0,00 | 0,00 | 0,33 | 0,00 | – |
| IXd.3 - Tumore rabdoide extra-renale | 0 | 0,00 | 0,00 | 0,00 | 0,00 | – | – |
| IXd.4 - Liposarcomi | 0 | 0,00 | 0,00 | 0,00 | 0,00 | – | – |
| IXd.5 - Tumori fibroistiocitici | 0 | 0,00 | 0,00 | 0,00 | 0,33 | 0,00 | – |
| IXd.6 - Leiomiomasarcomi | 0 | 0,00 | 0,00 | 0,00 | 0,17 | 0,00 | – |
| IXd.7 - Sarcomi sinoviali | 3 | 2,53 | 2,53 | 1,46 | 0,83 | 3,61 | (0,74-10,55) |
| IXd.8 - Tumori dei vasi sanguigni | 0 | 0,00 | 0,00 | 0,00 | 0,00 | – | – |
| IXd.9 - Neoplasie condromatose e ossee | 0 | 0,00 | 0,00 | 0,00 | 0,00 | – | – |
| IXd.10 - Sarcoma alveolare | 0 | 0,00 | 0,00 | 0,00 | 0,17 | 0,00 | – |
| IXd.11 - Altri sarcomi (miscellanea) | 0 | 0,00 | 0,00 | 0,00 | 0,50 | 0,00 | – |
| IXe - Sarcomi dei tessuti molli non specificati | 0 | 0,00 | 0,00 | 0,00 | 0,83 | 0,00 | – |
| X - Tumori germinali, trofoblastici e gonadici | 5 | 4,21 | 4,32 | 1,94 | 6,93 | 0,72 | (0,23-1,68) |
| Xa - Tumori germinali del SNC | 2 | 1,69 | 1,67 | 1,18 | 1,83 | 1,10 | (0,13-3,96) |
| Xa.1 - Germinomi del SNC | 0 | 0,00 | 0,00 | 0,00 | 0,67 | 0,00 | – |
| Xa.2 - Teratomi del SNC | 0 | 0,00 | 0,00 | 0,00 | 0,33 | 0,00 | – |
| Xa.3 - Carcinomi embrionali del SNC | 0 | 0,00 | 0,00 | 0,00 | 0,00 | – | – |
| Xa.4 - Tumori del sacco vitellino del SNC | 0 | 0,00 | 0,00 | 0,00 | 0,00 | – | – |
| Xa.5 - Coriocarcinoma del SNC | 0 | 0,00 | 0,00 | 0,00 | 0,00 | – | – |
| Xa.6 - Tumore misto del SNC | 2 | 1,69 | 1,67 | 1,18 | 0,83 | 2,41 | (0,29-8,70) |
| Xb - Tumori germinali extra-cranici ed extra-gonadici | 2 | 1,69 | 1,80 | 1,27 | 2,29 | 0,87 | (0,11-3,15) |
| Xb.1 - Altri germinomi maligni | 0 | 0,00 | 0,00 | 0,00 | 0,17 | 0,00 | – |
| Xb.2 - Altri teratomi maligni | 2 | 1,69 | 1,80 | 1,27 | 1,80 | 1,11 | (0,13-4,02) |
| Xb.3 - Altri carcinomi embrionali | 0 | 0,00 | 0,00 | 0,00 | 0,00 | – | – |
| Xb.4 - Altri tumori del sacco vitellino | 0 | 0,00 | 0,00 | 0,00 | 0,33 | 0,00 | – |
| Xb.5 - Altri coriocarcinomi | 0 | 0,00 | 0,00 | 0,00 | 0,00 | – | – |
| Xb.6 - Altri tumori germinali | 0 | 0,00 | 0,00 | 0,00 | 0,00 | – | – |
| Xc - Tumori germinali gonadici | 1 | 0,84 | 0,86 | 0,86 | 2,81 | 0,36 | (0,01-1,98) |
| Xc.1 - Germinoma gonadico | 0 | 0,00 | 0,00 | 0,00 | 0,33 | 0,00 | – |
| Xc.2 - Teratoma gonadico | 0 | 0,00 | 0,00 | 0,00 | 1,16 | 0,00 | – |
| Xc.3 - Carcinoma embrionale gonadico | 0 | 0,00 | 0,00 | 0,00 | 0,00 | – | – |
| Xc.4 - Tumore del sacco vitellino gonadico | 1 | 0,84 | 0,86 | 0,86 | 1,15 | 0,87 | (0,02-4,84) |
| Xc.5 - Coriocarcinoma gonadico | 0 | 0,00 | 0,00 | 0,00 | 0,17 | 0,00 | – |
| Xc.6 - Tumori misti gonadici | 0 | 0,00 | 0,00 | 0,00 | 0,00 | – | – |
| Xc.7 - Gonadoblastoma maligno gonadico | 0 | 0,00 | 0,00 | 0,00 | 0,00 | – | – |
| Xd - Tumori gonadici non germinali | 0 | 0,00 | 0,00 | 0,00 | 0,00 | – | – |
| Xe - Tumori gonadici, NAS | 0 | 0,00 | 0,00 | 0,00 | 0,00 | – | – |
| XI - Altre neoplasie epiteliali e melanomi | 7 | 5,90 | 5,75 | 2,17 | 11,47 | 0,61 | (0,25-1,26) |
| XIa - Carcinomi cortico-surrenali | 0 | 0,00 | 0,00 | 0,00 | 0,00 | – | – |
| XIb - Carcinomi tiroidei | 2 | 1,69 | 1,61 | 1,14 | 5,16 | 0,39 | (0,05-1,40) |
| XIc - Carcinomi nasofaringei | 0 | 0,00 | 0,00 | 0,00 | 0,50 | 0,00 | – |
| XId - Melanomi maligni | 1 | 0,84 | 0,86 | 0,86 | 1,83 | 0,55 | (0,01-3,05) |
| XIe - Carcinomi cutanei | 2 | 1,69 | 1,61 | 1,14 | 1,16 | 1,72 | (0,21-6,20) |
| XIf - Altri e non specificati carcinomi | 2 | 1,69 | 1,67 | 1,18 | 2,83 | 0,71 | (0,09-2,56) |
| XIf.1 - Carcinomi delle ghiandole salivari | 0 | 0,00 | 0,00 | 0,00 | 0,5 | 0,00 | – |
| XIf.2 - Carcinomi del colon retto | 0 | 0,00 | 0,00 | 0,00 | 0,33 | 0,00 | – |
| XIf.3 - Carcinomi dell'appendice | 2 | 1,69 | 1,67 | 1,18 | 1,16 | 1,72 | (0,21-6,21) |
| XIf.4 - Carcinomi del polmone | 0 | 0,00 | 0,00 | 0,00 | 0,00 | – | – |
| XIf.5 - Carcinomi del timo | 0 | 0,00 | 0,00 | 0,00 | 0,00 | – | – |
| XIf.6 - Carcinomi della mammella | 0 | 0,00 | 0,00 | 0,00 | 0,00 | – | – |
| XIf.7 - Carcinomi del collo dell'utero | 0 | 0,00 | 0,00 | 0,00 | 0,00 | – | – |
| XIf.8 - Carcinomi della vescica | 0 | 0,00 | 0,00 | 0,00 | 0,00 | – | – |
| XIf.9 - Carcinomi dell'occhio | 0 | 0,00 | 0,00 | 0,00 | 0,17 | 0,00 | – |
| XIf.10 - Carcinomi di altre sedi specificate | 0 | 0,00 | 0,00 | 0,00 | 0,67 | 0,00 | – |
| XIf.11 - Carcinomi di sede non specificata | 0 | 0,00 | 0,00 | 0,00 | 0,00 | – | – |
| XII - Altri e non specificati tumori | 1 | 0,84 | 0,80 | 0,80 | 0,83 | 1,21 | (0,03-6,75) |
| XIIa - Altri tumori maligni specificati | 1 | 0,84 | 0,80 | 0,80 | 0,50 | 2,02 | (0,05-11,24) |
| XIIa.1 - Tumori stromali gastrointestinali | 1 | 0,84 | 0,80 | 0,80 | 0,17 | 6,01 | (0,15-33,48) |
| XIIa.2 - Pancreatoblastoma | 0 | 0,00 | 0,00 | 0,00 | 0,33 | 0,00 | – |
| XIIa.3 - Blastoma polmonare | 0 | 0,00 | 0,00 | 0,00 | 0,00 | – | – |
| XIIa.4 - Altre neop. complesse miste stromali | 0 | 0,00 | 0,00 | 0,00 | 0,00 | – | – |
| XIIa.5 - Mesotelioma | 0 | 0,00 | 0,00 | 0,00 | 0,00 | – | – |
| XIIa.6 - Altri tumori specificati (miscellanea) | 0 | 0,00 | 0,00 | 0,00 | 0,00 | – | – |
| XIIb - Altri tumori maligni non specificati | 0 | 0,00 | 0,00 | 0,00 | 0,33 | 0,00 | – |
| Tutti i tumori | 224 | 188,77 | 189,90 | 12,70 | 237,96 | 0,94 | (0,82-1,07) |
| Tutti i tumori maligni | 185 | 155,9 | 156,95 | 11,55 | 201,61 | 0,92 | (0,79-1,06) |

Tabella 5.4 Frequenza, tasso grezzo (TG), tasso standardizzato (TSD), errore standard (ES) del TSD, attesi regionali, SIR e intervalli di confidenza (IC 95%)

MASCHI+FEMMINE

| Neoplasia | Dati provincia di Barletta-Andria-Trani | | | | Confronto regionale | | |
|--|---|--------------|--------------|-------------|---------------------|-------------|--------------------|
| | Casi | TG | TSD (EU13) | ES | Attesi | SIR | IC 95% |
| I - Leucemie | 48 | 62,44 | 63,05 | 9,10 | 45,74 | 1,05 | (0,77-1,39) |
| Ia - Leucemie linfatiche | 36 | 46,83 | 47,49 | 7,92 | 34,52 | 1,04 | (0,73-1,44) |
| Ia.1 - Leucemie a cellule dei precursori | 36 | 46,83 | 47,49 | 7,92 | 33,88 | 1,06 | (0,74-1,47) |
| Ia.2 - Leucemie a cellule B mature | 0 | 0,00 | 0,00 | 0,00 | 0,64 | 0,00 | - |
| Ia.3 - Leucemie a cellule T e NK mature | 0 | 0,00 | 0,00 | 0,00 | 0,00 | - | - |
| Ia.4 - Leucemie linfatiche, NAS | 0 | 0,00 | 0,00 | 0,00 | 0,00 | - | - |
| Ib - Leucemie mieloidi acute | 9 | 11,71 | 11,60 | 3,87 | 7,36 | 1,22 | (0,56-2,32) |
| Ic - Malattie mieloproliferative croniche | 0 | 0,00 | 0,00 | 0,00 | 1,61 | 0,00 | - |
| Id - Sindromi mielodisplastiche | 3 | 3,90 | 3,97 | 2,29 | 1,71 | 1,76 | (0,36-5,14) |
| Ie - Leucemie, NAS | 0 | 0,00 | 0,00 | 0,00 | 0,54 | 0,00 | - |
| II - Linfomi | 14 | 18,21 | 17,99 | 4,81 | 17,62 | 0,79 | (0,43-1,33) |
| IIa - Linfomi di Hodgkin | 7 | 9,11 | 9,04 | 3,42 | 8,50 | 0,82 | (0,33-1,70) |
| IIb - Linfomi non Hodgkin | 4 | 5,20 | 5,06 | 2,53 | 5,26 | 0,76 | (0,21-1,95) |
| IIb.1 - Linfomi a cellule dei precursori | 3 | 3,90 | 3,82 | 2,20 | 2,04 | 1,47 | (0,30-4,30) |
| IIb.2 - Linfomi a cell. B mature non Burkitt | 1 | 1,30 | 1,25 | 1,25 | 1,61 | 0,62 | (0,02-3,46) |
| IIb.3 - Linfomi a cellule T e NK mature | 0 | 0,00 | 0,00 | 0,00 | 1,40 | 0,00 | - |
| IIb.4 - Linfomi non Hodgkin, NAS | 0 | 0,00 | 0,00 | 0,00 | 0,22 | 0,00 | - |
| IIc - Linfoma di Burkitt | 3 | 3,90 | 3,89 | 2,25 | 3,54 | 0,85 | (0,17-2,48) |
| IId - Altri linfomi | 0 | 0,00 | 0,00 | 0,00 | 0,32 | 0,00 | - |
| IIe - Linfomi non specificati | 0 | 0,00 | 0,00 | 0,00 | 0,00 | - | - |
| III - Neoplasie del SNC | 42 | 54,64 | 54,83 | 8,46 | 40,17 | 1,05 | (0,75-1,41) |
| IIIa - Ependimomi e tumori plessi corioidei | 8 | 10,41 | 10,44 | 3,70 | 3,41 | 2,34 | (1,01-4,62) |
| IIIa.1 - Ependimomi | 6 | 7,81 | 7,71 | 3,15 | 2,57 | 2,34 | (0,86-5,09) |
| IIIa.2 - Tumori dei plessi corioidei | 2 | 2,60 | 2,73 | 1,93 | 0,84 | 2,37 | (0,29-8,56) |
| IIIb - Astrocitomi | 15 | 19,51 | 19,62 | 5,07 | 13,61 | 1,10 | (0,62-1,82) |
| IIIc - Tumori embrionali del SNC | 8 | 10,41 | 10,44 | 3,69 | 5,90 | 1,36 | (0,59-2,67) |
| IIIc.1 - Medulloblastomi | 8 | 10,41 | 10,44 | 3,69 | 4,73 | 1,69 | (0,73-3,33) |
| IIIc.2 - PNET | 0 | 0,00 | 0,00 | 0,00 | 0,96 | 0,00 | - |
| IIIc.3 - Medulloepiteliomi | 0 | 0,00 | 0,00 | 0,00 | 0,00 | - | - |
| IIIc.4 - Tumore teratoide/rabdoide atipico | 0 | 0,00 | 0,00 | 0,00 | 0,21 | 0,00 | - |
| IIId - Altri gliomi | 0 | 0,00 | 0,00 | 0,00 | 2,68 | 0,00 | - |
| IIId.1 - Oligodendrogliomi | 0 | 0,00 | 0,00 | 0,00 | 0,22 | 0,00 | - |
| IIId.2 - Gliomi misti e non specificati | 0 | 0,00 | 0,00 | 0,00 | 2,25 | 0,00 | - |
| IIId.3 - Tumori gliali di origine incerta | 0 | 0,00 | 0,00 | 0,00 | 0,21 | 0,00 | - |
| IIIe - Altre neoplasie del SNC specificate | 4 | 5,20 | 5,22 | 2,61 | 6,54 | 0,61 | (0,17-1,57) |
| IIIe.1 - Adenomi e carcinomi pituitari | 0 | 0,00 | 0,00 | 0,00 | 0,43 | 0,00 | - |
| IIIe.2 - Craniofaringiomi | 0 | 0,00 | 0,00 | 0,00 | 0,86 | 0,00 | - |
| IIIe.3 - Tumori pineali parenchimali | 1 | 1,30 | 1,32 | 1,32 | 0,11 | 9,25 | (0,23-51,53) |
| IIIe.4 - Tumori neuronal e misti | 3 | 3,90 | 3,90 | 2,25 | 3,75 | 0,80 | (0,17-2,34) |
| IIIe.5 - Meningiomi | 0 | 0,00 | 0,00 | 0,00 | 1,39 | 0,00 | - |
| IIIf - Neoplasie del SNC non specificate | 7 | 9,11 | 9,11 | 3,44 | 8,03 | 0,87 | (0,35-1,80) |
| Neoplasie del SNC maligne | 17 | 22,11 | 22,12 | 5,37 | 16,62 | 1,02 | (0,60-1,64) |
| IV - Tumori dei nervi periferici | 13 | 16,91 | 17,98 | 4,99 | 10,96 | 1,19 | (0,63-2,03) |
| IVa - Neuroblastoma, ganglioneuroblastoma | 13 | 16,91 | 17,98 | 4,99 | 10,96 | 1,19 | (0,63-2,03) |
| IVb - Altri tumori dei nervi periferici | 0 | 0,00 | 0,00 | 0,00 | 0,00 | - | - |
| V - Retinoblastoma | 3 | 3,90 | 4,14 | 2,39 | 3,90 | 0,77 | (0,16-2,25) |
| VI - Tumori renali | 9 | 11,71 | 11,91 | 3,97 | 7,03 | 1,28 | (0,59-2,43) |
| VIa - Nefroblastoma e t. renali non epiteliali | 9 | 11,71 | 11,91 | 3,97 | 6,60 | 1,36 | (0,62-2,59) |
| VIa.1 - Nefroblastoma | 9 | 11,71 | 11,91 | 3,97 | 6,39 | 1,41 | (0,64-2,68) |
| VIa.2 - Tumore renale rabdoide | 0 | 0,00 | 0,00 | 0,00 | 0,11 | 0,00 | - |
| VIa.3 - Sarcoma renale | 0 | 0,00 | 0,00 | 0,00 | 0,11 | 0,00 | - |
| VIa.4 - pPNET renale | 0 | 0,00 | 0,00 | 0,00 | 0,00 | - | - |
| VIb - Carcinomi renali | 0 | 0,00 | 0,00 | 0,00 | 0,11 | 0,00 | - |
| VIc - Tumori maligni renali non specificati | 0 | 0,00 | 0,00 | 0,00 | 0,32 | 0,00 | - |
| VII - Tumori epatici | 1 | 1,30 | 1,41 | 1,41 | 1,27 | 0,79 | (0,02-4,38) |
| VIIa - Epatoblastoma | 1 | 1,30 | 1,41 | 1,41 | 0,74 | 1,36 | (0,03-7,56) |
| VIIb - Carcinomi epatici | 0 | 0,00 | 0,00 | 0,00 | 0,32 | 0,00 | - |
| VIIc - Tumori maligni epatici non specificati | 0 | 0,00 | 0,00 | 0,00 | 0,21 | 0,00 | - |
| VIII - Tumori maligni dell'osso | 6 | 7,81 | 7,64 | 3,12 | 6,77 | 0,89 | (0,33-1,93) |
| VIIIa - Osteosarcomi | 3 | 3,90 | 3,90 | 2,25 | 3,01 | 1,00 | (0,21-2,91) |
| VIIIb - Condrosarcomi | 0 | 0,00 | 0,00 | 0,00 | 0,11 | 0,00 | - |
| VIIIc - Tumore di Ewing e altri sarcomi | 3 | 3,90 | 3,74 | 2,16 | 3,44 | 0,87 | (0,18-2,55) |
| VIIIc.1 - Tumore di Ewing e t. di Askin ossei | 3 | 3,90 | 3,74 | 2,16 | 3,22 | 0,93 | (0,19-2,72) |
| VIIIc.2 - pPNET dell'osso | 0 | 0,00 | 0,00 | 0,00 | 0,22 | 0,00 | - |
| IIId - Altri tumori dell'osso specificati | 0 | 0,00 | 0,00 | 0,00 | 0,21 | 0,00 | - |
| IIId.1 - Neoplasie fibrose maligne dell'osso | 0 | 0,00 | 0,00 | 0,00 | 0,00 | - | - |
| IIId.2 - Cordomi maligni | 0 | 0,00 | 0,00 | 0,00 | 0,00 | - | - |
| IIId.3 - Tumori maligni odontogeni | 0 | 0,00 | 0,00 | 0,00 | 0,00 | - | - |
| IIId.4 - Tumori ossei miscellanei | 0 | 0,00 | 0,00 | 0,00 | 0,21 | 0,00 | - |
| IIIf - Tumori dell'osso non specificati | 0 | 0,00 | 0,00 | 0,00 | 0,00 | - | - |

(...continua)

Tabella 5.5 Frequenza, tasso grezzo (TG), tasso standardizzato (TSD), errore standard (ES) del TSD, attesi regionali, SIR e intervalli di confidenza (IC 95%)

(...continua)

| Neoplasia | Dati provincia di Barletta-Andria-Trani | | | | Confronto regionale | | |
|---|---|---------------|---------------|--------------|---------------------|-------------|---------------------|
| | Casi | TG | TSD (EU13) | ES | Attesi | SIR | IC 95% |
| IX - Sarcomi dei tessuti molli | 8 | 10,41 | 10,50 | 3,71 | 8,13 | 0,98 | (0,42-1,94) |
| IXa - Rabbdomiosarcomi | 7 | 9,11 | 9,18 | 3,47 | 5,03 | 1,39 | (0,56-2,87) |
| IXb - Neoplasie fibromatose | 1 | 1,30 | 1,32 | 1,32 | 0,86 | 1,17 | (0,03-6,50) |
| IXb.1 - Tumori fibroblastici, miofibroblastici | 0 | 0,00 | 0,00 | 0,00 | 0,43 | 0,00 | - |
| IXb.2 - Tumori dei nervi periferici | 1 | 1,30 | 1,32 | 1,32 | 0,43 | 2,33 | (0,06-12,97) |
| IXb.3 - Altre neoplasie fibromatose | 0 | 0,00 | 0,00 | 0,00 | 0,00 | - | - |
| IXc - Sarcoma di Kaposi | 0 | 0,00 | 0,00 | 0,00 | 0,00 | - | - |
| IXd - Altri sarcomi dei tessuti molli specificati | 0 | 0,00 | 0,00 | 0,00 | 1,71 | 0,00 | - |
| IXd.1 - Tumore di Ewing e di Askin | 0 | 0,00 | 0,00 | 0,00 | 0,22 | 0,00 | - |
| IXd.2 - pPNET dei tessuti molli | 0 | 0,00 | 0,00 | 0,00 | 0,21 | 0,00 | - |
| IXd.3 - Tumore rabdoide extra-renale | 0 | 0,00 | 0,00 | 0,00 | 0,00 | - | - |
| IXd.4 - Liposarcomi | 0 | 0,00 | 0,00 | 0,00 | 0,00 | - | - |
| IXd.5 - Tumori fibroistiocitici | 0 | 0,00 | 0,00 | 0,00 | 0,21 | 0,00 | - |
| IXd.6 - Leiomiomasarcomi | 0 | 0,00 | 0,00 | 0,00 | 0,11 | 0,00 | - |
| IXd.7 - Sarcomi sinoviali | 0 | 0,00 | 0,00 | 0,00 | 0,54 | 0,00 | - |
| IXd.8 - Tumori dei vasi sanguigni | 0 | 0,00 | 0,00 | 0,00 | 0,00 | - | - |
| IXd.9 - Neoplasie condromatose e ossee | 0 | 0,00 | 0,00 | 0,00 | 0,00 | - | - |
| IXd.10 - Sarcoma alveolare | 0 | 0,00 | 0,00 | 0,00 | 0,11 | 0,00 | - |
| IXd.11 - Altri sarcomi (miscellanea) | 0 | 0,00 | 0,00 | 0,00 | 0,32 | 0,00 | - |
| IXe - Sarcomi dei tessuti molli non specificati | 0 | 0,00 | 0,00 | 0,00 | 0,54 | 0,00 | - |
| X - Tumori germinali, trofoblastici e gonadici | 6 | 7,81 | 8,05 | 3,29 | 4,47 | 1,34 | (0,49-2,92) |
| Xa - Tumori germinali del SNC | 1 | 1,30 | 1,25 | 1,25 | 1,18 | 0,85 | (0,02-4,72) |
| Xa.1 - Germinomi del SNC | 1 | 1,30 | 1,25 | 1,25 | 0,43 | 2,32 | (0,06-12,95) |
| Xa.2 - Teratomi del SNC | 0 | 0,00 | 0,00 | 0,00 | 0,21 | 0,00 | - |
| Xa.3 - Carcinomi embrionali del SNC | 0 | 0,00 | 0,00 | 0,00 | 0,00 | - | - |
| Xa.4 - Tumori del sacco vitellino del SNC | 0 | 0,00 | 0,00 | 0,00 | 0,00 | - | - |
| Xa.5 - Coriocarcinoma del SNC | 0 | 0,00 | 0,00 | 0,00 | 0,00 | - | - |
| Xa.6 - Tumore misto del SNC | 0 | 0,00 | 0,00 | 0,00 | 0,54 | 0,00 | - |
| Xb - Tumori germinali extra-cranici ed extra-gonadici | 4 | 5,20 | 5,55 | 2,78 | 1,47 | 2,72 | (0,74-6,98) |
| Xb.1 - Altri germinomi maligni | 0 | 0,00 | 0,00 | 0,00 | 0,11 | 0,00 | - |
| Xb.2 - Altri teratomi maligni | 3 | 3,90 | 4,23 | 2,44 | 1,15 | 2,61 | (0,54-7,63) |
| Xb.3 - Altri carcinomi embrionali | 0 | 0,00 | 0,00 | 0,00 | 0,00 | - | - |
| Xb.4 - Altri tumori del sacco vitellino | 1 | 1,30 | 1,32 | 1,32 | 0,21 | 4,71 | (0,12-26,26) |
| Xb.5 - Altri coriocarcinomi | 0 | 0,00 | 0,00 | 0,00 | 0,00 | - | - |
| Xb.6 - Altri tumori germinali | 0 | 0,00 | 0,00 | 0,00 | 0,00 | - | - |
| Xc - Tumori germinali gonadici | 1 | 1,30 | 1,25 | 1,25 | 1,82 | 0,55 | (0,01-3,07) |
| Xc.1 - Germinoma gonadico | 0 | 0,00 | 0,00 | 0,00 | 0,21 | 0,00 | - |
| Xc.2 - Teratoma gonadico | 0 | 0,00 | 0,00 | 0,00 | 0,75 | 0,00 | - |
| Xc.3 - Carcinoma embrionale gonadico | 0 | 0,00 | 0,00 | 0,00 | 0,00 | - | - |
| Xc.4 - Tumore del sacco vitellino gonadico | 1 | 1,30 | 1,25 | 1,25 | 0,74 | 1,35 | (0,03-7,51) |
| Xc.5 - Coriocarcinoma gonadico | 0 | 0,00 | 0,00 | 0,00 | 0,11 | 0,00 | - |
| Xc.6 - Tumori misti gonadici | 0 | 0,00 | 0,00 | 0,00 | 0,00 | - | - |
| Xc.7 - Gonadoblastoma maligno gonadico | 0 | 0,00 | 0,00 | 0,00 | 0,00 | - | - |
| Xd - Tumori gonadici non germinali | 0 | 0,00 | 0,00 | 0,00 | 0,00 | - | - |
| Xe - Tumori gonadici, NAS | 0 | 0,00 | 0,00 | 0,00 | 0,00 | - | - |
| XI - Altre neoplasie epiteliali e melanomi | 12 | 15,61 | 14,97 | 4,32 | 7,41 | 1,62 | (0,84-2,83) |
| XIa - Carcinomi cortico-surrenali | 0 | 0,00 | 0,00 | 0,00 | 0,00 | - | - |
| XIb - Carcinomi tiroidei | 7 | 9,11 | 8,73 | 3,30 | 3,33 | 2,10 | (0,85-4,33) |
| XIc - Carcinomi nasofaringei | 0 | 0,00 | 0,00 | 0,00 | 0,32 | 0,00 | - |
| XId - Melanomi maligni | 0 | 0,00 | 0,00 | 0,00 | 1,18 | 0,00 | - |
| XIe - Carcinomi cutanei | 1 | 1,30 | 1,25 | 1,25 | 0,75 | 1,33 | (0,03-7,41) |
| XIf - Altri e non specificati carcinomi | 4 | 5,20 | 4,99 | 2,49 | 1,83 | 2,19 | (0,60-5,60) |
| XIf.1 - Carcinomi delle ghiandole salivari | 2 | 2,60 | 2,49 | 1,76 | 0,32 | 6,21 | (0,75-22,43) |
| XIf.2 - Carcinomi del colon retto | 2 | 2,60 | 2,49 | 1,76 | 0,21 | 9,31 | (1,13-33,64) |
| XIf.3 - Carcinomi dell'appendice | 0 | 0,00 | 0,00 | 0,00 | 0,75 | 0,00 | - |
| XIf.4 - Carcinomi del polmone | 0 | 0,00 | 0,00 | 0,00 | 0,00 | - | - |
| XIf.5 - Carcinomi del timo | 0 | 0,00 | 0,00 | 0,00 | 0,00 | - | - |
| XIf.6 - Carcinomi della mammella | 0 | 0,00 | 0,00 | 0,00 | 0,00 | - | - |
| XIf.7 - Carcinomi del collo dell'utero | 0 | 0,00 | 0,00 | 0,00 | 0,00 | - | - |
| XIf.8 - Carcinomi della vescica | 0 | 0,00 | 0,00 | 0,00 | 0,00 | - | - |
| XIf.9 - Carcinomi dell'occhio | 0 | 0,00 | 0,00 | 0,00 | 0,11 | 0,00 | - |
| XIf.10 - Carcinomi di altre sedi specificate | 0 | 0,00 | 0,00 | 0,00 | 0,43 | 0,00 | - |
| XIf.11 - Carcinomi di sede non specificata | 0 | 0,00 | 0,00 | 0,00 | 0,00 | - | - |
| XII - Altri e non specificati tumori | 1 | 1,30 | 1,32 | 1,32 | 0,53 | 1,88 | (0,05-10,48) |
| XIIa - Altri tumori maligni specificati | 1 | 1,30 | 1,32 | 1,32 | 0,32 | 3,13 | (0,08-17,42) |
| XIIa.1 - Tumori stromali gastrointestinali | 0 | 0,00 | 0,00 | 0,00 | 0,11 | 0,00 | - |
| XIIa.2 - Pancreatoblastoma | 1 | 1,30 | 1,32 | 1,32 | 0,21 | 4,71 | (0,12-26,23) |
| XIIa.3 - Blastoma polmonare | 0,00 | 0,00 | 0,00 | 0,00 | 0,00 | - | - |
| XIIa.4 - Altre neop. complesse miste stromali | 0,00 | 0,00 | 0,00 | 0,00 | 0,00 | - | - |
| XIIa.5 - Mesotelioma | 0,00 | 0,00 | 0,00 | 0,00 | 0,00 | - | - |
| XIIa.6 - Altri tumori specificati (miscellanea) | 0,00 | 0,00 | 0,00 | 0,00 | 0,00 | - | - |
| XIIb - Altri tumori maligni non specificati | 0,00 | 0,00 | 0,00 | 0,00 | 0,21 | 0,00 | - |
| Tutti i tumori | 163 | 212,04 | 213,81 | 16,76 | 154,01 | 1,06 | (0,90-1,23) |
| Tutti i tumori maligni | 138 | 179,52 | 181,10 | 15,43 | 130,46 | 1,06 | (0,89-1,25) |

Tabella 5.5 Frequenza, tasso grezzo (TG), tasso standardizzato (TSD), errore standard (ES) del TSD, attesi regionali, SIR e intervalli di confidenza (IC 95%)

MASCHI+FEMMINE

| Neoplasia | Dati provincia di Bari | | | | Confronto regionale | | |
|---|------------------------|--------------|--------------|-------------|---------------------|-------------|--------------------|
| | Casi | TG | TSD (EU13) | ES | Attesi | SIR | IC 95% |
| I - Leucemie | 136 | 61,69 | 61,77 | 5,30 | 131,76 | 1,03 | (0,87-1,22) |
| Ia - Leucemie linfatiche | 106 | 48,08 | 48,20 | 4,68 | 99,47 | 1,07 | (0,87-1,29) |
| Ia.1 - Leucemie a cellule dei precursori | 105 | 47,63 | 47,74 | 4,66 | 97,63 | 1,08 | (0,88-1,30) |
| Ia.2 - Leucemie a cellule B mature | 1 | 0,45 | 0,47 | 0,47 | 1,84 | 0,54 | (0,01-3,02) |
| Ia.3 - Leucemie a cellule T e NK mature | 0 | 0,00 | 0,00 | 0,00 | 0,00 | - | - |
| Ia.4 - Leucemie linfatiche, NAS | 0 | 0,00 | 0,00 | 0,00 | 0,00 | - | - |
| Ib - Leucemie mieloidi acute | 20 | 9,07 | 9,09 | 2,03 | 21,23 | 0,94 | (0,58-1,45) |
| Ic - Malattie mieloproliferative croniche | 6 | 2,72 | 2,66 | 1,09 | 4,59 | 1,31 | (0,48-2,84) |
| Id - Sindromi mielodisplastiche | 1 | 0,45 | 0,47 | 0,47 | 4,93 | 0,2 | (0,01-1,13) |
| Ie - Leucemie, NAS | 3 | 1,36 | 1,36 | 0,78 | 1,54 | 1,95 | (0,4-5,7) |
| II - Linfomi | 41 | 18,60 | 18,40 | 2,87 | 50,25 | 0,82 | (0,59-1,11) |
| IIa - Linfomi di Hodgkin | 20 | 9,07 | 8,94 | 2,00 | 24,18 | 0,83 | (0,51-1,28) |
| IIb - Linfomi non Hodgkin | 12 | 5,44 | 5,39 | 1,56 | 15,02 | 0,80 | (0,41-1,40) |
| IIb.1 - Linfomi a cellule dei precursori | 4 | 1,81 | 1,82 | 0,91 | 5,83 | 0,69 | (0,19-1,76) |
| IIb.2 - Linfomi a cell. B mature non Burkitt | 5 | 2,27 | 2,23 | 1 | 4,60 | 1,09 | (0,35-2,54) |
| IIb.3 - Linfomi a cellule T e NK mature | 3 | 1,36 | 1,34 | 0,78 | 3,98 | 0,75 | (0,16-2,20) |
| IIb.4 - Linfomi non Hodgkin, NAS | 0 | 0,00 | 0,00 | 0,00 | 0,61 | 0,00 | - |
| IIc - Linfoma di Burkitt | 8 | 3,63 | 3,59 | 1,27 | 10,13 | 0,79 | (0,34-1,56) |
| IId - Altri linfomi | 1 | 0,45 | 0,47 | 0,47 | 0,92 | 1,08 | (0,03-6,03) |
| IIE - Linfomi non specificati | 0 | 0,00 | 0,00 | 0,00 | 0,00 | - | - |
| III - Neoplasie del SNC | 112 | 50,80 | 50,90 | 4,81 | 115,25 | 0,97 | (0,8-1,17) |
| IIIa - Ependimomi e tumori plessi corioidei | 6 | 2,72 | 2,76 | 1,13 | 9,85 | 0,61 | (0,22-1,33) |
| IIIa.1 - Ependimomi | 5 | 2,27 | 2,28 | 1,02 | 7,38 | 0,68 | (0,22-1,58) |
| IIIa.2 - Tumori dei plessi corioidei | 1 | 0,45 | 0,47 | 0,47 | 2,47 | 0,40 | (0,01-2,25) |
| IIIb - Astrocitomi | 40 | 18,14 | 18,05 | 2,85 | 39,04 | 1,02 | (0,73-1,40) |
| IIIc - Tumori embrionali del SNC | 23 | 10,43 | 10,47 | 2,18 | 16,89 | 1,36 | (0,86-2,04) |
| IIIc.1 - Medulloblastomi | 17 | 7,71 | 7,77 | 1,88 | 13,50 | 1,26 | (0,73-2,02) |
| IIIc.2 - PNET | 4 | 1,81 | 1,80 | 0,9 | 2,77 | 1,44 | (0,39-3,69) |
| IIIc.3 - Medulloepiteliomi | 0 | 0,00 | 0,00 | 0,00 | 0,00 | - | - |
| IIIc.4 - Tumore teratoide/rabdoide atipico | 2 | 0,91 | 0,91 | 0,64 | 0,62 | 3,23 | (0,39-11,67) |
| IIId - Altri gliomi | 5 | 2,27 | 2,28 | 1,02 | 7,68 | 0,65 | (0,21-1,52) |
| IIId.1 - Oligodendrogliomi | 0 | 0,00 | 0,00 | 0,00 | 0,61 | 0,00 | - |
| IIId.2 - Gliomi misti e non specificati | 5 | 2,27 | 2,28 | 1,02 | 6,46 | 0,77 | (0,25-1,81) |
| IIId.3 - Tumori gliali di origine incerta | 0 | 0,00 | 0,00 | 0,00 | 0,61 | 0,00 | - |
| IIIE - Altre neoplasie del SNC specificate | 16 | 7,26 | 7,29 | 1,82 | 18,72 | 0,85 | (0,49-1,39) |
| IIIE.1 - Adenomi e carcinomi pituitari | 0 | 0,00 | 0,00 | 0,00 | 1,22 | 0,00 | - |
| IIIE.2 - Craniofaringiomi | 0 | 0,00 | 0,00 | 0,00 | 2,45 | 0,00 | - |
| IIIE.3 - Tumori pineali parenchimali | 0 | 0,00 | 0,00 | 0,00 | 0,31 | 0,00 | - |
| IIIE.4 - Tumori neurali e misti | 10 | 4,54 | 4,57 | 1,45 | 10,75 | 0,93 | (0,45-1,71) |
| IIIE.5 - Meningiomi | 6 | 2,72 | 2,72 | 1,11 | 3,99 | 1,50 | (0,55-3,27) |
| IIIf - Neoplasie del SNC non specificate | 22 | 9,98 | 10,05 | 2,14 | 23,07 | 0,95 | (0,60-1,44) |
| Neoplasie del SNC maligne | 53 | 24,04 | 24,16 | 3,32 | 47,62 | 1,11 | (0,83-1,46) |
| IV - Tumori dei nervi periferici | 29 | 13,15 | 13,40 | 2,49 | 32,21 | 0,90 | (0,60-1,29) |
| IVa - Neuroblastoma, ganglioneuroblastoma | 29 | 13,15 | 13,40 | 2,49 | 32,21 | 0,90 | (0,60-1,29) |
| IVb - Altri tumori dei nervi periferici | 0 | 0,00 | 0,00 | 0,00 | 0,00 | - | - |
| V - Retinoblastoma | 11 | 4,99 | 5,07 | 1,53 | 11,46 | 0,96 | (0,48-1,72) |
| VI - Tumori renali | 22 | 9,98 | 10,14 | 2,16 | 20,37 | 1,08 | (0,68-1,64) |
| Vla - Nefroblastoma e t. renali non epiteliali | 20 | 9,07 | 9,24 | 2,07 | 19,14 | 1,04 | (0,64-1,61) |
| Vla.1 - Nefroblastoma | 20 | 9,07 | 9,24 | 2,07 | 18,52 | 1,08 | (0,66-1,67) |
| Vla.2 - Tumore renale rabdoide | 0 | 0,00 | 0,00 | 0,00 | 0,31 | 0,00 | - |
| Vla.3 - Sarcoma renale | 0 | 0,00 | 0,00 | 0,00 | 0,31 | 0,00 | - |
| Vla.4 - pPNET renale | 0 | 0,00 | 0,00 | 0,00 | 0,00 | - | - |
| Vlb - Carcinomi renali | 1 | 0,45 | 0,44 | 0,44 | 0,31 | 3,27 | (0,08-18,22) |
| Vlc - Tumori maligni renali non specificati | 1 | 0,45 | 0,47 | 0,47 | 0,92 | 1,08 | (0,03-6,04) |
| VII - Tumori epatici | 2 | 0,91 | 0,94 | 0,67 | 3,71 | 0,54 | (0,07-1,95) |
| VIIa - Epatoblastoma | 1 | 0,45 | 0,47 | 0,47 | 2,17 | 0,46 | (0,01-2,57) |
| VIIb - Carcinomi epatici | 0 | 0,00 | 0,00 | 0,00 | 0,92 | 0,00 | - |
| VIIc - Tumori maligni epatici non specificati | 1 | 0,45 | 0,47 | 0,47 | 0,62 | 1,62 | (0,04-9,03) |
| VIII - Tumori maligni dell'osso | 22 | 9,98 | 9,91 | 2,11 | 19,30 | 1,14 | (0,71-1,73) |
| VIIIa - Osteosarcomi | 8 | 3,63 | 3,64 | 1,29 | 8,58 | 0,93 | (0,4-1,84) |
| VIIIb - Condrosarcomi | 0 | 0,00 | 0,00 | 0,00 | 0,31 | 0,00 | - |
| VIIIc - Tumore di Ewing e altri sarcomi | 13 | 5,90 | 5,84 | 1,62 | 9,80 | 1,33 | (0,71-2,27) |
| VIIIc.1 - Tumore di Ewing e tumore di Askin ossei | 13 | 5,90 | 5,84 | 1,62 | 9,19 | 1,41 | (0,75-2,42) |
| VIIIc.2 - pPNET dell'osso | 0 | 0,00 | 0,00 | 0,00 | 0,61 | 0,00 | - |
| VIIIc.3 - Altri tumori dell'osso specificati | 1 | 0,45 | 0,44 | 0,44 | 0,61 | 1,64 | (0,04-9,11) |
| VIIIc.1.1 - Neoplasie fibrose maligne dell'osso | 0 | 0,00 | 0,00 | 0,00 | 0,00 | - | - |
| VIIIc.2.1 - Cordomi maligni | 0 | 0,00 | 0,00 | 0,00 | 0,00 | - | - |
| VIIIc.3.1 - Tumori maligni odontogeni | 0 | 0,00 | 0,00 | 0,00 | 0,00 | - | - |
| VIIIc.4 - Tumori ossei miscellanei | 1 | 0,45 | 0,44 | 0,44 | 0,61 | 1,64 | (0,04-9,11) |
| VIIIe - Tumori dell'osso non specificati | 0 | 0,00 | 0,00 | 0,00 | 0,00 | - | - |

(...continua)

Tabella 5.6 Frequenza, tasso grezzo (TG), tasso standardizzato (TSD), errore standard (ES) del TSD, attesi regionali, SIR e intervalli di confidenza (IC 95%)

(...continua)

| Neoplasia | Dati provincia di Bari | | | | Confronto regionale | | |
|---|------------------------|---------------|---------------|-------------|---------------------|-------------|--------------------|
| | Casi | TG | TSD (EU13) | ES | Attesi | SIR | IC 95% |
| IX - Sarcomi dei tessuti molli | 19 | 8,62 | 8,54 | 1,96 | 23,36 | 0,81 | (0,49-1,27) |
| IXa - Rabbdomiosarcomi | 10 | 4,54 | 4,56 | 1,44 | 14,47 | 0,69 | (0,33-1,27) |
| IXb - Neoplasie fibromatose | 1 | 0,45 | 0,44 | 0,44 | 2,46 | 0,41 | (0,01-2,27) |
| IXb.1 - Tumori fibroblastici, miofibroblastici | 0 | 0,00 | 0,00 | 0,00 | 1,23 | 0,00 | – |
| IXb.2 - Tumori dei nervi periferici | 1 | 0,45 | 0,44 | 0,44 | 1,23 | 0,81 | (0,02-4,54) |
| IXb.3 - Altre neoplasie fibromatose | 0 | 0,00 | 0,00 | 0,00 | 0,00 | – | – |
| IXc - Sarcoma di Kaposi | 0 | 0,00 | 0,00 | 0,00 | 0,00 | – | – |
| IXd - Altri sarcomi dei tessuti molli specificati | 6 | 2,72 | 2,66 | 1,09 | 4,90 | 1,22 | (0,45-2,66) |
| IXd.1 - Tumore di Ewing e di Askin | 0 | 0,00 | 0,00 | 0,00 | 0,61 | 0,00 | – |
| IXd.2 - pPNET dei tessuti molli | 2 | 0,91 | 0,88 | 0,62 | 0,61 | 3,27 | (0,4-11,82) |
| IXd.3 - Tumore rabdoide extra-renale | 0 | 0,00 | 0,00 | 0,00 | 0,00 | – | – |
| IXd.4 - Liposarcomi | 0 | 0,00 | 0,00 | 0,00 | 0,00 | – | – |
| IXd.5 - Tumori fibroistiocitici | 1 | 0,45 | 0,44 | 0,44 | 0,62 | 1,62 | (0,04-9,04) |
| IXd.6 - Leiomiomasarcomi | 1 | 0,45 | 0,44 | 0,44 | 0,31 | 3,27 | (0,08-18,22) |
| IXd.7 - Sarcomi sinoviali | 0 | 0,00 | 0,00 | 0,00 | 1,53 | 0,00 | – |
| IXd.8 - Tumori dei vasi sanguigni | 0 | 0,00 | 0,00 | 0,00 | 0,00 | – | – |
| IXd.9 - Neoplasie condromatose e ossee | 0 | 0,00 | 0,00 | 0,00 | 0,00 | – | – |
| IXd.10 - Sarcoma alveolare | 1 | 0,45 | 0,44 | 0,44 | 0,31 | 3,27 | (0,08-18,22) |
| IXd.11 - Altri sarcomi (miscellanea) | 1 | 0,45 | 0,47 | 0,47 | 0,92 | 1,08 | (0,03-6,04) |
| IXe - Sarcomi dei tessuti molli non specificati | 2 | 0,91 | 0,89 | 0,63 | 1,53 | 1,31 | (0,16-4,71) |
| X - Tumori germinali, trofoblastici e gonadici | 11 | 4,99 | 5,02 | 1,51 | 12,93 | 0,85 | (0,42-1,52) |
| Xa - Tumori germinali del SNC | 3 | 1,36 | 1,35 | 0,78 | 3,37 | 0,89 | (0,18-2,60) |
| Xa.1 - Germinomi del SNC | 1 | 0,45 | 0,44 | 0,44 | 1,22 | 0,82 | (0,02-4,55) |
| Xa.2 - Teratomi del SNC | 1 | 0,45 | 0,47 | 0,47 | 0,62 | 1,62 | (0,04-9,04) |
| Xa.3 - Carcinomi embrionali del SNC | 0 | 0,00 | 0,00 | 0,00 | 0,00 | – | – |
| Xa.4 - Tumori del sacco vitellino del SNC | 0 | 0,00 | 0,00 | 0,00 | 0,00 | – | – |
| Xa.5 - Coriocarcinoma del SNC | 0 | 0,00 | 0,00 | 0,00 | 0,00 | – | – |
| Xa.6 - Tumore misto del SNC | 1 | 0,45 | 0,44 | 0,44 | 1,53 | 0,65 | (0,02-3,64) |
| Xb - Tumori germinali extra-cranici ed extra-gonadici | 4 | 1,81 | 1,87 | 0,94 | 4,34 | 0,92 | (0,25-2,36) |
| Xb.1 - Altri germinomi maligni | 0 | 0,00 | 0,00 | 0,00 | 0,31 | 0,00 | – |
| Xb.2 - Altri teratomi maligni | 3 | 1,36 | 1,42 | 0,82 | 3,41 | 0,88 | (0,18-2,57) |
| Xb.3 - Altri carcinomi embrionali | 0 | 0,00 | 0,00 | 0,00 | 0,00 | – | – |
| Xb.4 - Altri tumori del sacco vitellino | 1 | 0,45 | 0,45 | 0,45 | 0,62 | 1,62 | (0,04-9,00) |
| Xb.5 - Altri coriocarcinomi | 0 | 0,00 | 0,00 | 0,00 | 0,00 | – | – |
| Xb.6 - Altri tumori germinali | 0 | 0,00 | 0,00 | 0,00 | 0,00 | – | – |
| Xc - Tumori germinali gonadici | 4 | 1,81 | 1,80 | 0,90 | 5,22 | 0,77 | (0,21-1,96) |
| Xc.1 - Germinoma gonadico | 0 | 0,00 | 0,00 | 0,00 | 0,61 | 0,00 | – |
| Xc.2 - Teratoma gonadico | 2 | 0,91 | 0,88 | 0,62 | 2,14 | 0,93 | (0,11-3,37) |
| Xc.3 - Carcinoma embrionale gonadico | 0 | 0,00 | 0,00 | 0,00 | 0,00 | – | – |
| Xc.4 - Tumore del sacco vitellino gonadico | 2 | 0,91 | 0,92 | 0,65 | 2,16 | 0,93 | (0,11-3,34) |
| Xc.5 - Coriocarcinoma gonadico | 0 | 0,00 | 0,00 | 0,00 | 0,31 | 0,00 | – |
| Xc.6 - Tumori misti gonadici | 0 | 0,00 | 0,00 | 0,00 | 0,00 | – | – |
| Xc.7 - Gonadoblastoma maligno gonadico | 0 | 0,00 | 0,00 | 0,00 | 0,00 | – | – |
| Xd - Tumori gonadici non germinali | 0 | 0,00 | 0,00 | 0,00 | 0,00 | – | – |
| Xe - Tumori gonadici, NAS | 0 | 0,00 | 0,00 | 0,00 | 0,00 | – | – |
| XI - Altre neoplasie epiteliali e melanomi | 21 | 9,53 | 9,27 | 2,02 | 21,1 | 1,00 | (0,62-1,52) |
| XIa - Carcinomi cortico-surrenali | 0 | 0,00 | 0,00 | 0,00 | 0,00 | – | – |
| XIb - Carcinomi tiroidei | 12 | 5,44 | 5,30 | 1,53 | 9,48 | 1,27 | (0,65-2,21) |
| XIc - Carcinomi nasofaringei | 1 | 0,45 | 0,44 | 0,44 | 0,92 | 1,09 | (0,03-6,07) |
| XId - Melanomi maligni | 3 | 1,36 | 1,34 | 0,78 | 3,36 | 0,89 | (0,18-2,61) |
| XIe - Carcinomi cutanei | 2 | 0,91 | 0,88 | 0,62 | 2,14 | 0,93 | (0,11-3,38) |
| XIf - Altri e non specificati carcinomi | 3 | 1,36 | 1,31 | 0,76 | 5,20 | 0,58 | (0,12-1,69) |
| XIf.1 - Carcinomi delle ghiandole salivari | 1 | 0,45 | 0,44 | 0,44 | 0,92 | 1,09 | (0,03-6,07) |
| XIf.2 - Carcinomi del colon retto | 0 | 0,00 | 0,00 | 0,00 | 0,61 | 0,00 | – |
| XIf.3 - Carcinomi dell'appendice | 1 | 0,45 | 0,44 | 0,44 | 2,14 | 0,47 | (0,01-2,60) |
| XIf.4 - Carcinomi del polmone | 0 | 0,00 | 0,00 | 0,00 | 0,00 | – | – |
| XIf.5 - Carcinomi del timo | 0 | 0,00 | 0,00 | 0,00 | 0,00 | – | – |
| XIf.6 - Carcinomi della mammella | 0 | 0,00 | 0,00 | 0,00 | 0,00 | – | – |
| XIf.7 - Carcinomi del collo dell'utero | 0 | 0,00 | 0,00 | 0,00 | 0,00 | – | – |
| XIf.8 - Carcinomi della vescica | 0 | 0,00 | 0,00 | 0,00 | 0,00 | – | – |
| XIf.9 - Carcinomi dell'occhio | 0 | 0,00 | 0,00 | 0,00 | 0,31 | 0,00 | – |
| XIf.10 - Carcinomi di altre sedi specificate | 1 | 0,45 | 0,44 | 0,44 | 1,22 | 0,82 | (0,02-4,55) |
| XIf.11 - Carcinomi di sede non specificata | 0 | 0,00 | 0,00 | 0,00 | 0,00 | – | – |
| XII - Altri e non specificati tumori | 1 | 0,45 | 0,47 | 0,47 | 1,54 | 0,65 | (0,02-3,62) |
| XIIa - Altri tumori maligni specificati | 0 | 0,00 | 0,00 | 0,00 | 0,92 | 0,00 | – |
| XIIa.1 - Tumori stromali gastrointestinali | 0 | 0,00 | 0,00 | 0,00 | 0,31 | 0,00 | – |
| XIIa.2 - Pancreatoblastoma | 0 | 0,00 | 0,00 | 0,00 | 0,62 | 0,00 | – |
| XIIa.3 - Blastoma polmonare | 0 | 0,00 | 0,00 | 0,00 | 0,00 | – | – |
| XIIa.4 - Altre neop. complesse miste stromali | 0 | 0,00 | 0,00 | 0,00 | 0,00 | – | – |
| XIIa.5 - Mesotelioma | 0 | 0,00 | 0,00 | 0,00 | 0,00 | – | – |
| XIIa.6 - Altri tumori specificati (miscellanea) | 0 | 0,00 | 0,00 | 0,00 | 0,00 | – | – |
| XIIb - Altri tumori maligni non specificati | 1 | 0,45 | 0,47 | 0,47 | 0,62 | 1,62 | (0,04-9,04) |
| Tutti i tumori | 427 | 193,68 | 193,84 | 9,38 | 443,25 | 0,96 | (0,87-1,06) |
| Tutti i tumori maligni | 368 | 166,92 | 167,10 | 8,71 | 375,62 | 0,98 | (0,88-1,09) |

Tabella 5.6 Frequenza, tasso grezzo (TG), tasso standardizzato (TSD), errore standard (ES) del TSD, attesi regionali, SIR e intervalli di confidenza (IC 95%)

MASCHI+FEMMINE

Tabella 5.7 Frequenza, tasso grezzo (TG), tasso standardizzato (TSD), errore standard (ES) del TSD, attesi regionali, SIR e intervalli di confidenza (IC 95%)

| Neoplasia | Dati provincia di Taranto | | | | Confronto regionale | | |
|---|---------------------------|--------------|--------------|-------------|---------------------|-------------|--------------------|
| | Casi | TG | TSD (EU13) | ES | Attesi | SIR | IC 95% |
| I - Leucemie | 65 | 64,30 | 64,27 | 7,97 | 60,43 | 1,08 | (0,83-1,37) |
| Ia - Leucemie linfatiche | 45 | 44,51 | 44,66 | 6,66 | 45,62 | 0,99 | (0,72-1,32) |
| Ia.1 - Leucemie a cellule dei precursori | 43 | 42,54 | 42,68 | 6,51 | 44,78 | 0,96 | (0,69-1,29) |
| Ia.2 - Leucemie a cellule B mature | 2 | 1,98 | 1,97 | 1,40 | 0,84 | 2,37 | (0,29-8,55) |
| Ia.3 - Leucemie a cellule T e NK mature | 0 | 0,00 | 0,00 | 0,00 | 0,00 | - | - |
| Ia.4 - Leucemie linfatiche, NAS | 0 | 0,00 | 0,00 | 0,00 | 0,00 | - | - |
| Ib - Leucemie mieloidi acute | 15 | 14,84 | 14,73 | 3,80 | 9,74 | 1,54 | (0,86-2,54) |
| Ic - Malattie mieloproliferative croniche | 2 | 1,98 | 1,95 | 1,38 | 2,10 | 0,95 | (0,12-3,44) |
| Id - Sindromi mielodisplastiche | 2 | 1,98 | 1,95 | 1,38 | 2,26 | 0,88 | (0,11-3,19) |
| Ie - Leucemie, NAS | 1 | 0,99 | 0,99 | 0,99 | 0,70 | 1,42 | (0,04-7,91) |
| II - Linfomi | 28 | 27,70 | 27,44 | 5,19 | 23,00 | 1,22 | (0,81-1,76) |
| IIa - Linfomi di Hodgkin | 15 | 14,84 | 14,62 | 3,78 | 11,06 | 1,36 | (0,76-2,24) |
| IIb - Linfomi non Hodgkin | 9 | 8,9 | 8,89 | 2,97 | 6,88 | 1,31 | (0,60-2,48) |
| IIb.1 - Linfomi a cellule dei precursori | 3 | 2,97 | 3,06 | 1,76 | 2,67 | 1,12 | (0,23-3,28) |
| IIb.2 - Linfomi a cell. B mature non Burkitt | 2 | 1,98 | 1,95 | 1,38 | 2,10 | 0,95 | (0,12-3,44) |
| IIb.3 - Linfomi a cellule T e NK mature | 3 | 2,97 | 2,88 | 1,66 | 1,82 | 1,65 | (0,34-4,82) |
| IIb.4 - Linfomi non Hodgkin, NAS | 1 | 0,99 | 1,02 | 1,02 | 0,28 | 3,56 | (0,09-19,81) |
| IIc - Linfoma di Burkitt | 4 | 3,96 | 3,92 | 1,96 | 4,64 | 0,86 | (0,23-2,21) |
| IId - Altri linfomi | 0 | 0,00 | 0,00 | 0,00 | 0,43 | 0,00 | - |
| IIE - Linfomi non specificati | 0 | 0,00 | 0,00 | 0,00 | 0,00 | - | - |
| III - Neoplasie del SNC | 57 | 56,39 | 55,99 | 7,42 | 52,84 | 1,08 | (0,82-1,40) |
| IIIa - Ependimomi e tumori plessi corioidei | 3 | 2,97 | 3,02 | 1,74 | 4,53 | 0,66 | (0,14-1,94) |
| IIIa.1 - Ependimomi | 2 | 1,98 | 2,00 | 1,42 | 3,39 | 0,59 | (0,07-2,13) |
| IIIa.2 - Tumori dei plessi corioidei | 1 | 0,99 | 1,02 | 1,02 | 1,14 | 0,88 | (0,02-4,88) |
| IIIb - Astrocitomi | 16 | 15,83 | 15,69 | 3,92 | 17,89 | 0,89 | (0,51-1,45) |
| IIIc - Tumori embrionali del SNC | 6 | 5,94 | 5,99 | 2,45 | 7,74 | 0,77 | (0,28-1,69) |
| IIIc.1 - Medulloblastomi | 6 | 5,94 | 5,99 | 2,45 | 6,19 | 0,97 | (0,36-2,11) |
| IIIc.2 - PNET | 0 | 0,00 | 0,00 | 0,00 | 1,27 | 0,00 | - |
| IIIc.3 - Medulloepiteliomi | 0 | 0,00 | 0,00 | 0,00 | 0,00 | - | - |
| IIIc.4 - Tumore teratoide/rabdoide atipico | 0 | 0,00 | 0,00 | 0,00 | 0,28 | 0,00 | - |
| IIId - Altri gliomi | 4 | 3,96 | 3,92 | 1,96 | 3,52 | 1,14 | (0,31-2,91) |
| IIId.1 - Oligodendrogliomi | 0 | 0,00 | 0,00 | 0,00 | 0,28 | 0,00 | - |
| IIId.2 - Gliomi misti e non specificati | 4 | 3,96 | 3,92 | 1,96 | 2,96 | 1,35 | (0,37-3,46) |
| IIId.3 - Tumori gliali di origine incerta | 0 | 0,00 | 0,00 | 0,00 | 0,28 | 0,00 | - |
| IIIE - Altre neoplasie del SNC specificate | 15 | 14,84 | 14,53 | 3,75 | 8,58 | 1,75 | (0,98-2,88) |
| IIIE.1 - Adenomi e carcinomi pituitari | 1 | 0,99 | 0,96 | 0,96 | 0,56 | 1,79 | (0,05-9,97) |
| IIIE.2 - Craniofaringiomi | 4 | 3,96 | 3,86 | 1,93 | 1,12 | 3,56 | (0,97-9,12) |
| IIIE.3 - Tumori pineali parenchimali | 0 | 0,00 | 0,00 | 0,00 | 0,14 | 0,00 | - |
| IIIE.4 - Tumori neuronali e misti | 7 | 6,92 | 6,77 | 2,56 | 4,93 | 1,42 | (0,57-2,93) |
| IIIE.5 - Meningiomi | 3 | 2,97 | 2,94 | 1,70 | 1,83 | 1,64 | (0,34-4,79) |
| IIIf - Neoplasie del SNC non specificate | 13 | 12,86 | 12,84 | 3,56 | 10,58 | 1,23 | (0,65-2,10) |
| Neoplasie del SNC maligne | 19 | 18,80 | 18,77 | 4,31 | 21,83 | 0,87 | (0,52-1,36) |
| IV - Tumori dei nervi periferici | 14 | 13,85 | 13,97 | 3,73 | 14,88 | 0,94 | (0,51-1,58) |
| IVa - Neuroblastoma, ganglioneuroblastoma | 14 | 13,85 | 13,97 | 3,73 | 14,88 | 0,94 | (0,51-1,58) |
| IVb - Altri tumori dei nervi periferici | 0 | 0,00 | 0,00 | 0,00 | 0,00 | - | - |
| V - Retinoblastoma | 11 | 10,88 | 11,04 | 3,33 | 5,30 | 2,08 | (1,04-3,72) |
| VI - Tumori renali | 11 | 10,88 | 10,86 | 3,28 | 9,37 | 1,17 | (0,59-2,1) |
| VIa - Nefroblastoma e t. renali non epiteliali | 10 | 9,89 | 9,91 | 3,13 | 8,80 | 1,14 | (0,54-2,09) |
| VIa.1 - Nefroblastoma | 10 | 9,89 | 9,91 | 3,13 | 8,52 | 1,17 | (0,56-2,16) |
| VIa.2 - Tumore renale rabdoide | 0 | 0,00 | 0,00 | 0,00 | 0,14 | 0,00 | - |
| VIa.3 - Sarcoma renale | 0 | 0,00 | 0,00 | 0,00 | 0,14 | 0,00 | - |
| VIa.4 - pPNET renale | 0 | 0,00 | 0,00 | 0,00 | 0,00 | - | - |
| VIb - Carcinomi renali | 0 | 0,00 | 0,00 | 0,00 | 0,14 | 0,00 | - |
| VIc - Tumori maligni renali non specificati | 1 | 0,99 | 0,96 | 0,96 | 0,42 | 2,35 | (0,06-13,11) |
| VII - Tumori epatici | 0 | 0,00 | 0,00 | 0,00 | 1,71 | 0,00 | - |
| VIIa - Epatoblastoma | 0 | 0,00 | 0,00 | 0,00 | 1,00 | 0,00 | - |
| VIIb - Carcinomi epatici | 0 | 0,00 | 0,00 | 0,00 | 0,42 | 0,00 | - |
| VIIc - Tumori maligni epatici non specificati | 0 | 0,00 | 0,00 | 0,00 | 0,29 | 0,00 | - |
| VIII - Tumori maligni dell'osso | 8 | 7,91 | 7,94 | 2,81 | 8,84 | 0,91 | (0,39-1,78) |
| VIIIa - Osteosarcomi | 2 | 1,98 | 1,98 | 1,40 | 3,93 | 0,51 | (0,06-1,84) |
| VIIIb - Condrosarcomi | 0 | 0,00 | 0,00 | 0,00 | 0,14 | 0,00 | - |
| VIIIc - Tumore di Ewing e altri sarcomi | 5 | 4,95 | 5,00 | 2,24 | 4,49 | 1,11 | (0,36-2,6) |
| VIIIc.1 - Tumore di Ewing e tumore di Askin ossei | 5 | 4,95 | 5,00 | 2,24 | 4,21 | 1,19 | (0,39-2,77) |
| VIIIc.2 - pPNET dell'osso | 0 | 0,00 | 0,00 | 0,00 | 0,28 | 0,00 | - |
| VIIIc.3 - Altri tumori dell'osso specificati | 1 | 0,99 | 0,96 | 0,96 | 0,28 | 3,58 | (0,09-19,94) |
| VIIIc.1.1 - Neoplasie fibrose maligne dell'osso | 0 | 0,00 | 0,00 | 0,00 | 0,00 | - | - |
| VIIIc.2.1 - Cordomi maligni | 0 | 0,00 | 0,00 | 0,00 | 0,00 | - | - |
| VIIIc.3.1 - Tumori maligni odontogeni | 0 | 0,00 | 0,00 | 0,00 | 0,00 | - | - |
| VIIIc.4 - Tumori ossei miscellanei | 1 | 0,99 | 0,96 | 0,96 | 0,28 | 3,58 | (0,09-19,94) |
| VIIIc.5 - Tumori dell'osso non specificati | 0 | 0,00 | 0,00 | 0,00 | 0,00 | - | - |

(...continua)

(...continua)

| Neoplasia | Dati provincia di Taranto | | | | Confronto regionale | | |
|---|---------------------------|---------------|---------------|--------------|---------------------|-------------|--------------------|
| | Casi | TG | TSD (EU13) | ES | Attesi | SIR | IC 95% |
| IX - Sarcomi dei tessuti molli | 16 | 15,83 | 15,78 | 3,95 | 10,72 | 1,49 | (0,85-2,42) |
| IXa - Rabbdomiosarcomi | 9 | 8,90 | 8,89 | 2,96 | 6,64 | 1,36 | (0,62-2,57) |
| IXb - Neoplasie fibromatose | 1 | 0,99 | 1,02 | 1,02 | 1,13 | 0,89 | (0,02-4,94) |
| IXb.1 - Tumori fibroblastici, miofibroblastici | 1 | 0,99 | 1,02 | 1,02 | 0,57 | 1,77 | (0,04-9,85) |
| IXb.2 - Tumori dei nervi periferici | 0 | 0,00 | 0,00 | 0,00 | 0,56 | 0,00 | - |
| IXb.3 - Altre neoplasie fibromatose | 0 | 0,00 | 0,00 | 0,00 | 0,00 | - | - |
| IXc - Sarcoma di Kaposi | 0 | 0,00 | 0,00 | 0,00 | 0,00 | - | - |
| IXd - Altri sarcomi dei tessuti molli specificati | 4 | 3,96 | 3,95 | 1,98 | 2,25 | 1,78 | (0,48-4,55) |
| IXd.1 - Tumore di Ewing e di Askin | 1 | 0,99 | 1,02 | 1,02 | 0,28 | 3,57 | (0,09-19,88) |
| IXd.2 - pPNET dei tessuti molli | 0 | 0,00 | 0,00 | 0,00 | 0,28 | 0,00 | - |
| IXd.3 - Tumore rabdoide extra-renale | 0 | 0,00 | 0,00 | 0,00 | 0,00 | - | - |
| IXd.4 - Liposarcomi | 0 | 0,00 | 0,00 | 0,00 | 0,00 | - | - |
| IXd.5 - Tumori fibroistiocitici | 0 | 0,00 | 0,00 | 0,00 | 0,28 | 0,00 | - |
| IXd.6 - Leiomiomasarcomi | 0 | 0,00 | 0,00 | 0,00 | 0,14 | 0,00 | - |
| IXd.7 - Sarcomi sinoviali | 1 | 0,99 | 0,96 | 0,96 | 0,70 | 1,43 | (0,04-7,96) |
| IXd.8 - Tumori dei vasi sanguigni | 0 | 0,00 | 0,00 | 0,00 | 0,00 | - | - |
| IXd.9 - Neoplasie condromatose e ossee | 0 | 0,00 | 0,00 | 0,00 | 0,00 | - | - |
| IXd.10 - Sarcoma alveolare | 0 | 0,00 | 0,00 | 0,00 | 0,14 | 0,00 | - |
| IXd.11 - Altri sarcomi (miscellanea) | 2 | 1,98 | 1,98 | 1,40 | 0,42 | 4,71 | (0,57-17,00) |
| IXe - Sarcomi dei tessuti molli non specificati | 2 | 1,98 | 1,92 | 1,36 | 0,70 | 2,85 | (0,35-10,31) |
| X - Tumori germinali, trofoblastici e gonadici | 4 | 3,96 | 4,04 | 2,02 | 5,95 | 0,67 | (0,18-1,72) |
| Xa - Tumori germinali del SNC | 3 | 2,97 | 3,06 | 1,76 | 1,55 | 1,94 | (0,4-5,67) |
| Xa.1 - Germinomi del SNC | 1 | 0,99 | 1,02 | 1,02 | 0,56 | 1,79 | (0,05-9,95) |
| Xa.2 - Teratomi del SNC | 0 | 0,00 | 0,00 | 0,00 | 0,28 | 0,00 | - |
| Xa.3 - Carcinomi embrionali del SNC | 0 | 0,00 | 0,00 | 0,00 | 0,00 | - | - |
| Xa.4 - Tumori del sacco vitellino del SNC | 0 | 0,00 | 0,00 | 0,00 | 0,00 | - | - |
| Xa.5 - Coriocarcinoma del SNC | 0 | 0,00 | 0,00 | 0,00 | 0,00 | - | - |
| Xa.6 - Tumore misto del SNC | 2 | 1,98 | 2,04 | 1,44 | 0,70 | 2,85 | (0,35-10,30) |
| Xb - Tumori germinali extra-cranici ed extra-gonadici | 1 | 0,99 | 0,99 | 0,99 | 2,01 | 0,5 | (0,01-2,77) |
| Xb.1 - Altri germinomi maligni | 0 | 0,00 | 0,00 | 0,00 | 0,14 | 0,00 | - |
| Xb.2 - Altri teratomi maligni | 1 | 0,99 | 0,99 | 0,99 | 1,59 | 0,63 | (0,02-3,51) |
| Xb.3 - Altri carcinomi embrionali | 0 | 0,00 | 0,00 | 0,00 | 0,00 | - | - |
| Xb.4 - Altri tumori del sacco vitellino | 0 | 0,00 | 0,00 | 0,00 | 0,28 | 0,00 | - |
| Xb.5 - Altri coriocarcinomi | 0 | 0,00 | 0,00 | 0,00 | 0,00 | - | - |
| Xb.6 - Altri tumori germinali | 0 | 0,00 | 0,00 | 0,00 | 0,00 | - | - |
| Xc - Tumori germinali gonadici | 0 | 0,00 | 0,00 | 0,00 | 2,39 | 0,00 | - |
| Xc.1 - Germinoma gonadico | 0 | 0,00 | 0,00 | 0,00 | 0,28 | 0,00 | - |
| Xc.2 - Teratoma gonadico | 0 | 0,00 | 0,00 | 0,00 | 0,98 | 0,00 | - |
| Xc.3 - Carcinoma embrionale gonadico | 0 | 0,00 | 0,00 | 0,00 | 0,00 | - | - |
| Xc.4 - Tumore del sacco vitellino gonadico | 0 | 0,00 | 0,00 | 0,00 | 1,00 | 0,00 | - |
| Xc.5 - Coriocarcinoma gonadico | 0 | 0,00 | 0,00 | 0,00 | 0,14 | 0,00 | - |
| Xc.6 - Tumori misti gonadici | 0 | 0,00 | 0,00 | 0,00 | 0,00 | - | - |
| Xc.7 - Gonadoblastoma maligno gonadico | 0 | 0,00 | 0,00 | 0,00 | 0,00 | - | - |
| Xd - Tumori gonadici non germinali | 0 | 0,00 | 0,00 | 0,00 | 0,00 | - | - |
| Xe - Tumori gonadici, NAS | 0 | 0,00 | 0,00 | 0,00 | 0,00 | - | - |
| XI - Altre neoplasie epiteliali e melanomi | 9 | 8,90 | 8,69 | 2,90 | 9,65 | 0,93 | (0,43-1,77) |
| XIa - Carcinomi cortico-surrenali | 0 | 0,00 | 0,00 | 0,00 | 0,00 | - | - |
| XIb - Carcinomi tiroidei | 4 | 3,96 | 3,83 | 1,92 | 4,33 | 0,92 | (0,25-2,36) |
| XIc - Carcinomi nasofaringei | 1 | 0,99 | 0,96 | 0,96 | 0,42 | 2,39 | (0,06-13,29) |
| XId - Melanomi maligni | 3 | 2,97 | 2,88 | 1,66 | 1,54 | 1,95 | (0,40-5,70) |
| XIe - Carcinomi cutanei | 0 | 0,00 | 0,00 | 0,00 | 0,98 | 0,00 | - |
| XIf - Altri e non specificati carcinomi | 1 | 0,99 | 1,02 | 1,02 | 2,38 | 0,42 | (0,01-2,34) |
| XIf.1 - Carcinomi delle ghiandole salivari | 0 | 0,00 | 0,00 | 0,00 | 0,42 | 0,00 | - |
| XIf.2 - Carcinomi del colon retto | 0 | 0,00 | 0,00 | 0,00 | 0,28 | 0,00 | - |
| XIf.3 - Carcinomi dell'appendice | 1 | 0,99 | 1,02 | 1,02 | 0,98 | 1,02 | (0,03-5,68) |
| XIf.4 - Carcinomi del polmone | 0 | 0,00 | 0,00 | 0,00 | 0,00 | - | - |
| XIf.5 - Carcinomi del timo | 0 | 0,00 | 0,00 | 0,00 | 0,00 | - | - |
| XIf.6 - Carcinomi della mammella | 0 | 0,00 | 0,00 | 0,00 | 0,00 | - | - |
| XIf.7 - Carcinomi del collo dell'utero | 0 | 0,00 | 0,00 | 0,00 | 0,00 | - | - |
| XIf.8 - Carcinomi della vescica | 0 | 0,00 | 0,00 | 0,00 | 0,00 | - | - |
| XIf.9 - Carcinomi dell'occhio | 0 | 0,00 | 0,00 | 0,00 | 0,14 | 0,00 | - |
| XIf.10 - Carcinomi di altre sedi specificate | 0 | 0,00 | 0,00 | 0,00 | 0,56 | 0,00 | - |
| XIf.11 - Carcinomi di sede non specificata | 0 | 0,00 | 0,00 | 0,00 | 0,00 | - | - |
| XII - Altri e non specificati tumori | 1 | 0,99 | 1,02 | 1,02 | 0,71 | 1,41 | (0,04-7,85) |
| XIIa - Altri tumori maligni specificati | 1 | 0,99 | 1,02 | 1,02 | 0,42 | 2,35 | (0,06-13,11) |
| XIIa.1 - Tumori stromali gastrointestinali | 0 | 0,00 | 0,00 | 0,00 | 0,14 | 0,00 | - |
| XIIa.2 - Pancreatoblastoma | 1 | 0,99 | 1,02 | 1,02 | 0,29 | 3,51 | (0,09-19,53) |
| XIIa.3 - Blastoma polmonare | 0 | 0,00 | 0,00 | 0,00 | 0,00 | - | - |
| XIIa.4 - Altre neop. complesse miste stromali | 0 | 0,00 | 0,00 | 0,00 | 0,00 | - | - |
| XIIa.5 - Mesotelioma | 0 | 0,00 | 0,00 | 0,00 | 0,00 | - | - |
| XIIa.6 - Altri tumori specificati (miscellanea) | 0 | 0,00 | 0,00 | 0,00 | 0,00 | - | - |
| XIIb - Altri tumori maligni non specificati | 0 | 0,00 | 0,00 | 0,00 | 0,28 | 0,00 | - |
| Tutti i tumori | 224 | 221,58 | 221,02 | 14,77 | 203,40 | 1,10 | (0,96-1,26) |
| Tutti i tumori maligni | 186 | 183,99 | 183,80 | 13,48 | 172,39 | 1,08 | (0,93-1,25) |

Tabella 5.7 Frequenza, tasso grezzo (TG), tasso standardizzato (TSD), errore standard (ES) del TSD, attesi regionali, SIR e intervalli di confidenza (IC 95%)

Tabella 5.8 Frequenza, tasso grezzo (TG), tasso standardizzato (TSD), errore standard (ES) del TSD, attesi regionali, SIR e intervalli di confidenza (IC 95%)

| Neoplasia | Dati provincia di Brindisi | | | | Confronto regionale | | |
|--|----------------------------|--------------|--------------|-------------|---------------------|-------------|--------------------|
| | Casi | TG | TSD (EU13) | ES | Attesi | SIR | IC 95% |
| I - Leucemie | 36 | 53,54 | 53,74 | 8,96 | 40,06 | 0,90 | (0,63-1,24) |
| Ia - Leucemie linfatiche | 27 | 40,16 | 40,53 | 7,8 | 30,22 | 0,89 | (0,59-1,30) |
| Ia.1 - Leucemie a cellule dei precursori | 26 | 38,67 | 39,11 | 7,67 | 29,65 | 0,88 | (0,57-1,28) |
| Ia.2 - Leucemie a cellule B mature | 1 | 1,49 | 1,42 | 1,42 | 0,56 | 1,78 | (0,05-9,91) |
| Ia.3 - Leucemie a cellule T e NK mature | 0 | 0,00 | 0,00 | 0,00 | 0,00 | - | - |
| Ia.4 - Leucemie linfatiche, NAS | 0 | 0,00 | 0,00 | 0,00 | 0,00 | - | - |
| Ib - Leucemie mieloidi acute | 4 | 5,95 | 5,92 | 2,96 | 6,47 | 0,62 | (0,17-1,58) |
| Ic - Malattie mieloproliferative croniche | 2 | 2,97 | 2,95 | 2,09 | 1,41 | 1,42 | (0,17-5,12) |
| Id - Sindromi mielodisplastiche | 2 | 2,97 | 2,92 | 2,07 | 1,50 | 1,33 | (0,16-4,82) |
| Ie - Leucemie, NAS | 1 | 1,49 | 1,42 | 1,42 | 0,47 | 2,13 | (0,05-11,89) |
| II - Linfomi | 17 | 25,28 | 24,68 | 5,99 | 15,41 | 1,10 | (0,64-1,77) |
| Ila - Linfomi di Hodgkin | 9 | 13,39 | 13,01 | 4,34 | 7,43 | 1,21 | (0,55-2,30) |
| Ilb - Linfomi non Hodgkin | 4 | 5,95 | 5,79 | 2,90 | 4,60 | 0,87 | (0,24-2,23) |
| Ilb.1 - Linfomi a cellule dei precursori | 1 | 1,49 | 1,42 | 1,42 | 1,78 | 0,56 | (0,01-3,13) |
| Ilb.2 - Linfomi a cell. B mature non Burkitt | 1 | 1,49 | 1,42 | 1,42 | 1,41 | 0,71 | (0,02-3,95) |
| Ilb.3 - Linfomi a cellule T e NK mature | 2 | 2,97 | 2,95 | 2,09 | 1,22 | 1,63 | (0,20-5,91) |
| Ilb.4 - Linfomi non Hodgkin, NAS | 0 | 0,00 | 0,00 | 0,00 | 0,19 | 0,00 | - |
| Ilc - Linfoma di Burkitt | 4 | 5,95 | 5,88 | 2,94 | 3,10 | 1,29 | (0,35-3,31) |
| Ild - Altri linfomi | 0 | 0,00 | 0,00 | 0,00 | 0,28 | 0,00 | - |
| Ile - Linfomi non specificati | 0 | 0,00 | 0,00 | 0,00 | 0,00 | - | - |
| III - Neoplasie del SNC | 29 | 43,13 | 43,26 | 8,04 | 35,13 | 0,83 | (0,55-1,19) |
| IIIa - Ependimomi e tumori plessi corioidei | 4 | 5,95 | 6,14 | 3,07 | 3,00 | 1,34 | (0,36-3,42) |
| IIIa.1 - Ependimomi | 4 | 5,95 | 6,14 | 3,07 | 2,25 | 1,78 | (0,48-4,56) |
| IIIa.2 - Tumori dei plessi corioidei | 0 | 0,00 | 0,00 | 0,00 | 0,75 | 0,00 | - |
| IIIb - Astrocitomi | 10 | 14,87 | 15,01 | 4,75 | 11,89 | 0,84 | (0,4-1,55) |
| IIIc - Tumori embrionali del SNC | 2 | 2,97 | 2,95 | 2,09 | 5,15 | 0,39 | (0,05-1,40) |
| IIIc.1 - Medulloblastomi | 2 | 2,97 | 2,95 | 2,09 | 4,12 | 0,49 | (0,06-1,75) |
| IIIc.2 - PNET | 0 | 0,00 | 0,00 | 0,00 | 0,84 | 0,00 | - |
| IIIc.3 - Medulloepiteliomi | 0 | 0,00 | 0,00 | 0,00 | 0,00 | - | - |
| IIIc.4 - Tumore teratoide/rabdoide atipico | 0 | 0,00 | 0,00 | 0,00 | 0,19 | 0,00 | - |
| IIId - Altri gliomi | 3 | 4,46 | 4,37 | 2,53 | 2,34 | 1,28 | (0,26-3,74) |
| IIId.1 - Oligodendrogliomi | 0 | 0,00 | 0,00 | 0,00 | 0,19 | 0,00 | - |
| IIId.2 - Gliomi misti e non specificati | 2 | 2,97 | 2,95 | 2,09 | 1,97 | 1,02 | (0,12-3,67) |
| IIId.3 - Tumori gliali di origine incerta | 1 | 1,49 | 1,42 | 1,42 | 0,19 | 5,30 | (0,13-29,53) |
| IIIE - Altre neoplasie del SNC specificate | 3 | 4,46 | 4,34 | 2,51 | 5,72 | 0,52 | (0,11-1,53) |
| IIIE.1 - Adenomi e carcinomi pituitari | 1 | 1,49 | 1,42 | 1,42 | 0,38 | 2,65 | (0,07-14,77) |
| IIIE.2 - Craniofaringiomi | 0 | 0,00 | 0,00 | 0,00 | 0,75 | 0,00 | - |
| IIIE.3 - Tumori pineali parenchimali | 0 | 0,00 | 0,00 | 0,00 | 0,09 | 0,00 | - |
| IIIE.4 - Tumori neurali e misti | 2 | 2,97 | 2,92 | 2,07 | 3,28 | 0,61 | (0,07-2,20) |
| IIIE.5 - Meningiomi | 0 | 0,00 | 0,00 | 0,00 | 1,22 | 0,00 | - |
| IIIf - Neoplasie del SNC non specificate | 7 | 10,41 | 10,44 | 3,95 | 7,02 | 1,00 | (0,4-2,05) |
| Neoplasie del SNC maligne | 10 | 14,87 | 15,00 | 4,75 | 14,51 | 0,69 | (0,33-1,27) |
| IV - Tumori dei nervi periferici | 13 | 19,33 | 20,11 | 5,58 | 9,71 | 1,34 | (0,71-2,29) |
| IVa - Neuroblastoma, ganglioneuroblastoma | 13 | 19,33 | 20,11 | 5,58 | 9,71 | 1,34 | (0,71-2,29) |
| IVb - Altri tumori dei nervi periferici | 0 | 0,00 | 0,00 | 0,00 | 0,00 | - | - |
| V - Retinoblastoma | 6 | 8,92 | 9,30 | 3,80 | 3,45 | 1,74 | (0,64-3,78) |
| VI - Tumori renali | 8 | 11,90 | 12,14 | 4,29 | 6,17 | 1,30 | (0,56-2,56) |
| Vla - Nefroblastoma e t. renali non epiteliali | 8 | 11,90 | 12,14 | 4,29 | 5,79 | 1,38 | (0,60-2,72) |
| Vla.1 - Nefroblastoma | 7 | 10,41 | 10,64 | 4,02 | 5,60 | 1,25 | (0,50-2,57) |
| Vla.2 - Tumore renale rabdoide | 0 | 0,00 | 0,00 | 0,00 | 0,09 | 0,00 | - |
| Vla.3 - Sarcoma renale | 1 | 1,49 | 1,50 | 1,50 | 0,09 | 10,71 | (0,27-59,67) |
| Vla.4 - pPNET renale | 0 | 0,00 | 0,00 | 0,00 | 0,00 | - | - |
| Vlb - Carcinomi renali | 0 | 0,00 | 0,00 | 0,00 | 0,09 | 0,00 | - |
| Vlc - Tumori maligni renali non specificati | 0 | 0,00 | 0,00 | 0,00 | 0,28 | 0,00 | - |
| VII - Tumori epatici | 0 | 0,00 | 0,00 | 0,00 | 1,12 | 0,00 | - |
| VIIa - Epatoblastoma | 0 | 0,00 | 0,00 | 0,00 | 0,65 | 0,00 | - |
| VIIb - Carcinomi epatici | 0 | 0,00 | 0,00 | 0,00 | 0,28 | 0,00 | - |
| VIIc - Tumori maligni epatici non specificati | 0 | 0,00 | 0,00 | 0,00 | 0,19 | 0,00 | - |
| VIII - Tumori maligni dell'osso | 9 | 13,39 | 13,20 | 4,40 | 5,92 | 1,52 | (0,70-2,89) |
| VIIIa - Osteosarcomi | 5 | 7,44 | 7,41 | 3,32 | 2,63 | 1,90 | (0,62-4,44) |
| VIIIb - Condrosarcomi | 0 | 0,00 | 0,00 | 0,00 | 0,09 | 0,00 | - |
| VIIIc - Tumore di Ewing e altri sarcomi | 4 | 5,95 | 5,79 | 2,90 | 3,00 | 1,33 | (0,36-3,41) |
| VIIIc.1 - Tumore di Ewing e tumore di Askin ossei | 3 | 4,46 | 4,26 | 2,46 | 2,82 | 1,06 | (0,22-3,11) |
| VIIIc.2 - pPNET dell'osso | 1 | 1,49 | 1,53 | 1,53 | 0,19 | 5,33 | (0,13-29,69) |
| VIIIc.3 - Altri tumori maligni dell'osso specificati | 0 | 0,00 | 0,00 | 0,00 | 0,19 | 0,00 | - |
| VIIIc.4 - Neoplasie fibrose maligne dell'osso | 0 | 0,00 | 0,00 | 0,00 | 0,00 | - | - |
| VIIIc.5 - Cordomi maligni | 0 | 0,00 | 0,00 | 0,00 | 0,00 | - | - |
| VIIIc.6 - Tumori maligni odontogeni | 0 | 0,00 | 0,00 | 0,00 | 0,00 | - | - |
| VIIIc.7 - Tumori ossei miscellanei | 0 | 0,00 | 0,00 | 0,00 | 0,19 | 0,00 | - |
| VIIIc.8 - Tumori dell'osso non specificati | 0 | 0,00 | 0,00 | 0,00 | 0,00 | - | - |

(...continua)

(...continua)

| Neoplasia | Dati provincia di Brindisi | | | | Confronto regionale | | |
|---|----------------------------|---------------|---------------|--------------|---------------------|-------------|--------------------|
| | Casi | TG | TSD (EU13) | ES | Attesi | SIR | IC 95% |
| IX - Sarcomi dei tessuti molli | 5 | 7,44 | 7,48 | 3,35 | 7,12 | 0,70 | (0,23-1,64) |
| IXa - Rabbdomiosarcomi | 3 | 4,46 | 4,64 | 2,68 | 4,4 | 0,68 | (0,14-1,99) |
| IXb - Neoplasie fibromatose | 0 | 0,00 | 0,00 | 0,00 | 0,75 | 0,00 | – |
| IXb.1 - Tumori fibroblastici, miofibroblastici | 0 | 0,00 | 0,00 | 0,00 | 0,37 | 0,00 | – |
| IXb.2 - Tumori dei nervi periferici | 0 | 0,00 | 0,00 | 0,00 | 0,37 | 0,00 | – |
| IXb.3 - Altre neoplasie fibromatose | 0 | 0,00 | 0,00 | 0,00 | 0,00 | – | – |
| IXc - Sarcoma di Kaposi | 0 | 0,00 | 0,00 | 0,00 | 0,00 | – | – |
| IXd - Altri sarcomi dei tessuti molli specificati | 1 | 1,49 | 1,42 | 1,42 | 1,50 | 0,67 | (0,02-3,71) |
| IXd.1 - Tumore di Ewing e di Askin | 1 | 1,49 | 1,42 | 1,42 | 0,19 | 5,33 | (0,13-29,69) |
| IXd.2 - pPNET dei tessuti molli | 0 | 0,00 | 0,00 | 0,00 | 0,19 | 0,00 | – |
| IXd.3 - Tumore rabdoide extra-renale | 0 | 0,00 | 0,00 | 0,00 | 0,00 | – | – |
| IXd.4 - Liposarcomi | 0 | 0,00 | 0,00 | 0,00 | 0,00 | – | – |
| IXd.5 - Tumori fibroistiocitici | 0 | 0,00 | 0,00 | 0,00 | 0,19 | 0,00 | – |
| IXd.6 - Leiomiomasarcomi | 0 | 0,00 | 0,00 | 0,00 | 0,09 | 0,00 | – |
| IXd.7 - Sarcomi sinoviali | 0 | 0,00 | 0,00 | 0,00 | 0,47 | 0,00 | – |
| IXd.8 - Tumori dei vasi sanguigni | 0 | 0,00 | 0,00 | 0,00 | 0,00 | – | – |
| IXd.9 - Neoplasie condromatose e ossee | 0 | 0,00 | 0,00 | 0,00 | 0,00 | – | – |
| IXd.10 - Sarcoma alveolare | 0 | 0,00 | 0,00 | 0,00 | 0,09 | 0,00 | – |
| IXd.11 - Altri sarcomi (miscellanea) | 0 | 0,00 | 0,00 | 0,00 | 0,28 | 0,00 | – |
| IXe - Sarcomi dei tessuti molli non specificati | 1 | 1,49 | 1,42 | 1,42 | 0,47 | 2,12 | (0,05-11,84) |
| X - Tumori germinali, trofoblastici e gonadici | 6 | 8,92 | 8,83 | 3,61 | 3,94 | 1,52 | (0,56-3,32) |
| Xa - Tumori germinali del SNC | 1 | 1,49 | 1,42 | 1,42 | 1,03 | 0,97 | (0,02-5,40) |
| Xa.1 - Germinomi del SNC | 0 | 0,00 | 0,00 | 0,00 | 0,38 | 0,00 | – |
| Xa.2 - Teratomi del SNC | 1 | 1,49 | 1,42 | 1,42 | 0,19 | 5,33 | (0,13-29,68) |
| Xa.3 - Carcinomi embrionali del SNC | 0 | 0,00 | 0,00 | 0,00 | 0,00 | – | – |
| Xa.4 - Tumori del sacco vitellino del SNC | 0 | 0,00 | 0,00 | 0,00 | 0,00 | – | – |
| Xa.5 - Coriocarcinoma del SNC | 0 | 0,00 | 0,00 | 0,00 | 0,00 | – | – |
| Xa.6 - Tumore misto del SNC | 0 | 0,00 | 0,00 | 0,00 | 0,47 | 0,00 | – |
| Xb - Tumori germinali extra-cranici ed extra-gonadici | 2 | 2,97 | 2,99 | 2,12 | 1,31 | 1,53 | (0,19-5,52) |
| Xb.1 - Altri germinomi maligni | 1 | 1,49 | 1,42 | 1,42 | 0,09 | 10,60 | (0,27-59,06) |
| Xb.2 - Altri teratomi maligni | 1 | 1,49 | 1,58 | 1,58 | 1,03 | 0,97 | (0,02-5,42) |
| Xb.3 - Altri carcinomi embrionali | 0 | 0,00 | 0,00 | 0,00 | 0,00 | – | – |
| Xb.4 - Altri tumori del sacco vitellino | 0 | 0,00 | 0,00 | 0,00 | 0,19 | 0,00 | – |
| Xb.5 - Altri coriocarcinomi | 0 | 0,00 | 0,00 | 0,00 | 0,00 | – | – |
| Xb.6 - Altri tumori germinali | 0 | 0,00 | 0,00 | 0,00 | 0,00 | – | – |
| Xc - Tumori germinali gonadici | 3 | 4,46 | 4,41 | 2,55 | 1,60 | 1,88 | (0,39-5,49) |
| Xc.1 - Germinoma gonadico | 0 | 0,00 | 0,00 | 0,00 | 0,19 | 0,00 | – |
| Xc.2 - Teratoma gonadico | 2 | 2,97 | 2,84 | 2,01 | 0,66 | 3,03 | (0,37-10,96) |
| Xc.3 - Carcinoma embrionale gonadico | 0 | 0,00 | 0,00 | 0,00 | 0,00 | – | – |
| Xc.4 - Tumore del sacco vitellino gonadico | 1 | 1,49 | 1,58 | 1,58 | 0,65 | 1,53 | (0,04-8,51) |
| Xc.5 - Coriocarcinoma gonadico | 0 | 0,00 | 0,00 | 0,00 | 0,09 | 0,00 | – |
| Xc.6 - Tumori misti gonadici | 0 | 0,00 | 0,00 | 0,00 | 0,00 | – | – |
| Xc.7 - Gonadoblastoma maligno gonadico | 0 | 0,00 | 0,00 | 0,00 | 0,00 | – | – |
| Xd - Tumori gonadici non germinali | 0 | 0,00 | 0,00 | 0,00 | 0,00 | – | – |
| Xe - Tumori gonadici, NAS | 0 | 0,00 | 0,00 | 0,00 | 0,00 | – | – |
| XI - Altre neoplasie epiteliali e melanomi | 4 | 5,95 | 5,68 | 2,84 | 6,50 | 0,62 | (0,17-1,58) |
| XIa - Carcinomi cortico-surrenali | 0 | 0,00 | 0,00 | 0,00 | 0,00 | – | – |
| XIb - Carcinomi tiroidei | 2 | 2,97 | 2,84 | 2,01 | 2,92 | 0,68 | (0,08-2,47) |
| XIc - Carcinomi nasofaringei | 0 | 0,00 | 0,00 | 0,00 | 0,28 | 0,00 | – |
| XId - Melanomi maligni | 2 | 2,97 | 2,84 | 2,01 | 1,04 | 1,93 | (0,23-6,98) |
| XIe - Carcinomi cutanei | 0 | 0,00 | 0,00 | 0,00 | 0,66 | 0,00 | – |
| XIf - Altri e non specificati carcinomi | 0 | 0,00 | 0,00 | 0,00 | 1,60 | 0,00 | – |
| XIf.1 - Carcinomi delle ghiandole salivari | 0 | 0,00 | 0,00 | 0,00 | 0,28 | 0,00 | – |
| XIf.2 - Carcinomi del colon retto | 0 | 0,00 | 0,00 | 0,00 | 0,19 | 0,00 | – |
| XIf.3 - Carcinomi dell'appendice | 0 | 0,00 | 0,00 | 0,00 | 0,66 | 0,00 | – |
| XIf.4 - Carcinomi del polmone | 0 | 0,00 | 0,00 | 0,00 | 0,00 | – | – |
| XIf.5 - Carcinomi del timo | 0 | 0,00 | 0,00 | 0,00 | 0,00 | – | – |
| XIf.6 - Carcinomi della mammella | 0 | 0,00 | 0,00 | 0,00 | 0,00 | – | – |
| XIf.7 - Carcinomi del collo dell'utero | 0 | 0,00 | 0,00 | 0,00 | 0,00 | – | – |
| XIf.8 - Carcinomi della vescica | 0 | 0,00 | 0,00 | 0,00 | 0,00 | – | – |
| XIf.9 - Carcinomi dell'occhio | 0 | 0,00 | 0,00 | 0,00 | 0,09 | 0,00 | – |
| XIf.10 - Carcinomi di altre sedi specificate | 0 | 0,00 | 0,00 | 0,00 | 0,38 | 0,00 | – |
| XIf.11 - Carcinomi di sede non specificata | 0 | 0,00 | 0,00 | 0,00 | 0,00 | – | – |
| XII - Altri e non specificati tumori | 0 | 0,00 | 0,00 | 0,00 | 0,47 | 0,00 | – |
| XIIa - Altri tumori maligni specificati | 0 | 0,00 | 0,00 | 0,00 | 0,28 | 0,00 | – |
| XIIa.1 - Tumori stromali gastrointestinali | 0 | 0,00 | 0,00 | 0,00 | 0,09 | 0,00 | – |
| XIIa.2 - Pancreatoblastoma | 0 | 0,00 | 0,00 | 0,00 | 0,19 | 0,00 | – |
| XIIa.3 - Blastoma polmonare | 0 | 0,00 | 0,00 | 0,00 | 0,00 | – | – |
| XIIa.4 - Altre neop. complesse miste stromali | 0 | 0,00 | 0,00 | 0,00 | 0,00 | – | – |
| XIIa.5 - Mesotelioma | 0 | 0,00 | 0,00 | 0,00 | 0,00 | – | – |
| XIIa.6 - Altri tumori specificati (miscellanea) | 0 | 0,00 | 0,00 | 0,00 | 0,00 | – | – |
| XIIb - Altri tumori maligni non specificati | 0 | 0,00 | 0,00 | 0,00 | 0,19 | 0,00 | – |
| Tutti i tumori | 133 | 197,81 | 198,43 | 17,22 | 134,99 | 0,99 | (0,82-1,17) |
| Tutti i tumori maligni | 114 | 169,55 | 170,16 | 15,95 | 114,38 | 1,00 | (0,82-1,20) |

Tabella 5.8 Frequenza, tasso grezzo (TG), tasso standardizzato (TSD), errore standard (ES) del TSD, attesi regionali, SIR e intervalli di confidenza (IC 95%)

MASCHI+FEMMINE

| Neoplasia | Dati provincia di Lecce | | | | Confronto regionale | | |
|--|-------------------------|--------------|--------------|-------------|---------------------|-------------|--------------------|
| | Casi | TG | TSD (EU13) | ES | Attesi | SIR | IC 95% |
| I - Leucemie | 74 | 55,54 | 55,36 | 6,44 | 79,41 | 0,93 | (0,73-1,17) |
| Ia - Leucemie linfatiche | 56 | 42,03 | 41,95 | 5,61 | 59,92 | 0,93 | (0,71-1,21) |
| Ia.1 - Leucemie a cellule dei precursori | 55 | 41,28 | 41,18 | 5,56 | 58,80 | 0,94 | (0,70-1,22) |
| Ia.2 - Leucemie a cellule B mature | 1 | 0,75 | 0,77 | 0,77 | 1,11 | 0,90 | (0,02-5,00) |
| Ia.3 - Leucemie a cellule T e NK mature | 0 | 0,00 | 0,00 | 0,00 | 0,00 | - | - |
| Ia.4 - Leucemie linfatiche, NAS | 0 | 0,00 | 0,00 | 0,00 | 0,00 | - | - |
| Ib - Leucemie mieloidi acute | 11 | 8,26 | 8,12 | 2,45 | 12,80 | 0,86 | (0,43-1,54) |
| Ic - Malattie mieloproliferative croniche | 1 | 0,75 | 0,72 | 0,72 | 2,79 | 0,36 | (0,01-2,00) |
| Id - Sindromi mielodisplastiche | 6 | 4,5 | 4,57 | 1,87 | 2,97 | 2,02 | (0,74-4,40) |
| Ie - Leucemie, NAS | 0 | 0,00 | 0,00 | 0,00 | 0,93 | 0,00 | - |
| II - Linfomi | 29 | 21,77 | 21,48 | 3,99 | 30,51 | 0,95 | (0,64-1,37) |
| Ila - Linfomi di Hodgkin | 12 | 9,01 | 8,82 | 2,55 | 14,71 | 0,82 | (0,42-1,43) |
| Ilb - Linfomi non Hodgkin | 10 | 7,51 | 7,54 | 2,39 | 9,11 | 1,10 | (0,53-2,02) |
| Ilb.1 - Linfomi a cellule dei precursori | 6 | 4,50 | 4,56 | 1,86 | 3,53 | 1,70 | (0,62-3,70) |
| Ilb.2 - Linfomi a cell. B mature non Burkitt | 1 | 0,75 | 0,72 | 0,72 | 2,79 | 0,36 | (0,01-2,00) |
| Ilb.3 - Linfomi a cellule T e NK mature | 2 | 1,50 | 1,49 | 1,05 | 2,42 | 0,83 | (0,10-2,98) |
| Ilb.4 - Linfomi non Hodgkin, NAS | 1 | 0,75 | 0,77 | 0,77 | 0,37 | 2,69 | (0,07-15,01) |
| Ilc - Linfoma di Burkitt | 7 | 5,25 | 5,12 | 1,94 | 6,13 | 1,14 | (0,46-2,35) |
| Ild - Altri linfomi | 0 | 0,00 | 0,00 | 0,00 | 0,55 | 0,00 | - |
| Ile - Linfomi non specificati | 0 | 0,00 | 0,00 | 0,00 | 0,00 | - | - |
| III - Neoplasie del SNC | 76 | 57,04 | 57,09 | 6,55 | 69,62 | 1,09 | (0,86-1,37) |
| IIIa - Ependimomi e tumori plessi corioidei | 6 | 4,50 | 4,48 | 1,83 | 5,93 | 1,01 | (0,37-2,20) |
| IIIa.1 - Ependimomi | 5 | 3,75 | 3,72 | 1,67 | 4,45 | 1,12 | (0,36-2,62) |
| IIIa.2 - Tumori dei plessi corioidei | 1 | 0,75 | 0,76 | 0,76 | 1,48 | 0,68 | (0,02-3,77) |
| IIIb - Astrocitomi | 21 | 15,76 | 15,80 | 3,45 | 23,58 | 0,89 | (0,55-1,36) |
| IIIc - Tumori embrionali del SNC | 11 | 8,26 | 8,26 | 2,49 | 10,21 | 1,08 | (0,54-1,93) |
| IIIc.1 - Medulloblastomi | 7 | 5,25 | 5,21 | 1,97 | 8,17 | 0,86 | (0,34-1,76) |
| IIIc.2 - PNET | 4 | 3 | 3,05 | 1,52 | 1,67 | 2,40 | (0,65-6,14) |
| IIIc.3 - Medulloepiteliomi | 0 | 0,00 | 0,00 | 0,00 | 0,00 | - | - |
| IIIc.4 - Tumore teratoide/rabdoide atipico | 0 | 0,00 | 0,00 | 0,00 | 0,37 | 0,00 | - |
| IIId - Altri gliomi | 7 | 5,25 | 5,27 | 1,99 | 4,64 | 1,51 | (0,61-3,11) |
| IIId.1 - Oligodendrogliomi | 1 | 0,75 | 0,77 | 0,77 | 0,37 | 2,69 | (0,07-15,01) |
| IIId.2 - Gliomi misti e non specificati | 6 | 4,50 | 4,50 | 1,84 | 3,90 | 1,54 | (0,56-3,35) |
| IIId.3 - Tumori gliali di origine incerta | 0 | 0,00 | 0,00 | 0,00 | 0,37 | 0,00 | - |
| IIIe - Altre neoplasie del SNC specificate | 15 | 11,26 | 11,27 | 2,91 | 11,34 | 1,32 | (0,74-2,18) |
| IIIe.1 - Adenomi e carcinomi pituitari | 1 | 0,75 | 0,72 | 0,72 | 0,75 | 1,34 | (0,03-7,47) |
| IIIe.2 - Craniofaringiomi | 2 | 1,50 | 1,54 | 1,09 | 1,49 | 1,34 | (0,16-4,86) |
| IIIe.3 - Tumori pineali parenchimali | 0 | 0,00 | 0,00 | 0,00 | 0,19 | 0,00 | - |
| IIIe.4 - Tumori neurali e misti | 8 | 6 | 6,01 | 2,12 | 6,50 | 1,23 | (0,53-2,42) |
| IIIe.5 - Meningiomi | 4 | 3,00 | 3,00 | 1,50 | 2,42 | 1,66 | (0,45-4,24) |
| IIIIf - Neoplasie del SNC non specificate | 16 | 12,01 | 12,01 | 3,00 | 13,92 | 1,15 | (0,66-1,87) |
| Neoplasie del SNC maligne | 36 | 27,02 | 26,95 | 4,49 | 28,78 | 1,25 | (0,88-1,73) |
| IV - Tumori dei nervi periferici | 20 | 15,01 | 15,47 | 3,46 | 19,20 | 1,04 | (0,64-1,61) |
| IVa - Neuroblastoma, ganglioneuroblastoma | 20 | 15,01 | 15,47 | 3,46 | 19,20 | 1,04 | (0,64-1,61) |
| IVb - Altri tumori dei nervi periferici | 0 | 0,00 | 0,00 | 0,00 | 0,00 | - | - |
| V - Retinoblastoma | 1 | 0,75 | 0,80 | 0,80 | 6,83 | 0,15 | (0,00-0,82) |
| VI - Tumori renali | 9 | 6,75 | 6,90 | 2,30 | 12,22 | 0,74 | (0,34-1,4) |
| Vla - Nefroblastoma e t. renali non epiteliali | 9 | 6,75 | 6,90 | 2,30 | 11,48 | 0,78 | (0,36-1,49) |
| Vla.1 - Nefroblastoma | 8 | 6,00 | 6,14 | 2,17 | 11,11 | 0,72 | (0,31-1,42) |
| Vla.2 - Tumore renale rabdoide | 1 | 0,75 | 0,76 | 0,76 | 0,19 | 5,40 | (0,14-30,08) |
| Vla.3 - Sarcoma renale | 0 | 0,00 | 0,00 | 0,00 | 0,19 | 0,00 | - |
| Vla.4 - pPNET renale | 0 | 0,00 | 0,00 | 0,00 | 0,00 | - | - |
| Vlb - Carcinomi renali | 0 | 0,00 | 0,00 | 0,00 | 0,19 | 0,00 | - |
| Vlc - Tumori maligni renali non specificati | 0 | 0,00 | 0,00 | 0,00 | 0,56 | 0,00 | - |
| VII - Tumori epatici | 8 | 6,00 | 6,16 | 2,18 | 2,22 | 3,61 | (1,56-7,11) |
| VIIa - Epatoblastoma | 4 | 3,00 | 3,11 | 1,56 | 1,29 | 3,10 | (0,84-7,93) |
| VIIb - Carcinomi epatici | 3 | 2,25 | 2,25 | 1,30 | 0,56 | 5,38 | (1,11-15,73) |
| VIIc - Tumori maligni epatici non specificati | 1 | 0,75 | 0,80 | 0,80 | 0,37 | 2,71 | (0,07-15,09) |
| VIII - Tumori maligni dell'osso | 8 | 6,00 | 5,84 | 2,07 | 11,72 | 0,68 | (0,29-1,35) |
| VIIIa - Osteosarcomi | 4 | 3,00 | 2,87 | 1,44 | 5,21 | 0,77 | (0,21-1,97) |
| VIIIb - Condrosarcomi | 1 | 0,75 | 0,72 | 0,72 | 0,19 | 5,36 | (0,14-29,88) |
| VIIIc - Tumore di Ewing e altri sarcomi | 3 | 2,25 | 2,25 | 1,30 | 5,95 | 0,50 | (0,10-1,47) |
| VIIIc.1 - Tumore di Ewing e tumore di Askin ossei | 3 | 2,25 | 2,25 | 1,30 | 5,58 | 0,54 | (0,11-1,57) |
| VIIIc.2 - pPNET dell'osso | 0 | 0,00 | 0,00 | 0,00 | 0,37 | 0,00 | - |
| VIIIc.3 - Altri tumori maligni dell'osso specificati | 0 | 0,00 | 0,00 | 0,00 | 0,37 | 0,00 | - |
| VIIIc.4 - Neoplasie fibrose maligne dell'osso | 0 | 0,00 | 0,00 | 0,00 | 0,00 | - | - |
| VIIIc.5 - Cordomi maligni | 0 | 0,00 | 0,00 | 0,00 | 0,00 | - | - |
| VIIIc.6 - Tumori maligni odontogeni | 0 | 0,00 | 0,00 | 0,00 | 0,00 | - | - |
| VIIIc.7 - Tumori ossei miscellanei | 0 | 0,00 | 0,00 | 0,00 | 0,37 | 0,00 | - |
| VIIIc.8 - Tumori dell'osso non specificati | 0 | 0,00 | 0,00 | 0,00 | 0,00 | - | - |

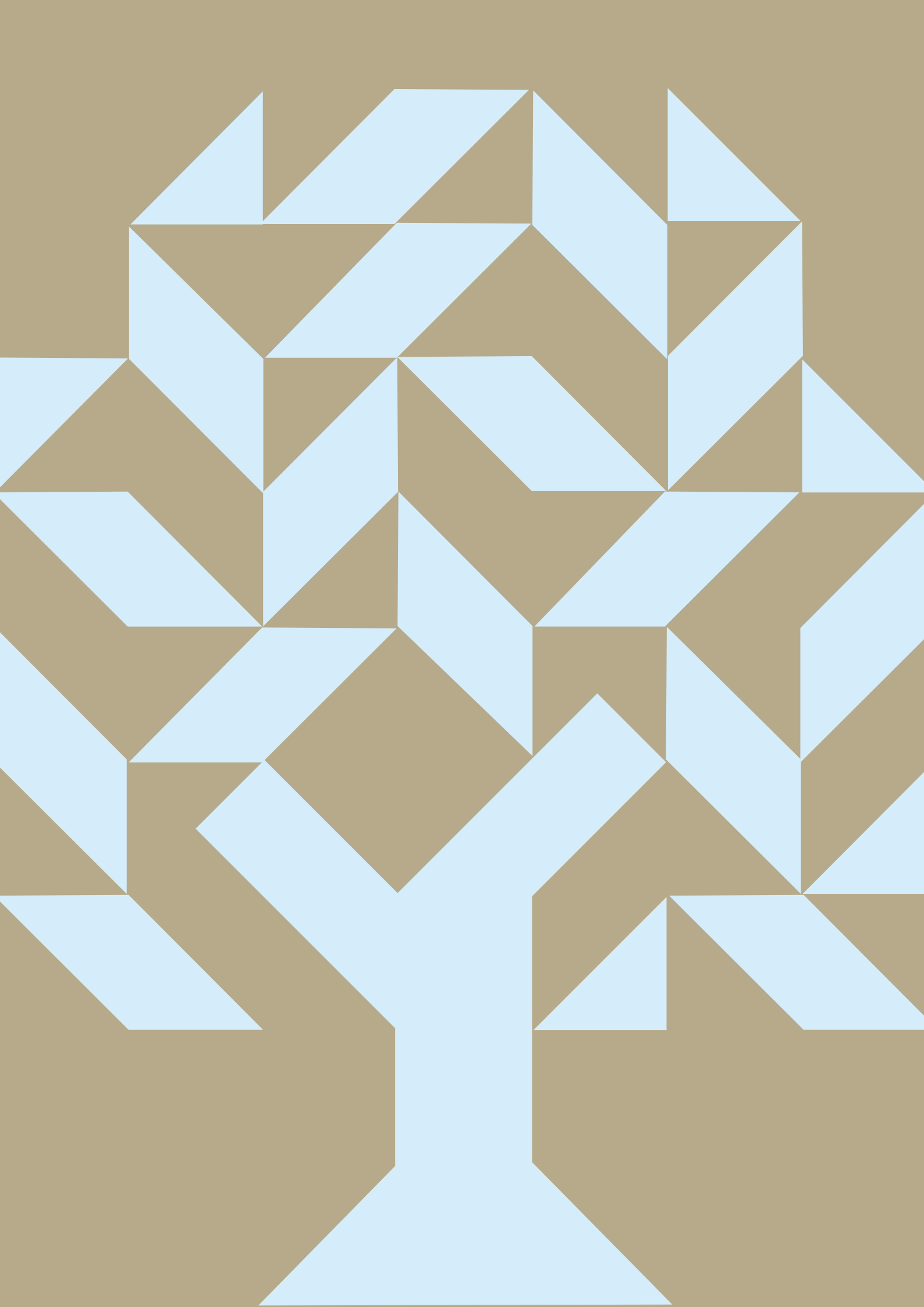
(...continua)

Tabella 5.9 Frequenza, tasso grezzo (TG), tasso standardizzato (TSD), errore standard (ES) del TSD, attesi regionali, SIR e intervalli di confidenza (IC 95%)

(...continua)

| Neoplasia | Dati provincia di Lecce | | | | Confronto regionale | | |
|---|-------------------------|---------------|---------------|--------------|---------------------|-------------|--------------------|
| | Casi | TG | TSD (EU13) | ES | Attesi | SIR | IC 95% |
| IX - Sarcomi dei tessuti molli | 18 | 13,51 | 13,61 | 3,21 | 14,11 | 1,28 | (0,76-2,02) |
| IXa - Rabbdomiosarcomi | 11 | 8,26 | 8,25 | 2,49 | 8,72 | 1,26 | (0,63-2,26) |
| IXb - Neoplasie fibromatose | 5 | 3,75 | 3,83 | 1,72 | 1,48 | 3,37 | (1,09-7,86) |
| IXb.1 - Tumori fibroblastici, miofibroblastici | 3 | 2,25 | 2,29 | 1,32 | 0,74 | 4,05 | (0,83-11,83) |
| IXb.2 - Tumori dei nervi periferici | 2 | 1,50 | 1,54 | 1,09 | 0,74 | 2,69 | (0,33-9,73) |
| IXb.3 - Altre neoplasie fibromatose | 0 | 0,00 | 0,00 | 0,00 | 0,00 | - | - |
| IXc - Sarcoma di Kaposi | 0 | 0,00 | 0,00 | 0,00 | 0,00 | - | - |
| IXd - Altri sarcomi dei tessuti molli specificati | 2 | 1,50 | 1,52 | 1,08 | 2,97 | 0,67 | (0,08-2,43) |
| IXd.1 - Tumore di Ewing e di Askin | 0 | 0,00 | 0,00 | 0,00 | 0,37 | 0,00 | - |
| IXd.2 - pPNET dei tessuti molli | 0 | 0,00 | 0,00 | 0,00 | 0,37 | 0,00 | - |
| IXd.3 - Tumore rabdoide extra-renale | 0 | 0,00 | 0,00 | 0,00 | 0,00 | - | - |
| IXd.4 - Liposarcomi | 0 | 0,00 | 0,00 | 0,00 | 0,00 | - | - |
| IXd.5 - Tumori fibroistiocitici | 1 | 0,75 | 0,80 | 0,80 | 0,37 | 2,70 | (0,07-15,05) |
| IXd.6 - Leiomiomasarcomi | 0 | 0,00 | 0,00 | 0,00 | 0,19 | 0,00 | - |
| IXd.7 - Sarcomi sinoviali | 1 | 0,75 | 0,72 | 0,72 | 0,93 | 1,07 | (0,03-5,99) |
| IXd.8 - Tumori dei vasi sanguigni | 0 | 0,00 | 0,00 | 0,00 | 0,00 | - | - |
| IXd.9 - Neoplasie condromatose e ossee | 0 | 0,00 | 0,00 | 0,00 | 0,00 | - | - |
| IXd.10 - Sarcoma alveolare | 0 | 0,00 | 0,00 | 0,00 | 0,19 | 0,00 | - |
| IXd.11 - Altri sarcomi (miscellanea) | 0 | 0,00 | 0,00 | 0,00 | 0,56 | 0,00 | - |
| IXe - Sarcomi dei tessuti molli non specificati | 0 | 0,00 | 0,00 | 0,00 | 0,93 | 0,00 | - |
| X - Tumori germinali, trofoblastici e gonadici | 10 | 7,51 | 7,44 | 2,35 | 7,78 | 1,28 | (0,62-2,36) |
| Xa - Tumori germinali del SNC | 1 | 0,75 | 0,72 | 0,72 | 2,04 | 0,49 | (0,01-2,73) |
| Xa.1 - Germinomi del SNC | 1 | 0,75 | 0,72 | 0,72 | 0,74 | 1,34 | (0,03-7,48) |
| Xa.2 - Teratomi del SNC | 0 | 0,00 | 0,00 | 0,00 | 0,37 | 0,00 | - |
| Xa.3 - Carcinomi embrionali del SNC | 0 | 0,00 | 0,00 | 0,00 | 0,00 | - | - |
| Xa.4 - Tumori del sacco vitellino del SNC | 0 | 0,00 | 0,00 | 0,00 | 0,00 | - | - |
| Xa.5 - Coriocarcinoma del SNC | 0 | 0,00 | 0,00 | 0,00 | 0,00 | - | - |
| Xa.6 - Tumore misto del SNC | 0 | 0,00 | 0,00 | 0,00 | 0,93 | 0,00 | - |
| Xb - Tumori germinali extra-cranici ed extra-gonadici | 1 | 0,75 | 0,80 | 0,80 | 2,58 | 0,39 | (0,01-2,16) |
| Xb.1 - Altri germinomi maligni | 0 | 0,00 | 0,00 | 0,00 | 0,19 | 0,00 | - |
| Xb.2 - Altri teratomi maligni | 1 | 0,75 | 0,80 | 0,80 | 2,02 | 0,49 | (0,01-2,75) |
| Xb.3 - Altri carcinomi embrionali | 0 | 0,00 | 0,00 | 0,00 | 0,00 | - | - |
| Xb.4 - Altri tumori del sacco vitellino | 0 | 0,00 | 0,00 | 0,00 | 0,37 | 0,00 | - |
| Xb.5 - Altri coriocarcinomi | 0 | 0,00 | 0,00 | 0,00 | 0,00 | - | - |
| Xb.6 - Altri tumori germinali | 0 | 0,00 | 0,00 | 0,00 | 0,00 | - | - |
| Xc - Tumori germinali gonadici | 8 | 6,00 | 5,92 | 2,09 | 3,16 | 2,53 | (1,09-4,99) |
| Xc.1 - Germinoma gonadico | 2 | 1,50 | 1,44 | 1,02 | 0,37 | 5,36 | (0,65-19,37) |
| Xc.2 - Teratoma gonadico | 3 | 2,25 | 2,21 | 1,28 | 1,30 | 2,30 | (0,47-6,72) |
| Xc.3 - Carcinoma embrionale gonadico | 0 | 0,00 | 0,00 | 0,00 | 0,00 | - | - |
| Xc.4 - Tumore del sacco vitellino gonadico | 2 | 1,50 | 1,56 | 1,10 | 1,30 | 1,54 | (0,19-5,58) |
| Xc.5 - Coriocarcinoma gonadico | 1 | 0,75 | 0,72 | 0,72 | 0,19 | 5,36 | (0,14-29,88) |
| Xc.6 - Tumori misti gonadici | 0 | 0,00 | 0,00 | 0,00 | 0,00 | - | - |
| Xc.7 - Gonadoblastoma maligno gonadico | 0 | 0,00 | 0,00 | 0,00 | 0,00 | - | - |
| Xd - Tumori gonadici non germinali | 0 | 0,00 | 0,00 | 0,00 | 0,00 | - | - |
| Xe - Tumori gonadici, NAS | 0 | 0,00 | 0,00 | 0,00 | 0,00 | - | - |
| XI - Altre neoplasie epiteliali e melanomi | 16 | 12,01 | 11,60 | 2,90 | 12,86 | 1,24 | (0,71-2,02) |
| XIa - Carcinomi cortico-surrenali | 0 | 0,00 | 0,00 | 0,00 | 0,00 | - | - |
| XIb - Carcinomi tiroidei | 4 | 3,00 | 2,87 | 1,44 | 5,78 | 0,69 | (0,19-1,77) |
| XIc - Carcinomi nasofaringei | 1 | 0,75 | 0,72 | 0,72 | 0,56 | 1,79 | (0,05-9,96) |
| XId - Melanomi maligni | 2 | 1,50 | 1,44 | 1,02 | 2,05 | 0,98 | (0,12-3,53) |
| XIe - Carcinomi cutanei | 2 | 1,50 | 1,44 | 1,02 | 1,31 | 1,53 | (0,19-5,54) |
| XIf - Altri e non specificati carcinomi | 7 | 5,25 | 5,14 | 1,94 | 3,17 | 2,21 | (0,89-4,56) |
| XIf.1 - Carcinomi delle ghiandole salivari | 0 | 0,00 | 0,00 | 0,00 | 0,56 | 0,00 | - |
| XIf.2 - Carcinomi del colon retto | 0 | 0,00 | 0,00 | 0,00 | 0,37 | 0,00 | - |
| XIf.3 - Carcinomi dell'appendice | 3 | 2,25 | 2,21 | 1,28 | 1,30 | 2,30 | (0,48-6,73) |
| XIf.4 - Carcinomi del polmone | 0 | 0,00 | 0,00 | 0,00 | 0,00 | - | - |
| XIf.5 - Carcinomi del timo | 0 | 0,00 | 0,00 | 0,00 | 0,00 | - | - |
| XIf.6 - Carcinomi della mammella | 0 | 0,00 | 0,00 | 0,00 | 0,00 | - | - |
| XIf.7 - Carcinomi del collo dell'utero | 0 | 0,00 | 0,00 | 0,00 | 0,00 | - | - |
| XIf.8 - Carcinomi della vescica | 0 | 0,00 | 0,00 | 0,00 | 0,00 | - | - |
| XIf.9 - Carcinomi dell'occhio | 1 | 0,75 | 0,72 | 0,72 | 0,19 | 5,36 | (0,14-29,88) |
| XIf.10 - Carcinomi di altre sedi specificate | 3 | 2,25 | 2,21 | 1,28 | 0,74 | 4,03 | (0,83-11,77) |
| XIf.11 - Carcinomi di sede non specificata | 0 | 0,00 | 0,00 | 0,00 | 0,00 | - | - |
| XII - Altri e non specificati tumori | 1 | 0,75 | 0,72 | 0,72 | 0,93 | 1,08 | (0,03-6,02) |
| XIIa - Altri tumori maligni specificati | 0 | 0,00 | 0,00 | 0,00 | 0,56 | 0,00 | - |
| XIIa.1 - Tumori stromali gastrointestinali | 0 | 0,00 | 0,00 | 0,00 | 0,19 | 0,00 | - |
| XIIa.2 - Pancreatoblastoma | 0 | 0,00 | 0,00 | 0,00 | 0,37 | 0,00 | - |
| XIIa.3 - Blastoma polmonare | 0 | 0,00 | 0,00 | 0,00 | 0,00 | - | - |
| XIIa.4 - Altre neop. complesse miste stromali | 0 | 0,00 | 0,00 | 0,00 | 0,00 | - | - |
| XIIa.5 - Mesotelioma | 0 | 0,00 | 0,00 | 0,00 | 0,00 | - | - |
| XIIa.6 - Altri tumori specificati (miscellanea) | 0 | 0,00 | 0,00 | 0,00 | 0,00 | - | - |
| XIIb - Altri tumori maligni non specificati | 1 | 0,75 | 0,72 | 0,72 | 0,37 | 2,70 | (0,07-15,05) |
| Tutti i tumori | 270 | 202,65 | 202,47 | 12,33 | 267,40 | 1,01 | (0,89-1,14) |
| Tutti i tumori maligni | 230 | 172,63 | 172,33 | 11,37 | 226,55 | 1,02 | (0,89-1,16) |

Tabella 5.9 Frequenza, tasso grezzo (TG), tasso standardizzato (TSD), errore standard (ES) del TSD, attesi regionali, SIR e intervalli di confidenza (IC 95%)



MATERIALI E METODI

Selezione dei casi

I dati utilizzati in questo rapporto sono stati messi a disposizione dal Registro Tumori Puglia e in particolare dalla sezione specificamente dedicata alla registrazione dei tumori infantili.

Sono stati considerati eleggibili per l'analisi tutti i tumori maligni e i tumori non maligni del sistema nervoso centrale diagnosticati in bambini fino a 14 anni di età nel periodo compreso tra gli anni 2006 e 2017.

Tutti i casi di tumore sono stati classificati in base alla terza edizione della International Classification of Diseases for Oncology (ICD-O-3) e successive revisioni (Fritz, 2000;2013). Tale classificazione è stata poi tradotta nella terza edizione della specifica classificazione per le neoplasie infantili denominata International Classification of Childhood Cancer (ICCC-3) (Steliarova-Foucher, 2005). In particolare, l'analisi ha considerato i gruppi diagnostici principali della classificazione e alcuni specifici sottogruppi. Sono state escluse dall'analisi le poche diagnosi di neoplasia non codificabili in ICC-3 quali le neoplasie non maligne della vescica e i neurinomi non maligni dei nervi cranici. Inoltre, eventuali diagnosi di neurofibromatosi sono escluse dalle statistiche quando non vi fosse evidenza di concomitante o successiva neoplasia. Eventuali lesioni neoplastiche associate alla diagnosi di neurofibromatosi sono state registrate con data di incidenza corrispondente alla diagnosi della neoplasia.

Denominatori

La fonte per la determinazione della popolazione di riferimento è l'Istituto Nazionale di Statistica (ISTAT) e in particolare la recente ricostruzione della popolazione residente dal 2002 al 2018.

Per ogni anno è stata usata la popolazione ricostruita al 1° gennaio (Demo.Istat.it).

Tassi di incidenza

Sono stati calcolati i tassi di incidenza come rapporto tra il numero dei casi e il numero di bambini residenti in Puglia. I tassi sono stati calcolati specificatamente per quattro classi di età (<1 anno, 1-4 anni, 5-9 anni e 10-14 anni). Come di prassi, nel caso dei tumori infantili, i tassi sono presentati per milione di abitanti.

Per consentire il confronto con i dati di altri registri tumori e tra anni di diagnosi diversi, i tassi di incidenza sono stati aggiustati per età con la cosiddetta standardizzazione diretta. Abbiamo calcolato i tassi standardizzati diretti (TSD) come media pesata dei tassi età-specifici usando, per le quattro fasce di età citate, i pesi della popolazione standard europea 2013 (Dos Santos Silva, 1999; Eurostat, 2013).

Confronti nazionali

Il confronto tra i dati pugliesi e quelli nazionali è stato possibile grazie alla preziosa collaborazione dei due Registri Tumori specializzati attivi in Italia:

- Registro Tumori Infantili presso il Centro di Riferimento per l'Epidemiologia e la Prevenzione Oncologica in Piemonte (CPO), che copre l'intero territorio della Regione Piemonte;
- Registro Tumori Infantili Regione Campania (RTIC) presso l'A.O.R.N. Santobono-Posillipon di Napoli, che copre la Regione Campania.

Entrambi i registri raccolgono anche i tumori negli adolescenti (fascia 15-19 anni) e sono accreditati presso l'Associazione Italiana dei Registri Tumori (AIRTum).

I dati della Puglia sono stati confrontati sia con le singole regioni sia con il pool dei registri (includendo i dati della Puglia) per gli anni 2010-2014.

Si rimanda alla bibliografia per maggiori riferimenti sui due Registri Tumori infantili.

Andamenti temporali

Per stimare la variazione percentuale annua (APC) dell'incidenza durante il periodo indagato è stata adattata una regressione lineare pesata al logaritmo dei TSD diretti annuali con pesi uguali all'inverso della varianza del logaritmo dei TSD utilizzando il metodo JoinPoint (Kim, 2000). L'analisi riporta il trend stimato nell'ipotesi di assenza di cambiamento di APC durante l'intero periodo in esame.

Probabilità di morte

I pazienti sono stati monitorati dalla data di diagnosi fino alla prima tra la data di morte e il 31 dicembre 2019. La probabilità di morte al tempo t dalla diagnosi è stata calcolata con il metodo di Kaplan Meier (Dos Santos Silva, 1999).

Il trend temporale della probabilità di morte a 3 anni dalla diagnosi è stato stimato mediante un modello di sopravvivenza parametrico flessibile che include il sesso, l'età alla diagnosi e l'anno di calendario, standardizzando le probabilità predette dal modello in base alla distribuzione delle variabili in tutti i casi presenti nel campione analizzato (Royston, 2011).

Mappe

Per ogni comune è stato rappresentato su mappa il SIR (Standardized Incidence Ratio) ottenuto dal rapporto, moltiplicato per 100, tra numero di casi osservati e numero di casi attesi se in ciascuno strato di età della popolazione del comune il tasso età-specifico fos-

se stato uguale a quello calcolato nella popolazione di tutta la regione. Pertanto, nei comuni in cui il SIR è superiore a 100 il rischio di ammalarsi di un tumore infantile è stimato superiore a quello calcolato su tutta la popolazione regionale pugliese. Il contrario vale per i comuni con SIR inferiore a 100.

Tuttavia, i comuni con popolazioni poco numerose possono spesso presentare SIR con valori estremi. Per questo motivo si sono rappresentati su mappa anche i rischi relativi lisciati applicando il modello di Besag-York-Mollié (Besag, 1991). Si tratta di un modello bayesiano che consente di ridurre i valori estremi dei SIR comunali utilizzando l'informazione presente nei dati dei comuni confinanti.

In questo modo è possibile mettere in evidenza l'eventuale presenza di aggregati di comuni caratterizzati da rischi di malattia più alti di quelli stimati in tutta la popolazione pugliese.

Infine, si è ritenuto importante rappresentare su mappa anche la probabilità che il SIR lisciato sia superiore a 100 per consentire di valutare la probabilità che il rischio di malattia stimato in un comune sia aumentato rispetto a quello di tutta la regione (Richardson, 2004).

I SIR, i rischi relativi lisciati e le probabilità che i rischi relativi siano superiori a 100 sono riportati per tutti i comuni della Puglia nelle tabelle incluse nel quarto capitolo di questo rapporto.

BIBLIOGRAFIA

- Besag J, York J, Mollié A. Bayesian image restoration with applications in spatial statistics (with discussion). *Annals of the Institute of Statistical Mathematics* 1991; 43: 1–59.
- Dos Santos Silva I. *Cancer Epidemiology: Principles and Methods*. International Agency for Research on Cancer, Lyon 1999.
- Eurostat. Revision of the European Standard Population. Report of Eurostat's task force. Eurostat European Commission 2013
- Fritz A, Percy C, Jack A, et al. *International Classification of Diseases for Oncology*. 3rd ed. Geneva: World Health Organization, 2000.
- Fritz A, Percy C, Jack A, Shanmugartnam K, Sobin L, Parkin DM, et al. *International classification of diseases for oncology*. 3rd ed, 1st revision. Geneva: WHO; 2013.
- Istat. Ricostituzione della popolazione residente anni 2002-2018 (<http://demo.istat.it>, ultimo accesso giugno 2021)
- Kim H-J, Fay MP, Feuer EJ, Midthune DN. Permutation Tests for Joinpoint Regression with Applications to Cancer Rates. *Statistics in Medicine* 2000; 19: 335-351.
- Registro Tumori Infantili del Piemonte (<https://www.cpo.it/it/dati/registri-tumori/registro-tumori-infantili>, ultimo accesso giugno 2021)
- Registro Tumori Infantili Regione Campania (<http://www.santobonopausilipon.it/content/registro-tumori-infantili-regione-campania-rtic>, ultimo accesso giugno 2021)
- Richardson S, Thomson A, Best N, Elliott P. Interpreting posterior relative risk estimates in disease-mapping studies. *Environmental Health Perspectives* 2004; 112(9): 1016–1025.
- Royston P, Lambert PC. *Flexible parametric survival analysis using Stata: beyond the Cox model*. College Station, Stata Press, 2011.
- Steliarova-Foucher E, Stiller C, Lacour B, Kaatsch P. *International classification of childhood cancer, third edition*. *Cancer* 2005; 103: 1457–67.



EPIDEMIOLOGIA & PREVENZIONE

ABBONAMENTI 2022

| | | ON-LINE + SUPPLEMENTI ON-LINE | ON-LINE + CARTA + SUPPLEMENTI ON-LINE | ON-LINE + CARTA + SUPPLEMENTI |
|-------------------------------------|--------|-------------------------------------|--|-------------------------------------|
| PRIVATI ITALIA | 1 anno | 72 | 80 | 95 |
| | 2 anni | 135 | 150 | 180 |
| | 3 anni | 190 | 210 | 250 |
| ENTI ITALIA ACCESSO UNICO* | 1 anno | 148 | 155 | 170 |
| | 2 anni | 275 | 290 | 320 |
| | 3 anni | 390 | 410 | 450 |
| ENTI ESTERO | 1 anno | 165 | 180 | 210 |
| | 2 anni | 310 | 335 | 395 |
| | 3 anni | 425 | 475 | 555 |
| PRIVATI ESTERO | 1 anno | 85 | 100 | 130 |
| | 2 anni | 160 | 190 | 245 |
| | 3 anni | 225 | 265 | 350 |

* ENTI ITALIA AD ACCESSO MULTIPLO: ABBONAMENTI DA CONCORDARE CON L'EDITORE

35€

Abbonamento on-line per **GIOVANI EPIDEMIOLOGI** under 35.

40€

Per gli **AUTORI** di un contributo nell'anno in corso e non sono abbonati da almeno 2 anni.

50€

Ai **GENEROSI EPIDEMIOLOGI GIÀ ABBONATI**, regalare un abbonamento per il 2021 costa solo 50 euro per l'edizione on-line e 60 euro per avere anche il cartaceo.

0€

Per gli **EPIDEMIOLOGI "CONTAGIOSI"** che fanno sottoscrivere due nuovi abbonamenti a chi non conosce la rivista o non è più abbonato da almeno due anni, l'abbonamento o il rinnovo è gratuito.

EPIDEMIOLOGIA & PREVENZIONE

ABBONAMENTO ALLA RIVISTA A PARTIRE DAL PRIMO NUMERO RAGGIUNGIBILE

SCRIVI A: abbonamenti@inferenze.it **TELEFONA:** 02 48702283

INFERENZE scarl via Ricciarelli, 29 - 20148 Milano

___/___/___
DATA

TIPO DI ABBONAMENTO

EURO

MODALITÀ DI PAGAMENTO

PAYPAL

fai tutto on-line con alla pagina
www.epiprev.it/abbonamenti

BONIFICO BANCARIO

BPER BANCA, Piazza Wagner 8, 20145 Milano
IBAN IT83Z0538701612000035010623
intestato a Inferenze scarl, via Ricciarelli, 29
20148 Milano (per velocizzare, inoltra anche
via mail la richiesta allegando la contabile)

CARTA DI CREDITO

American Express Carta Si Master Card Eurocard VISA

COGNOME E NOME

AZIENDA

INDIRIZZO

CAP / LOCALITÀ / PROVINCIA

TEL. / FAX

E-MAIL

NUMERO

___/___/___
SCADENZA

COD.CV2 (ULTIME 3 CIFRE STAMPATE SUL RETRO DELLA CARTA)

FIRMA

eio

€ 15,00

